

ББК 22.31
Л79
УДК 530.1 (075.8)

Рекомендовано Государственным комитетом СССР по народному образованию для использования в учебном процессе студентами физических специальностей вузов

Рецензент
член-корреспондент АН СССР Л.П. Питаевский

Лоскутов А.Ю., Михайлов А.С. Введение в синергетику: Учеб. руководство. — М.: Наука. Гл. ред. физ.-мат. лит., 1990. 272 с. — ISBN 5-02-014475-4

Систематически изложена теория самоорганизации при кооперативном поведении сильно неравновесных физических, химических и биологических систем. Подробно рассмотрены свойства автоволн и диссипативных структур в активных средах, а также динамические модели хаоса, которые описывают процесс турбулизации таких структур. Особое внимание уделено новым методам аналоговой обработки информации с помощью распределенных активных сред и нейроноподобных сетей.

Для студентов, аспирантов и специалистов в области физики сильно неравновесных систем, биологической и химической физики, физической информатики.

Табл. 6. Ил. 151. Библиогр. 805 назв.

Научное издание

ЛОСКУТОВ Александр Юрьевич
МИХАЙЛОВ Александр Сергеевич

ВВЕДЕНИЕ В СИНЕРГЕТИКУ

Заведующий редакцией Л.И. Гладнева. Редактор Н.А. Михалина
Младший редактор В.А. Кузнецова. Художественный редактор Т.Н. Кольченко
Технические редакторы О.Б. Черняк, С.Н. Баронина
Корректоры Т.С. Родионова, Н.П. Круглова, Т.В. Обод, Т.А. Печко

Набор осуществлен в издательстве на наборно-печатальных автоматах

ИБ № 41122

Сдано в набор 26.03.90. Подписано к печати 21.05.90
Формат 60 X 90/16. Бумага книжно-журнальная
Гарнитура Пресс-Роман. Печать офсетная
Усл.печ.л. 17,0. Усл.кр.-отт. 17,0. Уч.-изд.л. 20,53
Тираж 8400 экз. Тип. зак. 169. Цена 2 р. 60 к.

Издательско-производственное и книготорговое
объединение "Наука"

Главная редакция физико-математической литературы
117071 Москва В-71, Ленинский проспект, 15

Четвертая типография ИПКО "Наука"
630077 г. Новосибирск-77, ул. Стаинславского, 25

Л 1604030000 - 082
053 (02)-90 128-90

ISBN 5-02-014475-4

© "Наука". Физматлит, 1990

СОДЕРЖАНИЕ

Предисловие	4
Введение	5
Глава 1	
Волны и структуры в активных средах	9
§ 1. Основные типы активных сред	9
§ 2. Волны переключения и заселения в простых бистабильных средах	12
§ 3. Общие свойства структур в простых бистабильных средах	21
§ 4. Бегущие импульсы в возбудимых средах	26
§ 5. Процессы в возбудимых средах, образованных клеточными автоматами	33
§ 6. Спиральные волны в распределенных возбудимых средах	44
§ 7. Кинематика автоволновых фронтов в возбудимых средах	50
§ 8. Резонанс и дрейф спиральных волн	57
§ 9. Автоволновые структуры в трехмерных возбудимых средах	62
§ 10. Фазовая динамика в осциллирующих активных средах	70
§ 11. Фазовые волны и пейсмекеры	74
§ 12. Спиральные волны в автоколебательных активных средах	78
§ 13. Стационарные диссипативные структуры	83
Глава 2	
Динамический хаос	90
§ 14. Гамильтоновы системы	90
§ 15. Эргodicность и перемешивание	103
§ 16. Диссипативные динамические системы и их аттракторы	112
§ 17. Критерии динамического хаоса	129
§ 18. Фрактальные структуры и размерность странных аттракторов	141
§ 19. Точечные отображения. Универсальность Фейгенбаума	148
§ 20. Типичные сценарии перехода к хаосу	159
§ 21. Пространственно-временной хаос	171
Глава 3	
Обработка информации распределенными динамическими системами	180
§ 22. Мозг и компьютер	180
§ 23. Клеточные автоматы	190
§ 24. Ассоциативная память	201
§ 25. Сложные задачи комбинаторной оптимизации	216
§ 26. Обучающиеся системы	225
§ 27. Эволюционные модели	237
Библиографический комментарий	246
Список литературы	252

ПРЕДИСЛОВИЕ

Настоящая книга основана на материалах специального курса "Синергетика", читаемого студентам физического факультета Московского государственного университета им. М.В. Ломоносова. Она предназначена для первого знакомства с предметом, поэтому основное внимание уделено наглядному изложению общей физической картины явлений. Даже в тех случаях, когда (как, например, во второй главе) имеется точная математическая теория, мы обычно не приводим строгих математических доказательств. Для более глубокого изучения отдельных вопросов читатель может обратиться к монографиям и оригинальным статьям, подробный список которых приведен в конце книги.

Книга состоит из трех глав. В первой главе проанализированы основные типы волновых и стационарных пространственных структур в бистабильных, возбудимых и автоколебательных активных средах. Во второй главе обсуждаются различные механизмы, приводящие к хаотизации таких структур, и некоторые свойства динамического хаоса. Использование распределенных активных сред и дискретных сетей, состоящих из активных элементов, для решения различных задач обработки информации рассмотрено в третьей главе.

При подготовке книги мы обсуждали затрагиваемые в ней вопросы с В.В. Алексеевым, А.А. Веденовым, В.А. Давыдовым, Я.Б. Зельдовичем, В.С. Зыковым, М.И. Кагановым, Ю.Л. Климонтовичем, В.И. Кринским, Л.А. Островским, М.И. Рабиновичем и Д.С. Чернавским, которым нам хотелось бы выразить искреннюю благодарность. Авторы особенно признательны Я.Г. Синаю, который взял на себя труд ознакомиться с рукописи с текстом второй главы и сделал много полезных замечаний. Мы также очень благодарны А.Г. Лоскутовой за помощь при подготовке рукописи к печати.

Вторая глава написана совместно А.Ю. Лоскутовым и А.С. Михайловым, главы первая и третья — А.С. Михайловым.

ВВЕДЕНИЕ

Долгое время жизнь рассматривалась как антипод неорганической природы. Сегодня, однако, происходит все более активное проникновение физических методов и подходов в биологию. Оказывается также, что основные формы кооперативного поведения, свойственные живым организмам, имеют свои аналоги среди неорганических систем.

Наиболее очевидная особенность биологических систем заключается в том, что они способны к самоорганизации, т.е. спонтанному образованию и развитию сложных упорядоченных структур. Как показал еще Э. Шредингер, это не противоречит законам термодинамики, поскольку все живые биологические системы не являются замкнутыми и обмениваются энергией (или веществом) с окружающей средой. Энтропия, служащая мерой беспорядка, может уменьшаться в открытых системах с течением времени благодаря ее уходу в окружающую среду. Необходимая предпосылка эффектов самоорганизации заключается, кроме того, в наличии потока энергии, поступающего в систему от внешнего источника и диссипируемого ею в термостат. Именно благодаря этому потоку система становится активной, т.е. приобретает способность к автономному образованию структур. Очевидно, что эффекты самоорганизации не могут быть исключительным свойством биологических объектов, а должны наблюдаться (пусть в более простой форме) и в системах неорганического происхождения.

Основной интерес представляют распределенные активные среды или однородные сети, которые построены из одинаковых элементов, локально взаимодействующих друг с другом. Через каждый из этих элементов проходит поток энергии, поступающей от внешнего источника.

Хотя разнообразие физических, химических и биологических активных сред чрезвычайно велико, число математических моделей, которые используются для описания процессов образования и развития структур в таких системах, не столь значительно. По-видимому, даже когда отдельные элементы системы (например, живые клетки) обладают сложной внутренней структурой, вся их внутренняя сложность не проявляется во взаимодействиях между ними и, с точки зрения макросистемы, они функционируют как достаточно простые объекты с малым числом эффективных степеней свободы. В противном случае никаких упорядоченных структур в системе обычно не возникает.

Задача синергетики состоит в нахождении и подробном исследовании тех базовых математических моделей активных сред, которые исходят из наиболее типичных предположений о свойствах отдельных активных эле-

ментов и законах взаимодействия между ними. Поскольку главным отличительным свойством активных сред являются протекающие в них процессы самоорганизации, синергетику можно также рассматривать как общую теорию самоорганизации в активных средах различной природы. Заметим, что термин "синергетика" (*synergeia* (*ερεχ.*) — совместное действие, сотрудничество) был предложен в начале 70-х годов немецким физиком Г. Хакенем.

Самоорганизация тесно связана с зарождением турбулентности. При макроскопическом течении жидкости к каждому ее малому элементу поступает энергия от крупномасштабных мод, которая превращается затем в тепло за счет действия вязких сил. Наличие этого потока энергии превращает жидкость в своеобразную активную среду. Чем выше средняя скорость течения жидкости, тем интенсивнее поток энергии, проходящей через каждый ее элемент. Как известно, при больших средних скоростях течения оно, как правило, является турбулентным, т.е. характеризуется хаотическими пульсациями поля скоростей, давления, температуры, плотности и т.п. Переход к турбулентности от стационарного (ламинарного) течения может осуществляться либо скачком, либо занимать целый интервал значений интенсивности накачки. В последнем случае возникновению турбулентности предшествует особая стадия, характеризующаяся появлением все более сложных структур течения. Спонтанное образование таких упорядоченных структур можно рассматривать как пример самоорганизации. Для гидродинамических течений соответствующий процесс был впервые проанализирован в общем виде Л.Д. Ландау в 1944 г. В модели зарождения турбулентности, которая была предложена Л.Д. Ландау, спонтанное образование и усложнение структур течения связывалось с появлением новых эффективных степеней свободы, благодаря чему течение жидкости приобретало все большую автономию от внешних условий.

С ростом потока энергии регулярные структуры становятся все более сложными и прихотливо меняющимися со временем. Где же лежит граница между регулярной, но сложно организованной структурой и хаосом? Критерием может служить устойчивость структур по отношению к малым возмущениям. Если такая устойчивость отсутствует, детерминированное описание структур теряет смысл, и необходимо использовать статистические методы.

Из сказанного ясно, что теоретический анализ процессов хаотизации (т.е. гибели) регулярных структур в различных активных средах также должен быть включен в круг проблем синергетики. Естественно отнести к ним и исследование общих свойств хаотических режимов, возникших вслед за разрушением регулярных структур.

Знание основных закономерностей самоорганизации позволяет перейти к целенаправленному конструированию искусственных активных сред, процессы самоорганизации в которых приводили бы к образованию нужных структур (стационарных или меняющихся со временем). Пока в этом направлении предпринимаются лишь самые первые шаги. Наиболее развитым приложением является создание аналоговых распределенных устройств для обработки информации. Действие таких устройств должно базироваться не на логических операциях над математическими символами, а представлять собой сложный процесс, связанный с эволюцией и

взаимодействием пространственных и волновых структур в искусственно созданных активных средах.

Однако задачами информатики не исчерпываются потенциальные приложения теорий самоорганизующихся систем. В своей автобиографической книге "Нарушая покой Вселенной" знаменитый американский физик-теоретик Фримен Дайсон, размышляя о будущем человечества, предвидит возникновение "зеленой" технологии, которая строилась бы на тех же принципах самоорганизации, что и живая природа. Ф. Дайсон противопоставляет ее традиционной "серой" технологии, в основе которой лежат жесткий механистический чертеж и пассивное следование командам.

Создание любой современной машины начинается с разработки ее детального плана, в соответствии с которым затем осуществляется ее сборка из предварительно изготовленных деталей. Процесс индивидуального развития живого организма не требует вмешательства внешних управляющих сил. Более того, нет никакого "подробного чертежа", который мог бы быть записан, например, в молекулах ДНК первичной клетки. Легко убедиться, что такой детальный план построения содержал бы колоссальное количество информации, которая просто не способна поместиться в одной клетке. Следовательно, развитие живого организма есть последовательность автопомных актов самоорганизации. Управление этим процессом может осуществляться с помощью слабых воздействий, которые влияют на выбор того или иного конкретного пути развития в те моменты, когда развивающаяся структура оказывается в состояниях "бифуркации", характеризующихся наличием нескольких возможных равноправных продолжений. Именно эти слабые управляющие воздействия закодированы, по всей видимости, в генетических последовательностях первичной клетки.

Любой живой организм представляет собой иерархию достаточно автономных самоорганизующихся систем, в которой исходящие от верхнего уровня сигналы управления не имеют характера жестких команд, подчиняющих себе активность всех индивидуальных элементов более низких уровней. Вместо этого от высших уровней иерархии поступают лишь сигналы, которые влияют на процессы самоорганизации, протекающие на более низких уровнях, и определяют переходы от одного устойчивого режима функционирования подсистемы к другому. Иерархическое устройство сложных живых систем, которые представляют собой ансамбль слабо связанных самоорганизующихся систем более простого строения, позволяет избежать неустойчивостей и хаотизации динамики, которые неизбежно возникают в сложных системах с жестким централизованным управлением.

Использование этих принципов в технике позволило бы резко расширить ее возможности, построить ее "в формах самой жизни". Это привело бы к преодолению сегодняшних принципиальных различий между миром техники и миром живой природы. Одни и те же наиболее эффективные закономерности должны лежать в основе функционирования искусственно созданных технических устройств и живых организмов. Как пишет в упомянутой книге Ф. Дайсон, "по мере того, как будут углубляться наши знания в биологии, мы столкнемся с тем, что различия между биологией и электроникой будут все более стираться".

Знание закономерностей самоорганизации дает возможность вмешиваться в деятельность существующих биологических организмов и живых систем и управлять ими. Можно также целенаправленно формировать живые (например, экологические) системы, чтобы они образовывали в своем развитии нужные нам пространственные структуры или обладали желательным временным поведением.

Предупредим читателя, что в этой книге он не найдет дальнейшего обсуждения перечисленных выше перспективных приложений. Наша задача является более скромной – рассказать о теоретических результатах, которые были получены к настоящему времени при исследовании простых математических моделей активных сред и сетей.

Глава 1

ВОЛНЫ И СТРУКТУРЫ В АКТИВНЫХ СРЕДАХ

Активные среды характеризуются непрерывным рассредоточенным притоком энергии от внешнего источника и ее диссипацией. Благодаря тому, что через каждый физически малый элемент среды протекает поток энергии от источника к термостату, этот элемент выводится из состояния теплового равновесия и приобретает способность совершать автоколебания, быть триггерным (бистабильным) либо возбуждимым. Когда отдельные такие элементы локально связаны между собой и формируют распределенную активную среду, в подобной среде наблюдается образование различных стационарных или зависящих от времени пространственных структур. Эти процессы лежат в основе явлений самоорганизации в активных средах.

§ 1. Основные типы активных сред

Как уже отмечалось во Введении, в изучении кооперативного поведения сложных систем важную роль играют типовые, или *базовые*, модели. Каждая такая модель "сама по себе" не соответствует какой-то конкретной системе; она строится исходя из чрезвычайно упрощенных представлений о свойствах отдельных элементов и процессов взаимодействия между ними.

Изучение кооперативного поведения – это важная составная часть физики конденсированных систем, занятой исследованием жидкостей, кристаллов, стекол и т.п. Однако рассматриваемые при этом системы обладают спецификой, не свойственной биологическим или сложным химическим системам. Обычно элементы, из которых состоит физическая система, являются пассивными – для каждого из них, как и для системы в целом, существует выделенное равновесное состояние с минимумом энергии. Достигнув этого состояния, система уже не способна самостоятельно его покинуть.

Для биологии типична иная ситуация. Здесь отдельные элементы – живые клетки или макроорганизмы – являются активными. Их поведение не может быть представлено как эволюция в сторону какого-то выделенного устойчивого состояния абсолютного покоя. Разумеется, сохранение активности образующих систему элементов возможно лишь благодаря притоку к ним энергии от внешних источников. Если такой приток энергии имеет место, активными могут стать и довольно простые физические системы.

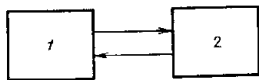


Рис. 1.1

Рис. 1.1. Схема переходов в бистабильном элементе

Рис. 1.2. Схема переходов в возбудимом элементе

Рис. 1.3. Схема переходов в автоколебательном элементе

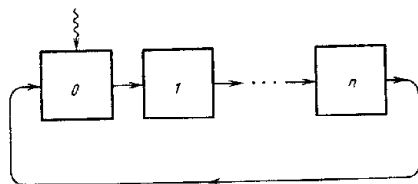


Рис. 1.2

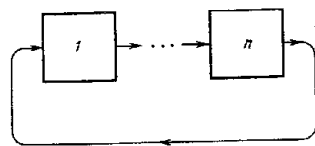


Рис. 1.3

Можно выделить три простейших типа активных элементов: *бистабильные, возбудимые и автоколебательные*.

Бистабильный (или триггерный) элемент обладает двумя стационарными состояниями (1 и 2), в каждом из которых он может находиться неограниченно долго (рис. 1.1). Внешние воздействия могут приводить к переходам из одного состояния в другое. Чтобы вызвать переход, интенсивность воздействия должна превысить некоторый пороговый уровень.

Возбудимый (или мультивибраторный) элемент имеет единственное выделенное состояние покоя, устойчивое по отношению к достаточно слабым внешним воздействиям. Однако такой элемент отличается от пассивного по своей реакции на воздействия, превышающие пороговый уровень. В ответ на такое достаточно интенсивное внешнее воздействие в элементе возникает вспышка активности: он совершает определенную последовательность активных переходов и лишь затем возвращается к исходному состоянию покоя (рис. 1.2).

Автоколебательный элемент работает подобно "вечному двигателю". Он автономно совершает циклические переходы через некоторую группу состояний (рис. 1.3). Внешние воздействия способны лишь замедлить или ускорить это циклическое движение, но не приостановить его.

Рассмотрим вначале цепочку из бистабильных элементов. Естественно предположить, что в ней воздействие друг на друга оказывают лишь соседние элементы. В простейшем случае элементы, находящиеся в одинаковых состояниях, не влияют друг на друга. Если же состояния двух соседних элементов различны, они взаимодействуют. Элемент, находящийся в менее устойчивом (метастабильном) стационарном состоянии, переходит в более устойчивое состояние — такое же, что и у его соседа. Нетрудно убедиться, что в результате по цепочке бистабильных элементов распространяется *волна переключения* из метастабильного в абсолютно устойчивое состояние (рис. 1.4).

Пусть цепочка состоит из возбудимых элементов. Каким может быть взаимодействие между этими элементами? Естественно считать, что элемент, перешедший из состояния покоя в активную форму, остается невосприимчивым к внешним воздействиям, пока он не совершит всю пред-

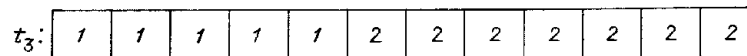
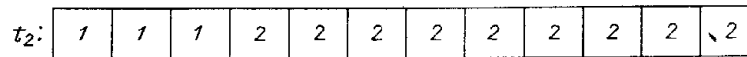
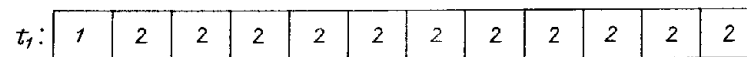


Рис. 1.4. Схема распространения волны переключения в цепочке из бистабильных элементов. Показаны состояния элементов цепочки в последовательные моменты времени t_1 , t_2 и t_3 .

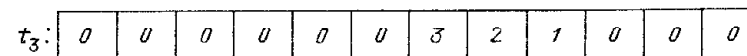
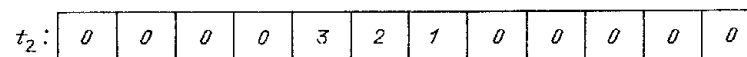
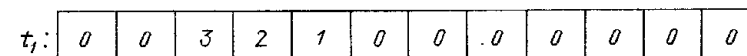


Рис. 1.5. Схема распространения волны возбуждения в цепочке из возбудимых элементов. Показаны состояния элементов цепочки в последовательные моменты времени t_1 , t_2 и t_3 .

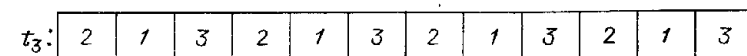
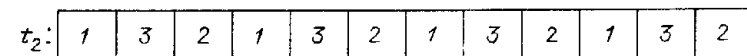
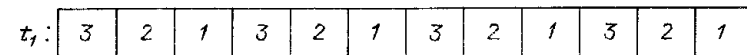


Рис. 1.6. Схема распространения фазовой волны в цепочке из автоколебательных элементов. Показаны состояния элементов цепочки в последовательные моменты времени t_1 , t_2 и t_3 .

писанную ему последовательность переходов. Поэтому достаточно рассмотреть лишь случаи, когда по соседству оказались два элемента, из которых один находится в активной форме, а другой в состоянии покоя. Можно представить себе два вида их взаимодействия. Во-первых, всякий элемент в активной форме мог бы выводить из состояния покоя оказавшийся рядом с ним элемент. Легко проверить, что в этом случае в ответ на однократное воздействие в цепочке возникнет незатухающая волновая активность. Более интересна ситуация, когда выводить из состояния покоя

могут лишь элементы, находящиеся в первых фазах вспышки активности. Тогда в результате возбуждения крайнего элемента в цепочке по ней будет распространяться уединенный импульс активности (*волна возбуждения*), после прохождения которого элементы возвращаются в исходное состояние покоя (рис. 1.5).

Наконец, если составить цепочку из автоколебательных элементов, в ней могут наблюдаться *фазовые волны* (рис. 1.6). Для этого достаточно создать сдвиг по начальным фазам колебаний вдоль цепочки. Всем известный пример фазовых волн — это волны в гирляндах электрических лампочек: каждая из них загорается и гаснет через один и тот же промежуток времени, но моменты загорания сдвинуты для соседних лампочек. Взаимодействие между автоколебательными элементами может привести к появлению зависимости частоты фазовых волн от их пространственного периода либо даже обеспечить синхронизацию, т.е. обеспечивать установление единой фазы колебаний.

Еще более сложные эффекты наблюдаются в двумерных или трехмерных сетях, образованных бистабильными, возбудимыми или автоколебательными элементами. Мы обсудим эти эффекты позднее.

До настоящего момента мы рассматривали активные элементы фактически в качестве определенных *автоматов*, т.е. объектов с дискретным набором состояний и некоторыми правилами переходов между ними. Более детальный уровень описания основывается на построении дифференциальных уравнений, характеризующих динамику отдельных элементов и их взаимодействия. Заметим, наконец, что активная среда может являться также распределенной, а не состоять из дискретных связанных между собой ячеек. В этом случае свойства бистабильности, возбудимости или способности к совершению незатухающих автоколебаний относятся к малым, условно выделенным элементам такой распределенной среды.

§ 2. Волны переключения и заселения в простых бистабильных средах

Простейший бистабильный элемент описывается дифференциальным уравнением

$$\dot{u} = f(u), \quad (2.1)$$

в котором нелинейная функция $f(u)$ имеет характерный вид, изображенный на рис. 1.7. Очевидно, что всякое значение u^* , для которого $f(u^*) = 0$, отвечает стационарному состоянию такого элемента. Поведение малых отклонений $\delta u = u - u^*$ при этом подчиняется линеаризованному уравнению

$$\delta \dot{u} = f'(u^*) \delta u. \quad (2.2)$$

Следовательно, значение $u = u^*$ отвечает устойчивому (по отношению к малым возмущениям) стационарному состоянию элемента, лишь если производная $f'(u)$ в этой точке отрицательна. Поэтому для функции $f(u)$, изображенной на рис. 1.7, значения $u = u_1$ и $u = u_3$ соответствуют устойчивым состояниям, тогда как стационарное состояние со значением $u = u_2$ абсолютно неустойчиво.

Приведем несколько примеров различных систем, поведение которых действительно характеризуется уравнениями вида (1) с двумя устойчивыми состояниями.

1. Пусть элемент представляет собой ячейку, внутри которой может протекать процесс горения. При этом будем считать, что имеющийся запас горючей смеси в этой ячейке поддерживается постоянным за счет непрерывного притока от внешнего источника либо он настолько велик, что его расходом в ходе реакции можно пренебречь. Предположим, что при

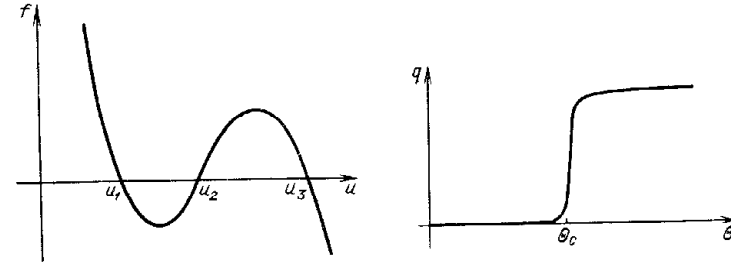


Рис. 1.7. Типичный вид функции $f(u)$

Рис. 1.8. Зависимость количества теплоты q , выделяющейся в единицу времени при горении, от температуры Θ

горении в единицу времени выделяется количество теплоты $q(\Theta)$, которое зависит, вообще говоря, от температуры Θ , при которой происходит горение. Ясно, что зависимость имеет ступенчатый характер (рис. 1.8): при температурах ниже некоторой критической Θ_c горение отсутствует и теплота не выделяется.

Если элемент изолирован от внешней среды, то вся выделяющаяся при горении теплота расходуется на его нагрев, т.е.

$$q(\Theta)\Delta t = C\Delta\Theta, \quad (2.3)$$

где $\Delta\Theta$ — приращения температуры за время Δt , а C — теплоемкость элемента. Поэтому изменение температуры со временем подчиняется уравнению

$$\dot{\Theta} = C^{-1}q(\Theta). \quad (2.4)$$

Поскольку функция $q(\Theta)$ неотрицательна, то согласно (4) температура элемента неограниченно возрастает с течением времени. В действительности, конечно, имеет место теплообмен между элементом и окружающей средой. Если температура окружающей среды есть Θ_1 , а коэффициент, характеризующий скорость теплообмена, равен γ , то модифицированное уравнение, учитывающее эффект теплообмена, имеет вид

$$\dot{\Theta} = C^{-1}q(\Theta) - \gamma(\Theta - \Theta_1). \quad (2.5)$$

Обозначив правую часть этого уравнения как

$$f(\Theta) = C^{-1}q(\Theta) - \gamma(\Theta - \Theta_1),$$

приходим к (1).

В данном случае устойчивые по отношению к малым возмущениям стационарные состояния имеют особенно простую интерпретацию (рис. 1.9 а): состояние $\Theta = \Theta_1$ отвечает отсутствию горения, так что температура элемента совпадает с температурой окружающей среды, а состояние с $\Theta = \Theta_3$ соответствует установившемуся стационарному режиму, когда выделяющаяся при горении теплота полностью отводится в окружающую среду. Оба состояния устойчивы по отношению к малым возмущениям, однако воздействия достаточно большой интенсивности могут приводить к переходам между двумя состояниями — элемент можно "зажечь" или "погасить".

Кстати, тот же элемент при других соотношениях параметров может обладать всего одним устойчивым стационарным состоянием. Например, если тепловыделение слишком мало либо теплоотвод слишком велик, режим устойчивого самоподдерживающегося горения отсутствует (рис. 1.9 б) и единственное стационарное состояние — это состояние с температурой $\Theta = \Theta_1$. Если температура окружающей среды Θ_1 превышает критическую температуру загорания Θ_c , элемент является самовоспламеняющимся (рис. 1.9 в). Тогда единственное стационарное состояние отвечает самоподдерживающемуся режиму горения.

Заметим, наконец, что если взять цепочку из связанных между собой подобных элементов, то (в приближении непрерывной среды) она описывается уравнением

$$\partial\Theta/\partial t = f(\Theta) + \chi\partial^2\Theta/\partial x^2, \quad (2.6)$$

где χ — температуропроводность.

2. Рассмотрим гипотетическую схему химических реакций (модель Шлёгеля)



Пусть концентрации химических веществ А и В заданы и поддерживаются постоянными. Тогда кинетическое уравнение для изменения со временем концентрации X вещества X записывается как

$$\dot{X} = k_1AX^2 - k_2X^3 - k_3X + k_4B. \quad (2.8)$$

Таким образом, стоящая в правой части этого уравнения функция $f(X)$ является кубическим полиномом. В определенном интервале значений параметров k_1, k_2, k_3, k_4, A и B эта функция имеет вид, показанный на рис. 1.7, а следовательно, такая необратимая химическая реакция обладает двумя устойчивыми стационарными режимами, которые характеризуются разными значениями концентрации $X = X_1$ и $X = X_3$.

Кинетическое уравнение (8) записано в предположении, что внутри элемента происходит полное диффузионное перемешивание реагирующих веществ. Если взять цепочку из таких элементов, то между ними будет происходить обмен молекулами за счет диффузии. В континуальном приближении (т.е. для распределенной среды) распределение концентрации вещества X вдоль цепочки меняется тогда с течением времени согласно уравнению

$$\partial X/\partial t = f(X) + D\partial^2 X/\partial x^2. \quad (2.9)$$

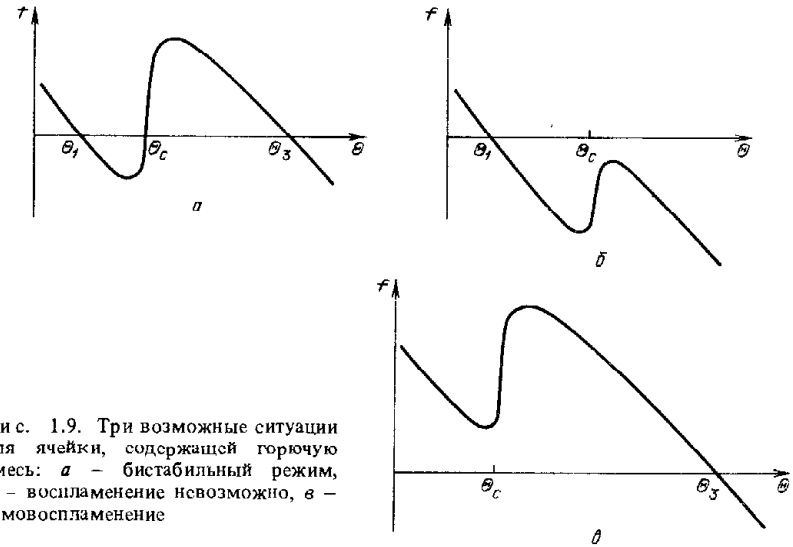


Рис. 1.9. Три возможные ситуации для ячейки, содержащей горючую смесь: а — бистабильный режим, б — воспламенение невозможно, в — самовоспламенение

3. Рассмотрим простую экологическую модель. Пусть в среде происходит размножение некоторых животных, численность которых в расчете на единицу объема мы обозначим как n . Предположим, что размножение имеет половой характер, т.е. вероятность рождения*) нового индивида пропорциональна вероятности встречи мужской и женской особей, т.е. величине n^2 . Тогда с учетом смертности животных и их диффузионного блуждания по среде динамика такой системы описывается уравнением

$$\dot{n} = -\gamma n + \alpha n(n) n^2 + D\Delta n. \quad (2.10)$$

Скорость размножения пропорциональна массе пищи m , которая, конечно, зависит от числа поедающих ее животных. Изменение m со временем, вообще говоря, должно описываться отдельным дифференциальным уравнением, содержащим n .

Ограничимся рассмотрением ситуации, когда масса пищи быстро подстраивается к мгновенной численности животных, так что m представляет собой некоторую убывающую функцию от численности животных n . Чтобы был невозможен неограниченный рост численности животных в популяции, убывание m должно быть достаточно быстрым, например экспоненциальным:

$$m = m_0 \exp(-n/n_0), \quad (2.11)$$

где m_0 и n_0 — некоторые постоянные коэффициенты.

При таких условиях рассматриваемая экологическая система также представляет собой бистабильную среду, аналогичную рассмотренным

*) Конечно, эта модель является крайне упрощенной. В частности, мы принимаем, что локальные численности мужских и женских особей всегда совпадают.

выше, причем нелинейная функция $f(u)$ дается выражением

$$f = -\gamma n + \alpha m_0 \exp(-n/n_0) n^2. \quad (2.12)$$

Эта среда обладает двумя устойчивыми однородными состояниями. В первом из них $n \equiv 0$; такое состояние устойчиво, потому что при низких плотностях n вероятность встречи двух особей (а следовательно, вероятность размножения) очень мала. Во втором устойчивом стационарном состоянии ограничение роста достигается благодаря обеднению пищевых ресурсов.

Эти три простых примера показывают, что бистабильные активные среды, описываемые уравнением

$$\dot{u} = f(u) + D \Delta u, \quad (2.13)$$

могут иметь самую различную природу.

Основным типом структуры, характерным для простых бистабильных сред, является волна переключения; при ее распространении элементы среды переходят из одного устойчивого состояния в другое.

Волна переключения из состояния $u = u_3$ в состояние $u = u_1$, движущаяся со скоростью c , представляет собой частное решение уравнения (13) вида

$$u = u(\xi), \quad \xi = x - ct \quad (2.14)$$

с граничными условиями

$$u \rightarrow u_3, \quad \xi \rightarrow -\infty; \quad u \rightarrow u_1, \quad \xi \rightarrow +\infty. \quad (2.15)$$

После подстановки (14) в (13) приходим к уравнению

$$-cu' = f(u) + Du'', \quad (2.16)$$

в котором штрихами обозначены производные по переменной ξ .

Чтобы понять наиболее существенные особенности решения, удобно воспользоваться следующей аналогией. Введем функцию

$$U(u) = \int_0^u f(u) du, \quad (2.17)$$

и перепишем уравнение (16) в форме

$$Du'' = -\partial U/\partial u - cu'. \quad (2.18)$$

Если рассматривать u как координату некоторой частицы, а ξ — как время, нетрудно заметить, что (18) совпадает с уравнением движения такой частицы массы D в потенциальном поле $U(u)$ при наличии вязкого трения, пропорционального скорости частицы u' , причем параметр c , т.е. скорость распространения фронта волны, играет в (18) роль динамической вязкости.

Легко убедиться, что в точках $u = u_1$ и $u = u_3$ функция $U(u)$ достигает максимума, а в промежуточной точке $u = u_2$ она имеет локальный минимум (рис. 1.10). Предположим вначале, что $U(u_3) > U(u_1)$; это осуществляется согласно (17) при выполнении условия $A > 0$, где

$$A = \int_{u_1}^{u_3} f(u) du. \quad (2.19)$$

Если бы вязкое трение отсутствовало ($c = 0$), частица в потенциальном поле, движение которой задано уравнением (18), сохраняла бы энергию

$$\mathcal{E} = U(u) + (1/2) D (du/d\xi)^2. \quad (2.20)$$

Тогда частице, находящейся в точке u_3 с более высоким значением потенциала U (рис. 1.10), потребовалось бы лишь конечное время ξ , чтобы

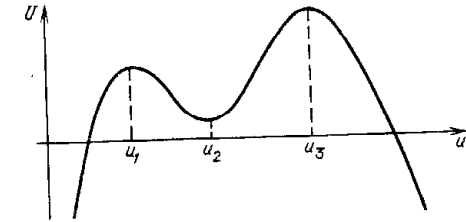


Рис. 1.10. Зависимость потенциала U от координаты u

попасть в точку u_1 , где потенциал U хотя и достигает локального максимума, но ниже, чем потенциал в точке u_3 . Затем она продолжала бы удаляться в сторону меньших значений координаты u , так что мы имели бы $u \rightarrow -\infty$ при $\xi \rightarrow +\infty$ и условие (15) было бы нарушено.

В то же время, если вязкость c слишком велика, частица быстро теряет свою энергию и не может вообще достигнуть перевальной точки u_3 . При $\xi \rightarrow +\infty$ она окажется в точке $u = u_2$, отвечающей локальному минимуму потенциала U .

При заданном потенциале $U(u)$, определяемом согласно (17) функцией $f(u)$, существует единственная вязкость $c = c_0$, при которой потеря энергии на трение в точности равна разности потенциалов в точках u_1 и u_3 , т.е. величине $\Delta \mathcal{E} = U(u_3) - U(u_1)$. Это значение и определяет скорость распространения фронта волны переключения (скорость волны).

Таким образом, скорость волны переключения и ее профиль однозначно определяются собственными характеристиками среды. Мы можем также заметить, что скорость волны c_0 убывает с уменьшением разности $\Delta \mathcal{E}$ и обращается в нуль при $U(u_3) = U(u_1)$. Если $U(u_3) < U(u_1)$, т.е. величина A , определяемая равенством (19), меньше нуля, волна переключения движется в обратном направлении: $u \rightarrow u_1$ при $\xi \rightarrow -\infty$ и $u \rightarrow u_3$ при $\xi \rightarrow +\infty$, т.е. при ее прохождении состояние среды u_3 сменяется состоянием u_1 .

Приведенные выше рассуждения можно было бы воспроизвести, не прибегая к аналогиям с механической системой. На рис. 1.11 изображены картины фазовых траекторий уравнения (18) на плоскости (u, u') в случае $A < 0$. При $c > c_0$ траектория, исходящая из стационарной точки $(u_3, 0)$, попадает в стационарную точку $(u_2, 0)$, тогда как при $c < c_0$ она уходит на бесконечность. Стационарные точки $(u_3, 0)$ и $(u_1, 0)$ являются по стандартной классификации седловыми, а траектория, исходящая из $(u_3, 0)$ или $(u_1, 0)$, есть сепаратриса седловой точки. Таким образом, значению $c = c_0$ (рис. 1.11 б) соответствует случай, когда сепаратриса идет из седла $(u_1, 0)$ в седло $(u_3, 0)$.

Общих аналитических методов, позволяющих рассчитывать скорость волны переключения при произвольной функции $f(u)$, не существует.

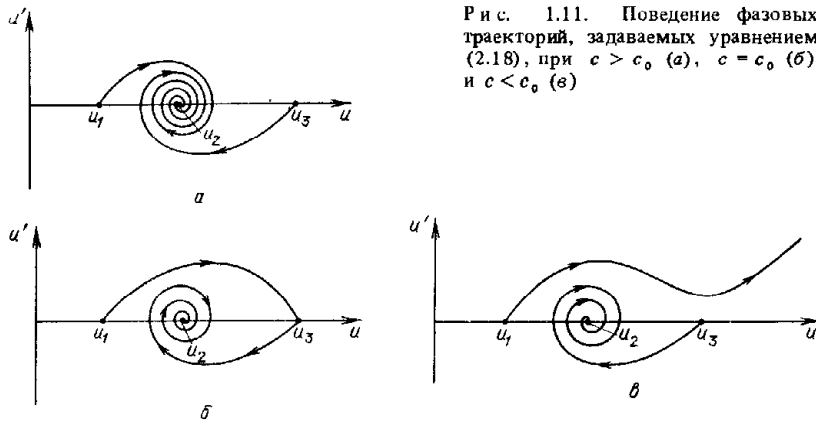


Рис. 1.11. Поведение фазовых траекторий, задаваемых уравнением (2.18), при $c > c_0$ (а), $c = c_0$ (б) и $c < c_0$ (в)

Тем не менее в важном частном случае, когда функция $f(u)$ задается полиномом третьего порядка

$$f = -\alpha(u - u_1)(u - u_2)(u - u_3), \quad u_1 < u_2 < u_3, \quad (2.21)$$

нетрудно получить точное решение задачи. Скорость волны переключения тогда равна

$$c_0 = (1/2)(\alpha D)^{1/2}(u_1 + u_3 - 2u_0). \quad (2.22)$$

Несколько других примеров, допускающих точное решение, приведены в [120].

Обычно при расчете скорости волн переключения в бистабильных средах приходится использовать приближенные методы. Первый из них относится к расчету скорости медленных волн.

Как уже отмечалось, при выполнении условия $A = 0$ (см. (19)) скорость распространения фронта волны переключения обращается в нуль, т.е. граница раздела между областями с двумя различными стационарными состояниями покоится. Естественно ожидать, что при малых A скорость смещения границы раздела c также невелика.

Если домножить обе части уравнения (16) на производную $du/d\xi$ и проинтегрировать по ξ в пределах от $-\infty$ до ∞ , то с учетом условий (15) нетрудно получить

$$c \int_{-\infty}^{\infty} (du/d\xi)^2 d\xi = \int_{u_1}^{u_3} f(u) du. \quad (2.23)$$

Это равенство можно использовать для приближенного нахождения скорости c . Именно, если скорость волны c мала, то профиль этой волны $u(\xi)$ мало отличается от профиля покоящейся границы раздела $u^{(0)}(\xi)$ для $A = 0$. Подставляя в (23) вместо $u(\xi)$ функцию $u^{(0)}(\xi)$ и учитывая определение величины A , приближенно получаем

$$c \approx A \left[\int_{-\infty}^{\infty} (du^{(0)}/d\xi)^2 d\xi \right]^{-1}. \quad (2.24)$$

Заметим, что при $A = 0$ профиль стоячей волны переключения $u^{(0)}(\xi)$ дается решением уравнения

$$Du'' = -\partial U/\partial u, \quad (2.25)$$

которое имеет вид

$$\xi = \int_{u_1}^u \{(2/D)[U(u_1) - U(u)]\}^{-1/2} du. \quad (2.26)$$

Формула (24) в сочетании с выражением (26) определяет скорость распространения медленных волн переключения; подчеркнем, что она оказывается пропорциональной величине A .

Другой приближенный способ расчета был предложен в 1938 г. Я.Б. Зельдовичем и Л.А. Франк-Каменецким [63] в теории теплового распространения пламени.

Допустим, что нелинейная функция $f(u)$ такова, как показано на рис. 1.12 а; она достигает больших положительных значений в узком интервале от u_2 до u_3 и является отрицательной, но малой по модулю в интервале от u_1 до u_2 . Соответствующий потенциал $U(u)$, в котором согласно уравнению (18) движется фиктивная частица, изображен на рис. 1.12 б.

Анализируя характер движения частицы в потенциале такой формы, можно заметить, что оно делится на две качественно различные стадии.

На участке $u_2 < u < u_3$ происходит быстрый разгон частицы; потенциальная сила $f(u)$ велика и по сравнению с ней силой вязкого трения $-cu'$ можно пренебречь:

$$Du'' \approx -\partial U/\partial u. \quad (2.27)$$

Согласно этому уравнению полная энергия частицы сохраняется:

$$(1/2)D(u')^2 + U(u) = U(u_3), \quad (2.28)$$

и при $u = u_2$ скорость частицы достигает значения

$$du/d\xi|_{u=u_2} \approx -\{(2/D)[U(u_3) - U(u_2)]\}^{1/2}. \quad (2.29)$$

На участке $u_1 < u < u_2$, наоборот, основную роль в движении частицы играет сила вязкого трения, тогда как потенциальной силой $f(u)$ можно

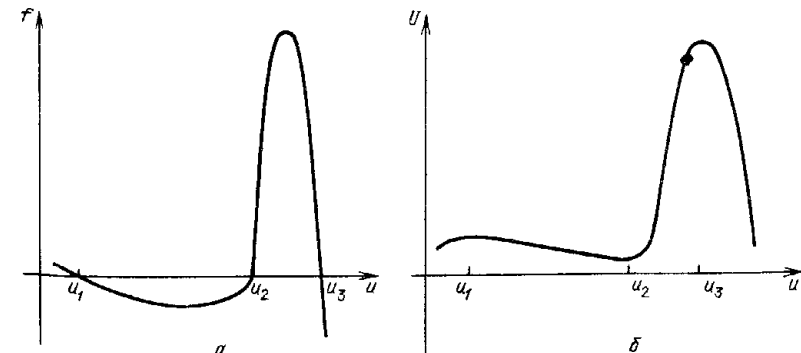


Рис. 1.12. Нелинейная функция $f(u)$ (а) и соответствующий ей потенциал $U(u)$ (б)

пренебречь:

$$Du'' \approx -cu'. \quad (2.30)$$

Уравнение (30) описывает торможение частицы, имевшей начальную скорость $du/d\xi$, даваемую выражением (29). Условие $u \rightarrow u_1$ при $\xi \rightarrow \infty$ означает, что длина пути торможения должна составить $u_2 - u_1$. Однако путь можно найти, непосредственно интегрируя уравнение (30):

$$u_2 - u_1 = (D/c) du/d\xi |_{u_2}. \quad (2.31)$$

Сравнивая (31) и (29), находим

$$c = (u_2 - u_1)^{-1} \{ (2D) [U(u_3) - U(u_2)] \}^{1/2}. \quad (2.32)$$

Вспомним теперь, что согласно сделанным выше предположениям величина $U(u_2)$ близка к $U(u_1)$, а значение u_2 мало отличается от u_3 . С учетом этого окончательно получим

$$c \approx (2DA)^{1/2} / (u_3 - u_1). \quad (2.33)$$

Это приближенное выражение определяет скорость распространения *быстрых волн переключения*.

В заключение кратко обсудим свойства волн переключения из состояния хотя и стационарного, но неустойчивого по отношению к слабым возмущениям. Может возникнуть вопрос, зачем вообще рассматривать эту ситуацию, поскольку, казалось бы, малые флуктуации должны всегда присутствовать, и они приведут к разрушению неустойчивого состояния еще до прихода волны переключения. Существует, однако, важный класс задач о заселении среды, где такие флуктуации отсутствуют и неустойчивое стационарное состояние способно сохраняться неограниченно долго.

Пусть, например, в среде идет процесс размножения некоторых микроорганизмов, осуществляющийся путем их деления или репликации. Тогда число новых микроорганизмов, рождающихся в единицу времени в единице объема, пропорционально массе пищи m и числу уже имеющихся в этом объеме микроорганизмов n . С учетом диффузии микроорганизмов в среде распределение их численности подчиняется уравнению

$$\dot{n} = \alpha mn + D\Delta n. \quad (2.34)$$

Ясно, что масса пищи связана с числом имеющихся микроорганизмов. В простейшем случае эту связь можно считать линейной:

$$m = \begin{cases} m_0 - \beta n, & n < n_0, \\ 0, & n \geq n_0, \end{cases} \quad (2.35)$$

где $n_0 = m_0/\beta$.

Такая система имеет два стационарных состояния: $n = 0$ и $n = n_0$. Первое из них отвечает отсутствию в среде микроорганизмов, а второе представляет собой заселенное состояние среды, в котором численность микроорганизмов ограничена ресурсами пищи.

Формально, первое из таких двух стационарных состояний абсолютно неустойчиво по отношению к сколь угодно слабым возмущениям. Тем не менее, поскольку спонтанное рождение микроорганизмов запрещено, такие флуктуации в незаселенном состоянии отсутствуют, и оно сохра-

няется, пока в него не будет внесена "затравка" в виде какого-то числа микроорганизмов.

Уравнение (34) было впервые исследовано А.Н. Колмогоровым, И.Г. Петровским и Н.С. Пискуиовым в 1937 г. [85]. Оно описывает распространение *волн заселения* среды. В установившемся режиме такие волны являются решением уравнений вида

$$n = n(\xi), \quad \xi = x - ct \quad (2.36)$$

с граничными условиями

$$n \rightarrow n_0 \text{ при } \xi \rightarrow -\infty, \quad n \rightarrow 0 \text{ при } \xi \rightarrow +\infty.$$

Скорость c такой волны заселения однозначно определяется свойствами самой среды; с точностью до численного коэффициента она равна $(\alpha m_0 D)^{1/2}$ и не зависит от окончательной численности микроорганизмов n_0 в заселенном состоянии, устанавливаемом после прохождения волны.

§ 3. Общие свойства структур в простых бистабильных средах

Проведенный в § 2 анализ оставил открытым ряд важных вопросов. В частности, устойчивы ли волны переключения в простых бистабильных средах? Являются ли они единственным возможным типом установившегося волнового режима? Что происходит при столкновении двух таких волн? Какова последующая эволюция произвольного начального распределения?

Обсуждение этих вопросов удобно проводить, переписав предварительно исходное уравнение (2.13) в эквивалентной форме

$$\frac{\partial u}{\partial t} = - \frac{\delta F[u]}{\delta u(r, t)}, \quad (3.1)$$

где правая часть выражена как вариационная производная от функционала*)

$$F = \int [-U(u(r)) + (1/2)D(\nabla u)^2] dr, \quad (3.2)$$

а функция $U(u)$ дается выражением (2.17).

Из уравнения (1) следует, что величина F не возрастает с течением времени независимо от выбора исходного состояния (распределения) $u(r)$. Действительно, производную от F по времени можно выразить как

$$\frac{dF}{dt} = \int \frac{\delta F}{\delta u(r, t)} \frac{\partial u}{\partial t} dr \quad (3.3)$$

и с учетом (1) представить в следующем виде:

$$\frac{dF}{dt} = - \int \left(\frac{\delta F}{\delta u(r, t)} \right)^2 dr. \quad (3.4)$$

*) Напомним определение вариационной производной:

$$\frac{\delta F[u]}{\delta u(r_1)} \equiv \lim_{\delta u \rightarrow 0} \frac{F[u + \delta u] - F[u]}{\int \delta u(r) dr},$$

где вариация $\delta u(r)$ локализована вблизи точки $r = r_1$.

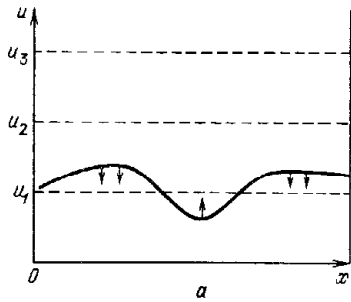
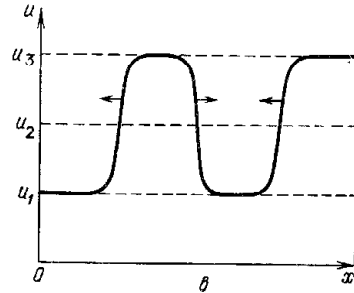
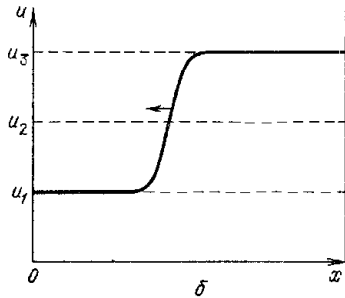


Рис. 1.13. Эволюция различных начальных распределений



Устойчивым стационарным состояниям соответствуют минимумы функционала F , а эволюция системы с течением времени заключается в приближении к одному из таких стационарных состояний.

Отметим прежде всего, что стационарные однородные состояния $u(r) = u_1$ и $u(r) = u_3$ всегда устойчивы по отношению к малым возмущениям. В самом деле, если слабо возмутить одно из таких решений, добавив к нему зависящую от координат r поправку $\delta u(r)$, это приведет к изменению функционала F , складывающемуся из двух частей. Во-первых, из-за изменения u возрастает первое слагаемое под знаком интеграла в (2) (выбранное нами однородное решение отвечает максимуму U). Во-вторых, становится отличным от нуля второе слагаемое в (2), пропорциональное $(\nabla u)^2$ и поэтому также положительное. Мы видим, что обе появляющиеся добавки положительны и, следовательно, малое неоднородное возмущение δu приводит к возрастанию функционала F . Поэтому стационарные однородные состояния u_1 и u_3 являются устойчивыми по отношению к малым возмущениям.

Обсудим теперь эволюцию сильно неоднородных распределений. Предположим вначале, что рассматриваемая нами система одномерна.

Пусть начальное распределение u таково, что оно нигде не превосходит значения u_2 , отвечающего минимуму функции $U(u)$ (см. рис. 1.10, 1.13a). Такое распределение, очевидно, не может отвечать минимуму функционала F , поскольку, приближая в каждой точке x величину u к u_1 , можно монотонно уменьшать первое слагаемое — $U(u)$ в этой точке, одновременно уменьшая неоднородность решения, что понижает вклад

от второго слагаемого под знаком интеграла в (2). Подходящее начальное распределение будет релаксировать к стационарному однородному состоянию $u = u_1$. Аналогично можно показать, что всякое распределение, для которого в каждой точке значение u оказывается выше u_2 , неустойчиво и релаксирует к однородному распределению $u = u_3$.

Начальное распределение может иметь также форму, показанную на рис. 1.13б. Распределения такого типа неустойчивы, поскольку всегда можно понизить значение функционала F , сдвигая границу между областями (где u близко к u_1 или u_3) в левую или правую сторону, так что в конце концов установится стационарное однородное распределение. Так как всякое начальное распределение можно разбить на участки двух упомянутых типов (рис. 1.13в), оно всегда релаксирует к однородному распределению. Это, в частности, означает, что две столкнувшиеся волны переключения полностью гасят друг друга.

Выше мы отмечали, что оба однородных состояния $u = u_1$ и $u = u_3$ устойчивы относительно малых возмущений. Абсолютному минимуму функционала F соответствует, однако, лишь одно из них, для которого значение $U(u)$ является наибольшим (для ситуации, изображенной на рис. 1.10, это состояние $u = u_3$). Если система первоначально находилась в однородном состоянии, которое не отвечает абсолютному минимуму F , то, создав достаточно большое возмущение, ее можно перевести в наиболее устойчивое состояние, отвечающее наиболее глубокому (абсолютному) минимуму F . На рис. 1.14 показано, как эволюционируют со временем малые (штрихпунктирные линии) и большие (сплошная линия) возмущения однородного состояния $u = u_1$.

Существует значительная аналогия между рассматриваемыми явлениями и эффектами фазовых переходов 1-го рода в равновесных физических системах. Основываясь на указанной аналогии, однородные распределения, которые отвечают минимумам F , часто называют *фазами* данной системы, причем если данная фаза соответствует лишь локальному, а не абсолютному минимуму F , ее называют *метастабильной*. Метастабильная фаза неустойчива по отношению к достаточно крупным возмущениям: если внутри ее возник довольно крупный *зародыш* устойчивой фазы, он начинает расти (рис. 1.14) и дает начало двум разбегающимся волнам переключения, после расхождения которых среда переходит в наиболее устойчивое стационарное однородное состояние. Кри-

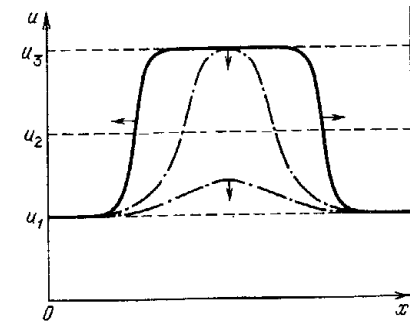


Рис. 1.14. Пример эволюции со временем различных локальных возмущений

тический размер зародыша определяется конкуренцией двух факторов. С одной стороны, образование зародыша, внутри которого u близко к u_3 , выгодно для системы, поскольку это уменьшает первое слагаемое в (2). С другой стороны, наличие зародыша означает возникновение в среде неоднородности, а поэтому – появление дополнительного положительного вклада в F , пропорционального $(\nabla u)^2$.

Особой является ситуация, когда оба минимума F при $u = u_1$ и $u = u_3$ имеют одинаковую глубину, т.е. $U(u_1) = U(u_3)$, или

$$\int_{u_1}^{u_3} f(u) du = 0. \quad (3.5)$$

В этом случае в бесконечной среде возможно стационарное сосуществование двух фаз, разделенных плоским переходным слоем. Такое состояние не отвечает абсолютному минимуму функционала F из-за наличия неоднородности – переходного слоя между фазами. Тем не менее, если среда бесконечна, мы не можем понизить значение F , сдвигая переходный слой. Это означает, что подобное стационарное состояние обладает (нейтральной) устойчивостью.

Если размеры среды конечны и сравнимы с шириной переходного слоя, неоднородные состояния неустойчивы даже при выполнении условия (5). Область раздела между фазами выталкивается к границе среды и, в конце концов, система становится однородной.

Отметим, что фактически среду следует считать бесконечной, когда ее размеры велики по сравнению с шириной переходного слоя. В этом случае при выполнении условия (5) среда разбивается на произвольное число областей (доменов, или страт), отвечающих различным фазам.

В конкретных приложениях часто возникает задача расчета критического зародыша, которого достаточно, чтобы инициировать переход всей распределенной системы из метастабильного в абсолютно устойчивое однородное состояние. В связи с этим заметим, что форме критического зародыша ставится в соответствие стационарное, но абсолютно неустойчивое неоднородное решение исходного уравнения (2.13).

В одномерном случае форма критического зародыша с центром в точке $x = 0$ определяется как решение дифференциального уравнения

$$D d^2 u / dx^2 + f(u) = 0 \quad (3.6)$$

с граничными условиями

$$du/dx |_{x=0} = 0, \quad u \rightarrow u_1 \text{ при } |x| \rightarrow \infty \quad (3.7)$$

(мы считаем состояние $u = u_1$ неустойчивым). Если домножить уравнение (6) на du/dx , проинтегрировать его по x в пределах от 0 до $+\infty$ и учесть граничные условия (7), получим равенство

$$\int_{u_1}^{u^*} f(u) du = 0, \quad (3.8)$$

которое определяет значение $u = u^*$ в центре зародыша, т.е. при $x = 0$. Обратим внимание, что u^* всегда меньше u_3 .

В заключение приведем несколько количественных результатов, относящихся к двумерным и трехмерным бистабильным средам.

Ясно, что построенное в § 2 решение для волн переключения справедливо также для волн с плоским фронтом, распространяющихся в двух- или трехмерной бистабильной среде. Как, однако, будут распространяться волны с искривленным фронтом?

Рассмотрим вначале волны переключения в двумерных возбудимых средах. Очевидно, что всякую волну с искривленным фронтом можно разбить на совокупность достаточно малых участков, каждый из которых представляет собой сегмент окружности. Поэтому найдем закон расширения кругового фронта, радиус R которого велик по сравнению с шириной l переходного слоя.

В полярной системе координат с учетом аксиальной симметрии уравнение (2.13) имеет вид

$$\frac{\partial u}{\partial t} = f(u) + \frac{D}{r} \frac{\partial u}{\partial r} + D \frac{\partial^2 u}{\partial r^2}. \quad (3.9)$$

Заметим теперь, что фактически производная du/dr отлична от нуля лишь в пределах узкого переходного слоя порядка l вблизи значения $r = R$. Поскольку мы считаем, что $R \gg l$, во втором слагаемом справа в уравнении (9) можно приближенно положить $r = R$.

Пусть $c(R)$ есть мгновенная скорость распространения фронта с радиусом R . С учетом сделанных выше приближений такой фронт отвечает решению

$$u = u(\xi), \quad \xi = r - c(R)t, \quad (3.10)$$

дифференциального уравнения

$$-c(R)u' = f(u) + (D/R)u' + Du'' \quad (3.11)$$

с граничными условиями $u \rightarrow u_1$ при $\xi \rightarrow +\infty$ и $u \rightarrow u_3$ при $\xi \rightarrow -\infty$. (Заметим, что координата ξ , конечно, не может принимать сколь угодно больших отрицательных значений, но величина u оказывается экспоненциально мало отличающейся от u_3 уже на небольшом удалении от зоны перехода.)

Перепишем теперь уравнение (11) в форме

$$-[c(R) + D/R]u' = f(u) + Du'' \quad (3.12)$$

и обратим внимание, что оно полностью совпадает с уравнением (2.16) для плоской волны переключения, если положить $c = c(R) + D/R$; идентичны также граничные условия, которым должны удовлетворять решения. Поэтому, если нам известна скорость c движения плоской волны переключения, скорость распространения фронта с радиусом кривизны R можно выразить как

$$c(R) = c - D/R. \quad (3.13)$$

Следовательно, выпуклый фронт движется медленнее, чем плоский. Более того, если R достаточно мало, направление движения может смениться на обратное. Области достаточно малых размеров не растут, а сокращаются. Критический размер области, при котором она не растёт и не сокращается, равен

$$R_{кр} = D/c. \quad (3.14)$$

Область с радиусом $R = R_{кр}$ представляет собой критический зародыш новой фазы: если радиус области чуть-чуть увеличить, она начинает расти, если же его слегка уменьшить, область сокращается и исчезает.

Следует, однако, напомнить, что все проведенное выше рассмотрение относится лишь к областям с радиусом гораздо больше ширины l переходного слоя. Поэтому выражение (14) применимо лишь в ситуациях, когда радиус критического зародыша достаточно велик, а именно $R_{кр} \gg l$. Это условие выполнено, если скорость распространения плоского фронта мала.

Хотя выражение (13) было выведено нами только для фронта, выпуклого в направлении области, занимаемой метастабильной фазой, оно справедливо также для вогнутых участков фронта. Если ввести локальную кривизну фронта $K = 1/R$ и считать ее положительной, когда фронт выпуклый, и отрицательной для вогнутых фронтов, скорость движения такого искривленного участка фронта можно записать как

$$c(K) = c - DK. \quad (3.15)$$

Для волн распространения пламени зависимость (15) впервые получена в [205]. Заметим, что она обеспечивает устойчивость плоского фронта: если на нем появился выступ, т.е. выпуклый участок, он станет двигаться с меньшей скоростью, и возмущение формы фронта затухнет.

Для волн переключения в трехмерных возбудимых средах рассмотрение проводится совершенно аналогично. Каждый участок фронтальной поверхности характеризуется своими двумя главными кривизнами K_1 и K_2 . Скорость его смещения равна

$$c(K_1, K_2) = c - D(K_1 + K_2). \quad (3.16)$$

Критический зародыш имеет радиус

$$R_{кр} = 2D/c. \quad (3.17)$$

Выражение (17) справедливо лишь при $R_{кр} \gg l$, где l — ширина слоя, в котором непосредственно происходит переключение от одного стационарного состояния к другому.

§ 4. Бегущие импульсы в возбудимых средах

Чтобы получить вместо бистабильной возбудимую активную среду, необходим какой-либо механизм, который обеспечивал бы возвращение элементов к исходному состоянию после прохождения волны переключения. Рассмотрим, например, следующую ситуацию. Пусть в среде осуществляется процесс горения, но скорость выделения теплоты q зависит не только от температуры Θ , но и от концентрации v некоторого вещества ("ингибитора"): $q = q(\Theta, v)$. Ингибитор ухудшает условия горения: чем больше его концентрация, тем меньше выделение теплоты.

При заданном значении v распространение волны горения описывается уравнением

$$\partial\Theta/\partial t = f(\Theta, v) + \chi\partial^2\Theta/\partial x^2, \quad (4.1)$$

где

$$f(\Theta, v) = -\gamma(\Theta - \Theta_1) + q(\Theta, v)/C. \quad (4.2)$$

как отмечалось в § 2, скорость и направление перехода в распространяющейся волне зависят от величины

$$A(v) = \int_{\Theta_1}^{\Theta_3} f(\Theta, v)d\Theta. \quad (4.3)$$

Если $A > 0$, то при распространении волны происходит переключение из холодного состояния $\Theta = \Theta_1$ в состояние с высокой температурой $\Theta = \Theta_3$, а, значит, распространяющаяся по среде волна будет волной загорания. Если же $A < 0$, то после прохождения волны среда переходит из горячего в холодное состояние, и мы имеем волну гашения (рис. 1.15).

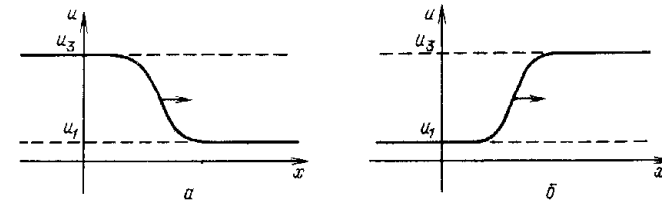


Рис. 1.15. Волны переключения при $A > 0$ (а) и $A < 0$ (б)

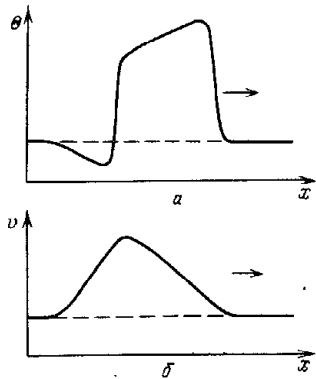
Поскольку A зависит от концентрации v ингибитора, то меняя последнюю можно управлять волной переключения — изменять ее скорость и даже направление движения. При низких концентрациях v волна будет волной загорания, а при высоких — волной гашения.

Пусть теперь ингибитор выделяется в ходе горения как побочный продукт реакции. Одновременно необходимо предположить, что он способен распадаться или уходить в окружающую среду — иначе ингибитор просто накапливался бы с течением времени. С учетом этих двух процессов изменение локальной концентрации ингибитора описывается уравнением

$$\partial v/\partial t = -\tau^{-1}[v - \bar{v}(\Theta)]. \quad (4.4)$$

Здесь $\bar{v}(\Theta)$ есть равновесная концентрация ингибитора, устанавливающаяся, если искусственно поддерживать заданную температуру Θ ; она является монотонно растущей функцией Θ . Мы будем считать, что характерное время установления концентрации ингибитора (τ) велико по сравнению с длительностью процесса перехода от холодного к горячему состоянию, т.е. по сравнению с длительностью вспышки загорания. Кроме того, предполагается, что диффузия ингибитора мала и ею можно пренебречь.

Уединенный бегущий импульс в среде, описываемой уравнениями (1) и (4), имеет вид, показанный на рис. 1.16. Его можно разбить на резкие фронт и спад, где происходит быстрое изменение температуры, а также на области более медленного изменения — вершину импульса и следующий за ним "хвост". Концентрация ингибитора не совершает быстрых изменений — она медленно возрастает при прохождении вершины импульса, а затем столь же плавно спадает до исходного нулевого значения.



Р и с. 1.16. Уединенный бегущий импульс в возбудимой среде. Показаны профили температуры (а) и концентрации ингибитора (б)

Фронт и спад импульса — это фактически две волны (загорания и гашения), движущиеся друг за другом с одинаковой скоростью. Загорание происходит в исходном состоянии, т.е. в отсутствие ингибитора. После того как загорание произошло и температура резко повысилась, концентрация ингибитора возросла и, когда она достигла некоторой критической величины, горение прекратилось. Температура резко снижается, выделение ингибитора приостанавливается и его концентрация медленно спадает. В результате среда возвращается в исходное состояние. Теперь по ней можно пустить еще одну волну горения и т.д.

Распространение уединенного бегущего импульса с последующим возвратом среды к исходному состоянию может быть обеспечено также другим механизмом, не связанным с выделением ингибитора. Рассмотрим в качестве гипотетического примера горение сухой травы в степи. При каждом прохождении волны пламени вся трава сгорает, но затем она очень медленно отрастает вновь, так что степь можно поджечь еще раз.

Два приведенных примера указывают на *типичные* ситуации, в которых можно ожидать появления уединенных бегущих импульсов. Разумеется, совершенно не обязательно, чтобы переменная Θ имела смысл именно температуры.

В химической активной среде с реакцией Белоусова — Жаботинского аналогом горения является процесс окисления одного из веществ. Реакция протекает в слабом растворе и не сопровождается существенными тепловыми эффектами. Если при горении активация ("поджиг") элементов среды обусловлена теплопроводностью, то в данном случае главную роль в распространении волны играет диффузия молекул окислителя. Реакция является самоускоряющейся (или, как говорят, содержит автокаталитическую стадию).

Структуры, возникающие в среде с реакцией Белоусова — Жаботинского, очень удобны для экспериментального изучения. Реакция идет при обычных лабораторных условиях в тонком слое раствора. Движение волн возбуждения сопровождается локальным изменением цвета этого раствора. Соответствующие процессы — достаточно медленные (импульс возбуждения движется со скоростью несколько миллиметров в минуту) и могут наблюдаться невооруженным глазом (размер самых мелких деталей около 1 мм).

Детальная схема реакции Белоусова — Жаботинского сложна и насчитывает более 20 промежуточных стадий. В упрощенном виде, учитывая различие в скоростях отдельных реакций, ее можно свести [252, 120]

к системе уравнений для концентраций u и v двух веществ.

$$\begin{aligned} \frac{\partial u}{\partial t} &= u(1-u) - \frac{v(u-a)}{(u+a)} + D \frac{\partial^2 u}{\partial x^2}, \\ \frac{\partial v}{\partial t} &= -\tau^{-1}(v-bu). \end{aligned} \quad (4.5)$$

Вторая из переменных, v , медленно меняется во времени и играет роль концентрации ингибитора, подавляющего процесс окисления; его диффузия в уравнениях (5) не учитывается. Переменную u обычно называют концентрацией активатора.

Близкими уравнениями вида

$$\begin{aligned} C \frac{\partial U}{\partial t} &= I_{Na}(U) - I_K(U, \sigma) + R^{-1} \frac{\partial^2 U}{\partial x^2}, \\ \frac{\partial \sigma}{\partial t} &= -\tau^{-1}[\sigma - \bar{\sigma}(U)] \end{aligned} \quad (4.6)$$

приближенно описывается распространение импульса возбуждения вдоль нервного волокна. В первом из этих уравнений C — емкость мембраны на единицу длины волокна; R — удельное сопротивление аксоплазмы, заполняющей волокна; I_{Na} и I_K — значения локального натриевого и калиевого токов через мембрану; $\bar{\sigma}(U)$ — установившееся значение проводимости по отношению к калиевому току при заданной разности потенциалов. Обратим внимание, что процесс подстраивания калиевой проводимости σ к имеющейся разности потенциалов U на мембране является медленным и характеризуется большим временным масштабом τ .

Аналогичные уравнения справедливы для мышечных волокон, которые образуют поперечно-полосатые и гладкие мышцы, выстилающие полые органы, а также ткань сердца. Подробнее о биологических и других примерах возбудимых сред можно прочитать в [36, 37, 90].

Итак, широкий класс возбудимых сред самой различной природы описывается уравнениями типа

$$\frac{\partial u}{\partial t} = f(u, v) + D \Delta u, \quad \epsilon^{-1} \frac{\partial v}{\partial t} = -v + \bar{v}(u), \quad (4.7)$$

где $\bar{v}(u)$ — монотонно возрастающая функция, а параметр ϵ мал ($\epsilon \ll 1$). Нас интересует случай, когда есть всего одно устойчивое однородное состояние такой среды. Это имеет место, если две нуль-изоклины $f(u, v) = 0$ и $v = \bar{v}(u)$ однородной системы (7) без диффузии пересекаются в одной единственной точке A , отвечающей состоянию покоя (рис. 1.17).

Согласно уравнениям (7) величина v является медленной — характерное время ее изменения имеет порядок $1/\epsilon$, тогда как величина u может существенно изменяться за гораздо меньшее время порядка единицы (в выбранных нами безразмерных переменных). Следовательно, на фронте и спаде бегущего импульса, где происходит резкое изменение u , ее в первом приближении можно считать постоянной. Это означает, что поведение u на фронте и спаде описывается первым из уравнений (7), в

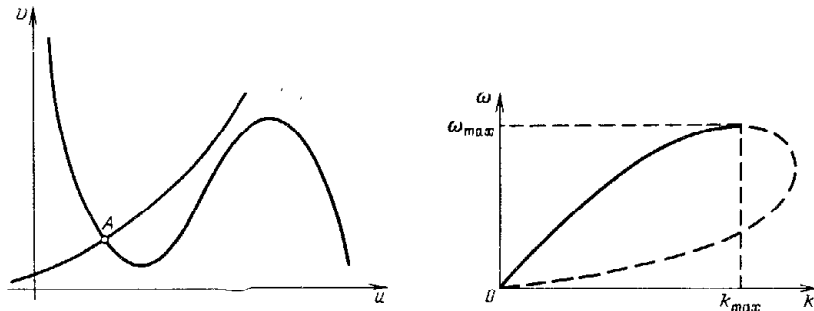


Рис. 1.17. Нуль-изоклины уравнений, описывающих возбудимую среду

Рис. 1.18. Типичный вид закона дисперсии нелинейных периодических волн в возбудимой среде

котором v — заданный параметр. Но оно в точности совпадает с уравнением (2.13), рассматривавшимся при изучении волн переключения.

Следовательно, фронт импульса есть волна переключения, и ее скорость (а следовательно, скорость всего бегущего импульса) определяется решением первого из уравнений (7) при значении $v = v_0$, отвечающем состоянию покоя. Спад импульса — волна обратного переключения, которая должна бежать вслед за фронтом с той же самой скоростью. Это условие определяет значение переменной v , при которой происходит обратное переключение в установившемся бегущем импульсе.

Более строго задача о расчете уединенного бегущего импульса формулируется следующим образом. Перейдем в систему координат $\xi = x - V_0 t$, в которой импульс покоится. Тогда уравнения (7) перейдут в систему двух обыкновенных дифференциальных уравнений

$$-V_0 u' = f(u, v) + Du'', \quad -(V_0/\epsilon)v' = \bar{v}(u) - v, \quad (4.8)$$

которую мы должны решать, потребовав выполнения условий $u \rightarrow u_0$ и $v \rightarrow v_0$ при $\xi \rightarrow \pm\infty$, где (u_0, v_0) — стационарное однородное состояние покоя. Наличие такого решения означает существование петли сепаратрисы стационарной седловой точки A , отвечающей состоянию покоя, а это возможно лишь при определенном значении параметра V_0 в уравнениях (8). Таким образом, скорость уединенного импульса находится путем решения нелинейной задачи на собственное значение. При малых значениях ϵ справедливо разложение [152]

$$V_0 \approx c_0(1 - \zeta\epsilon), \quad (4.9)$$

где c_0 представляет собой скорость волны переключения, описываемой первым из уравнений (7) при $v = v_0$, а ζ — некоторый коэффициент порядка единицы.

Разумеется, уравнения (7) допускают и периодическое распространение импульсов. Если период L следования импульсов достаточно велик, скорость их движения совпадает со скоростью одиночного импульса. Однако с уменьшением L скорость движения уменьшается, поскольку фронт следующего импульса начинает наступать на "хвост"

предыдущего, и распространение фронта идет на фоне остаточной концентрации ингибитора, превышающей стационарный уровень v_0 .

Периодическая последовательность импульсов описывается решением вида $u = u(\eta)$, $v = v(\eta)$, где $\eta = kx - \omega t$; $u(\eta + 2\pi) = u(\eta)$, $v(\eta + 2\pi) = v(\eta)$. Оно удовлетворяет системе обыкновенных дифференциальных уравнений

$$-\omega u' = f(u, v) + Dk^2 u'', \quad -(\omega/\epsilon)v' = \bar{v}(u) - v \quad (4.10)$$

и соответствует предельному циклу этой системы. При произвольных значениях параметров ω и k период такого предельного цикла по фазовой координате η может быть различным. Потребовав, чтобы он был равен 2π , мы получим соотношение, связывающее ω и k , которое естественно назвать *законом дисперсии* нелинейных периодических волн: $\omega = \Omega(k, \epsilon)$.

Типичный вид закона дисперсии показан на рис. 1.18. Правая ветвь дисперсионной зависимости, обозначенная штриховой кривой, описывает медленные волны и соответствует неустойчивым режимам. Вообще говоря, область неустойчивости захватывает и часть области быстрых волн (сплошная кривая). Однако до настоящего времени отсутствуют аналитические расчеты положения границы устойчивости. Поэтому часто приближенно полагают, что устойчива вся левая ветвь дисперсионной зависимости.

Существует, таким образом, минимальный пространственный период устойчивого следования импульса $L_{\min} = 2\pi/k_{\max}$, по порядку величины он равен ширине отдельно бегущего импульса. Ему соответствует максимальная возможная частота следования импульсов $\omega_{\max} \sim \epsilon^{1/2}$.

Как отмечалось в § 2, даже аналитический расчет скорости волны переключения в простых бистабильных средах обычно невозможен. В еще большей степени это относится к характеристикам бегущих импульсов в возбудимых средах. Обычно здесь приходится прибегать к численным расчетам. Важным исключением является так называемая модель Ринцеля — Келлера, описываемая уравнениями

$$\frac{\partial u}{\partial t} = -u + \bar{u}\Theta(u - u_0) - v + \frac{\partial^2 u}{\partial x^2}, \quad \epsilon^{-1} \frac{\partial v}{\partial t} = u, \quad (4.11)$$

где ступенчатая функция Хевисайда определена как $\Theta(z) = 0$ при $z < 0$ и $\Theta(z) = 1$ при $z \geq 0$.

Закон дисперсии нелинейных периодических волн в модели Ринцеля — Келлера был аналитически рассчитан в [208]. Максимальная частота одномерной последовательности волн дается в этой модели выражением

$$\omega_{\max} = \pi\epsilon \{\operatorname{arctch}(\sqrt{3\epsilon/2\mu})\}^{-1}, \quad (4.12)$$

где $\mu = (1/2) - u_0/u$. Самоподдерживающееся распространение волн невозможно при $\mu < \sqrt{3\epsilon}/2$. Максимальное волновое число составляет

$$k_{\max} = \pi\sqrt{\epsilon/3} \{\operatorname{arctch}(\sqrt{3\epsilon/2\mu})\}^{-1}. \quad (4.13)$$

При выполнении условия $\mu \ll 1$ закон дисперсии плоских волн вплоть

до значения $k = k_{\max}$ хорошо аппроксимируется неявным выражением

$$\omega = 4k\mu\text{th}\pi\nu - 3\nu k^2, \text{ где } \nu = \epsilon/\omega. \quad (4.14)$$

Заметим, что решение для периодической последовательности импульсов, имеющей пространственный период следования L , описывает также и движение одиночного импульса по окружности параметра L .

Для двумерной возбудимой среды одиночному бегущему импульсу соответствует уединенная волна возбуждения. Обсудим вкратце, какой может быть зависимость скорости распространения такой волны от кривизны ее фронта.

Чтобы найти зависимость скорости волны V от кривизны ее фронта K , введем на плоскости мгновенную полярную систему координат, в которой локально фронт описывается окружностью радиуса $R = 1/K$ с центром в начале координат. Если радиус кривизны гораздо больше ширины волны (т.е. ширины импульса возбуждения), приближенно можно записать

$$\frac{\partial u}{\partial t} = f(u, v) + \frac{D}{R} \frac{\partial u}{\partial r} + D \frac{\partial^2 u}{\partial r^2}, \quad \epsilon^{-1} \frac{\partial v}{\partial t} = \bar{v}(u) - u. \quad (4.15)$$

Радиальному распространению со скоростью V отвечает решение $u = u(\xi)$, $v = v(\xi)$, где $\xi = r - Vt$. Оно удовлетворяет уравнениям

$$-(V + DK)u' = f(u, v) + Du'', \quad -(V/\epsilon)v' = \bar{v}(u) - u. \quad (4.16)$$

Нетрудно заметить, что они переходят в уравнения (8), описывающие распространение одиночного импульса, если положить $\tilde{V} = V + DK$ и заменить в (8) ϵ на $\epsilon^* = (V + DK)\epsilon/V$. Следовательно, \tilde{V} должно выражаться через ϵ^* по закону (9), полученному для одиночного импульса.

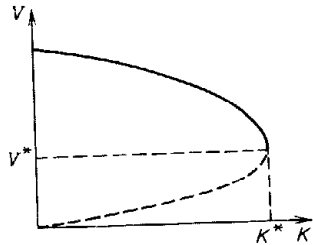


Рис. 1.19. Зависимость скорости распространения волны в двумерной возбудимой среде от кривизны ее фронта

Подставляя выражения для \tilde{V} и ϵ^* в (9) и решая возникающее уравнение, находим

$$\frac{V}{c_0} = \frac{1}{2} \left(1 - \zeta\epsilon - \frac{DK}{c_0} \right) \pm \frac{1}{2} \left[\left(1 - \zeta\epsilon - \frac{DK}{c_0} \right)^2 - 4\zeta\epsilon \frac{DK}{c_0} \right]^{1/2}. \quad (4.17)$$

Найденная зависимость показана на рис. 1.19. Никакие волны не могут распространяться с кривизной, превышающей

$$K^* = (c_0/D) [1 - 2(\zeta\epsilon)^{1/2}]. \quad (4.18)$$

При $K < K^*$ имеются две ветви, из которых нижняя (штриховая кривая) всегда неустойчива. Данные численного моделирования [66] свидетельствуют, что для верхней ветви (сплошная кривая) волна остается устойчивой, вплоть до значений кривизны ее фронта, довольно близких к предельному возможному значению K^* .

Поучительно сравнить особенности распространения искривленных волн переключения в простых бистабильных средах с полученными выше результатами для движения искривленных волн возбуждения в двумерных возбудимых средах. Как отмечалось в § 3, скорость движения волны переключения связана с ее кривизной простым линейным законом $c = c_0 - DK$. В частности, при достаточно большой кривизне фронт может остановиться и даже начать движение в обратном направлении. Для волн возбуждения это невозможно. При достижении достаточно большой кривизны фронта, близкой к величине K^* , волна теряет устойчивость и разрушается. Она не может остановиться или поменять направление движения. Волны, кривизна фронта которых близка к пределу устойчивости, продвигаются вперед со скоростью, близкой к $V^* = (\zeta\epsilon)^{1/2}$.

§ 5. Процессы в возбудимых средах, образованных клеточными автоматами

Здесь рассматриваются волновые процессы в дискретных сетях, образованных связанными между собой возбудимыми элементами. В отличие от § 4 мы не предполагаем, что отдельный такой элемент описывается дифференциальными уравнениями с непрерывно меняющимися переменными. Вместо этого для каждого элемента теперь заданы определенные *правила перехода* между состояниями: состояние данного элемента в момент времени $n + 1$ однозначно определено состоянием этого элемента и его ближайших соседей по сети в предыдущий, дискретный момент времени n . Это означает, что мы моделируем возбудимую среду как сеть *клеточных автоматов*.

Прибегать к таким моделям приходится главным образом по двум обстоятельствам.

Даже если известны точные дифференциальные уравнения (например, вида (4.7)), которые описывают интересующую нас среду, как правило, не удается найти аналитические решения этих уравнений и необходимо проводить численные расчеты. Если задача заключается в исследовании волновых процессов, связанных с образованием и развитием структур в таких двумерных (а тем более трехмерных) средах, расчеты оказываются чрезвычайно трудоемкими. В этой ситуации (в особенности когда нас интересуют в первую очередь качественные результаты) можно отказаться от численного интегрирования соответствующих дифференциальных уравнений и обратиться к анализу гораздо более простых систем, представляющих собой сети клеточных автоматов. Как показывают расчеты, их динамика

достаточно хорошо воспроизводит основные черты соответствующих явлений в распределенных возбудимых средах.

Кроме того, есть много примеров, когда именно модели дискретных сетей, а не приближение сплошной среды, являются наиболее адекватными. Важнейший из них — нейронные сети, а также живые ткани, образованные переплетенными мышечными волокнами (в частности, ткань сердечной мышцы).

В 1946 г. Н. Винер и А. Розенблют [38] предложили простую модель, позволяющую исследовать различные режимы распространения возбуждения по однородной нейронной сети (со связями лишь между соседними нейронами) и ткани сердечной мышцы. Согласно такой модели среда представляет собой совокупность отдельных элементов, способных находиться в одном из трех состояний: покоя, возбуждения и рефрактерности. Будучи приведенным в возбужденное состояние, элемент пребывает в нем в течение некоторого времени (*), затем переходит в состояние рефрактерности и лишь после этого возвращается в состояние покоя. Элемент среды может перейти в возбужденное состояние благодаря внешнему воздействию либо если по соседству с ним оказался возбужденный элемент. Переход в возбужденное состояние возможен лишь из состояния покоя.

Ниже мы подробно рассмотрим обобщенную модель Винера—Розенблота, в которой дополнительно учтен пороговый характер активации и временное суммирование приходящих сигналов [68].

Пусть двумерная сеть образована элементами, нумерованными парой целых индексов i и j . Состояние каждого элемента задается двумя величинами ϕ_{ij}^n и u_{ij}^n ; верхний индекс n указывает дискретный момент времени. Переходы между состояниями осуществляются согласно следующему набору правил:

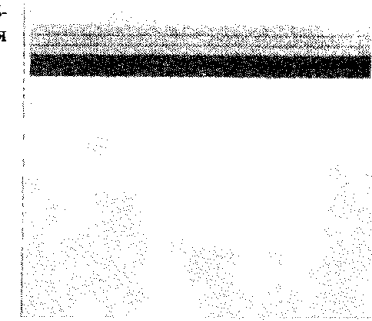
$$\phi_{ij}^{n+1} = \begin{cases} \phi_{ij}^n + 1, & \text{если } 0 < \phi_{ij}^n < \tau_e + \tau_r, \\ 0, & \text{если } \phi_{ij}^n = \tau_e + \tau_r, \\ 0, & \text{если } \phi_{ij}^n = 0, \quad u_{ij}^{n+1} < h, \\ 1, & \text{если } \phi_{ij}^n = 0, \quad u_{ij}^{n+1} \geq h \end{cases} \quad (5.1)$$

(τ_e — дискретная длительность возбужденного состояния, τ_r — дискретная длительность рефрактерного состояния). Переменная ϕ_{ij}^n имеет смысл фазы элемента, находящегося в узле (i, j) , в момент времени n . Значение фазы $\phi_{ij}^n = 0$ отвечает состоянию "покоя". Если $0 < \phi_{ij}^n \leq \tau_e$, элемент находится в состоянии "возбуждения". Состоянию рефрактерности соответствуют значения $\tau_e < \phi_{ij}^n \leq \tau_e + \tau_r$. Согласно (1) переход элемента из узла (i, j) от состояния покоя к возбужденному состоянию происходит при превышении величиной $u_{i,j}^{n+1}$ порога h . Затем элемент совершает фиксированную последовательность переходов, при каждом из которых значение фазы возрастает на единицу, а при достижении фазой значения $\tau_e + \tau_r$ возвращается к исходному состоянию покоя.

Величина u_{ij}^n есть концентрация активатора в узле (i, j) в момент времени n . Мы считаем, что в узлах сети идут процессы распада и производства

*) В [38] продолжительность возбужденного состояния предполагалась пренебрежимо малой (мгновенной); модель с конечным временем возбуждения была предложена позднее А. Розенблютом [240].

Рис. 1.20. Плоская волна возбуждения в среде из клеточных автоматов. Темные участки — область возбуждения, серые — область рефрактерности, белые — область покоя



активатора, причем активатор производится лишь элементами, находящимися в данный момент времени в возбужденном состоянии:

$$u_{ij}^{n+1} = gu_{ij}^n + \sum_{k,l} C(k,l) J_{i+k,j+l}^n \quad (5.2)$$

где

$$J_{ij}^n = \begin{cases} 1, & \text{если } 0 < \phi_{ij}^n \leq \tau_e, \\ 0, & \text{если } \tau_e < \phi_{ij}^n \leq \tau_e + \tau_r \text{ или } \phi_{ij}^n = 0. \end{cases} \quad (5.3)$$

Коэффициенты $C(k, l)$ быстро спадают с увеличением расстояния до данного узла. Обычно достаточно ограничиться учетом вклада от ближайших соседей, т.е. положить

$$C(k, l) = \begin{cases} 1, & \text{если } |k| \leq 1, \quad |l| \leq 1, \\ 0 & \text{в остальных случаях.} \end{cases} \quad (5.4)$$

Модель, задаваемая правилами перехода (1)–(3), переходит в первоначальную модель Винера—Розенблота, если в ней положить $h = 1, g = 0$ и выбрать $C(k, l)$ в виде (4). Тогда возбужденный элемент возбуждает на следующем шаге по времени любой из покоящихся элементов, которые находятся по соседству с ним. Если же $h > 1, 0 < g \leq 1$, то элемент выжидает перехода, пока не будет накоплено пороговое значение h концентрации активатора — либо за счет временной суммации, либо благодаря притоку активатора одновременно от нескольких соседних элементов. Время выжидания тем больше, чем меньше число соседних элементов возбуждено. Благодаря этому появляется зависимость скорости распространения волны возбуждения от формы ее фронта.

Таким образом, параметр h имеет смысл порога возбуждения данной среды, а величина $1/(1-g)$ есть характерное время полураспада активатора.

При различных соотношениях параметров рассматриваемая модель демонстрирует значительное разнообразие режимов (*).

*) Излагаемые ниже результаты получены одним из авторов (А.С.М.) совместно с Б. Доржсурэнгийном.

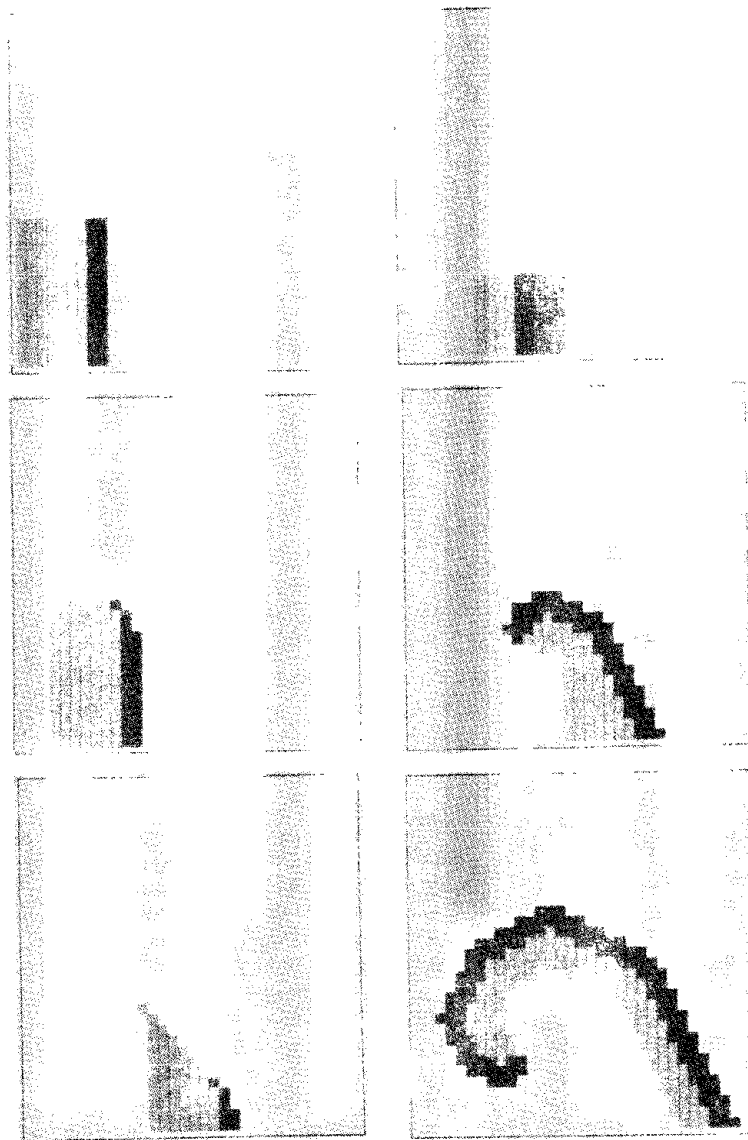


Рис. 1.21. Эволюция начального распределения в виде полуволны для среды с достаточно высокой возбудимостью ($\tau_e = 2$, $\tau_r = 7$, $g = 0,3$, $h = 3$)

Рис. 1.22. Рождение спиральной волны из обрыва в среде с достаточно высокой возбудимостью ($\tau_e = 5$, $\tau_r = 7$, $g = 0,3$, $h = 3$)

Если $h = 3$, то по среде могут распространяться плоские волны возбуждения, движущиеся со скоростью $V = 1$ (рис. 1.20). Их фронт смещается на один элемент решетки за каждый шаг по времени; волна имеет суммарную ширину $\tau_e + \tau_r$. При $h > 3$ плоские волны движутся с меньшими скоростями ($V \leq 1/2$), т.е. фронт смещается на каждый второй либо на каждый третий и т.д. такт по времени. Чтобы распространение волны в этом случае было возможно, распад активатора не должен быть слишком быстрым, т.е. g не должно превышать определенное критическое значение, зависящее от h и τ_e .

Поскольку состояние среды до и после прохождения волны возбуждения одинаково, ничто не препятствует созданию начального распределения в виде оборванной полуволны (рис. 1.21). Какой будет последующая эволюция такого начального распределения? Оказывается, что ответ существенно зависит от эффективной *возбудимости* среды, определяемой значением порога возбуждения h , длительностью возбужденного состояния τ_e и значением коэффициента g .

Если возбудимость среды низка (рис. 1.21), полуволна сокращается с течением времени, и начальное возмущение затухает. Подобрав значения параметров, можно добиться того, чтобы волна двигалась вперед, не сокращаясь и не "прорастая".

При более высокой возбудимости среды волна возбуждения "прорастает" на своем свободном конце, одновременно отставая. В результате из обрыва волны возбуждения рождается вращающаяся спиральная волна (рис. 1.22). При не очень высокой возбудимости эта волна является достаточно "рыхлой": между витками спирали расположены участки, где элементы пребывают в состоянии покоя. Свободный конец совершает движение вокруг покоящейся области — ядра спиральной волны, которое в данном случае велико. Если возбудимость среды высока, спиральная волна "намотана" более плотно. В этом случае ядро спиральной волны мало.

Спиральная волна для модели Винера-Розенблюта показана на рис. 1.23. Мы видим, что здесь ядро спиральной волны (покоящаяся область в ее центре) вообще отсутствует.

Если задать начальное распределение в виде двух полуволн, ориентированных навстречу друг другу, из него развивается двухрукавная спиральная волна (рис. 1.24); обратите внимание на нестационарность процесса в центральной области такой волны и последовательное "перезамыкание" волн.

Из приведенных иллюстраций видно, что сталкивающиеся волны возбуждения аннигилируют, т.е. гасят друг друга. Это весьма общее свойство волн в возбудимых средах. Действительно, при столкновении двух таких волн возбужденные элементы оказываются

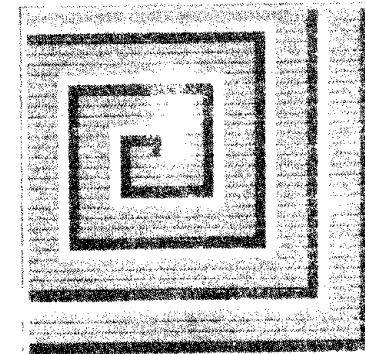


Рис. 1.23. Спиральная волна в модели Винера-Розенблюта

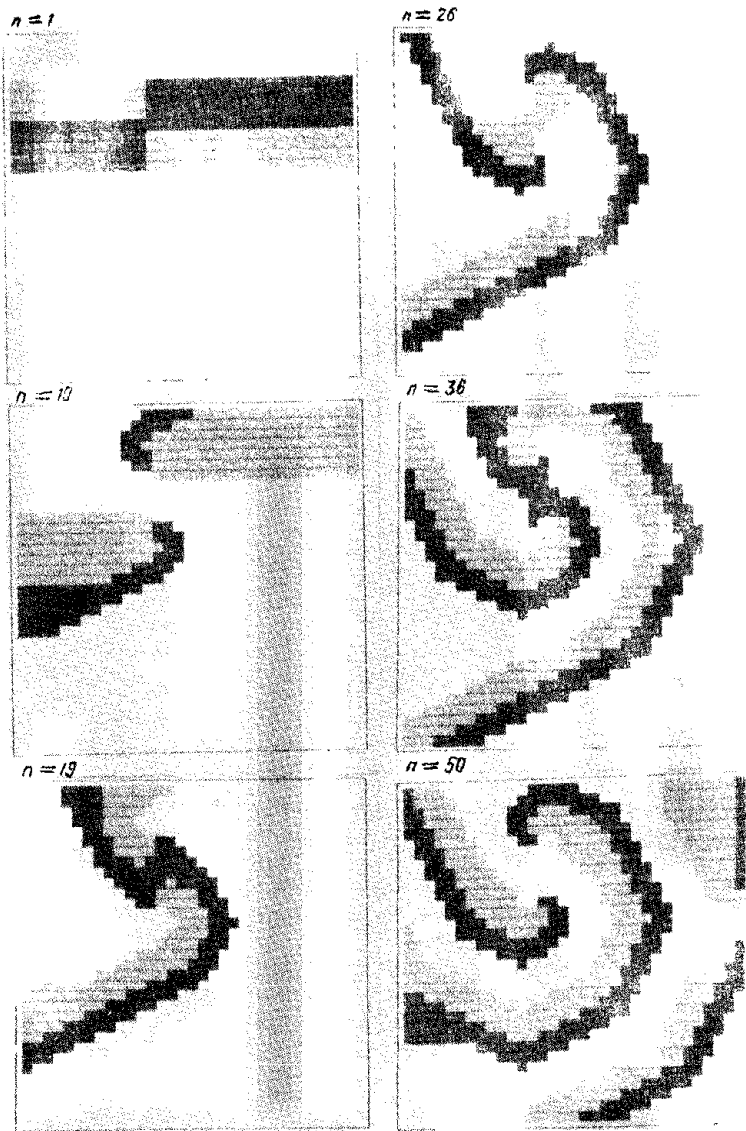


Рис. 1.24. Образование двухрукавной спиральной волны ($\tau_e = 5$, $\tau_r = 7$, $g = 0.4$, $h = 3$)

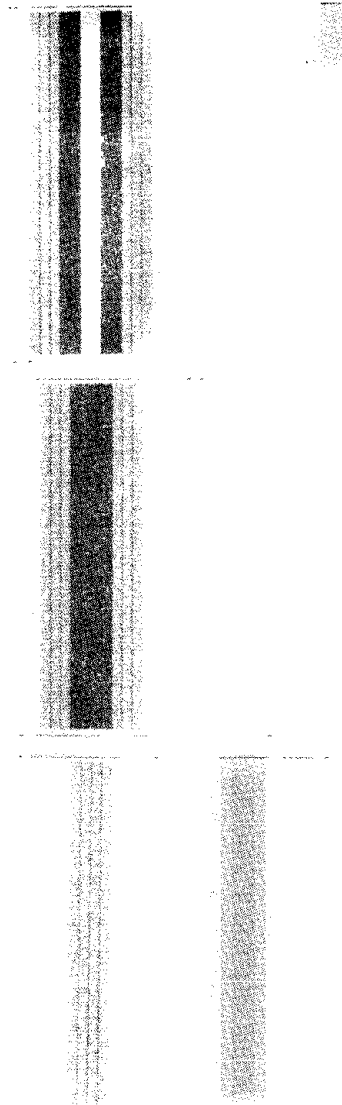
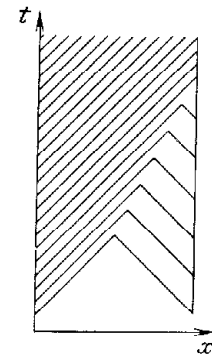


Рис. 1.25. Аннигиляция двух волн в результате их столкновения

Рис. 1.26. Схематическое изображение временной развертки волны от двух источников с разными периодами генерации



зажатыми с двух сторон элементами, находящимися в состоянии рефрактерности, и не способны передать возбуждение другим элементам среды (рис. 1.25).

Аннигиляция волн при их столкновении приводит к одному очень важному эффекту. Если в такой среде действует несколько периодических источников волн, то с течением времени источник, генерирующий волны с максимальной частотой, подавляет все остальные источники. Как видно из рис. 1.26, где схематически изображена временная развертка волн от двух источников с разными периодами генерации T_1 и T_2 , с каждым последующим столкновением точка, где оно происходит, смещается все ближе в направлении к более медленному источнику, и в конце концов деятельность его подавляется.

Чтобы получить локальный периодически действующий источник волн, или *пейсмекер*, достаточно взять группу автоколебательных элементов, для которых фаза ϕ меняется не согласно (1), а по простому закону

$$\phi_{ij}^{n+1} = \begin{cases} \phi_{ij}^n + 1, & \text{если } \phi_{ij}^n < T - 1, \\ 0, & \text{если } \phi_{ij}^n \geq T - 1. \end{cases} \quad (5.5)$$

Ясно, что каждый такой элемент будет совершать, независимо от своего окружения, колебания с периодом T . Если поместить достаточно большую группу таких элементов в возбудимую среду, последняя играет роль источника концентрических распространяющихся волн возбуждения (рис. 1.27). Замстим, что фактический период генерации волн совпадает с T , лишь если $T \geq \tau_e + \tau_r + 1$. В противном случае среда "пропускает" некоторые такты активации, поскольку автоколебательные элементы, находящиеся в состоянии возбуждения, оказываются окруженными элементами, находящимися в состоянии рефрактерности, и не способны породить волну возбуждения. В результате пейсмекер начинает генерировать волны с более высоким кратным периодом $2T, 3T$ и т.д.

Рис. 1.28 иллюстрирует эффект подавления низкочастотного пейсмекера высокочастотным.

В отличие от пейсмекеров, образование которых обусловлено неоднородностью активной среды, т.е. присутствием внутри нее группы автоколебательных элементов, спиральные волны являются локальными источниками автоволн, не привязанными к какой-либо неоднородности. Положение центра спиральной волны определяется лишь начальными условиями, сложившимися при ее зарождении. Все спиральные волны в данной среде имеют одинаковую частоту циркуляции. Поэтому две спиральные волны, будучи автоволновыми источниками, не подавляют с течением времени друг друга (рис. 1.29).

Своеобразные эффекты наблюдаются при взаимодействии спиральной волны с пейсмекером. Если частота генерации волн пейсмекером ниже частоты циркуляции спиральной волны, последняя подавляет пейсмекер (рис. 1.30). При обратном соотношении частот спиральная волна вырождается в дополнительную полуволну (своеобразную "дислокацию"), которая испытывая последовательные перезамыкания, постепенно вытесняется все дальше на периферию пейсмекера (рис. 1.31).

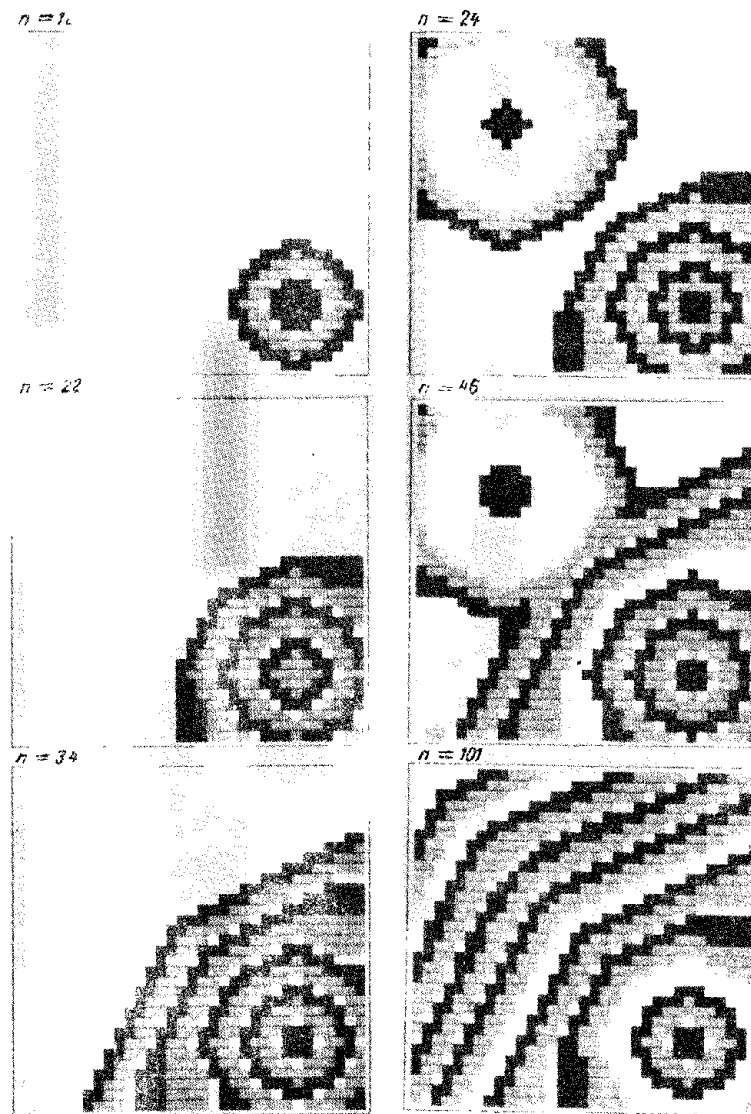


Рис. 1.27. Пейсмекер, генерирующий периодическую последовательность волн ($\tau_e = 3, \tau_r = 4, g = 0,5, h = 3, T = 9$)

Рис. 1.28. Подавление низкочастотного пейсмекера высокочастотным

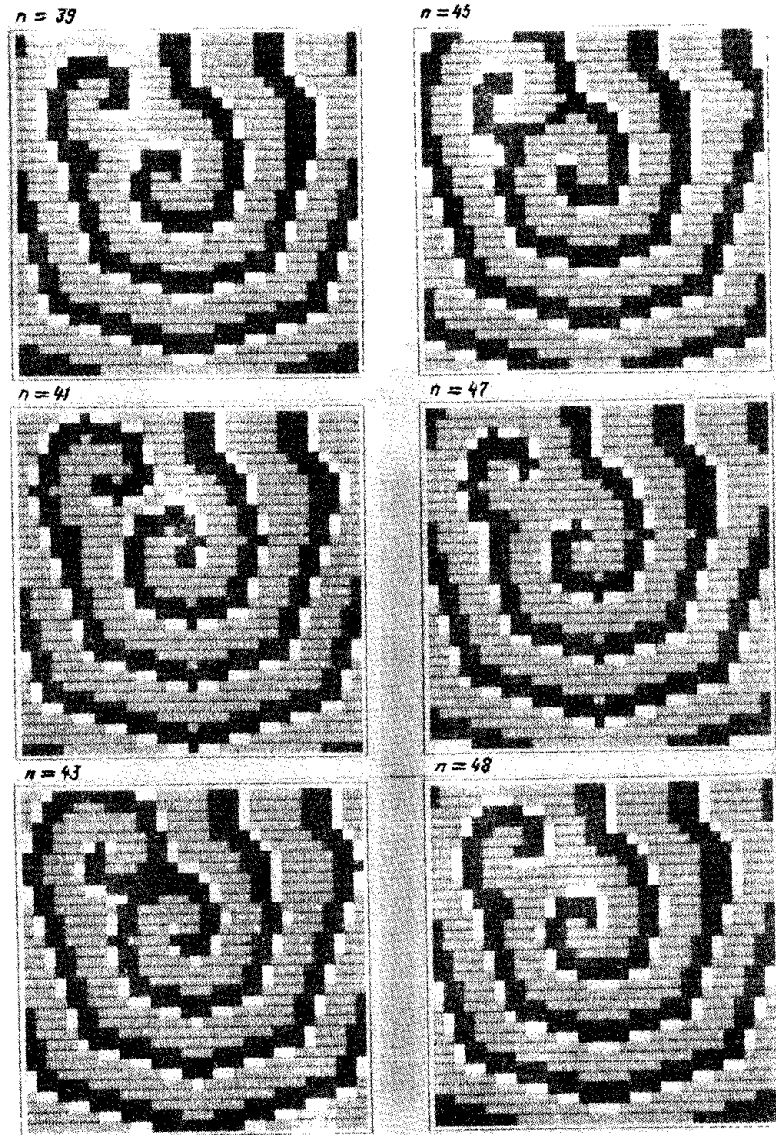


Рис. 1.29. Сосуществование двух спиральных волн в возбудимой среде ($\tau_e = 3$, $\tau_r = 5$, $g = 0,55$, $h = 2,5$)

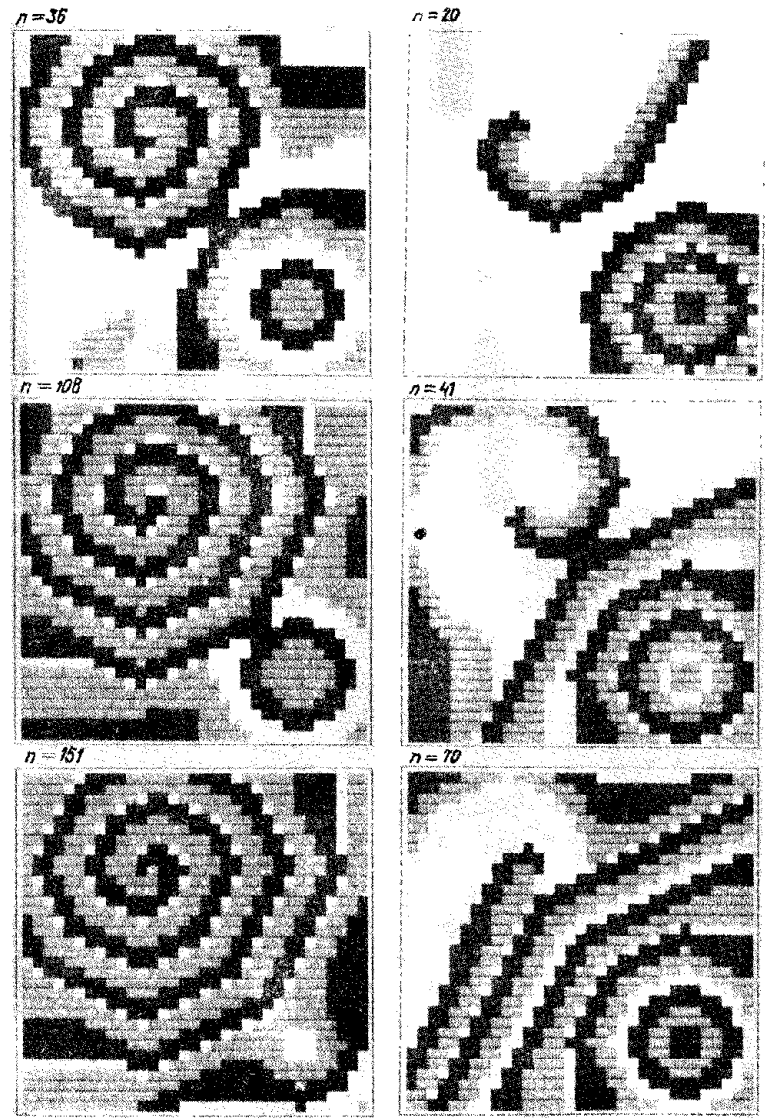


Рис. 1.30. Подавление низкочастотного пейсмекера спиральной волной

Рис. 1.31. Вытеснение спиральной волны высокочастотным пейсмекером ($\tau_e = 4$, $\tau_r = 4$, $g = 0,4$, $h = 3$, $T = 6$)

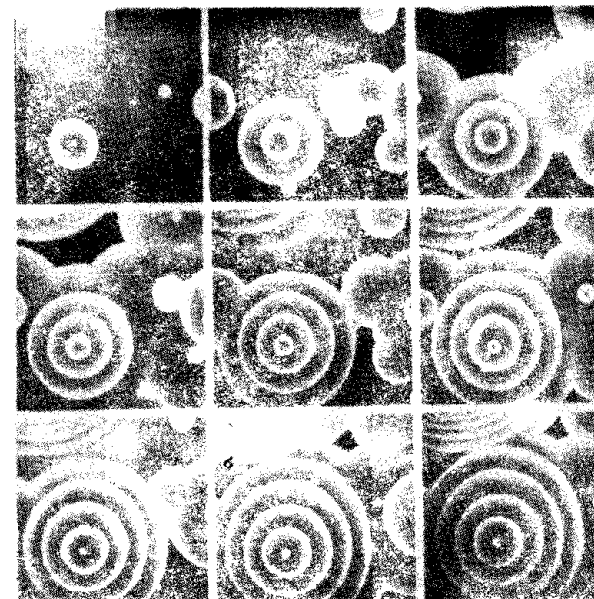
§ 6. Спиральные волны в распределенных возбудимых средах

Почти все эффекты, отмечавшиеся в § 5 для возбудимых сред, представляющих собой сети из дискретных автоматов, сохраняются для распределенных возбудимых сред. Об этом свидетельствуют как имеющиеся результаты численного моделирования автоволновых процессов в таких средах, так и данные экспериментальных исследований. Одним из наиболее удобных объектов для таких исследований служит химическая возбудимая среда, представляющая собой тонкий неперемешиваемый слой раствора, в котором протекает реакция Белоусова–Жаботинского *)). Преимущества этой системы состоят в том, что автоволновые структуры в ней имеют макроскопические размеры (порядка нескольких миллиметров), а процессы эволюции структур являются достаточно медленными (с характерными временами порядка минуты). Это существенно упрощает регистрацию автоволновых эффектов. Недавно была предложена [189] модификация этой реакции с заменой ферроина в качестве катализатора на соединение рутения $\text{Ru}(\text{dipy})_3$. Модифицированная реакция оказалась светочувствительной: меняя освещенность, можно управлять возбудимостью среды.

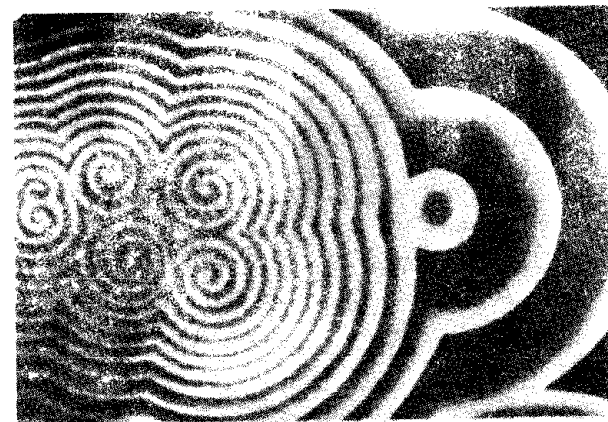
Если приготовить такой раствор и предоставить его самому себе, в нем спонтанно возникают источники концентрически расходящихся волн — ведущие центры (рис. 1.32). Длительное время оставалось неясным, являются ли ведущие центры автономными источниками или же их наличие обусловлено присутствием в растворе посторонних включений (примесей, пузырьков газа), в окрестности которых элементы среды переходят в автоколебательный режим. Сегодня, по-видимому, можно уже считать твердо установленным, что все ведущие центры в реакции Белоусова–Жаботинского имеют внешнее происхождение. В эксперименте [135] на ведущий центр посылали периодическую последовательность волн с частотой выше его частоты генерации. В результате действие ведущего центра оказывалось подавленным. Однако стоило лишь прекратить подачу этой последовательности волн, как ведущий центр восстанавливался на прежнем месте.

В отличие от ведущих центров, спиральные волны в среде с реакцией Белоусова – Жаботинского не связаны с присутствием каких-либо посторонних включений, их обычно получают путем разрыва сложного фронта волны возбуждения. Все спиральные волны имеют одинаковую частоту. Поэтому, как видно из рис. 1.33, спиральные волны сосуществуют между собой, но гасят ведущий центр, являющийся более медленным автоволновым источником. В среде с реакцией Белоусова – Жаботинского [87] также наблюдались многорукавные спиральные волны (рис. 1.34; обратит внимание на нестационарность режима и "перезакрытие" волн в центральной области).

Приведенные примеры свидетельствуют, что спиральные волны представляют собой главный тип элементарных самоподдерживающихся струк-



Р и с. 1.32. Ведущие центры в среде с реакцией Белоусова – Жаботинского. Интервалы между кадрами 30 с.



Р и с. 1.33. Спиральные волны и ведущий центр в среде с реакцией Белоусова – Жаботинского.

*) Подробное описание этой реакции, а также обзор работ по анализу ее химического механизма приведены в [120].

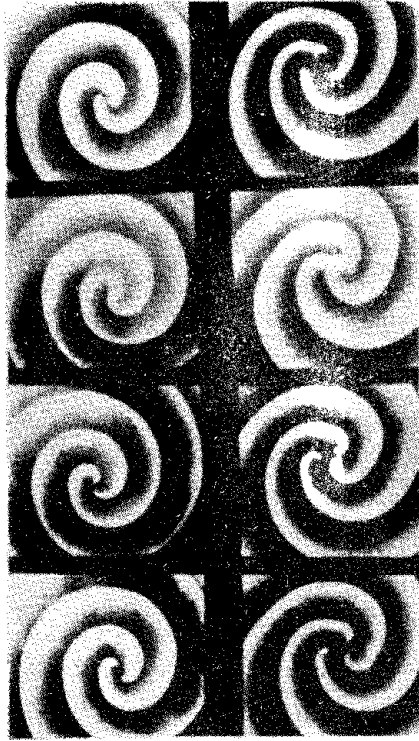


Рис. 1.34. Многоаркавные спиральные волны в среде с реакцией Белоу-сова – Жаботинского. Интервалы между кадрами 15 с

тур в однородных возбудимых средах. Подобно вихрям в сверхпроводнике или в сверхтекучем гелии, они чрезвычайно устойчивы.

Расчет частоты вращения и формы спиральных волн – важная задача теории. Рассмотрим вначале распространение бегущего импульса по тонкому кольцу радиуса R . Если толщина кольца достаточно мала, задачу можно считать одномерной. Как отмечалось в § 4, ей отвечает то же решение, что и для периодической последовательности импульсов на бесконечной прямой с пространственным периодом $L = 2\pi R$. Скорость импульсов однозначно определялась периодом L и возрастала с увеличением L , стремясь к конечному пределу V_0 при $L \rightarrow \infty$.

Начнем увеличивать внешний радиус кольца и устремим его к бесконечности. В результате мы приддем к задаче о волне возбуждения, вращающейся вокруг отверстия радиуса R . Заметим прежде всего, что в установившемся режиме фронт волны не может представлять тогда прямую линию, вращающуюся с угловой скоростью ω . Действительно, это означало бы, что на расстоянии r от центра отверстия скорость фронта равняется $V = \omega r$ и неограниченно возрастает с увеличением r . Но скорость фронта не может превысить значение V_0 . Следовательно, удаленные участки фронта отстают, а сам фронт скручен в спираль.

Пусть в установившемся режиме спираль имеет форму $\varphi = \omega t - \chi(r)$ (где $\chi(r)$ – некоторая функция r) и вращается с угловой скоростью ω . Рассмотрим точку A , удаленную на расстояние r от центра спирали O (рис. 1.35а). Если провести через точку A и O окружность, видно, что точка пересечения линии фронта с такой окружностью бежит по ней со скоростью $V_T = \omega r$. Смещение этой точки связано с прохождением через точку A (рис. 1.35б) участка фронта спиральной волны, имеющего скорость нормального смещения V , и поэтому скорость такого смещения равна

$$V_T = V/\cos \alpha, \quad (6.1)$$

где α – угол между нормалью к фронту и касательной к окружности в

точке A . Несложный расчет показывает, что если линия фронта задается как $\varphi = \omega t - \chi(r)$ и в данный момент фронт проходит через точку A , то

$$\cos \alpha = (1 + r^2 \chi_r^2)^{-1/2}, \quad (6.2)$$

где $\chi_r = d\chi/dr$. С учетом (1), (2) и равенства $V_T = \omega r$ находим

$$V = \omega(\chi_r^2 + 1/r^2)^{-1/2}. \quad (6.3)$$

Предположим для простоты, что скорость нормального смещения всех участков фронта одинакова и равна скорости движения одиночной плоской волны возбуждения (одиночного импульса): $V = V_0$. Тогда (3) будет представлять собой уравнение, определяющее производную χ_r на различных удалениях r от центра волны при заданном значении ω .

Частоту вращения волны вокруг отверстия с радиусом R можно рассчитать исходя из следующих соображений. Поскольку отверстие непроницаемо, фронт волны подходит к нему под прямым углом, поэтому $\chi_r(R) = 0$. Полагая в (3) $r = R$, мы получаем с учетом этого граничного условия $V_0 = \omega R$. Следовательно, период $T = 2\pi/\omega$ спиральной волны равен времени одного оборота импульса, циркулирующего по окружности радиуса R : $T = 2\pi R/V_0$.

Учитывая этот результат, уравнение (3) можно переписать как

$$\chi_r^2 + 1/r^2 = 1/R^2. \quad (6.4)$$

Функция $\chi(r)$, определяющая формулу спирали, вычисляется простым интегрированием:

$$\chi(r) = \int_R^r (1/R^2 - 1/r^2)^{1/2} dr. \quad (6.5)$$

Таким образом, функция $\chi(r)$ монотонно возрастает с увеличением r , а следовательно, задаваемая ею в полярных координатах кривая $\varphi = \chi(r)$ является спиралью. Шаг этой спиральной волны $h_{св}$ можно найти из условия

$$\chi(r + h_{св}) - \chi(r) = 2\pi. \quad (6.6)$$

Вообще говоря, он зависит от расстояния r до ее центра. При больших удалениях

$$h_{св} \approx 2\pi/\chi_r(r). \quad (6.7)$$

Поскольку в этой области $\chi_r \approx 1/R$, мы видим, что вдали от центра шаг

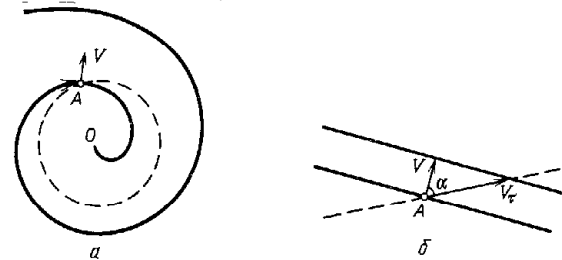


Рис. 1.35. К расчету формы спиральной волны

спирали постоянен и равен периметру отверстия: $h = 2\pi R$. Спираль с постоянным шагом называют *архимедовой*. Отметим также, что кривая, задаваемая в полярных координатах уравнением $\varphi = \chi(r)$ с функцией $\chi(r)$ вида (5), представляет собой эвольвенту отверстия радиуса R [38].

Итак, мы убедились, что вокруг отверстия в возбудимой среде может устойчиво циркулировать спиральная волна, и нашли в простейшем приближении ее форму и частоту циркуляции.

Проведенный расчет был неточным в двух отношениях. Во-первых, мы пренебрегли зависимостью скорости следования волн от интервала между ними. Этот недостаток нетрудно исправить. Поскольку угловая скорость вращения равна ω , в установившемся режиме вся картина полностью повторяется через промежутки времени $T = 2\pi/\omega$, а, следовательно, интервал между прохождением двух последовательных волн через любую точку среды также равен T . Поэтому вместо скорости V_0 , отвечающей движению одиночного импульса, следует использовать скорость $V(T)$, которая характеризует движение последовательности импульсов с периодом T . Период T можно тогда найти, решив уравнение

$$V(T)T = 2\pi R. \quad (6.8)$$

Второе обстоятельство является более тонким, а его учет — не столь простым. Проведенное выше рассмотрение не принимало во внимание зависимость скорости движения фронта волны от его кривизны. Между тем очевидно, что участки фронта, находящиеся на разном удалении от центра, имеют различную кривизну, а следовательно, различаются между собой и скорости их нормального смещения.

Кривизна линии, заданной в полярных координатах уравнением $\varphi = \chi(r)$, равна

$$K = (r\chi_{rr} + 2\chi_r + r^2\chi_r^3)^{-3/2}. \quad (6.9)$$

Из (4) следует, что для $\chi_{rr} = d\chi_r/dr$ справедливо выражение

$$\chi_{rr} = 1/(r^2\chi_r). \quad (6.10)$$

Поскольку волна подходит к отверстию под прямым углом, $\chi_r \rightarrow 0$ при $r \rightarrow R$ (мы уже использовали выше это условие). Но тогда согласно (10) $\chi_{rr} \rightarrow \infty$ при $r \rightarrow R$, а поэтому кривизна найденной нами линии, описывающей форму фронта спиральной волны, обращается в бесконечность (ср. (9)) при подходе к границе отверстия. Ясно, однако, что пренебрегать зависимостью скорости движения фронта волны от его кривизны, как мы поступали до настоящего времени, можно лишь, если эта кривизна K достаточно мала. Мы видим, что по крайней мере вблизи от границы отверстия это приближение заведомо не справедливо.

Забегая вперед, заметим, что при учете такой зависимости найденное нами решение подправляется лишь в пределах узкого слоя шириной порядка (D^2R/V_0^2) , где D — коэффициент, характеризующий зависимость скорости фронта от его кривизны; вне этого узкого пограничного слоя спираль имеет форму эвольвенты отверстия. Для исправленного решения при приближении к границе отверстия кривизна фронта не возрастает до бесконечности, а стремится к конечному значению порядка $(V_0/DR^2)^{1/3}$.

Циркуляция волны вокруг отверстия в предположении о постоянстве скорости движения фронта рассмотрена в классической работе Н. Винера и А. Розенблюта [38]. Именно они обратили внимание на то, что фронт спирали представляет собой эвольвенту отверстия.

Как свидетельствуют приведенные выше примеры, волны наблюдаются и в отсутствие отверстия.

В однородной возбудимой среде при установившемся вращении спиральной волны концевая точка ее фронта совершает вращательное движение, перемещаясь вдоль окружности — границы ядра. Внутри ядра элементы среды сохраняют состояние покоя, хотя эта область по своим свойствам ничем не отличается от других участков возбудимой среды. Все это выглядит так, как будто ядро представляет собой некоторое *эффективное* отверстие. Главный вопрос, который в связи с этим возникает, — почему возбуждение не проникает внутрь ядра?

Ранее мы отмечали, что для каждой среды существует свой минимальный возможный период устойчивого следования импульсов L_{\min} . Это означает, что на окружностях с радиусом меньше $R_{\min} = L_{\min}/2\pi$ устойчивая циркуляция импульсов невозможна.

Возьмем отверстие, вокруг которого циркулирует волна, и будем уменьшать его радиус R . Что будет происходить, если сделать радиус отверстия меньше R_{\min} ? Ясно, что волна не может циркулировать вдоль такого малого отверстия, будучи "приклеенной" к нему. В действительности волна возбуждения оторвется от отверстия и у нее образуется свободный оборванный конец. Минимальный возможный радиус окружности (т.е. границы ядра), вдоль которой способен устойчиво циркулировать

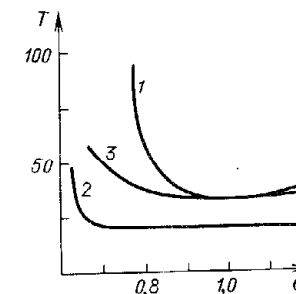


Рис. 1.36. Период однокруцивой спиральной волны (кривые 1, 3) и минимальный возможный период следования импульсов (кривая 2) как функции параметра α , характеризующего возбудимость среды

конец волны, — это радиус R_{\min} . Такая спиральная волна будет намотана максимально плотно — шаг ее спирали вдали от центра равен $h_{св} = L_{\min}$, т.е. она испускает самую частую из возможных последовательностей волн и имеет частоту циркуляции $\omega = \omega_{\max}$.

Полученная простая оценка частоты спиральной волны и радиуса ее ядра оказывается довольно близкой к действительности в случае хорошо возбудимых сред (ср. § 5); она дает для них период спиральной волны, заниженный в среднем лишь примерно в два раза по отношению к истинному. Причина такого расхождения понятна. При выводе этой оценки мы пренебрегли кривизной фронта спиральной волны — точнее, ее влиянием на

скорость движения фронта волны. Между тем, участки спиральной волны, лежащие ближе всего к ядру, имеют большую кривизну и, следовательно, должны двигаться несколько медленнее одиночного импульса. В результате частота циркуляции спиральной волны уменьшается по сравнению со значением ω_{\max} .

Последовательный учет этого эффекта предпринят в [89, 208]; он позволяет получить достаточно хорошее согласие аналитических результатов с данными численного расчета. На рис. 1.36, взятом из [89], проведено сравнение величины $T_{\min} = 2\pi/\omega_{\max}$ (кривая 2) со значением периода циркуляции, полученным путем численного моделирования вращающейся спиральной волны в рамках полных, зависящих от времени уравнений возбудимой среды (кривая 1), а также с результатами приближенного аналитического расчета, учитывающего кривизну фронта распространяющихся волн (кривая 3). Мы видим, что согласие остается очень хорошим, пока период циркуляции спиральной волны не начинает резко возрастать по сравнению с T_{\min} .

Выше описан режим циркуляции спиральной волны, для которого характерен малый размер ядра (его радиус порядка R_{\min}) и малый период циркуляции порядка T_{\min} ; этот режим осуществляется в хорошо возбудимых средах. Если уменьшать возбудимость среды (что соответствует уменьшению параметра α на рис. 1.36), на смену ему постепенно приходит режим циркуляции с большим периодом ($T \gg T_{\min}$) и большим радиусом ядра ($R \gg R_{\min}$) спиральной волны. Описание таких спиральных волн и расчет их основных параметров требуют специального анализа, который проведен в § 7.

§ 7. Кинематика автоволиновых фронтов в возбудимых средах

Возбудимая среда нелинейна и автоволны взаимодействуют друг с другом. При столкновении двух волн они аннигилируют; если же одна волна движется вслед другой, то она не ощущает идущую впереди волну, пока расстояние между ними значительно больше, чем ширина волны, т.е. величина порядка L_{\min} . Здесь мы ограничимся рассмотрением таких режимов, при которых каждая волна отделена от последующей расстоянием, гораздо большим L_{\min} . Тогда можно пренебречь шириной отдельной уединенной волны и считать, что она полностью задается ориентированной кривой своего фронта.

Поскольку состояния среды до и после прохождения импульса возбуждения совпадают, фронт автоволны может обрываться внутри среды, так что в ней волна имеет свободный конец (ср. § 5). Помимо смещения в нормальном направлении, на свободном конце волна может "прорастать" или сокращаться с течением времени. Скорость этого тангенциального смещения G зависит от кривизны K_0 фронта при подходе к точке обрыва. Пусть G_0 — скорость "прорастания" свободного конца плоской полуволны. Тогда при достаточно малых кривизнах K_0 скорость "прорастания" искривленной волны G можно рассчитать с помощью теории возмущений (см. Приложение к [29]) и получить $G = G_0 - \gamma K_0$. Для интересующих нас

возбудимых сред скорость "прорастания" уменьшается с ростом кривизны на свободном конце (т.е. $\gamma > 0$).

Как отмечалось в § 5, меняя возбудимость среды, можно управлять величиной G_0 и даже менять ее знак. При отрицательном значении G_0 свободный конец фронта сокращается и среда не допускает режимов в виде спиральных волн. Поэтому мы предположим, что величина G_0 положительна, достаточно мала и линейная зависимость G от K сохраняется вплоть до значения кривизны на свободном конце $K_{кр} = G_0/\gamma$, при котором скорость "прорастания" обращается в нуль. Мы также считаем, что $DK_{кр} \ll \ll V_0$. Эти два последних предположения существенно упрощают анализ благодаря появлению дополнительного малого параметра

$$\beta = (DK_{кр}/V_0)^{1/2}. \quad (7.1)$$

Они выполняются, если возбудимость среды достаточна для существования спиральных волн, но все же не слишком высока.

Итак, в рамках кинематики математическое описание автоволн в двумерной возбудимой среде строится следующим образом. Будем характеризовать волну указанием только кривой ее фронта, для чего воспользуемся *натуральным уравнением* этой кривой $K = K(l)$. Оно устанавливает связь между длиной дуги l кривой (которую удобно отсчитывать от свободного конца фронта) и кривизной фронта K в соответствующей точке; как известно, натуральное уравнение задает кривую с точностью до ее расположения на плоскости. Если форма кривой меняется со временем, то $K = K(l, t)$.

Эволюция волны с течением времени определяется двумя условиями:

1. Каждый участок фронта смещается со временем по нормали к себе со скоростью

$$V = V_0 - DK. \quad (7.2)$$

2. Свободный конец волны сокращается ($G < 0$) или гладко "прорастает" в касательном направлении со скоростью

$$G = \gamma(K_{кр} - K_0), \quad (7.3)$$

где $K_0 = \lim_{l \rightarrow 0} K(l)$.

Сформулированных условий достаточно, чтобы получить уравнение, которому подчиняется функция $K(l, t)$. Его можно вывести, основываясь на методах дифференциальной геометрии [32]. Ниже мы изберем более простой способ, предложенный в [46].

Рассмотрим положение фронта волны в некоторый момент t . Пусть его кривизна в точке a была в этот момент K_a (рис. 1.37). Через промежуток времени dt малая окрестность точки a на фронте волны переместится в окрестность точки b , а кривизна в этой точке станет кривой K_b . Найдем связь между K_a и K_b .

Для этого удобно перейти в полярную систему координат с полюсом в центре кривизны малого участка фронта, лежащего в окрестности точки a . В этом случае справедливо соотношение

$$\rho_b = \rho_a + Vdt, \quad (7.4)$$

где $\rho_a = 1/K_a$ — радиус кривизны фронта в точке a , а ρ_b — полярный радиус-вектор точки b . Кривизна кривой, описываемой в полярных координатах уравнением $\rho = \rho(\varphi)$, вычисляется по формуле

$$K = (\rho^2 - 2\rho' - \rho\rho'')(\rho^2 + \rho'^2)^{-3/2}. \quad (7.5)$$

Подставив (4) в выражение (5), получаем с точностью до членов первого порядка по dt

$$K_b = K_a - VK_a^2 dt - K_a^2 \frac{d^2 V}{d\varphi^2} dt, \quad (7.6)$$

(мы учли здесь, что $\partial\rho_a/\partial\varphi = 0$). Перейдя в (6) к дифференцированию по длине дуги l ($dl = \rho_a d\varphi$), находим

$$K_b - K_a = dK = -\left(K_a^2 V + \frac{d^2 V}{dl^2}\right) dt. \quad (7.7)$$

С другой стороны, $dK = (\partial K/\partial l)dl + (\partial K/\partial t)dt$. Для приращения длины дуги за время dt нетрудно получить выражение

$$dl = \left(\int_0^l KV d\xi\right) dt + G dt. \quad (7.8)$$

Первое слагаемое в (8) описывает увеличение длины дуги за счет изменения радиусов кривизны в каждой точке кривой; второму слагаемому

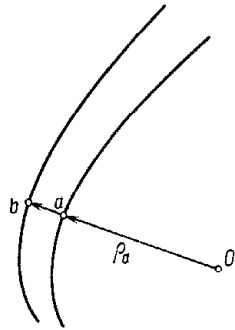


Рис. 1.37. К выводу уравнения (7.9)

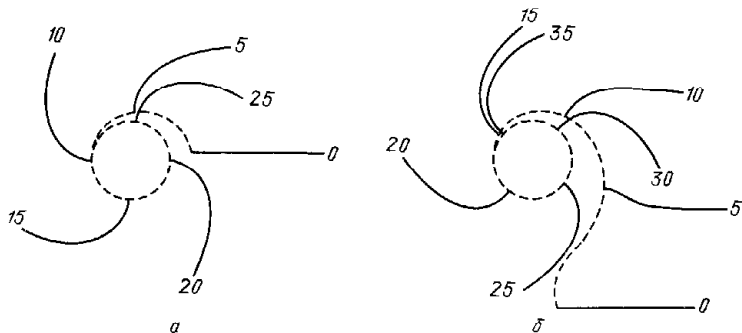


Рис. 1.38. Формирование спиральной волны (данные численного расчета) из плоской полуволны с двумя различными малыми начальными возмущениями (а и б)

отвечает изменение длины дуги за счет "прорастания" (или сокращения, если $G < 0$) фронта на своем свободном конце, который выбран за начало отсчета l . Комбинируя два выражения для dK , приходим к уравнению

$$\frac{\partial K}{\partial t} + \left(\int_0^l KV d\xi + G\right) \frac{\partial K}{\partial l} = -K^2 V - \frac{\partial^2 V}{\partial l^2}, \quad (7.9)$$

в котором скорость "прорастания" G зависит от кривизны $K(0, t) = \lim_{l \rightarrow 0} K(l, t)$ на свободном конце, а скорость нормального смещения фронта V однозначно определяется локальной кривизной этого фронта в соответствующей точке, т.е. $V = V(K(l, t))$. Таким образом, уравнение (9) однозначно определяет эволюцию фронта со свободным концом (обрывом волнового фронта).

В частности, если G и V даются выражением (2) и (3), уравнение (9) приобретает вид

$$\frac{\partial K}{\partial t} + \left[\int_0^b KV_0 d\xi + \gamma(K_{кр} - K(0, t))\right] \frac{\partial K}{\partial l} = -K^2 V_0 + D \frac{\partial^2 K}{\partial l^2} \quad (7.10)$$

— основного уравнения кинематики волновых фронтов в возбудимых средах. Мы учли здесь, что поправка к скорости нормального смещения $V = V_0 - DK$ при значениях кривизны $K \ll K_{кр}$ мала, согласно сделанному нами выше предположению, а поэтому заменили V на V_0 всюду в (10), кроме последнего слагаемого, где это привело бы к отбрасыванию члена со старшей производной — вскоре мы увидим, что этот член играет весьма важную роль.

Уравнение (10) имеет тривиальное стационарное решение $K(l, t) \equiv 0$ при $l \geq 0$, которое отвечает плоскому фронту с обрывом, смещающемуся вперед со скоростью V_0 . Однако это решение абсолютно неустойчиво по отношению к малым возмущениям. Численные расчеты для уравнения (10) показывают (рис. 1.38), что независимо от характера начального возмущения из плоской полуволны со свободным концом всегда рождается вращающаяся вокруг некоторого центра с постоянной угловой скоростью спиральная волна. Основные характеристики установившейся стационарной циркуляции спиральных волн можно рассчитать аналитически, непосредственно исходя из (10).

При стационарной циркуляции форма волнового фронта постоянна, меняется со временем лишь положение кривой на плоскости. Поэтому зависимость K от t отсутствует. Кроме того, стационарная циркуляция возможна, лишь если свободный конец волны, совершающий равномерное круговое движение вокруг центра, не "прорастает" и не сокращается со временем. Это означает, что кривизна его фронта должна быть равной критической, т.е. $K(0) = K_{кр}$. Круг, по границе которого движется свободный конец волны, представляет собой ее ядро; фронт спиральной волны подходит к ядру по нормали.

Заметим, что с помощью уравнения (10) можно описать также стационарную циркуляцию спиральной волны вокруг круглого отверстия в воз-

будимой среде. Если граница отверстия непроницаема и диффузионный поток через нее равен нулю, фронт ортогонален к границе. Форма фронта тогда определяется стационарным пределом уравнения (10) в отсутствие слагаемого, которое описывало бы "проращение" свободного конца (по-скольку такого свободного конца уже нет).

При стационарной циркуляции, когда $\partial K/\partial t = 0$, уравнение (10) можно один раз проинтегрировать, получив

$$K \int_0^l K V_0 d\xi - D \frac{dK}{dl} = \omega. \quad (7.11)$$

Постоянная интегрирования ω равна частоте вращения спиральной волны. Это легко понять, учтя, что фронт подходит к ядру (или отверстию) по нормали, и поэтому $dV/dl = -DdK/dl$ при $l = 0$ есть угловая скорость.

Рассмотрим, какой результат был бы получен в модели, где скорость V вообще не зависит от кривизны, т.е. $D = 0$, и второе слагаемое слева в уравнении (11) отсутствует. Нетрудно заметить, что в этом случае (11) имеет решение

$$K = (\omega/2lV_0)^{1/2}. \quad (7.12)$$

Пусть в среде вырезано отверстие с радиусом R . Тогда частота циркуляции спиральной волны вокруг отверстия равна $\omega = V_0/R$ и из решения (12) следует

$$K = (2Rl)^{-1/2}. \quad (7.13)$$

Можно проверить, что кривая, определяемая данным натуральным уравнением, есть эвольвента круга с радиусом R . При $l \gg R$ она представляет собой спираль с постоянным шагом $h = 2\pi R$, т.е. архимедову спираль. Таким образом, для модели, где $V \equiv V_0$, мы воспроизвели основные результаты, полученные в § 6.

Заметим, что при $l \rightarrow 0$ найденное выше решение даст $K \rightarrow \infty$. Это означает, что если коэффициент D в зависимости $V = V_0 - DK$ мал, но все же отличен от нуля, зависимостью скорости от кривизны нельзя пренебрегать при достаточно малых l , т.е. вблизи границы ядра (или отверстия).

Рассмотрим теперь задачу о расчете параметров спиральной волны в отсутствие отверстия с учетом зависимости скорости фронта от его кривизны. Частота вращения спиральной волны $\omega = \omega_0$, входящая в качестве неизвестного параметра в (11), определяется в этом случае из следующих соображений. Вдали от центра спирали кривизна ее фронта должна стремиться к нулю, т.е. $K \rightarrow 0$ при $l \rightarrow \infty$. Можно показать, что это условие уже однозначно определяет фазовую траекторию для дифференциального уравнения (11) при заданном значении ω . В том числе оказывается однозначно определенным и значение кривизны $K(0)$ при $l = 0$, т.е. на свободном конце волны, подходящем к ядру спирали. Потребовав теперь, чтобы $K(0) = K_{кр}$, получим уравнение для нахождения частоты ω_0 .

При достаточно больших значениях l можно пренебречь слагаемым с производной в левой части уравнения (11). В этой области решение дается формулой (12). Из уравнения (11) вытекает также, что при $l = 0$ производная равна $dK/dl = -\omega/D$. Поэтому при малых l натуральное урав-

нение интересующей нас кривой есть

$$K = K_{кр} - (\omega/D)l. \quad (7.14)$$

Выражения (12) и (14) представляют собой внешнюю и внутреннюю аппроксимации для единой фазовой траектории, а поэтому они должны "сшиваться" между собой. Потребуем, чтобы в некоторой точке $l = l_0$ совпадали как значения двух функций, так и их первые производные. Эти условия дают два уравнения:

$$K_{кр} - (\omega/D)l_0 = (2V_0l_0/\omega)^{-1/2}, \quad (7.15)$$

$$\omega/D = (1/2)(2V_0/\omega)^{-1/2}l_0^{-3/2}. \quad (7.16)$$

Их решения имеют вид

$$\omega_0 = (2/3)^{3/2}(DV_0)^{1/2}K_{кр}^{3/2}, \quad (7.17)$$

$$l_0 = (1/2)(3/2)^{1/2}(D/K_{кр}V_0)^{1/2}. \quad (7.18)$$

Приведенный выше приближенный расчет, основанный на сшивке внутреннего и внешнего решений, является довольно очевидным подходом при решении уравнения (11) с малым параметром при старшей производной. Оказывается, однако, что для данного конкретного уравнения можно найти также и точное решение. Именно, переходя к новым переменным, уравнение (11) удастся полностью обезразмерить, а затем проинтегрировать на ЭВМ. В результате мы получаем

$$\omega_0 = \xi(DV_0)^{1/2}K_{кр}^{3/2}, \quad \xi \approx 0,69\dots, \quad (7.19)$$

что отличается от (17) лишь более точным значением числового коэффициента.

С точностью до членов порядка $DK_{кр}/V_0$ радиус ядра спиральной волны вычисляется из условия $\omega_0 R_0 = V_0$:

$$R_0 = \xi^{-1}(V_0/D)^{1/2}K_{кр}^{-3/2}. \quad (7.20)$$

Обсудим полученные результаты. Как видно, при $K_{кр} \rightarrow 0$ частота вращения спиральной волны ω_0 убывает и стремится к нулю; при этом радиус R_0 ядра спиральной волны неограниченно возрастает. Всюду, кроме узкого пограничного слоя ширины порядка l_0 вблизи границы ядра, фронт спирали имеет вид эвольвенты окружности радиуса R_0 и дается выражением (13) при $R = R_0$. Ширина пограничного слоя l_0 мала по сравнению с радиусом ядра: $l_0/R_0 \sim (DK_{кр}/V_0) \ll 1$.

Совершенно аналогично можно найти решение для спиральной волны, вращающейся вокруг отверстия. К отверстию с радиусом $R \gg D/V_0$ фронт волны подходит с кривизной

$$K(0) = \xi^{-2/3}(V_0/DR^2)^{1/3}. \quad (7.21)$$

Вне узкого пограничного слоя шириной порядка D^2R/V_0^2 спираль имеет форму эвольвенты отверстия. С точностью до членов порядка $(D/V_0R)^{2/3}$ частота вращения ω определяется из условия $\omega R = V_0$.

Заметим, что конец спиральной волны, движущейся вдоль непроницаемой для диффузии границы отверстия, нельзя считать свободным. Его кривизна может превышать значение критической кривизны $K_{кр}$ для свободного конца волны, но должна оставаться меньше значения кри-

тической кривизны K^* для распространяющегося сплошного фронта (см. выражение (4.18) и рис. 1.19). Это обуславливает эффект гистерезиса, наблюдавшийся в численном эксперименте [228].

В некотором интервале значений радиуса отверстия ($R^* < R < R_0$) могут осуществляться два режима циркуляции спиральной волны, отличающихся частотой вращения (рис. 1.39). При первом режиме конец

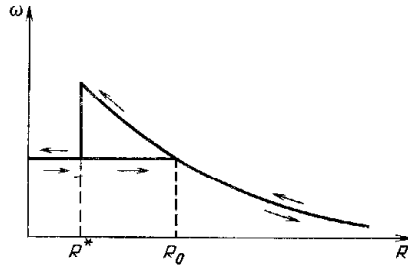


Рис. 1.39. Зависимость частоты вращения спиральной волны от радиуса отверстия

волны движется вдоль границы отверстия (волна как бы "приклеена" к отверстию), а при втором конце волны оказывается свободным и движется вокруг ядра с радиусом R_0 , так что спиральная волна не ощущает отверстия, расположенного в ее центре. Если вначале создать в среде достаточно большое отверстие с радиусом $R > R_0$ и затем плавно уменьшать его, то спиральная волна будет оставаться "приклеенной" к отверстию вплоть до $R = R^*$, после чего конец волны отходит от отверстия, частота вращения скачком понижается и остается при $R \leq R^*$ равной частоте вращения спиральной волны в однородной среде (19). При движении в обратном направлении, т.е. при плавном увеличении R от нуля вплоть до $R = R_0$, сохраняется режим с "отклеившимся" концом волны и лишь при $R > R_0$ конец спиральной волны подходит к границе отверстия.

В рамках использованной нами кинематической модели предполагалось, что скорость нормального смещения V зависит только от локальной кривизны данного участка волнового фронта, т.е. $V = V(K)$. Вообще говоря [32], для участков, близких к свободному концу, скорость V может также явно зависеть от расстояния до точки обрыва (т.е. от длины дуги l): $V = V(K, l)$. При такой дополнительной зависимости основные характеристики спиральных волн рассчитаны в [32]. Этот эффект, однако, не дает существенных различий, и мы его подробно не обсуждаем.

Подчеркнем, что все найденные здесь для спиральных волн результаты применимы лишь в том случае, если полученное значение радиуса R_0 ядра спиральной волны велико по сравнению с $R_{\min} = L_{\min}/2\pi$ (см. § 4), т.е. когда периметр ядра велик по сравнению с шириной отдельного импульса и фронт волны при своем движении не наталкивается на свой же "хвост".

§ 8. Резонанс и дрейф спиральных волн

Основное уравнение кинематики волновых фронтов (7.10) можно использовать также для описания различных нестационарных режимов в распределенных возбудимых средах.

Рассмотрим вначале процесс установления стационарной циркуляции спиральной волны в однородной среде. Допустим, что мы внесли малое локальное возмущение в форму фронта спиральной волны, локализованное на удалении l от свободного конца. Как следует из (7.10), оно будет с течением времени удаляться от центра волны на периферию, одновременно расплываясь и затухая по диффузионному закону с коэффициентом "диффузии" D . Согласно (7.10) скорость этого сноса вблизи от свободного конца, где $K \approx K_{кр}$, можно приближенно оценить как $K_{кр} V_0 l$.

Итак, локализованное на удалении l возмущение смещается со скоростью порядка $K_{кр} V_0 l$, а его ширина растет как $(Dt)^{1/2}$ (рис. 1.40). Можно поставить вопрос, на каком удалении должно быть первоначально локализовано возмущение, чтобы, несмотря на сносовое движение, оно могло достигнуть свободного конца волны? Для этого необходимо, чтобы на протяжении некоторого интервала времени ширина расплывающегося возмущения (диффузионная длина) $L_{диф} \approx (Dt)^{1/2}$ превышала удаление его центра от свободного конца волны $L_{ц} \approx l + K_{кр} V_0 l t$. Сравнение двух этих выражений показывает, что $L_{диф}$ может превысить $L_{ц}$ на определенном интервале времени, лишь если начальное удаление l не превышает величины порядка $(D/K_{кр} V_0)^{1/2}$. Но, согласно (7.18), именно такова ширина пограничного слоя l_0 вблизи границы ядра!

Следовательно, оказать влияние на движение свободного конца волны могут лишь те возмущения фронта, которые возникают в пределах узкого пограничного слоя, на удалении не более l_0 от свободного конца. Эти возмущения формы фронта затухают за время

$$\tau_D \sim l_0^2 / D \sim (K_{кр} V_0)^{-1}. \quad (8.1)$$

Заметим, что характерное время релаксации возмущения формы фронта τ_D спиральной волны всегда мало по сравнению с ее периодом циркуляции. Действительно, из (7.19) и (1) следует, что

$$\omega_0 \tau_D \sim (DK_{кр}/V_0)^{1/2} \ll 1. \quad (8.2)$$

Кроме τ_D , существует еще одно характерное время τ_G , связанное с эффектами "прорастания" свободного конца волны.

Если бы коэффициент γ в выражении (7.3) для скорости прорастания G равнялся нулю, величина $K_{кр}$ вообще не входила бы в основное уравнение кинематики (7.10). В этом случае имелось бы не одно, а много различных решений для спиральной волны, отличающихся значением кривизны фронта $K(0)$ при подходе к свободному концу. Каждое из таких решений описывало бы некоторую спиральную волну, стационарно циркулирующую с частотой ω_0 , которая определялась бы по-прежнему формулой (7.19) с заменой $K_{кр}$ на $K(0)$. Тогда внешнее воздействие, внесшее локальное возмущение в форму фронта в пределах пограничного слоя, могло бы вызвать переход к новому режиму циркуляции со

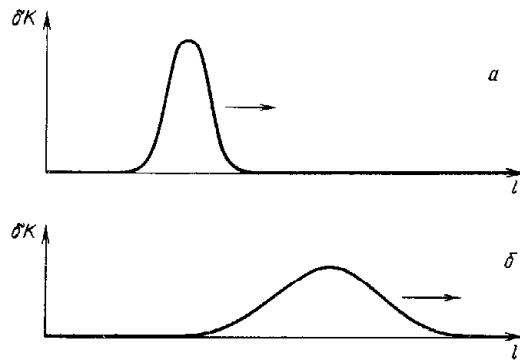


Рис. 1.40. Начальное возмущение формы спиральной волны (а) и его вид в последующий момент времени (б)

значением кривизны фронта на свободном конце, отличающимся от прежнего на некоторую малую величину $\delta K(0)$.

Если коэффициент γ отличен от нуля и положителен, все отклонения кривизны $K(0)$ от значения $K_{кр}$ затухают со временем. Если γ достаточно мала, то соответствующее время релаксации велико ($\tau_G \gg \tau_D$) и осуществляется *квазистационарный* режим. В этом режиме форма фронта у ядра адиабатически подстраивается к мгновенному значению кривизны $K(0, t)$ на свободном конце волны, а эта кривизна, в свою очередь, медленно меняется из-за "прорастания" или сокращения согласно уравнению

$$(\partial K / \partial t)_{l=0} = -G(\partial K / \partial l)_{l=0}. \quad (8.3)$$

Производная $(\partial K / \partial l)_{l=0}$ определяется равенством

$$(\partial V / \partial l)_{l=0} = -D(\partial K / \partial l)_{l=0} = \omega, \quad (8.4)$$

в котором ω находится из (7.19) с заменой $K_{кр}$ на $K(0, t)$.

С учетом сделанных замечаний при квазистационарном режиме кривизна на свободном конце $K_0 \equiv K(0, t)$ меняется со временем, подчиняясь следующему обыкновенному дифференциальному уравнению:

$$dK_0/dt = -\zeta \gamma (V_0/D)^{1/2} K_0^{3/2} (K_0 - K_{кр}). \quad (8.5)$$

Для малых возмущений $\delta K_0 = K_0 - K_{кр}$ уравнение (5) линеаризуется и приобретает форму

$$d(\delta K_0)/dt = -\delta K_0 / \tau_G, \quad (8.6)$$

где характерное время релаксации

$$\tau_G = D / \gamma \omega_0. \quad (8.7)$$

Заметим, что $\omega_0 \tau_G = D / \gamma$, а поэтому согласно (2) условие применимости квазистационарного приближения $\tau_D \ll \tau_G$ имеет вид

$$\gamma / D \ll (V_0 / DK_{кр})^{1/2}. \quad (8.8)$$

По оценкам для известных возбудимых сред коэффициент γ варьируется от нуля до значения порядка D . Поэтому, поскольку $(DK_{кр} / V_0)^{1/2} \ll 1$,

условие (8) почти всегда выполнено и квазистационарное приближение справедливо.

Если $\gamma \ll D$, то $\omega_0 \tau_G \gg 1$ и подстройка кривизны фронта вблизи ядра к значению $K_{кр}$, а следовательно, окончательное установление стационарного режима циркуляции, занимает много оборотов волны. Можно сказать, что в таких возбудимых средах спиральная волна обладает *высокой* инерционностью. При выполнении обратного неравенства $\gamma \gg D$ установление стационарной циркуляции происходит за время, малое по сравнению

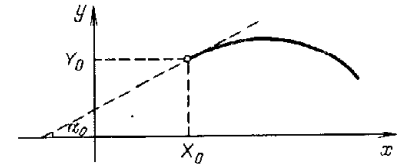


Рис. 1.41. К определению величин X_0, Y_0 и α_0 .

с длительностью одного оборота, и спиральная волна имеет *низкую* инерционность.

При выводе основного уравнения кинематики (7.10) мы отмечали, что натуральное уравнение кривой $K = K(l, t)$ задает только ее форму, но не положение на плоскости. Чтобы полностью описать эволюцию волнового фронта, необходимо располагать дополнительными уравнениями, которые определяли бы изменение со временем ориентации этой кривой и движение ее начальной точки.

Введем на плоскости декартову систему координат (x, y) . Пусть $X_0(t)$ и $Y_0(t)$ — координаты свободного конца волны в момент времени t , а $\alpha_0(t)$ — угол между касательной к фронту в его концевой точке и осью x (рис. 1.41). Легко убедиться, что задание величин X_0, Y_0 и α_0 полностью фиксирует положение фронта на плоскости.

Поскольку концевая точка смещается по нормали к фронту со скоростью $V(0) = V_0 - DK_0$ и смещается в тангенциальном направлении из-за "прорастания" или сокращения фронта со скоростью G , изменение ее декартовых координат со временем описывается уравнениями

$$\dot{X}_0 = -V(0) \sin \alpha_0 - G \cos \alpha_0, \quad \dot{Y}_0 = V(0) \cos \alpha_0 - G \sin \alpha_0. \quad (8.9)$$

При этом изменение со временем угла α_0 , характеризующего направление касательной к фронту в концевой точке, подчиняется уравнению

$$\dot{\alpha}_0 = (\partial V / \partial l)_{l=0} + GK_0, \quad (8.10)$$

или с учетом $V = V_0 - DK$

$$\dot{\alpha}_0 = -D(\partial K / \partial l)_{l=0} + GK_0. \quad (8.11)$$

В сочетании с (7.10) уравнения (9) и (11) полностью описывают движение по плоскости волнового фронта со свободным концом.

Особенно простой вид закон движения концевой точки приобретает в квазистационарном приближении, когда можно отделить эффекты "прорастания" от эффектов установления фронта спиральной волны вблизи ядра. В этом случае $(\partial K / \partial l)_{l=0} \approx -\omega / D$, где ω находится из (7.19)

с заменой $K_{кр}$ на K_0 , и теперь вместо уравнения (11) имеем

$$\dot{\alpha} = \zeta(V_0 D)^{1/2} K_0^{3/2} + \gamma K_0 (K_{кр} - K_0). \quad (8.12)$$

Таким образом, при выполнении условия (8) для расчета движения концевой точки спиральной волны достаточно решить четыре обыкновенных дифференциальных уравнения (5), (9) и (12).

Варируя параметры среды, можно менять ее возбудимость и, следовательно, величину $K_{кр}$. Пусть эта величина периодически меняется со временем как

$$K_{кр}(t) = K_{кр} + K_1 \cos(\omega_1 t + \varphi), \quad (8.13)$$

где K_1 — амплитуда модуляции, причем $K_1 \ll K_{кр}$, а частота модуляции ω_1 близка к собственной частоте ω_0 спиральной волны. Тогда, как было показано в [30], должен наблюдаться *резонансный эффект*, заключающийся в следующем. Оказывается, что при наличии модуляции $K_{кр}$ центр вращения спиральной волны уже не покоится, а движется с течением времени по окружности (рис. 1.42), радиус $R_{рез}$ которой задается выражением

$$R_{рез} = (3/4)V_0(K_1/K_{кр}) |\omega - \omega_0|^{-1} [1 + (D/\gamma)^2]^{-1/2} \quad (8.14)$$

он тем больше, чем ближе ω_1 к собственной частоте ω_0 . Скорость смещения центра

$$V_{рез} = (3/4)V_0(K_1/K_{кр}) [1 + (D/\gamma)^2]^{-1/2} \quad (8.15)$$

пропорциональна амплитуде модуляции K_1 .

При точном совпадении частот, т.е. при *полном резонансе*, когда $\omega_1 = \omega_0$, центр фронта спиральной волны смещается с постоянной скоростью (15) вдоль прямой. Направление движения центра определяется начальной фазой модуляции φ и направлением вращения спиральной волны (по или против часовой стрелки).

Резонанс спиральных волн наблюдается в эксперименте [2] с использованием светочувствительной модификации реакции Белоусова - Жаботинского, катализатором в которой являлось соединение рутения. В среде первоначально создавали спиральную волну или пару таких волн. Затем, после измерения периода установившегося вращения спиральной волны, раствор начинали периодически однородно освещать с помощью интенсивного источника. Через равные интервалы времени производилось

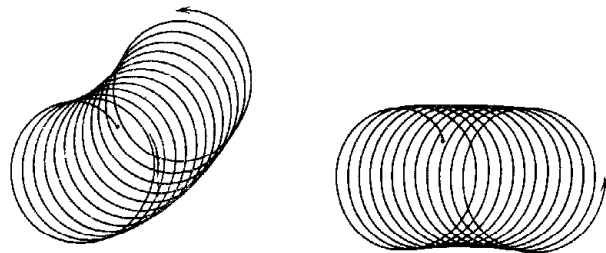


Рис. 1.42. Траектория движения кончика спиральной волны при двух различных соотношениях между частотой модуляции и собственной частотой спиральной волны (численный расчет В.С. Зыкова)

фотографирование волновой картины на фоне неподвижных реперных линий.

На рис. 1.43 показаны последовательные фотографии спиральной волны с интервалом времени 10 мин в условиях полного резонанса (частота модуляции выбрана равной собственной частоте вращения волны). Видно, что центр вращения с постоянной скоростью смещается с течением времени вдоль одной из реперных линий; суммарное смещение составляет 2 см.

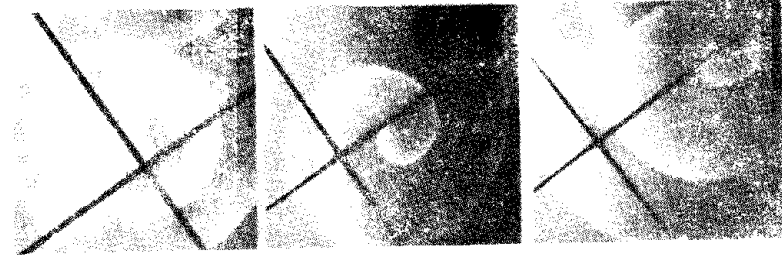


Рис. 1.43. Резонанс спиральной волны в химической возбудимой среде со светочувствительной реакцией Белоусова - Жаботинского

Если в среде имеются две спиральные волны с противоположными направлениями вращения, то, подбирая начальную фазу модуляции, можно добиться движения центров двух волн навстречу друг другу и их аннигиляции.

Перейдем теперь к рассмотрению явления *дрейфа* спиральной волны в неоднородной возбудимой среде [30]. Пусть критическая кривизна плавно меняется вдоль оси x , так что изменение $K_{кр}$ на расстоянии, равном размеру ядра R_0 , мало:

$$|\partial K_{кр} / \partial x| \ll K_{кр} / R_0. \quad (8.16)$$

При движении в неоднородной среде свободный конец спиральной волны последовательно проходит через области с различными значениями $K_{кр}$. Поэтому свободный конец движется так, как если бы критическая кривизна менялась со временем:

$$K_{кр}(t) = K_{кр}(X_0 + R_0 \cos \omega_0 t) \approx \bar{K}_{кр} + b_{кр} R_0 \cos \omega_0 t, \quad (8.17)$$

где X_0 — положение центра спиральной волны на оси,

$$\bar{K}_{кр} = K_{кр}(X_0), \quad b_{кр} = (\partial K_{кр} / \partial x)_{x=X_0}.$$

Следовательно, задача о дрейфе сводится к задаче о резонансе спиральной волны при точном совпадении частот. С течением времени центр спиральной волны медленно смещается по прямой линии под некоторым направлением ϑ по отношению к оси x . Скорость дрейфа равна

$$V_{д} = \frac{(3/4)V_0}{[1 + (D/\gamma)^2]^{1/2}} \frac{R_0}{K_{кр}} \left| \frac{\partial K_{кр}}{\partial x} \right|, \quad (8.18)$$

а тангенс угла дрейфа дается выражением

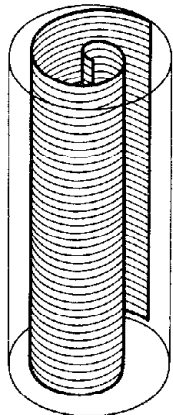
$$\operatorname{tg} \vartheta \approx -\gamma/D. \quad (8.19)$$

При высокой инерционности ($\gamma/D \ll 1$) спиральная волна смещается вдоль оси x в направлении, обратном направлению увеличения $K_{кр}$. Если инерционность мала ($\gamma/D \gg 1$), дрейф осуществляется вдоль оси y ; при этом его направление меняется на обратное при изменении направления вращения спиральной волны.

В заключение заметим, что дрейф спиральной волны не может продолжаться очень долго. В среде конечных размеров волна исчезает, когда ее ядро попадает на границу. Для неограниченной среды при движении волны в сторону меньших значений $K_{кр}$ радиус ее ядра растет: формально он равен бесконечности при $K_{кр} = 0$. При достижении этой области решение в виде спиральной волны теряется – свободный конец сокращается и уходит на бесконечность. Этот эффект, однако, уже не описывается простой линейной теорией, построенной выше, поскольку в такой области нарушается условие (16) и вариация критической кривизны на протяжении одного оборота спирали не является малой.

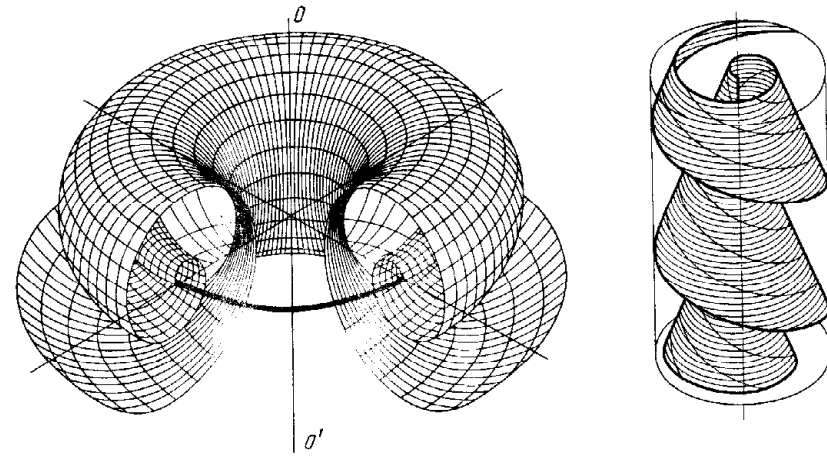
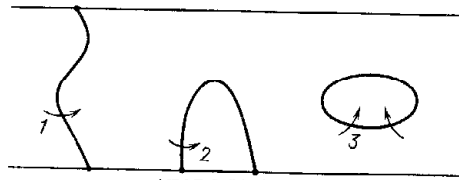
§ 9. Автоволновые структуры в трехмерных возбудимых средах

Если взять на плоскости вращающуюся спиральную волну и продолжить ее прямо вверх, мы получим трехмерную автоволновую структуру – *простой вихрь*, имеющий вид вращающегося свитка (рис. 1.44). По своим свойствам такой вихрь аналогичен спиральной волне. В двумерном случае спиральная волна вращается вокруг некоторой точки; в трехмерном случае центры вращения образуют линию – ось вращения, называемую нитью вихря. Не всегда нить вихря – прямая линия. Она может быть искривлена или замкнута в окружность (рис. 1.45). В результате вихрь превращается в *вихревое кольцо* (рис. 1.46). Вихревое кольцо – это локальный автоволновой источник. На больших расстояниях от центра этот источник создает ту же картину расходящихся сферических волн, как и пейсмекер.



Р и с. 1.44. Простой вихрь

Р и с. 1.45. Различные деформации нити вихря; стрелками указано направление вращения



Р и с. 1.46. Вихревое кольцо

Р и с. 1.47. Скрученный вихрь

Вихри и вихревые кольца представляют простейшие примеры автоволновых источников в трехмерных средах. Существуют и гораздо более сложные структуры. Так, если взять простую волну-свиток и скрутить ее вдоль вертикальной оси, мы получим объект, называемый *скрученным вихрем* (рис. 1.47). Пересекаясь с поверхностью воображаемого цилиндра, который охватывает нить такого вихря, волны возбуждения образуют винтовую линию. При замыкании нити скрученного вихря в окружность возникает объект, который естественно назвать скрученным вихревым кольцом. Продолжая такие построения, можно получить сложные структуры в виде зацепленных или завязанных узлом вихревых колец и т.п.

Существуют определенные топологические ограничения [268–271], которые значительно сокращают число допустимых трехмерных структур. Оказывается, что запрещено существование двух зацепленных простых вихревых колец или же одиночного скрученного вихревого кольца. Покажем, каким образом возникают такие топологические ограничения. Вспомним прежде всего, что если нить простого вихря окружить замкнутым контуром, то при обходе по такому замкнутому контуру фаза получит приращение, равное $2\pi N$, где N – число рукавов вихря. При обходе вдоль любого контура, не охватывающего нить, приращение фазы равно нулю.

Теперь нетрудно увидеть, что скрученное вихревое кольцо обязательно проткнута нитью еще одного вихря. Окружим замкнутым контуром ось симметрии скрученного M раз вихревого кольца (величину M называют *полным кручением*). При обходе вдоль такого контура фаза получает приращение $2\pi M$. Следовательно, через такой контур проходит нить

вихря с M рукавами или несколько вихревых нитей с суммарным топологическим зарядом M^*).

Помимо описанных выше существуют многорукавные скрученные вихри, которые получаются путем скручивания вдоль оси многорукавных прямых вихрей. Если свернуть нить скрученного многорукавного вихря в окружность, мы приходим к многорукавному вихревому кольцу. Заметим, что полное кручение многорукавного вихревого кольца может принимать дробные значения: поскольку разрешено склеивать один рукав вихря с другим, кручение принимает значения $M = m/N$, где m — целое число.

Изменение фазы при обходе вдоль контура, охватывающего вертикальную ось кольца, равно NM . Повторяя предыдущие рассуждения, можно убедиться, что через центр такого кольца должен проходить вихрь с NM рукавами (или несколько вихрей с суммарным топологическим зарядом NM).

Нить вихря, проходящего через центр скрученного вихревого кольца, можно саму замкнуть в кольцо. В результате будет получена пара скрученных вихревых колец, зацепленных одно за другое.

Число рукавов и кручение двух вихревых колец не произвольны; они связаны определенным соотношением. Пусть N_1 — число рукавов, а M_1 — кручение первого кольца. Тогда, как следует из предыдущих рассуждений, число рукавов в втором кольце должно равняться $N_2 = N_1 M_1$. Аналогично для числа рукавов в первом кольце получаем $N_1 = N_2 M_2$, где M_2 — кручение второго кольца. Нетрудно видеть, что два равенства могут одновременно выполняться, лишь если

$$M_1 M_2 = 1, \quad N_1 / N_2 = (M_1 / M_2)^{1/2}. \quad (9.1)$$

Согласно этим соотношениям, если одно из колец перекручено целое число раз M больше единицы, то второе кольцо скручено лишь на $1/M$ оборотов. При этом число рукавов у второго кольца в M раз больше, чем у первого.

Соотношения (1) накладывают жесткие ограничения на допустимые кольцевые зацепления. Из них следует, например, что нельзя продеть друг сквозь друга два простых (нескрученных) вихревых кольца или два одноорукавных вихревых кольца, каждое из которых перекручено дважды.

Вихревые нити можно не только замыкать в кольцо, но и завязывать их в узлы. Возникающие при этом объекты очень сложны. Их классификация и отбор разрешенных узлов требуют применения методов математической топологии [270].

К настоящему времени вихри в трехмерных активных средах наблюдались при реакции Белоусова — Жаботинского [258] и в численных экспериментах [114, 115].

Численные результаты свидетельствуют, что вихревые кольца обычно неустойчивы. Как правило, они медленно сжимаются со скоростью,

*) Понятие топологического заряда простого вихря предложено в [61]. Топологический заряд спиральной волны в двумерной среде равен деленному на 2π изменению фазы при обходе по направлению часовой стрелки вдоль замкнутого контура, окружающего ядро спиральной волны. Для спиральных волн, вращающихся в противоположных направлениях, знак топологического заряда будет обратным.

обратно пропорциональной радиусу кольца, и в конце концов исчезают. В некоторых случаях, однако, наблюдается не сжатие, а раздувание кольца: его радиус растет и оно превращается в ограниченной среде в прямой вращающийся свиток.

Подобно спиральным волнам, в зависимости от значений параметров, характеризующих возбудимость среды, вихревые кольца могут быть рыхлыми или "плотными". В последнем случае испускаемые кольцом волны следуют с периодом, близким к T_{\min} , так что фронт следующей волны надвигается на хвост предыдущей.

Ниже мы вкратце изложим методы теоретического описания рыхлых трехмерных автоволновых структур, основывающихся на кинематике фронтальных поверхностей [29].

Кинематическое описание, развитое для двумерных возбудимых сред, допускает естественное обобщение на трехмерный случай. Как и прежде, будем считать, что волна полностью описывается путем задания ее ориентированной поверхности фронта. Всякая поверхность в трехмерном пространстве обладает в каждой точке двумя главными радиусами кривизны: R_1 и R_2 . Можно сказать, что при малых кривизнах скорость нормального смещения участка фронтальной поверхности зависит лишь от суммы двух главных кривизн, т.е. от удвоенной средней кривизны $2H = 1/R_1 + 1/R_2$, согласно формуле

$$V = V_0 - 2DH. \quad (9.2)$$

На линии своего обрыва фронтальная поверхность может "прорасти" или сокращаться. Скорость тангенциального смещения (скорость "прорастания" искривленной волны) G следующим образом зависит от средней кривизны H фронта при подходе к обрыву в данной точке и от тангенциальной (или геодезической) кривизны κ линии обрыва:

$$G = -\gamma_1 (2H - K_{кр}) - \gamma_2 \kappa. \quad (9.3)$$

Здесь γ_1 и γ_2 — некоторые положительные коэффициенты; кривизну линии обрыва мы считаем положительной, если она является выпуклой по отношению к фронтальной поверхности.

Рассмотрим в рамках кинематического описания эволюцию простого (нескрученного) вихревого кольца. Введем цилиндрическую систему координат z, ρ, φ с осью z , являющейся осью аксиальной симметрии кольца. Вследствие цилиндрической симметрии достаточно рассмотреть эволюции линии, образуемой сечением кольца плоскостью $\varphi = \text{const}$, т.е. меридиана вихревого кольца (рис. 1.48). Поскольку эта линия плоская, то, очевидно, кинематическое уравнение, описывающее ее эволюцию, совпадает с (7.9). Однако в отличие от случая спиральной волны на плоскости зависимость скоростей V и G от кривизны K меридиана вихревого кольца дается соотношениями (2) и (3). Средняя кривизна H для вихревого кольца легко вычисляется:

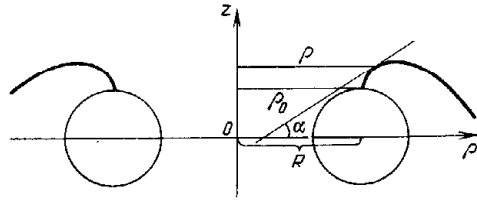
$$H = (K - \rho^{-1} \sin \alpha) / 2, \quad (9.4)$$

а тангенциальная кривизна линии обрыва

$$\kappa = -\rho_0^{-1} \cos \alpha_0, \quad (9.5)$$

где ρ — расстояние от оси z до соответствующего участка поверхности, α — угол между касательной к меридиану кольца на этом участке и осью ρ (см. рис. 1.48), α_0 — угол между касательной и осью ρ при подходе к свободному концу меридиана, ρ_0 — расстояние от оси z до свободного конца.

В условиях применимости квазистационарного приближения форма фронтальной поверхности вблизи линии обрыва быстро подстраивается



Р и с. 1.48. К определению величин α и ρ

к мгновенным значениям средней кривизны H_0 этой поверхности вблизи обрыва и кривизны самой линии обрыва κ . Поэтому достаточно следить за движением концевой точки линии, получаемой путем сечения вихревого кольца меридиональной плоскостью. Можно показать, что оно описывается уравнениями

$$\dot{\rho}_0 = -V(0) \sin \alpha_0 - G \cos \alpha_0, \quad (9.6)$$

$$\dot{z} = V(0) \cos \alpha_0 - G \sin \alpha_0,$$

$$\dot{\alpha}_0 = -D \left(\frac{\partial K}{\partial l} \right)_{l=0} - DK_0 \frac{\cos \alpha_0}{\rho_0} - \frac{D}{2\rho_0^2} \sin 2\alpha_0 + GK_0, \quad (9.7)$$

$$\dot{K}_0 = - \left(G - D \frac{\cos \alpha_0}{\rho_0} \right) - \frac{DK_0}{2\rho_0} (3 \cos 2\alpha_0 + 1), \quad (9.8)$$

где

$$\left(\frac{\partial K}{\partial l} \right)_{l=0} = \zeta (V_0/D)^{1/2} K_0^{3/2}. \quad (9.9)$$

В сочетании с (2)–(5) эти уравнения полностью определяют закон движения точки обрыва в меридиональной плоскости и, следовательно, временную эволюцию простого вихревого кольца.

Мы считаем, что радиус R вихревого кольца гораздо больше толщины его нити, которая близка по значению к диаметру ядра спиральной волны. Нетрудно убедиться, что при $R \rightarrow \infty$, т.е. для цилиндрического вихря, уравнения (6)–(8) имеют решение, для которого частота вращения совпадает с частотой спиральной волны ($\alpha_0 = \omega_0 t$), а кривизна K_0 равна $K_{кр}$. В линейном приближении по $1/R$ следует заменить в правых частях уравнений (7), (8) величину ρ_0 на R и положить $\alpha_0 \approx \omega_0 t$. В результате мы приходим к уравнениям, сходным с теми, которые описывают резонанс спиральных волн при полном совпадении двух частот. Можно поэтому ожидать, что в меридиональной плоскости центр нити вихря будет медленно сме-

щаться со скоростью, пропорциональной амплитуде модуляции, т.е. величине $1/R$.

Подробный расчет [29] показывает, что в линейном по $1/R$ приближении радиус вихревого кольца изменяется с течением времени по закону

$$\dot{R} = - \frac{D}{R} \left(1 - \frac{3}{4\beta^2} \frac{q_1^2 + q_2}{q_1^2 + 1} \right), \quad (9.10)$$

где $\beta = (DK_{кр}/V_0)^{1/2} \ll 1$ и использованы обозначения $q_1 = \gamma_1/D$ и $q_2 = (\gamma_2 - D)/D$. Одновременно кольцо смещается в вертикальном направлении (т.е. вдоль своей оси симметрии) со скоростью

$$\dot{Z}_0 = - \frac{D}{R} \left(\frac{q_2}{2\zeta\beta} + \frac{3}{4\beta^2} \frac{q_1 q_2}{q_1^2 + 1} \right). \quad (9.11)$$

Если вихрь закручен в противоположную сторону, то направление его смещения вдоль оси симметрии меняется на обратное.

Таким образом, вихревое кольцо почти всегда неустойчиво. Оно либо коллапсирует ($\dot{R} < 0$) и исчезает, либо раздувается ($\dot{R} > 0$) с течением времени. Сжатие или раздувание сопровождаются дрейфом кольца вдоль оси своей симметрии.

Имеется, однако, узкий интервал значений параметров q_1 и q_2 , в котором скорость \dot{R} очень мала и проходит через нулевое значение (см. (10)). В пределах этого интервала наряду с линейным по $1/R$ слагаемым в выражении для \dot{R} необходимо учитывать также члены следующих, более высоких порядков. Детальный анализ показывает*, что слагаемые порядка $1/R^2$ отсутствуют, а член порядка $1/R^3$ входит в выражение для скорости \dot{R} с положительным коэффициентом. Поэтому, если в линейном по $1/R$ приближении вихревое кольцо сжимается, но скорость сжатия очень мала, это нелинейное положительное слагаемое порядка $1/R^3$ будет ограничивать сжатие и стабилизировать вихревое кольцо.

При выполнении неравенств $q_1^2 \gg q_2$ радиус стабильного вихревого кольца дается выражением

$$R = R_0 [(13/32)\xi\beta q_1]^{1/2} [(q_1/\beta)^2 - (3/4)]^{-1/2}, \quad (9.12)$$

где $R_0 = V_0/\omega_0$ есть радиус нити вихревого кольца, практически совпадающий с радиусом ядра спиральной волны в двумерной возбудимой среде.

Как следует из (9.12), устойчивые вихревые кольца существуют при $q_1^2 > (3/4)\beta^2$, причём непосредственно при $q_1^2 = (3/4)\beta^2$ радиус устойчивого вихревого кольца обращается в бесконечность. С увеличением q_1 радиус кольца быстро убывает. Выражение (12) справедливо, пока $R \gg R_0$. Решение в виде устойчивого вихревого кольца теряется, когда R оказывается порядка R_0 .

Заметим, что согласно (11) стабильное вихревое кольцо медленно смещается со скоростью около $\beta(D/R)$ вдоль своей оси симметрии.

*) Эти расчеты были проведены одним из авторов (А.С.М.) совместно с Н.В. Хрустовой.

Стабильные вихревые кольца наблюдались в численном эксперименте [29] для одной конкретной модели возбудимой среды.

Мы уже обращали внимание, что на больших удалениях от центра вихревое кольцо неотличимо по картине испускаемых им волн от сферического пейскекера. Однако в отличие от истинного пейскекера, обязанного своим существованием неоднородности среды и присутствием в ней группы автоколебательных элементов, такой источник может быть создан в однородной среде; при этом он не покоится — его центр смещается со временем вдоль направления оси симметрии вихревого кольца.

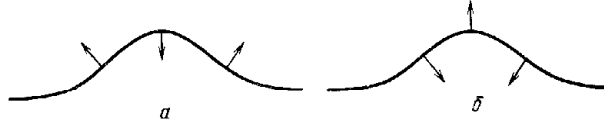


Рис. 1.49. Эволюция начального возмущения нити прямого вихря в среде с более высокой (а) и менее высокой (б) возбудимостью

Хотя приведенные выше результаты относились непосредственно лишь к эволюции простого вихревого кольца, они позволяют описать в простейшем приближении поведение со временем любого вихря, нить которого произвольно (но не очень сильно) деформирована. В самом деле, если рассмотреть небольшой участок такого вихря, он будет выглядеть как часть вихревого кольца соответствующего радиуса.

Пусть исходно мы имели прямой вихрь (цилиндрический свиток) и немного деформировали локально его нить (рис. 1.49 а). Если параметры среды таковы, что вихревое кольцо в ней сжимается, деформация с течением времени будет стремиться стать меньше. Иными словами, в этом случае нить вихря обладает упругостью и стремится к сокращению с течением времени. В обратном случае, когда вихревое кольцо расширяется, всякий "вырост" на нити раздувается со временем — нить вихря стремится к удлинению (рис. 1.49 б). В результате прямой цилиндрический свиток оказывается неустойчивым по отношению к малым деформациям его нити. Это должно приводить к формированию очень сложных (и, возможно, даже хаотически организованных) структур в безграничных средах.

Недавно был рассмотрен [1] резонанс вихревых колец, т.е. их реакция на периодическую однородную модуляцию возбудимости среды. Оказывается, что при определенных условиях, подбирая амплитуду и фазу модуляции, можно стабилизировать раздувающиеся вихревые кольца и управлять скоростью их смещения вдоль центральной оси.

Обсудим в заключение свойства скрученных вихрей. Для цилиндрического скрученного свитка (рис. 1.47) линия обрыва волнового фронта представляет собой винтовую линию, намотанную на цилиндр — нить вихря. Скрученность такого вихря естественно характеризовать параметром $\mu = 2\pi/h$, где h — шаг винтовой линии. В зависимости от того, является ли винтовая линия обрыва правой или левой (положительное направление оси вихря определяется вектором угловой скорости вращения), скрученность μ будет соответственно положительной или отрицательной.

Кинематические расчеты показывают, что угловая скорость вращения скрученного свитка больше, чем нескрученного. При малых значениях скрученности μ угловая скорость вращения скрученного свитка равна [47]

$$\omega = \omega_0 [1 + (3/2)(\gamma_2/\gamma_1) |\mu| / K_{кр}]. \quad (9.13)$$

Результаты численного моделирования [209] свидетельствуют, что для каждой среды существует максимальное допустимое значение скрученности $\mu_{кр}$: если вихрь скрутить более сильно, он рвется. Максимально скрученный вихрь испускает волны с периодом порядка T_{min} , т.е. с периодом, близким к минимальному возможному интервалу следования волн возбуждения.

Если в начальный момент времени вихрь скручен неоднородно, т.е. $\mu = F(z)$, то по нему побегут "волны скрученности" [47]. Возмущения скрученности, имеющие разные знаки, распространяются вдоль вихря в противоположных направлениях, но с одинаковой скоростью

$$u = (3/2)(\gamma_2/\gamma_1)\omega_0/K_{кр}. \quad (9.14)$$

При столкновении двух волн скрученности образуются разрывы (аналог ударных волн).

Заметим, что приведенные результаты относятся, конечно, и к скрученным вихревым кольцам, для которых нить замкнута в окружность. Скрученные вихревые кольца сжимаются (или раздуваются) и дрейфуют вдоль аксиальной оси примерно так же, как и нескрученные кольца, поведение которых обсуждалось нами выше.

Если внутри конечного объема возбудимой среды создать цилиндрический скрученный свиток, так что его нить будет выходить на ограничивающие этот объем поверхности, то, как показывает численное моделирование, этот свиток нестационарен. Он раскручивается и с течением времени превращается в простой вихрь. Однако скрученные вихри естественно возникают в *неоднородных* возбудимых средах.

Пусть возбудимая среда состоит из двух областей. В верхней области спиральные волны (и нескрученные вихри) имеют период вращения T_1 , а в нижней период вращения спиральных волн равен T_2 , причем $T_2 > T_1$. Если теперь создать простой вихрь с нитью, перпендикулярной поверхности раздела двух областей возбудимой среды, то в нижней он превратится в скрученный вихрь (см. [209]). Степень скрученности вихря определяется условием совпадения периода его вращения T с периодом вращения T_1 нескрученного вихря в верхней области среды (напомним, что скручивание приводит к ускорению вращения вихря).

В неоднородных средах, где значения параметров плавно варьируются, вихри, как правило, должны быть скрученными. Будучи более быстрыми, такие вихри вытесняют простые нескрученные вихри из активной среды.

§ 10. Фазовая динамика в осциллирующих активных средах

Пусть отдельно взятый элемент активной среды совершает устойчивые периодические автоколебания. Эти колебания характеризуются своей формой (не обязательно гармонической), амплитудой, частотой и начальной фазой. При этом амплитуда, частота и форма колебаний однозначно определяются свойствами самого автоколебательного элемента, а начальная фаза колебаний φ может быть произвольной. Если произвести некоторое возмущение, форма осцилляций вернется к исходной, а их амплитуда возвратится к своему устойчивому значению, по прошествии некоторого времени релаксации $\tau_{\text{рел}}$. Однако в результате возмущения фаза φ не вернется уже к исходному значению, а приобретет некоторую добавку $\delta\varphi$.

Допустим далее, что в нашем распоряжении имеется сеть из связанных между собой автоколебательных элементов либо распределенная активная среда, отдельный физически малый элемент которой обладает автоколебательными свойствами. Будем предполагать, что взаимодействие между элементами является локальным (т.е. взаимодействуют лишь соседние элементы), причем если два соседних элемента совершают синхронные колебания (с одинаковой формой, амплитудой и начальной фазой), то взаимодействие между ними отсутствует; если же рассогласование в колебаниях двух элементов мало, то и взаимодействие между ними будет слабым в меру такого рассогласования.

Очевидно, что при сделанных предположениях активная среда допускает режим синхронных автоколебаний, при котором все элементы среды совершают колебания с одной и той же фазой $\varphi(\mathbf{r}, t) = \cos \omega t$, а амплитуда и форма колебаний в каждой точке среды — те же, что и для отдельно взятого автоколебательного элемента.

Более того, если фаза колебаний меняется вдоль среды, но ее пространственное изменение является плавным и характеризуется достаточно большим пространственным масштабом L , следует ожидать, что тогда распределение фазы $\varphi(\mathbf{r}, t)$ будет медленно меняться со временем. Действительно, чем больше пространственный масштаб L изменения фазы, тем меньше рассогласование по фазам колебаний для двух соседних элементов среды и тем слабее взаимодействие.

С другой стороны, возмущения амплитуды и формы колебаний релаксируют быстро, независимо от того, каков их характерный пространственный масштаб. Их затухание определяется свойствами отдельно взятого элемента среды и происходит за время порядка $\tau_{\text{рел}}$.

Таким образом, для возмущений с достаточно большими пространственными масштабами характерные времена для изменения фаз $\varphi(\mathbf{r}, t)$ и амплитуд колебаний сильно различаются. Поскольку амплитуда колебаний в каждой точке стремится быстро (и независимо от других точек) возвратиться к своему устойчивому значению, при наличии слабого градиента фазы $\nabla\varphi$ амплитуды колебаний быстро адиабатически подстраиваются к мгновенному значению этого градиента. Поэтому их отклонения от равновесного значения малы в меру малости градиента фазы $\nabla\varphi$ (т.е. в меру слабости взаимодействия между элементами среды).

Динамика плавных распределений фаз должна описываться отдельным уравнением, в которое уже не входят амплитуды и форма колебаний. Это уравнение можно вывести, воспользовавшись весьма общими соображениями.

В однородной активной среде скорость изменения фазы в данной точке среды $\partial\varphi/\partial t$ не может зависеть от направления градиента фазы. Поэтому при достаточно малых градиентах разложение скорости изменения фазы по степеням градиента фазы должно начинаться не с линейного, а с квадратичного слагаемого:

$$\partial\varphi/\partial t = a(\nabla\varphi)^2 + \dots \quad (10.1)$$

Согласно (1) для неоднородностей с пространственным масштабом L скорость изменения фазы пропорциональна $1/L^2$. Заметим теперь, что наряду с градиентом в правую часть уравнения (1) могут входить также слагаемые с более высокими пространственными производными. Нам необходимо сохранить только те из подобных слагаемых, которые приводят к вкладам порядка $1/L^2$ по обратному пространственному масштабу неоднородности фазы. Нетрудно убедиться, что есть всего одно такое слагаемое, пропорциональное лапласиану фазы $\Delta\varphi$.

Итак, уравнение для плавных изменений фазы φ должно иметь вид

$$\partial\varphi/\partial t = a(\nabla\varphi)^2 + b\Delta\varphi, \quad (10.2)$$

где a и b — некоторые коэффициенты с размерностью коэффициента диффузии (т.е. $[a] = [b] = \text{см}^2/\text{с}$). Чтобы определить значение этих коэффициентов, нужно использовать полные уравнения динамики для данной активной среды (см. ниже).

Заметим, что подобно уравнениям кинематики для возбудимых сред, рассматривавшимся в § 8, 9, выведенное выше уравнение фазовой динамики (2) универсально в том смысле, что всякая сложная осциллирующая среда описывается в нем всего двумя параметрами a и b , а все детали взаимодействия между элементами, формы и амплитуды колебаний оказываются несущественными.

Из уравнения (2) следует, что характерное время τ_L для изменения неоднородности фазы с пространственным масштабом L имеет порядок величины $\tau_L \sim L^2/b$. Поскольку при выводе этого уравнения предполагалось, что характерное время изменения для распределения фазы велико по сравнению со временем релаксации амплитуды $\tau_{\text{рел}}$ в отдельном осцилляторе, полученное уравнение применимо лишь для описания таких плавных распределений фазы, для которых пространственный масштаб неоднородности удовлетворяет условию

$$L \gg (b\tau_{\text{рел}})^{1/2}. \quad (10.3)$$

Неравенство (3) ограничивает область применимости уравнения фазовой динамики.

Детальная схема вывода уравнения фазовой динамики, непосредственно исходя из уравнений в частных производных, описывающих автоколебательную распределенную среду, приведена в [191]. Ниже мы даем,

в качестве иллюстрации, вывод этого уравнения для квазигармонических автоколебательных сред.

Допустим, что автоколебательная среда описывается двумя зависящими от времени и координат переменными $u = u(r, t)$ и $v = v(r, t)$, из которых удобно составить комплексную величину $\eta(r, t) = u(r, t) + iv(r, t)$. Предположим, что изменение η со временем подчиняется следующему уравнению:

$$\partial\eta/\partial t = \lambda(\rho)\eta - i\omega(\rho)\eta + (D_1 + iD_2)\Delta\eta, \quad (10.4)$$

где λ и ω представляют собой некоторые функции от амплитуды $\rho = |\eta|$; функция $\lambda(\rho)$ обращается в нуль при $\rho = \rho_0$, отрицательна при $\rho > \rho_0$ и положительна при $\rho < \rho_0$.

Модель автоколебательной среды, характеризуемую уравнением вида (4), называют обычно "λ - ω модель". Если комплексный коэффициент $D = D_1 + iD_2$ играющий роль коэффициента диффузии в уравнении (4), равен нулю, то среда распадается на совокупность не связанных между собой автоколебательных элементов. Нетрудно убедиться, что в установившемся режиме каждый элемент среды совершает гармонические колебания по закону

$$\eta(t) = \rho_0 \exp[-i(\omega_0 t + \varphi)] \quad (10.5)$$

с амплитудой ρ_0 , определяемой из условия $\lambda(\rho_0) = 0$, и частотой $\omega_0 = \omega(\rho_0)$. Начальная фаза φ этих колебаний остается произвольной.

Малые возмущения амплитуды $\delta\rho = \rho - \rho_0$ для отдельного элемента среды затухают со временем согласно уравнению (ср. (4))

$$\delta\dot{\rho} = \rho_0 \lambda'(\rho_0) \delta\rho. \quad (10.6)$$

Таким образом, время релаксации амплитуды равно

$$\tau_{\text{рел}} = |\rho_0 (d\lambda/d\rho)_{\rho=\rho_0}|^{-1}. \quad (10.7)$$

Рассмотрим теперь общий случай, когда $D \neq 0$. Если представить η в виде

$$\eta(r, t) \equiv \rho(r, t) \exp[-i(\omega_0 t + \varphi(r, t))], \quad (10.8)$$

то для неизвестных функций $\rho(r, t)$ и $\varphi(r, t)$ можно получить уравнения

$$\frac{\partial\rho}{\partial t} = \lambda(\rho)\rho + D_1\Delta\rho - D_1\rho(\nabla\varphi)^2 + D_2\rho\Delta\varphi + 2D_2\nabla\rho\nabla\varphi, \quad (10.9)$$

$$\frac{\partial\varphi}{\partial t} = [\omega(\rho) - \omega_0] + 2D_1 \frac{\nabla\rho\nabla\varphi}{\rho} - D_2 \frac{\Delta\rho}{\rho} + D_2(\nabla\varphi)^2 + D_1\Delta\varphi. \quad (10.10)$$

Ограничимся рассмотрением плавных распределений, характеризующихся большим пространственным масштабом L . Тогда следует ожидать, что амплитуда колебаний в каждой точке среды будет близка к ρ_0 , т.е. $\delta\rho/\rho_0 \ll 1$. Более того, отклонения амплитуд $\delta\rho(r, t)$ будут адиабатически подстраиваться к значениям $\nabla\varphi$ и $\Delta\varphi$ в соответствующих точках.

Поэтому с точностью до членов порядка $1/L^2$ мы имеем

$$\delta\rho = \rho_0 \tau_{\text{рел}} [D_2\Delta\varphi - D_1(\nabla\varphi)^2]. \quad (10.11)$$

Действительно, подставив (11) в (9), легко убедиться, что при выводе этого выражения отброшены как раз те слагаемые, которые отвечают более высокому порядку по параметру $1/L$.

Теперь остается только подставить $\rho = \rho_0 + \delta\rho$ в уравнение (10) для фазы и сохранить в нем лишь члены порядка $1/L^2$. В результате получаем

$$\partial\varphi/\partial t = D_1\Delta\varphi + D_2(\nabla\varphi)^2 + \omega'(\rho_0)\delta\rho, \quad (10.12)$$

где $\delta\rho$ дается выражением (11). С учетом формулы (7) справедливо

$$\frac{\partial\varphi}{\partial t} = \left(-D_1 \frac{\omega'(\rho_0)}{|\lambda'(\rho_0)|} + D_2\right)(\nabla\varphi)^2 + \left(D_1 + \frac{\omega'(\rho_0)}{|\lambda'(\rho_0)|} D_2\right)\Delta\varphi, \quad (10.13)$$

что совпадает с уравнением (2).

Частным случаем $\lambda - \omega$ модели является обобщенное уравнение Гинзбурга-Ландау

$$\frac{\partial\eta}{\partial t} = (\alpha_1 - i\alpha_2)\eta - (\beta_1 + i\beta_2)|\eta|^2\eta + (D_1 + iD_2)\Delta\eta, \quad (10.14)$$

для которого $\lambda = \alpha_1 - \beta_1\rho^2$, $\omega = \alpha_2 + \beta_2\rho^2$. Как следует из (13), в этом случае параметры a и b в уравнении фазовой динамики (2) таковы:

$$a = -(\beta_2/\beta_1)D_1 + D_2, \quad b = (\beta_2/\beta_1)D_2 + D_1. \quad (10.15)$$

Перейдем теперь к рассмотрению процессов, описываемых уравнением фазовой динамики (2). Заметим прежде всего, что с помощью подстановки

$$\varphi(r, t) = (b/a) \ln Q(r, t) \quad (10.16)$$

оно сводится к линейному уравнению

$$\partial Q/\partial t = b \Delta Q. \quad (10.17)$$

Таким образом, решающую роль в эволюции системы играет знак коэффициента b . Если этот коэффициент положительный, уравнение (17) представляет собой обычное уравнение диффузии. Следовательно, любая локальная неоднородность Q (и соответственно φ) с характерным пространственным масштабом L полностью размывается и исчезает за время порядка L^2/b . В результате в среде устанавливается однородный режим, для которого Q и φ не зависят от пространственных координат. Это означает, что при $b > 0$ происходит синхронизация колебаний во всех точках среды.

Совершенно иная ситуация складывается, если коэффициент b отрицателен. В этом случае начальная неоднородность фазы не размывается, а, наоборот, сжимается и возрастает с характерным временем L^2/b . Вследствие этого однородный режим с синхронным автоколебанием оказывается неустойчивым по отношению к малым возмущениям. Флуктуации усиливаются, причем быстрее всего идет рост наиболее коротковолновых

флуктуаций. В результате в системе устанавливается хаотический, или турбулентный, режим [193].

Заметим, что поскольку эволюция локальных неоднородностей фазы сопровождается их стягиванием, т.е. уменьшением пространственного масштаба, для каждой такой флуктуации по прошествии некоторого времени условие (3) оказывается нарушенным, а уравнение (2) — неприменимым. Турбулентный режим характеризуется множественным рождением сингулярностей в распределении фазы. Для его описания необходимо использовать полные исходные уравнения распределенной автоколебательной среды. Свойства турбулентного режима оказываются поэтому не универсальными, а весьма чувствительными к конкретному виду уравнений, описывающих распределенную автоколебательную среду (см. § 21).

§ 11. Фазовые волны и пейсмекеры

Как уже отмечалось в § 1, при распространении фазовой волны в автоколебательной среде в ней устанавливается постоянный градиент фазы колебаний

$$\nabla \varphi = -k = \text{const.} \quad (11.1)$$

Благодаря этому вдоль направления вектора k колебания соседних элементов происходят с постоянным сдвигом по фазе, и для наблюдателя этот режим выглядит так, как будто по среде движется волна. Эффектом того же происхождения являются "волны", бегущие по гирляндам из электрических лампочек, зажигаемых по очереди на короткое время.

Для возбуждения фазовых волн в среде необходимо создать исходный градиент фазы автоколебаний. Скорость волны при этом тем больше, чем меньше линейный градиент фазы.

Связь между элементами среды (осуществляемая, например, благодаря диффузии) не имеет принципиального значения для распространения быстрых фазовых волн, когда градиенты фазы достаточно малы *).

При уменьшении скорости фазовой волны, т.е. при возрастании градиента фазы автоколебаний, эффекты взаимодействия становятся все более существенными. Вообще говоря, при распространении по среде фазовой волны с волновым числом k элементы среды совершают колебания с частотой ω , несколько отличной от частоты однородных автоколебаний ω_0 .

Распространение фазовых волн можно исследовать в рамках уравнения фазовой динамики (10.2). Такая волна отвечает частному решению этого уравнения, имеющему вид

$$\varphi = -kr + ak^2 t. \quad (11.2)$$

Зависящее от времени слагаемое дает сдвиг частоты колебаний

$$\omega = \omega_0 + ak^2. \quad (11.3)$$

*) В эксперименте [183] осциллирующую среду с реакцией Белоусова-Жаботинского, где были предварительно возбуждены быстрые волны, разделяли тонкой перегородкой из оргстекла и наблюдали, как волны "проходят" через перегородку, не ощущая ее.

Таким образом, знак коэффициента a определяет, будет расти или же убывать частота колебаний с увеличением волнового числа. Скорость распространения фазовой волны равна

$$c = \omega_0/k + ak. \quad (11.4)$$

В рамках уравнения (10.2) все фазовые волны устойчивы, если $b > 0$. При $b < 0$ частое решение в виде фазовой волны по-прежнему существует, но оно уже не представляет интереса, поскольку в этом случае фазовая волна, как и другие регулярные волновые режимы, неустойчива и в среде формируется с течением времени хаотический пространственно-временной режим (§ 21).

Волны с малым пространственным периодом, для которых $k \geq (b\tau_{\text{рел}})^{-1/2}$, не описываются уравнением фазовой динамики (10.2). Их исследование необходимо производить в рамках полных исходных уравнений распределенной автоколебательной среды. Обычно оказывается, что волны теряют устойчивость в области $k \sim (b\tau_{\text{рел}})^{-1/2}$.

Рассмотрим теперь, что происходит при столкновении двух волн с разными волновыми векторами. Для простоты будем считать, что волны движутся навстречу друг другу вдоль оси x , причем $\varphi(x) \rightarrow -k_1 x$ при $x \rightarrow -\infty$ и $\varphi(x) \rightarrow k_2 x$ при $x \rightarrow +\infty$. Такому режиму отвечает частное решение уравнения (10.17) вида

$$Q(x, t) = A_1 \exp[-(a/b)k_1 x + (a^2/b)k_1^2 t] + A_2 \exp[(a/b)k_2 x + (a^2/b)k_2^2 t], \quad (11.5)$$

где коэффициенты A_1 и A_2 находятся из начальных условий. Напомним, что

$$\varphi(x, t) = (b/a) \ln Q(x, t). \quad (11.6)$$

Поскольку Q представляет собой сумму двух экспоненциальных вкладов, независимо меняющихся по x и t , почти всюду на оси x будет доминировать какое-то одно из этих двух слагаемых. Простой анализ показывает, что вие узкого слоя шириной порядка

$$\delta x \sim b/[a(k_1 + k_2)] \quad (11.7)$$

с центром в точке

$$X(t) = a(k_1 - k_2)t \quad (11.8)$$

справа (т.е. при $x > X(t)$) преобладает второе, а слева (т.е. при $x < X(t)$) — первое слагаемое в выражении (5). Поскольку (см. (6)) первое слагаемое отвечает волне, движущейся в положительном, а второе — в отрицательном направлении оси x , можно сказать, что две движущиеся навстречу фазовые волны гасят друг друга в пределах узкого слоя шириной $\delta x \sim b/[a(k_1 + k_2)]$, а точка их встречи медленно смещается с постоянной скоростью $V_{\text{в}} = a(k_1 - k_2)$ вдоль оси x .

Заметим, что, учитывая зависимость $\omega = \omega_0 + ak^2$ для частоты фазовой волны от ее волнового числа, выражение для скорости смещения границы

между областями, занятыми двумя волнами, можно представить также в виде

$$V_{\mathbf{v}} = (\omega_1 - \omega_2)/(k_1 + k_2). \quad (11.9)$$

Таким образом, с течением времени граница смещается в глубь области, занятой менее высокочастотной волной. Иными словами, область с более высокочастотными колебаниями постепенно растет и вытесняет ту область, в которой колебания имеют более низкую частоту.

До сих пор мы рассматривали только эффекты в однородных автоколебательных средах, где свойства всех элементов среды идентичны. Пусть в пределах некоторой малой области элементы среды имеют собственную частоту автоколебаний, превышающую частоту колебаний остальных элементов среды. Тогда эта область станет источником концентрически расходящихся фазовых волн, или *пейсмекером*.

Предположим, что собственная частота автоколебаний отдельно взятых элементов среды зависит от координат r по некоторому закону $\omega(r)$, причем $\omega(r) \rightarrow \omega_0$ при $r \rightarrow \infty$. При выполнении определенных условий (см. ниже) фазовая динамика в такой системе описывается уравнением

$$\partial\varphi/\partial t = \omega(r) - \omega_0 + a(\nabla\varphi)^2 + b\Delta\varphi. \quad (11.10)$$

После преобразования (10.16) оно сводится к линейному уравнению

$$\partial Q/\partial t = b\Delta Q + (a/b)[\omega(r) - \omega_0]Q, \quad (11.11)$$

которое оказывается эквивалентным квантовому уравнению Шредингера

$$i\hbar\partial\psi/\partial t = -(\hbar^2/2m)\Delta\psi + U(r)\psi, \quad (11.12)$$

если положить

$$\psi \rightarrow Q, \quad \hbar^2/2m \rightarrow b, \quad U(r) \rightarrow -(a/b)[\omega(r) - \omega_0] \quad (11.13)$$

и считать время мнимым: $(i/\hbar)t \rightarrow t$. Когда частота $\omega(r)$ превышает ω_0 внутри некоторой области, то в терминах уравнения Шредингера это означает, что в данной области имеется некоторая потенциальная яма. Пусть характерный размер такой области равен r_0 .

Уравнение (11) имеет общее решение

$$Q(r, t) = \sum_n C_n e^{\lambda_n t} \mu_n(r), \quad (11.14)$$

где λ_n и $\mu_n(r)$ являются решениями задачи на собственные значения:

$$L\mu = \lambda\mu \quad (11.15)$$

для линейного оператора

$$L = b\Delta + (a/b)[\omega(r) - \omega_0]. \quad (11.16)$$

Положительные собственные значения λ_n соответствуют связанным состояниям частицы в потенциальной яме $U(r)$. Отрицательные собственные значения λ_n образуют сплошной спектр; поскольку, однако, вклад от таких членов в Q экспоненциально затухает со временем, его можно не учитывать. Наконец, поскольку $U(r) \rightarrow 0$ при $r \rightarrow \infty$, существуют также нулевое

собственное значение $\lambda_0 = 0$ и соответствующая собственная функция $\mu_0(r)$. Как известно [95], для любого связанного состояния частицы в потенциальной яме волновая функция экспоненциально спадает на достаточно больших удалениях от центра ямы. Ввиду аналогии с уравнением Шредингера имеем

$$\mu_n(r) \approx \text{const} \cdot \exp(-r/r_n), \quad r \gg r_0, \quad (11.17)$$

где r_n — характерный радиус локализации,

$$r_n = (b/\lambda_n)^{1/2}. \quad (11.18)$$

Для нулевого собственного значения собственная функция $\mu_0(r) \approx 1$ вдали от области, где сосредоточено возмущение $\omega(r)$.

Предположим вначале, что в потенциальной яме $U(r)$ имеется всего одно связанное состояние (т.е. есть только одно положительное значение λ_1 и соответствующая собственная функция $\mu_1(r)$). Тогда, пренебрегая затухающим вкладом от собственных функций сплошного спектра, с учетом (4) и (6) получаем

$$\varphi(r, t) = (b/a) \ln [C_0 \mu_0(r) + C_1 e^{\lambda_1 t} \mu_1(r)]. \quad (11.19)$$

При $r \gg r_0$, т.е. вдали от области, где локализовано возмущение $\omega(r)$, выражение (19) упрощается:

$$\varphi(r, t) = (b/a) \ln \{C_0 + C_1 \exp[\lambda_1 t - (\lambda_1/b)^{1/2} r]\}. \quad (11.20)$$

Это решение описывает рождающийся пейсмекер. Внутри растущей сферической области радиуса $R(t) = (b\lambda_1)^{1/2} t$ мы имеем систему концентрических расходящихся фазовых волн

$$\varphi(r, t) \approx (b/a) [\lambda_1 t - (\lambda_1/b)^{1/2} r], \quad (11.21)$$

с частотой $\omega = \omega_0 + (b/a)\lambda_1$ и волновым числом $k = (\lambda_1 b/a^2)^{1/2}$. Вне этой области сохраняются однородные автоколебания с частотой ω_0 . С течением времени область, заполненная расходящимися волнами, расширяется и захватывает всю среду.

Если в потенциальной яме, отвечающей возмущению $\omega(r)$, содержится несколько связанных состояний (т.е. есть несколько различных положительных собственных значений λ_n), картина существенно не меняется. Вместо λ_1 в выражениях (20) и (21) для растущего пейсмекера теперь следует брать максимальное из значений λ_n , отвечающее наиболее глубокому уровню в данной потенциальной яме.

Известно [95], что в одномерном и двумерном случаях любая сколь угодно мелкая потенциальная яма содержит хотя бы одно связанное состояние. Следовательно, для одномерной и двумерной автоколебательной среды достаточно сколь угодно слабого локального возмущения частоты $\omega(r)$, чтобы родился пейсмекер, действие которого охватит со временем всю активную среду. В отличие от этого в трехмерном случае потенциальная яма содержит связанное состояние, лишь если она является достаточно глубокой. Переформулируя соответствующее условие с учетом соотношений (13), можно получить условие, при выполнении которого имеется хотя бы одно положительное собственное значение λ . Это условие таково:

$$\delta\omega \gg b^2 / ar_0^2. \quad (11.22)$$

где $\delta\omega$ — характерное возмущение частоты, а r_0 — характерный размер области, где такое возмущение локализовано. Когда условие (22) нарушено, рождение пейсмекера в трехмерной неоднородной автоколебательной среде не происходит.

Заметим, наконец, что само описание с помощью уравнения фазовой динамики (16) справедливо, если для максимального из собственных значений λ_n радиус локализации соответствующей функции $\mu_n(r)$ превышает $(b\tau_{\text{рел}})^{1/2}$. Поскольку согласно (18) этот радиус равен $(b/\lambda_{\text{max}})^{1/2}$, должно выполняться условие $\lambda_{\text{max}}\tau_{\text{рел}} \ll 1$. Поскольку всегда $\lambda_{\text{max}} \leq \delta\omega_{\text{max}}(a/b)$, условие применимости этого приближенного описания заведомо выполняется, если

$$\delta\omega_{\text{max}} \ll b/a\tau_{\text{рел}}. \quad (11.23)$$

Как было показано выше, при столкновении двух периодических фазовых волн с разными волновыми числами (и, следовательно, разными частотами) происходит их полное взаимное гашение. Узкий слой, в пределах которого осуществляется гашение, движется с течением времени в сторону области, занятой менее высокочастотной фазовой волной. Из этого результата следует, что если в распределенной активной среде есть два источника фазовых волн (какими являются пейсмекеры), то наиболее высокочастотный из них полностью подавит с течением времени действие источника, имеющего меньшую частоту генерации. Таким образом, в среде происходит конкуренция между пейсмекерами.

Если первоначально в среде имеется много различных пейсмекеров со случайным набором частот, конкуренция между ними приведет к последовательному подавлению пейсмекеров со все более высокими частотами, пока в среде не останется один-единственный пейсмекер, для которого частота генерации максимальна [207].

§ 12. Спиральные волны в автоколебательных активных средах

Спиральные волны наблюдаются не только в возбудимых, но и автоколебательных активных средах. Свойства этих волн во многом аналогичны тем, что рассматривались нами в § 6. На больших удалениях от центра линии постоянной фазы имеют форму архимедовой спирали, частота вращения спиральной волны однозначно определяется характеристиками самой автоколебательной среды и не зависит от начальных условий, приведших к образованию такого автоволнового источника. С приближением к центру спиральной волны амплитуда колебаний монотонно уменьшается и обращается в нуль в центральной точке. Поэтому в автоколебательных средах также можно ввести понятие ядра спиральной волны как той области, где амплитуда колебаний существенно отличается от амплитуды однородных автоколебаний в данной среде. Однако в отличие от возбудимых сред размеры ядра в автоколебательной среде всегда малы и совпадают по порядку величины с диффузионной длиной $(b\tau_{\text{рел}})^{1/2}$.

Заметим, что поскольку в пределах ядра амплитуда испытывает резкие изменения на длине порядка диффузионной, в этой области уравнение фа-

зовой динамики (10.2) теряет применимость. Ввиду этого оказывается, что в рамках приближения фазовой динамики нельзя дать исчерпывающее описание спиральной волны и, в частности, рассчитать частоту ее вращения. Для этого необходимо обратиться к полным уравнениям в частных производных. Таким образом, свойства спиральной волны оказываются более тесно связанными с конкретным видом уравнений, характеризующих распределенную среду.

Ниже мы рассмотрим свойства спиральных волн в квазигармонических автоколебательных средах, описываемых $\lambda - \omega$ моделью (10.4), частным случаем которой является обобщенное уравнение Гинзбурга—Ландау (10.14). Впервые такой расчет был произведен П. Хаганом в [170], ему мы и будем следовать в своем изложении.

Вначале ограничимся рассмотрением случая, когда $D_2 = 0$, т.е. мнимая добавка к эффективному коэффициенту диффузии отсутствует ($D_1 = D$). Напомним, что однородные автоколебания среды имеют амплитуду ρ_0 , определяемую условием $\lambda(\rho_0) = 0$, и осуществляются с частотой $\omega_0 = \omega(\rho_0)$. Диффузионная длина в данном случае равна

$$L_{\text{диф}} = (b\tau_{\text{рел}})^{1/2} = (D/|\rho_0\lambda'(\rho_0)|)^{1/2}. \quad (12.1)$$

Если ввести полярную систему координат (r, Θ) , спиральной волне, вращающейся с частотой ω , отвечает решение вида

$$\rho = \rho(r), \quad \varphi = \Theta - \chi(r) - (\omega_* - \omega_0)t. \quad (12.2)$$

Подстановка выражений (2) в уравнения (10.9) и (10.10) при $D_2 = 0$ и $D_1 = D$ дает

$$\rho_{rr} + r^{-1}\rho_r + (D^{-1}\lambda(\rho) + r^{-2} - \chi_r^2)\rho = 0, \quad (12.3)$$

$$\chi_{rr} + r^{-1}\chi_r + 2(\rho_r/\rho)\chi_r = (\omega_* - \omega(\rho))/D. \quad (12.4)$$

Из требования, чтобы $\rho(r)$ и $\chi_r(r)$ оставались конечными при $r = 0$, следует

$$\rho(r) \sim r \quad \text{при} \quad r \rightarrow 0, \quad \chi_r(0) = 0. \quad (12.5)$$

Мы должны также потребовать, чтобы $\rho(r)$ асимптотически стремилась к какому-то отличному от нуля постоянному значению при $r \rightarrow \infty$. Действительно, амплитуда колебаний не может неограниченно возрастать с удалением от центра. С другой стороны, она не может и обращаться в нуль при $r \rightarrow \infty$, поскольку однородное состояние покоя в $\lambda - \omega$ модели неустойчиво по отношению к малым возмущениям. Наконец, с помощью более тонких рассуждений можно показать, что неустойчивым будет также любое решение, для которого функция $\rho(r)$ является осциллирующей при больших r .

Пусть $\rho \rightarrow \rho_*$ при $r \rightarrow \infty$. Тогда из (3) и (4) следует, что

$$\omega_* = \omega(\rho_*), \quad \chi_r(r) \rightarrow \pm k_* \quad \text{при} \quad r \rightarrow \infty, \quad (12.6)$$

где $k_* = [\lambda(\rho_*)]^{1/2}$.

Таким образом, на больших удалениях от центра спиральная волна (спираль) имеет постоянный шаг $h_{\text{св}} = 2\pi/|\chi_r| = 2\pi/k_*$, т.е. она является архимедовой. Шаг спирали равен пространственному периоду плоской фазовой волны с частотой ω_* . Два знака для $\chi_r(\infty)$ в (6) отвечают двум разным направлениям закручивания спирали.

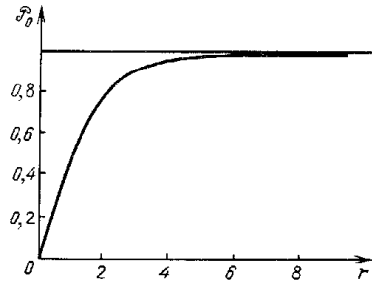


Рис. 1.50. Расчетная зависимость $\rho_0(r)$ для среды, описываемой обобщенным уравнением Гинзбурга – Ландау (10.14)

Можно показать, что условия (5) и (6) являются совместными лишь при одном, вполне определенном выборе неизвестного параметра ω_* в уравнениях (3) и (4). Этим определяется частота вращения спиральной волны. Поскольку дифференциальные уравнения (3) и (4) не допускают полного аналитического решения, для нахождения величины ω_* , а также функций $\rho(r)$ и $\chi(r)$ приходится прибегать к приближенным методам.

Построим прежде всего решение в частном случае, когда $\omega(\rho) = \omega_0 = \text{const}$, т.е. отсутствует нелинейный сдвиг частоты. В этом случае взаимодействие между элементами среды не влияет на частоту совершаемых ими колебаний. Очевидно, что частота спиральной волны также должна совпадать с ω_0 . Из (4) тогда следует, что при $\chi_r(0) = 0$ должно выполняться равенство $\chi_r(r) = 0$ и согласно (2) спираль вырождается в прямой луч, вращающийся с угловой скоростью ω_0 .

В рассматриваемом случае амплитуда колебаний $\rho(r)$ подчиняется уравнению

$$\rho_{rr} + r^{-1}\rho_r - \rho/r^2 + \rho\lambda(\rho)/D = 0, \quad (12.7)$$

которое должно быть дополнено граничными условиями $\rho(0) = 0$ и $\rho(r) \rightarrow \text{const}$ при $r \rightarrow \infty$. Заметим, что тогда $\rho(\infty) = \rho_0$, т.е. совпадает с амплитудой однородных колебаний. Если известен конкретный вид функции $\lambda(\rho)$, уравнение (7) с такими граничными условиями может быть численно проинтегрировано, в результате чего будет получена некоторая зависимость $\rho = \rho_0(r)$. На рис. 1.50 показан полученный путем численного интегрирования вид функции $\rho_0(r)$ для среды, описываемой обобщенным уравнением Гинзбурга – Ландау (10.14).

Рассмотрим теперь среду с нелинейным сдвигом частоты, в которой однако, зависимость частоты от амплитуды колебаний является очень слабой:

$$\omega(\rho) = \bar{\omega} + \epsilon\delta\omega(\rho), \quad 0 < \epsilon \ll 1. \quad (12.8)$$

Введем малый параметр q , определив его как

$$q = \omega'(\rho_0)/|\lambda'(\rho_0)| = \epsilon\delta\omega'(\rho_0)/|\lambda'(\rho_0)|, \quad |q| \ll 1. \quad (12.9)$$

Решение для спиральной волны в такой среде может быть получено с помощью метода *сшиваемых асимптотических разложений*. Суть его в том, чтобы независимо построить приближенные решения уравнений (3), (4) во *внутренней* ($r \ll L_{\text{диф}} e^{1/|q|}$) и *внешней* ($r \gg L_{\text{диф}}$) областях.

Поскольку $|q| \ll 1$, эти две области перекрываются. Сшивка двух приближенных решений в интервале их перекрытия позволяет найти неизвестный параметр ω_* , входящий в уравнение (4), – частоту вращения спиральной волны.

Опуская детали расчета, которые можно найти в [170], приведем окончательные результаты.

$$\omega_* = \omega_0 - qDk_*^2, \quad (12.10)$$

$$k_* = \zeta (|q| L_{\text{диф}})^{-1} \exp[-\pi/(2|q|)]. \quad (12.11)$$

Числовой коэффициент ζ зависит от конкретного вида функций $\lambda(\rho)$ и $\omega(\rho)$; для обобщенного уравнения Гинзбурга – Ландау $\zeta = 0,509$.

Во внутренней области справедливо разложение по степеням q :

$$\rho(r) = \rho_0(r) + q^2 \rho_1(r) + \dots, \quad (12.12)$$

$$\chi_r(r) = |q| v_0(r) + |q|^3 v_1(r) + \dots$$

В частности,

$$v_0(r) = -\frac{\lambda'(\rho_0)}{\delta\omega'(\rho_0)} [r \rho_0^2(r)]^{-1} \int_0^r y \rho_0^2(y) [\delta\omega(\rho_0) - \delta\omega(\rho_0(y))] dy, \quad (12.13)$$

причем при $L_{\text{диф}} \ll r \ll L_{\text{диф}} e^{1/|q|}$ справедливо соотношение

$$v_0(r) = (L_{\text{диф}}/r) [\ln(r/L_{\text{диф}}) + C_1]. \quad (12.14)$$

Внешнюю область можно разделить на ближнюю ($L_{\text{диф}} \ll r \ll 1/k_*$) и дальнюю ($r \gg 1/k_*$). В ближней области имеем

$$\chi_r(r) \approx (L_{\text{диф}}/r) \text{tg} \{ |q| [\ln(r/L_{\text{диф}}) + C_1] \}, \quad (12.15)$$

в дальней области

$$\chi_r(r) \approx -k_* K_0'(|q|kr)/K_0(|q|kr), \quad (12.16)$$

где $K_0(x)$ – модифицированная функция Бесселя с асимптотикой $K_0(x) \rightarrow 0$ при $x \rightarrow \infty$. В частности, при $qkr \ll 1$ функция χ_r дается разложением:

$$\chi_r(r) \approx k_* [1 + (1/2)(q|kr|)^{-1} - (1/8)(qkr)^{-2} + \dots]. \quad (12.17)$$

Во всей внешней области амплитуда колебаний $\rho(r)$ связана с $\chi_r(r)$ соотношением

$$\rho(r) = \rho_0 - (r^{-2} + \chi_r^2) L_{\text{диф}}^2. \quad (12.18)$$

При $r \rightarrow \infty$ амплитуда колебаний стремится к пределу

$$\rho_* = \rho_0 - (L_{\text{диф}} k_*)^2. \quad (12.19)$$

До сих пор здесь мы рассматривали только такие автоколебательные среды, для которых эффективный коэффициент диффузии D был действительным. Приведенные результаты нетрудно обобщить на случай, когда $D = D_1 + iD_2$. Все отличие заключается в том, что теперь в качестве малого параметра q необходимо выбрать величину

$$q = \frac{D_1 [\omega'(\rho_0)/|\lambda'(\rho_0)|] - D_2}{D_1 + [\omega'(\rho_0)/|\lambda'(\rho_0)|] D_2}, \quad (12.20)$$

а эффективная диффузионная длина равна

$$L_{\text{диф}} = |\lambda'(\rho_0)\rho_0|^{-1/2} [D_1 + |\omega'(\rho_0)/\lambda'(\rho_0)| D_2]^{1/2}. \quad (12.21)$$

Заметим, что теперь уже для применимости метода сшиваемых асимптотических разложений недостаточно, чтобы нелинейный сдвиг частоты был мал. Как видно из (20), это еще не обеспечивает малости параметра q .

Интересно, что определенный формулой (20) параметр q легко выразить через коэффициенты a и b , входящие в уравнения фазовой динамики (10.2):

$$q = -a/b. \quad (12.22)$$

Учитывая также, что $L_{\text{диф}} = (b\tau_{\text{рел}})^{1/2}$, можно переписать (11) в форме

$$k_* = \zeta (b/a^2 \tau_{\text{рел}})^{1/2} \exp[-\pi b/(2|a|)], \quad (12.23)$$

где ζ — некоторый безразмерный числовой коэффициент. Частота вращения спиральной волны при этом равна

$$\omega_* = \omega_0 + ak_*^2. \quad (12.24)$$

Следовательно, хотя частота вращения и зависит от конкретного вида уравнений автоколебательной распределенной среды, эта зависимость при $|a| \ll b$ является довольно слабой — от вида уравнений зависит лишь значение числового коэффициента ζ в (23). Благодаря этой универсальности можно ожидать, что выражения (23), (24), полученные выше лишь для случая квазигармонических автоколебаний, будут выполняться для произвольной автоколебательной среды в пределе $|a| \ll b$.

При увеличении параметра $|q|$ волновое число k_* генерируемых волн возрастает и становится порядка $L_{\text{диф}}^{-1}$. В этом режиме значения частоты вращения спиральной волны ω_* и волнового числа k_* существенно зависят от конкретного вида уравнений автоколебательной среды, а использованная выше процедура сшивки асимптотических разложений неприменима. Возможен только приближенный расчет [170] значений ω_* и k_* путем численного интегрирования уравнений (3), (4) с граничными условиями (5), (6).

Необходимо заметить, что при достаточно больших значениях q спиральные волны должны терять устойчивость. Действительно, на большом удалении от центра возникающая волновая картина имеет локально вид плоской фазовой волны с волновым числом k_* . С ростом параметра q волновое число k_* возрастает. Однако фазовые волны с достаточно большими волновыми числами неустойчивы; обычно это происходит при $k \sim 1/L_{\text{диф}}$. Следовательно, спиральные волны могут наблюдаться лишь в таких автоколебательных средах, где параметр $q = -a/b$ не слишком велик по модулю ($|q| \lesssim 1$). Например, для уравнения Гинзбурга — Ландау устойчивость фазовых волн теряется при выполнении неравенства

$$(kL_{\text{диф}}) > (3 + 2q^2)^{-1/2}. \quad (12.25)$$

Поэтому спиральные волны в среде, описываемой таким уравнением, существуют лишь при $q < 1,397 \dots$

В [170] построены также решения для вращающихся спиральных волн, имеющих два или более рукава. Проведенный в [170] анализ показал,

однако, что все такие режимы неустойчивы. Двухрукавная спиральная волна распадается на две спиральные волны с одним рукавом и т.д.

Взаимодействие между спиральными волнами в автоколебательной распределенной среде рассматривали Я.Б. Зельдович и Б.А. Маломед [61]. Для автоколебательной среды, описываемой уравнением Гинзбурга — Ландау, при $D_2 = 0$ в пренебрежении нелинейным сдвигом частоты они обнаружили, что две спиральные волны отталкиваются друг от друга, если они вращаются в одинаковом направлении, и притягиваются, если их направления вращения противоположны.

Полученный результат позволяет доказать неустойчивость спиральной волны для ограниченной области, имеющей в сечении форму квадрата. В самом деле, эту квадратную область можно продолжить до бесконечной решетки; при этом решения в двух соседних областях получают одно из другого преобразованием зеркальной симметрии, т.е. направления вращения спиральных волн в соседних ячейках противоположны, вследствие чего вся эта система стремится аннигилировать. Аналогичное рассуждение доказывает неустойчивость отдельной спиральной волны в области, имеющей в сечении форму правильного треугольника. Однако для правильного шестиугольника оно, как легко понять из элементарного рассмотрения, уже не подходит. Это означает, что спиральные волны могут образовывать на плоскости устойчивую гексагональную решетку.

Хотя результаты Зельдовича и Маломеда, относящиеся к взаимодействию спиральных волн, были получены только для сред без нелинейного сдвига, где $q = 0$, можно ожидать, что они сохранятся также и для среды со слабым нелинейным сдвигом частоты ($q \ll 1$), если расстояние между центрами двух спиральных волн не слишком велико, а именно если оно не превышает длины генерируемых фазовых волн $\lambda_* = 2\pi/k_*$. На больших удалениях взаимодействие между спиральными волнами должно быстро спадать.

§ 13. Стационарные диссипативные структуры

Помимо рассмотренных автоволновых режимов, в распределенных активных средах наблюдаются также разнообразные стационарные диссипативные структуры, устойчивые по отношению к малым возмущениям.

Собственно говоря, с одним из примеров таких структур мы уже столкнулись в § 3 при изучении простых бистабильных сред, описываемых всего одной переменной. Как отмечалось в § 3, при выполнении условия (3.5) межфазная граница, отделяющая области с двумя различными стационарными состояниями ("фазами"), покоится. В результате среда разбивается на смесь доменов двух фаз.

Однако этот пример не вполне типичен. При выполнении условия равновесия фаз (3.5) размеры доменов произвольны, а, следовательно, формируемая ими пространственная структура не восстанавливается после возмущения, т.е. такая система находится в состоянии безразличного (или нейтрального) равновесия. Кроме того, само условие (3.5) выполняется лишь при определенном выборе параметров, характеризующих данную бистабильную среду. В общем случае граница между фазами не покоится, а смещается с течением времени. Направление и скорость ее движения зави-

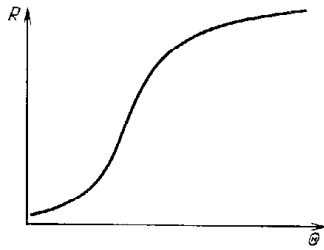


Рис. 1.51. Зависимость удельного сопротивления железной нити в атмосфере водорода от температуры нити

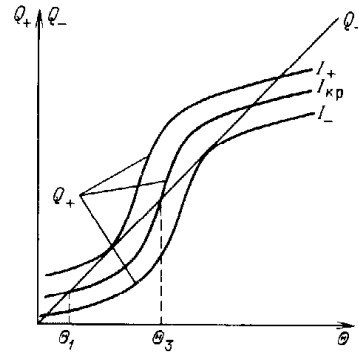


Рис. 1.52. Зависимость скоростей тепловыделения Q_+ и теплоотвода Q_- от температуры

сят от значений параметров среды. Меняя эти параметры, можно управлять движением межфазных границ.

Устойчивую диссипативную структуру легче всего получить, предположив, что значения параметров не неизменны, а быстро подстраиваются к мгновенному положению межфазных границ. Иллюстрацией этого эффекта может служить теория барретирования, разработанная В.В. Барелко, Я.Б. Зельдовичем и др. [16].

Рассмотрим нагреваемую электрическим током железную нить, которая находится в атмосфере водорода. Экспериментально установлено, что удельное сопротивление R такой нити в расчете на единицу длины оказывается нелинейно зависящим от температуры. Как видно из рис. 1.51, функция $R = R(\Theta)$ довольно резко возрастает с увеличением температуры. Помимо выделения количества теплоты (тепловыделения) $Q_+ = I^2 R(\Theta)$, где I — сила тока, идет также процесс теплообмена с окружающей средой, приводящий к потере количества теплоты (теплоотвода) $Q_- = \gamma(\Theta - \Theta_0)$. В этих условиях уравнение теплового баланса нити можно записать в виде

$$C \partial \Theta / \partial t = f(\Theta) + \chi \partial^2 \Theta / \partial x^2, \quad (13.1)$$

где $f(\Theta) = Q_+ - Q_-$, C — теплоемкость нити в расчете на единицу ее длины, χ — теплопроводность.

Положим вначале, что сила тока I поддерживается постоянной. Тогда уравнение (1) совпадает со стандартным уравнением простой бистабильной среды (2.13). В интервале $I_+ > I > I_-$ система обладает двумя устойчивыми однородными состояниями (рис. 1.52), одно из которых характеризуется высокой ($\Theta = \Theta_3$), а второй — низкой ($\Theta = \Theta_1$) температурой нити. Эти два состояния можно рассматривать в качестве двух "фаз". В распределенной системе, описываемой уравнением (1), переход между стационарными состояниями может осуществляться путем распространения температурной волны, вытесняющей (в зависимости от значений параметров) высокотемпературный либо низкотемпературный режим. Как было показано в

§ 2, направление смещения границы между двумя областями определяется знаком интеграла

$$A = \int_{\Theta_1}^{\Theta_3} f(\Theta) d\Theta. \quad (13.2)$$

Если $A > 0$, волна движется в сторону заполнения нити высокотемпературным режимом $\Theta = \Theta_3$, тогда как при $A < 0$ низкотемпературный режим вытесняет высокотемпературный. Равенство $A = 0$ является критическим условием смены направления фронта, при котором скорость распространения волны обращается в нуль. Это условие отвечает стационарному состоянию систем, при котором на нити могут устойчиво существовать зоны высокотемпературного и низкотемпературного режимов.

До сих пор рассматривался случай, когда нить питалась от регулируемого источника тока, поддерживающего силу тока I постоянной. Если же питание производится от регулируемого источника напряжения, т.е. поддерживается постоянной не сила тока I , а разность электрических потенциалов U на концах нити, то процесс характеризуется новыми качественными особенностями. В этом случае сила тока I является уже не постоянной, а переменной величиной, поскольку она, согласно закону Ома, зависит от полного сопротивления нити:

$$I = U \left[\int_{-L_0}^{L_0} R(\Theta(x)) dx \right]^{-1}, \quad (13.3)$$

где $2L_0$ — длина нити.

Пусть, например, сила тока I , текущего через нить, находящуюся в состоянии с температурой Θ_1 , превысила критическое значение $I_{кр}$, для которого $A = 0$. В этом случае при внесении в систему локального возмущения вдоль нити начинает распространяться волна и нить переходит в состояние с температурой Θ_3 . По мере расширения высокотемпературной зоны полное сопротивление нити возрастает, что приводит к снижению силы тока I и, следовательно, обуславливает монотонное падение A . Когда значение I упадет до $I_{кр}$, фронт прекратит свое движение. Таким образом, нить окажется разбитой на участок с высокой температурой Θ_3 и большим сопротивлением $R(\Theta_3)$ и участок с низкой температурой и малым сопротивлением $R(\Theta_1)$. При увеличении напряжения U будут меняться длины участков и, следовательно, полное сопротивление нити, но не изменится сила тока $I_{кр}$, при которой горячий и холодный участки сосуществуют. Поэтому, пока высокотемпературная зона не заполнит всю нить, система работает как стабилизатор тока, поддерживая его значение, равное $I_{кр}$. При уменьшении U осуществляется аналогичный процесс. Этот эффект лежит в основе действия технического устройства, называемого *барретором*.

Пусть ширина высокотемпературного участка $2l_3$ гораздо больше толщины переходного слоя l_0 . Тогда силу тока, протекающего через нить, можно приближенно выразить как

$$I = U [2(R_3 l_3 + R_1 l_1)]^{-1}, \quad l_1 = L_0 - l_3, \quad (13.4)$$

где $R_3 = R(\Theta_3)$ и $R_1 = R(\Theta_1)$. Учитывая, что в стационарном режиме

устанавливается критическое значение силы тока $I_{кр}$, находим из (4)

$$I_3 = (R_3 - R_1)^{-1} (U/2I_{кр} - R_1 L_0). \quad (13.5)$$

Таким образом, стационарная диссипативная структура — разогретая зона — возникает при $U > U_{\min}$, где $U_{\min} = 2L_0 R_1 I_{кр}$. С увеличением U ширина этой зоны растет, а при $U = U_{\max}$, где $U_{\max} = 2L_0 R_3 I_{кр}$, эта зона заполняет собой всю нить. При $U > U_{\max}$ устойчиво только однородное высокотемпературное состояние.

До сих пор мы предполагали, что на нити располагается всего один высокотемпературный участок. Ясно, однако, что все приведенные выше рассуждения сохраняют силу и в том случае, если горячих участков несколько, — необходимо лишь, чтобы их суммарная длина совпадала со значением I_3 , задаваемым выражением (5). Сколько будет наблюдаться высокотемпературных участков и где они будут расположены — зависит от начального условия, т.е. от того, в каких именно областях был произведен разогрев нити.

Несмотря на это, казалось бы, частный характер, рассмотренный нами пример иллюстрирует основные свойства стационарных диссипативных структур. Прежде всего, каждая такая структура — это устойчивое образование, форма и размеры которого устанавливаются после малых возмущений. Можно сказать, что каждая стационарная диссипативная структура представляет собой одно из устойчивых стационарных состояний распределенной системы. Каждое устойчивое стационарное состояние характеризуется своей *областью притяжения* (все начальные распределения, попадающие в область притяжения стационарного состояния, релаксируют к нему со временем). Одна и та же распределенная система может обладать огромным числом различных стационарных структур. Какое именно из этих стационарных состояний осуществляется в эксперименте, зависит от начальных условий.

Главная предпосылка для возникновения стационарных диссипативных структур заключается в том, чтобы, помимо локального взаимодействия, элементы активной среды были бы охвачены также действующей обратной связью. В рассмотренном нами примере обратная связь осуществляется через изменение силы тока, которое определяется состоянием (температурой) всех элементов распределенной системы. Возможны, конечно, и другие механизмы, приводящие к аналогичному эффекту.

Пусть, например, в среде происходит горение некоторого вещества. Предположим, что коэффициент диффузии этого вещества превышает теплопроводность, так что за счет диффузии концентрация горючего вещества a во всех элементах среды поддерживается практически постоянной. Будем также считать, что горючее вещество непрерывно поступает в среду с постоянной скоростью Q . Уравнения, описывающие процесс горения в такой среде, имеют вид

$$\begin{aligned} \partial\Theta/\partial t &= aq(\Theta) - \gamma(\Theta - \Theta_0) + \chi\Delta\Theta, \\ da/dt &= Q - a \int \tilde{q}(\Theta(r)) dr. \end{aligned} \quad (13.6)$$

Здесь $q(\Theta)$ характеризует выделение теплоты в расчете на единицу массы горючего вещества, а $\tilde{q}(\Theta)$ — скорость уменьшения этого вещества при горении. Поскольку процесс горения начинается лишь при достижении оп-

ределенной температуры, обе эти функции имеют вид размытой ступеньки (рис. 1.8).

Уравнения (6) описывают образование стационарной диссипативной структуры. Действительно, предположим, что мы подождли горючую смесь в некоторой малой области среды. Вначале зона горения будет расширяться. Но расширение зоны горения приведет к увеличению расхода горючего вещества, а следовательно, к понижению его концентрации a . В свою очередь понижение a вызовет уменьшение скорости движения фронта горения. При достижении некоторого критического значения $a_{кр}$ фронт остановится. В результате в среде возникнет локализованный очаг горения — стационарная диссипативная структура*). Заметим, что, как и в обсуждавшемся выше примере, в данном случае наблюдается *множественность* диссипативных структур. Вместо одного большого очага горения в среде может иметься несколько более мелких очагов с тем же суммарным расходом горючего. Расположение и число таких очагов определяются начальными условиями. Если очаги горения расположены не слишком далеко друг от друга по сравнению с шириной фронта волны горения l_0 , между ними должно наблюдаться своеобразное взаимодействие: два расположенных поблизости очага притягиваются и стремятся слиться друг с другом.

Дальнейшая обратная связь может осуществляться также за счет хорошо диффундирующего ингибитора. В этом случае рост очага горения прекращается благодаря увеличению в среде концентрации ингибитора.

Приведенные простые примеры иллюстрируют главные механизмы, ведущие к образованию стационарных диссипативных структур. К настоящему времени имеется хорошо развитая математическая теория [73–84] стационарных диссипативных структур в реагирующих двухкомпонентных системах с диффузией, которые описываются уравнениями вида

$$\tau_u \frac{\partial u}{\partial t} = f(u, v) + l^2 \Delta u, \quad \tau_v \frac{\partial v}{\partial t} = g(u, v) + L^2 \Delta v. \quad (13.7)$$

Переменную u можно интерпретировать как концентрацию *активатора*, а переменную v — как концентрацию *ингибитора*. Нас сейчас интересуют ситуации, когда коэффициент диффузии ингибитора значительно превышает коэффициент диффузии активатора ($L \gg l$), а изменения концентрации ингибитора происходит быстрее по сравнению с изменением концентрации активатора ($\tau_v \ll \tau_u$). При этих условиях распределение ингибитора быстро подстраивается к мгновенному распределению активатора, оставаясь всегда достаточно плавным.

Свойства устанавливающихся в среде диссипативных структур существенно зависят от того, составлена ли данная активная среда из бистабильных, возбудимых или автоколебательных элементов.

*) Эти рассуждения предполагают, что горючее расходуется быстро по сравнению с характерными скоростями изменения температуры, а поэтому можно считать, что его концентрация a адиабатически подстраивается к мгновенному распределению температуры. В противном случае такая подстройка будет происходить с некоторым запаздыванием. Если запаздывание достаточно велико, оно может стать причиной незатухающих пульсаций зоны горения.

1. Если среда составлена из бистабильных элементов, она разбивается на совокупность областей с размерами не меньше L , занятых двумя фазами, в которых состояние среды близко к одному из двух устойчивых состояний отдельного взятого элемента. Эти области отделены переходными слоями с шириной порядка l . Они могут иметь большие размеры: весь объем может, например, разбиться всего на две такие области с разными фазами. Кроме того, могут существовать также капли противоположной фазы с размером порядка l , вкрапленные в области постоянной фазы. Расстояние между каплями больше или порядка L .

2. Если среда составлена из возбудимых элементов, т.е. имеется всего одно однородное стационарное состояние покоя среды $u = u_0, v = v_0$ и оно устойчиво по отношению к малым возмущениям, то в одномерном случае стационарная диссипативная структура обычно представляет собой набор узких страт с шириной порядка l , расположенных на расстоянии порядка или более L друг от друга. В областях между стратами среда находится в состоянии, близком к состоянию покоя. Внутри страт резко меняется лишь концентрация активатора, тогда как распределение ингибитора является всюду плавным. Возможны локализованные диссипативные структуры, когда в длинном по сравнению с L отрезке расположены одна или несколько узких страт, разделенных промежутками порядка L , а в остальной области среда остается в состоянии покоя. В двумерных и трехмерных случаях диссипативная структура представляет собой совокупность малых капель с размером порядка l , разделенных расстояниями порядка или более L . В областях между каплями состояние среды близко к устойчивому одномерному состоянию. Исходя из однородного стационарного состояния, диссипативные структуры в таких средах можно создать лишь путем достаточно сильных начальных возмущений.

3. Если отдельно взятый элемент среды совершает периодические автоколебания, стационарное однородное состояние активной среды абсолютно неустойчиво. В ней возникают стационарные диссипативные структуры, имеющие вид страт с длиной порядка L , отделенных переходными слоями с шириной порядка l . В двумерном и трехмерном случаях среда распадается на совокупность ячеек с размером порядка L , отделенных узкими переходными слоями. Локализованные стационарные структуры невозможны: ячейки заполняют весь объем среды.

Подчеркнем, что двухкомпонентные системы типа (7) допускают установление стационарных неоднородных структур при гораздо менее жестких ограничениях, чем однокомпонентные системы вида (13), где сосуществование двух фаз возможно лишь при выполнении условия (3.5). Модели такого типа широко используются при изучении явления морфогенеза, т.е. позиционной дифференциации отдельных клеток в процессе индивидуального развития многоклеточного живого организма. Предполагается, что такая дифференциация обусловлена взаимодействием между клетками, осуществляемым посредством веществ двух типов — активаторов и ингибиторов, причем скорость диффузии ингибитора превышает скорость диффузии активатора. Устанавливающиеся стационарные неоднородные распределения этих двух веществ определяют структуру многоклеточного организма. Подробнее с этими вопросами можно ознакомиться в [20, 106, 128].

Заметим, наконец, что если условие $\tau_v \ll \tau_u$ нарушено и ингибитор обладает значительной инерционностью, картина явления может существенно измениться. Поскольку подстройка распределения ингибитора происходит теперь с некоторым запаздыванием, может возникнуть [78] режим осциллирующих диссипативных структур, параметры которых (например, ширина страт) периодически меняются со временем.

На этом мы заканчиваем рассмотрение явлений самоорганизации, связанных с образованием когерентных крупномасштабных структур в сильно неравновесных распределенных средах. Разумеется, здесь у нас не было возможности подробнее остановиться на особенностях подобных структур в конкретных активных средах различного происхождения. Такой анализ должен быть предметом отдельного рассмотрения.

ДИНАМИЧЕСКИЙ ХАОС

Самоорганизация тесно связана с зарождением турбулентности. С изменением потока энергии или иных характеристик активной среды в ней происходит качественная перестройка имеющихся диссипативных или автоволновых структур. В ходе последовательного усложнения регулярных структур может быть достигнута граница, за которой их поведение становится неустойчивым по отношению к малым возмущениям. Такая неустойчивость служит отличительным признаком турбулентного режима. Хаотическая динамика структур при турбулентном режиме не является результатом действия каких-либо внешних случайных сил. Эффекты динамического хаоса представляют собой внутренне присущее свойство подобных систем. Они наблюдаются не только в распределенных активных средах, но и в более простых сосредоточенных системах, динамика которых описывается набором из нескольких обыкновенных дифференциальных уравнений. Аналогичные эффекты имеют место также и в гамильтоновых консервативных системах, где в отличие от активных сред нет ни диссипации, ни притока энергии.

§ 14. Гамильтоновы системы

В основу гамильтонова подхода к описанию динамики физических систем положены уравнения Гамильтона, представляющие собой систему обыкновенных дифференциальных уравнений

$$\dot{q}_i = \partial H / \partial p_i, \quad \dot{p}_i = -\partial H / \partial q_i, \quad (14.1)$$

где $i = 1, 2, \dots, n$ и при $t = t_0$ выполняются начальные условия $q_i(t_0) = q_i^0$, $p_i(t_0) = p_i^0$. Переменные q_i и p_i называются соответственно *обобщенными координатами* и *обобщенными импульсами*, а их совокупность $(q_i, p_i) \equiv (q, p)$ — *каноническими переменными*. Число n независимых обобщенных координат называется *числом степеней свободы*, а функция $H = H(q, p)$, характеризующая физическое состояние системы, называется функцией Гамильтона или *гамильтонианом*. Мы будем предполагать, что функция $H(q, p)$ не зависит явно от времени и действующие силы потенциальны. В этом случае гамильтониан является полной энергией системы, выраженной через канонические переменные.

Решение уравнений (1) позволяет определить зависимость $q(t)$ и $p(t)$ по их начальным значениям q_0 и p_0 . Этот эволюционный процесс можно

представить как движение точки в $2n$ -мерном пространстве с координатами q и p . Такое объединенное пространство (q, p) называется *фазовым пространством* системы, а точки этого пространства — *фазовыми точками*. Каждому мгновенному состоянию гамильтоновой системы (1) отвечает фазовая точка пространства (q, p) , и каждой точке этого пространства соответствует определенное и единственное состояние системы. Следовательно, динамику системы (1) можно представить как последовательное изменение положения фазовых точек, т.е. как движение этих точек, в фазовом пространстве. Траектории движения фазовых точек называются *фазовыми траекториями* или *фазовыми кривыми*.

Фазовое пространство гамильтоновых систем обладает тремя важными свойствами. 1. В любой момент времени траектории, определяемые уравнениями (1), в фазовом пространстве не пересекаются. Это свойство следует из теоремы существования и единственности решений обыкновенных дифференциальных уравнений. 2. Сохраняется объем произвольной области фазового пространства (*теорема Лиувилля*). Суть последнего утверждения состоит в том, что если в начальный момент времени t_0 фазовые точки непрерывно заполняли некоторую конечную область D_0 фазового пространства (q, p) и с течением времени перешли в другую область D_t этого пространства (рис. 2.1), то соответствующие фазовые объемы равны между собой:

$$\int_{D_0} dq_0 dp_0 = \int_{D_t} dq dp.$$

Следовательно, по аналогии с гидродинамикой, движение точек, изображающих состояние системы в пространстве (q, p) , можно представить как движение несжимаемого потока жидкости. Поэтому часто совокупность фазовых кривых в пространстве (q, p) называют *потоком*. 3. Непрерывная граница S_0 , охватывающая в момент времени t_0 некоторую область D_0 фазового пространства, с течением времени трансформируется (не разрываясь) в непрерывную границу S_t , охватывающую ту область D_t , в которую D_0 эволюционировала к моменту t (рис. 2.1). Системы, удовлетворяющие свойству 2, часто называют *консервативными*.

Описание динамики физических систем составляет основную задачу механики. Существует ряд достаточно общих способов, позволяющих в некоторых случаях построить решение уравнений Гамильтона. Однако это возможно далеко не всегда. В большинстве случаев уравнения (1) оказываются неинтегрируемыми в элементарных функциях. Тем не менее часто удается получить достаточно сведений относительно поведения системы, не интегрируя полностью ее уравнений, а отыскивая *интегралы движения*, т.е. функции, которые остаются постоянными при движении: $f(q, p) = \text{const}$. Для любой системы, в которой функция $H(q, p)$ не зависит явно от времени, гамильтониан является интегралом движения: для данных начальных условий постоянное значение гамильтониана есть просто полная энергия системы $E = H(q, p)$. Отсюда находим $q_1 = g(q_2, \dots, q_n, p, E)$, где g — некоторая функция.

Следовательно, задавая E , мы определяем в фазовом пространстве (q, p) некоторую гиперповерхность (или пространство уровня энергии) размерности $2n - 1$, и все траектории системы, отвечающие данному значению энергии, должны располагаться на такой энергетической гиперпо-

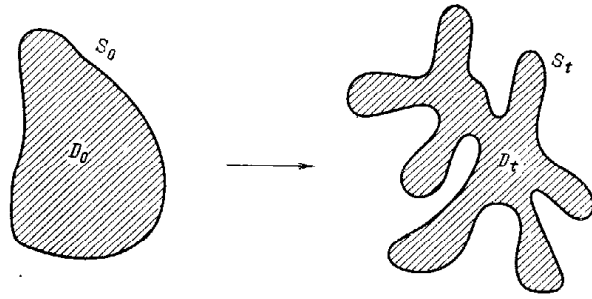


Рис. 2.1. Сохранение фазового объема при эволюции гамильтоновой системы

верхности. Если в дополнение к гамильтониану имеются и другие интегралы движения, то все фазовые кривые лежат на поверхности, размерность которой меньше $2n - 1$.

Если фазовые траектории системы (1) при данном значении энергии E не уходят на бесконечность, то говорят, что движение является *финитным*. Ниже рассматриваются только финитные движения.

Уравнения Гамильтона обладают тем важным свойством, что допускают широкий класс преобразований канонических переменных $(q, p) \rightarrow (q', p')$, называемый каноническими преобразованиями, при которых не изменяется общая форма уравнений для любой гамильтоновой системы, т.е. $\dot{q}'_j = \partial H' / \partial p'_j$, $\dot{p}'_j = -\partial H' / \partial q'_j$, $j = 1, 2, \dots, n$. Здесь $H' = H'(q', p')$ — новая функция Гамильтона, а $q' = q'(q, p)$, $p' = p'(q, p)$ — новые дважды дифференцируемые по q и p канонические переменные. Сами по себе эти преобразования не изменяют свойств и динамики происходящих в системе процессов, однако могут оказаться полезными при построении решений уравнений Гамильтона и анализе физической картины движения.

Одним из важных и часто используемых канонических преобразований (которые не всегда существуют!) является преобразование $(q, p) \rightarrow (\vec{\alpha}, J)$, при котором в новых переменных $(\vec{\alpha}, J)$ функция Гамильтона H' не зависит от координат $\vec{\alpha}$: $H' = H'(J)$. В этом случае переменные J называют переменными *действия*, а соответствующие сопряженные переменные $\vec{\alpha}$ — переменными типа *угол*. Тогда система уравнений (1), которая запишется в виде

$$\dot{\alpha}_i = \partial H' / \partial J_i, \quad \dot{J}_i = 0, \quad i = 1, 2, \dots, n, \quad (14.2)$$

легко интегрируется: $q = q(\vec{\alpha}, J)$, $p = p(\vec{\alpha}, J)$, $J = J_0 = \text{const}$, $\vec{\alpha} = \vec{\alpha}_0 + \vec{\omega}t$, $\omega_i = \partial H' / \partial J_i$. Следовательно, задача нахождения решений канонических уравнений (1) сводится к отысканию канонического преобразования, при котором возможно перейти к переменным действие — угол.

Гамильтонова система (1) называется *полностью интегрируемой* (а соответствующий гамильтониан *интегрируемым*), если существует такое каноническое преобразование, с помощью которого можно перейти к переменным действие — угол: $(q, p) \rightarrow (\vec{\alpha}, J)$.

Рассмотрим системы с одной степенью свободы $n = 1$. Для таких систем фазовое пространство двумерно, а преобразование вида $(q, p) \rightarrow (\alpha, J)$ осуществимо всегда. В этом случае для описания динамики в пространстве (α, J) очень удобной оказывается полярная система координат, в которой величине J ставится в соответствие расстояние от начала координат до некоторой точки фазового пространства, а величине α — угол (рис. 2.2). Тогда, как легко видеть, движение при заданном J будет происходить по кривой, представляющей собой окружность с радиусом J . Меняя радиус, получим множество вложенных центрированных окружностей, которые в совокупности заполняют фазовое пространство такой консервативной системы. В конечном счете двумерное фазовое пространство оказывается разбитым окружностями на совокупность колец. Скорость движения по индивидуальной окружности, как следует из уравнений (2), в общем случае зависит от значения переменной действия J , т.е. $\omega = \omega(J)$.

Для систем с двумя степенями свободы фазовое пространство четырехмерно. При переходе к переменным действие — угол (если каноническое преобразование $(q, p) \rightarrow (\vec{\alpha}, J)$ возможно) динамика таких систем наглядно может быть представлена следующим образом: движение по окружности с центром O_1 , образованной переменными α_1, J_1 , и одновременно по окружности с центром O_2 (лежащей в плоскости, перпендикулярной плоскости окружности O_1), образованной переменными α_2, J_2 (рис. 2.3). Суперпозиция таких вращений задаст движение по тору (т.е. поверхности "бублика"), размерность которого равна двум. Траектория, располагающаяся на торе, называется *обмоткой тора*.

Чтобы нагляднее представить себе сказанное, рассмотрим в качестве примера систему двух гармонических осцилляторов единичной массы. Ее динамика описывается в нормальных координатах гамильтонианом вида

$$H = (1/2)(p_1^2 + p_2^2) + (1/2)(\omega_1^2 q_1^2 + \omega_2^2 q_2^2). \quad (14.3)$$

Фазовое пространство такой системы четырехмерно (q_1, q_2, p_1, p_2) , и уравнения Гамильтона запишутся как

$$\dot{q}_i = p_i, \quad \dot{p}_i = -\omega_i^2 q_i, \quad i = 1, 2. \quad (14.4)$$

Каноническое преобразование, позволяющее перейти к переменным действие — угол, имеет вид

$$p_i = (2\omega_i J_i)^{1/2} \cos \alpha_i, \quad q_i = -(2J_i / \omega_i)^{1/2} \sin \alpha_i, \quad i = 1, 2. \quad (14.5)$$

Тогда гамильтониан и решение системы запишутся соответственно как

$$H = \omega_1 J_1 + \omega_2 J_2, \quad J_1 = J_1^0, \quad J_2 = J_2^0, \quad (14.6)$$

$$\alpha_1 = \omega_1 t + \alpha_1^0, \quad \alpha_2 = \omega_2 t + \alpha_2^0.$$

Поскольку угол всегда определяется по модулю 2π , эволюцию системы удобно представить на поверхности тора. Условимся, что переменные действия J_1 и J_2 обозначают соответственно внутренний радиус и радиус поперечного сечения тора, а угловые переменные α_1 и α_2 меняются в соответствии с поворотами радиусов J_1 и J_2 (рис. 2.3). Тогда при фиксированных J_1 и J_2 значения α_1 и α_2 определяют точку на торе. С течением времени координаты α_1 и α_2 меняются согласно (6) и, таким образом, задают движение по поверхности тора. В этом случае в силу произволь-

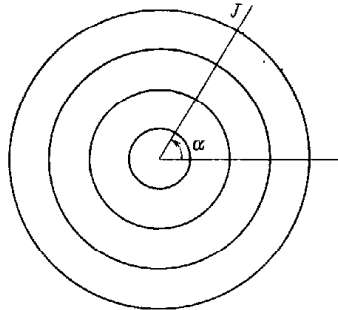


Рис. 2.2.

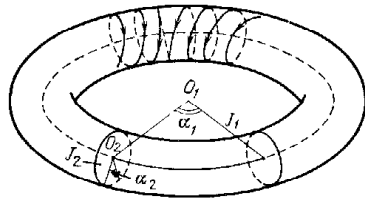


Рис. 2.3

Рис. 2.2. Фазовое пространство гамильтоновой системы с одной степенью свободы в переменных действие – угол

Рис. 2.3. Тороидальная поверхность, представляющая фазовое пространство системы двух гармонических осцилляторов

Рис. 2.4. Фазовый портрет интегрируемой системы с двумя степенями свободы

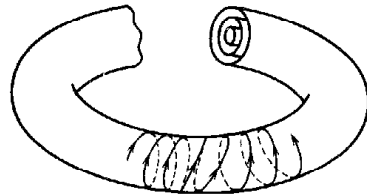


Рис. 2.4

ности J_1 и J_2 все фазовое пространство оказывается расслоенным на двумерные торы, которые в обычном трехмерном пространстве можно представить как совокупность вложенных друг в друга торов, большой и малый радиусы которых определяются значениями J_1 и J_2 (рис. 2.4).

Аналогичная картина будет иметь место для любой интегрируемой гамильтоновой системы с двумя степенями свободы, т.е. ее фазовые траектории будут располагаться на концентрических двумерных торах. При этом для нелинейных систем частоты обращения ω_i , $i = 1, 2$, в силу связей $\omega_1 = \omega_1(J_1, J_2)$, $\omega_2 = \omega_2(J_1, J_2)$ – когда они есть – могут меняться от тора к тору. Фиксируя величины J_k , $k = 1, 2$, можно определить, по поверхности какого тора происходит движение. В общем случае при переходе от одного тора к другому могут меняться не только частоты ω_i , но и их отношение:

$$\omega_1/\omega_2 = \omega_1(J_1, J_2)/\omega_2(J_1, J_2). \quad (14.7)$$

Поведение фазовых траекторий существенным образом зависит от того, является ли отношение (7) рациональным или иррациональным. Действительно, если оно рационально, т.е. $\omega_1/\omega_2 = k/m$, где k и m – целые числа, то, задав интервал времени $T = 2\pi(k/\omega_1 + m/\omega_2)$, из равенства (6) найдем

$$\begin{aligned} \alpha_1(t+T) &= \omega_1 t + 4\pi k + \alpha_1^0, \\ \alpha_2(t+T) &= \omega_2 t + 4\pi m + \alpha_2^0. \end{aligned} \quad (14.8)$$

Отсюда следует, что выражения $\alpha_1(t+T)$, $\alpha_2(t+T)$ и $\alpha_1(t)$, $\alpha_2(t)$ при

фиксированных J_1, J_2 задают одну и ту же точку на торе. Другими словами, через время T траектория возвращается в точку, из которой она вышла в момент времени t . Таким образом, если отношение (7) является рациональным (в этом случае частоты ω_1 и ω_2 часто называют соизмеримыми), движение системы является периодическим с частотами ω_1 и ω_2 , а фазовая траектория представляет собой замкнутую непересекающуюся линию на торе. Если же отношение частот (7) иррационально (ω_1 и ω_2 несоизмеримы), т.е. выражение (7) не может быть представлено как

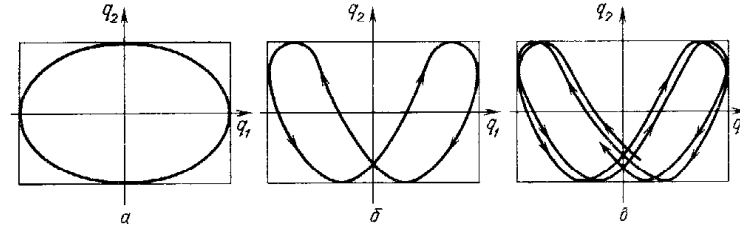


Рис. 2.5. Проекция траекторий гамильтоновой системы (14.4) на координатную плоскость (q_1, q_2) : а – $\omega_1/\omega_2 = 1$, б – $\omega_1/\omega_2 = 2$, в – $\omega_1/\omega_2 = k/m$

$\omega_1/\omega_2 = k/m$, k, m – целые числа, то фазовая траектория никогда не замкнется сама на себя, и с течением времени будет подходить сколь угодно близко к любой заданной точке поверхности тора. При этом говорят, что фазовая кривая образует всюду плотную обмотку тора, а движение системы называют квазипериодическим или условно периодическим.

В исходных переменных q, p , если частоты ω_1 и ω_2 соизмеримы, то траектории движения системы в пространстве (q, p) представляют собой определенные замкнутые кривые. Проекция этих кривых на координатные плоскости называются фигурами Лиссажу (рис. 2.5а, б). Если же частоты ω_1 и ω_2 несоизмеримы, то фазовые кривые никогда не замыкаются и всюду плотно заполняют определенные области фазового пространства (рис. 2.5в). Из приведенного примера легко видеть, что даже простейшая система двух гармонических осцилляторов может демонстрировать весьма сложное поведение.

Вернемся к полностью интегрируемым системам с n степенями свободы. В этом случае фазовое пространство $2n$ -мерно и в переменных действие – угол имеет структуру множества определенных n -мерных торов. Любая возможная траектория располагается на одном из них. При этом некоторые траектории могут оказаться замкнутыми, другие же будут всюду плотно покрывать поверхность соответствующего тора.

n -мерный тор ($n \geq 2$) с заданными значениями J_1, \dots, J_n называется резонансным, если для набора частот $\{\omega_i(J_1, \dots, J_n)\}$ выполняется соотношение $\sum_{i=1}^n k_i \omega_i(J_1, \dots, J_n) = 0$, где величины k_i , $i = 1, 2, \dots, n$, – некоторые отличные от нуля целые числа.

Для нерезонансного тора имеет место квазипериодическое движение системы, и траектория плотно заполняет всю его поверхность. Поскольку

частоты непрерывно зависят от значений J_1, \dots, J_n , $\omega_i = \omega_i(J_1, \dots, J_n)$, то, меняя J_i , мы переходим от резонансных торов к нерезонансным и обратно.

Введем важное понятие, часто используемое при анализе гамильтоновой динамики — отображение Пуанкаре. Для простоты рассмотрим сначала систему с двумя степенями свободы. В этом случае, если гамильтониан явно не зависит от времени, траектория будет находиться на некоторой трехмерной энергетической гиперповерхности $H(q, p) = E$ в четырехмерном фазовом пространстве (q_1, q_2, p_1, p_2) . Последнее равенство позволяет локально выразить любую из этих четырех переменных (например, p_2) как функцию трех остальных: $p_2 = p_2(q_1, q_2, p_1, E)$. Таким образом, усеченное фазовое пространство исходной системы при условии, что дополнительные интегралы движения отсутствуют, будет трехмерным (q_1, q_2, p_1) .

Выберем в этом пространстве некоторую двумерную поверхность S и рассмотрим ее последовательные пересечения фазовой траекторией только в одном направлении (рис. 2.6). Такую поверхность S в предположении, что она пересекается фазовыми кривыми без касания, называют *секущей поверхностью* потока динамической системы. В результате движения некоторая точка пересечения A выбранной секущей поверхности S с фазовой траекторией переходит в другую точку $B = \Phi(A)$ на этой же поверхности. Функция Φ , последовательно переводящая точки пересечения одна в другую, $A \rightarrow B = \Phi(A) \rightarrow C = \Phi(B) \rightarrow A \dots$ (рис. 2.6а), называется *функцией последования* или *отображением Пуанкаре*.

Часто в качестве секущей поверхности S выбирают некоторую плоскость. Тогда задача изучения поведения траекторий в трехмерном фазовом пространстве сводится к анализу отображения Φ двумерного куска плоскости S в себя. Удобным способом наглядного представления поведения системы являются проекции полученного сечения на фазовые плоскости (q_i, p_j) (рис. 2.6б).

Понятие отображения Пуанкаре можно обобщить и на системы с числом степеней свободы $n > 2$. Для автономных систем размерность энергетической гиперповерхности, на которой расположены фазовые кривые, в этом случае равна $2n - 1$. Исключим, как и раньше, одну из переменных и рассмотрим последовательные точки пересечения траектории динамической системы с $2n - 2$ -мерной гиперповерхностью S . При условии, что поток нигде не касается S , можно определить отображение Φ , которое любой точке M гиперповерхности S ставит в соответствие ближайшую, следующую за M точку M' пересечения фазовой кривой с этой же гиперповерхностью S . Если, помимо интеграла энергии, существуют k дополнительных интегралов движения, то все пересечения необходимо брать с гиперповерхностью, размерность которой равна $[2n - (k + 1)] - 1$. Затем, для наглядности, можно спроецировать полученные точки пересечения на одну из фазовых плоскостей (q_i, p_j) . Тогда анализ динамики исходной системы сведется к исследованию проекций найденных пересечений.

Использование отображения Пуанкаре существенно упрощает описание поведения соответствующей системы дифференциальных уравнений. Однако сведение динамической системы (1) к отображению в большинстве случаев удается сделать только численно. Тем не менее, если функ-

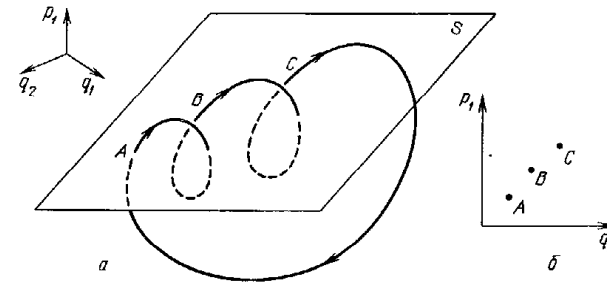


Рис. 2.6. Построение отображения Пуанкаре в фазовом пространстве автономной гамильтоновой системы с двумя степенями свободы

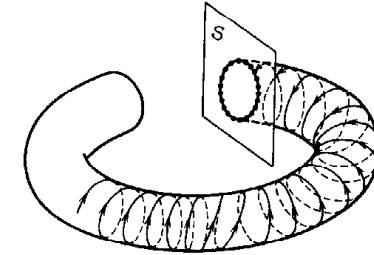


Рис. 2.7. Отображение Пуанкаре для квазипериодического движения

ция последования Φ построена или если известна структура следов фазовых кривых на секущей S , это дает возможность наглядно представить динамику происходящих в системе процессов.

Действительно, когда отображение Пуанкаре представляет собой конечное число точек, последовательно переходящих друг в друга, т.е. $A \rightarrow B \rightarrow C \rightarrow A \rightarrow \dots$ (рис. 2.6а), в фазовом пространстве этому будет соответствовать движение по замкнутой траектории, и, таким образом, поведение системы будет периодическим. Если множество точек отображения Пуанкаре плотно заполняет определенную замкнутую кривую, то этому будет отвечать квазипериодическое движение (рис. 2.7).

Наконец, существуют системы, для которых при некоторых условиях траектория на секущей поверхности S представлена "случайным" множеством точек в том смысле, что точки последовательных пересечений нерегулярным образом распределены на S . Следовательно, в этом случае фазовая траектория хаотически блуждает по фазовому пространству. Это указывает на то, что режим эволюции таких систем не является ни периодическим, ни квазипериодическим. Рассмотрим достаточно простой пример, иллюстрирующий такое нерегулярное поведение, — модель Энэ — Эйлеса (1964) [201, 203, 205]. Авторы моделировали движение звезды в среднем поле галактики. После ряда упрощений и учета интегралов движения задача свелась к анализу поведения в четырехмерном фазовом пространстве частицы единичной массы с гамильтонианом

$$H = (1/2)(p_1^2 + p_2^2) + (1/2)(q_1^2 + q_2^2) + q_1^2 q_2 - (1/3)q_3^3. \quad (14.9)$$

Для такой редуцированной задачи имеется интеграл энергии $H = E$, с по-

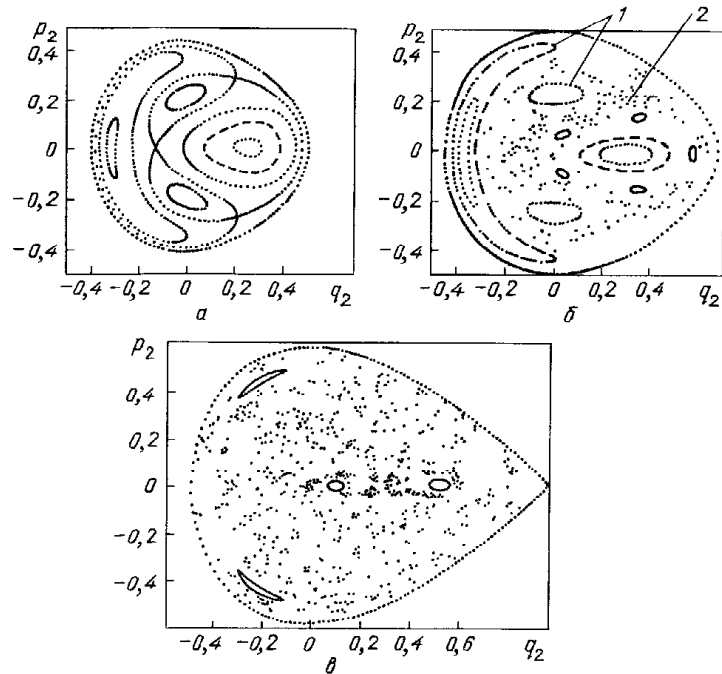


Рис. 2.8. Множество точек отображения Пуанкаре в плоскости (q_2, p_2) для модели Эно – Эйлеса при значениях E , равных: 0,04 (а), 0,125 (б) и 0,167 (в)

мощью которого можно исключить одну из переменных: $p_1 = p_1(q_1, q_2, p_2, E)$.

Если бы система с гамильтонианом (9) была полностью интегрируемой, то имелись бы переменные действие – угол и с помощью канонического преобразования можно было бы привести функцию Гамильтона к виду $H = H(J_1, J_2)$. Тогда, используя интеграл энергии, можно найти $J_1 = J_1(J_2, E)$. Вторая переменная давала бы дополнительный интеграл движения. Таким образом, при заданных E и J_2 динамическая система была бы представлена движением по поверхности, топологически эквивалентной двумерному тору. В общем случае такая поверхность была бы всюду плотно покрыта фазовыми траекториями, и множество точек отображения Пуанкаре тогда образовало бы некоторую замкнутую кривую.

Эно и Эйлес провели численные исследования системы с гамильтонианом (9), используя отображение Пуанкаре. Отмечались последовательные точки пересечения фазовой траектории с координатной плоскостью (q_2, p_2) (т.е. при $q_1 = 0$) для различных значений энергии E . Результаты оказались весьма неожиданными. При достаточно малых энергиях точки отображения Пуанкаре выглядели как совокупность замкнутых и вложенных друг в друга линий, что в фазовом пространстве отвечало движению по поверхности тора с плотной обмоткой (рис. 2.8а). Каждая из замкнутых кривых

соответствовала определенному значению дополнительного интеграла движения $J_2 = \text{const}$. С ростом энергии E картина существенно менялась. Некоторые инвариантные кривые начинали разрушаться, образуя густое множество точек, расположенных случайным на вид образом на плоскости (q_2, p_2) . Так, при $E = 0,125$ в сечении $q_1 = 0$ наблюдались как инвариантные замкнутые кривые 1, аналогичные инвариантным кривым при более низких энергиях E , так и множество точек 2, хаотически разбросанных между этими кривыми (рис. 2.8б). Другими словами, в фазовом пространстве при данных значениях энергии E имеются островки регулярного (1) и нерегулярного (2) поведения системы. Для "случайной" траектории 2 переменные действия J_i уже не являются интегралами движения. С дальнейшим увеличением энергии E область, занятая торами, сокращается до ничтожных размеров (рис. 2.8в). Любая траектория вне этих малых участков случайным образом проходит по всей энергетически доступной гиперповерхности $H = E$. Если энергия E достаточно велика, то движение в модели Эно – Эйлеса становится инфинитным.

Дальнейшие исследования системы с гамильтонианом (9) показали [78], что и при малых энергиях E (рис. 2.8а) наряду с регулярными траекториями имеются очень тонкие (экспоненциально малые по E^{-1}) и неразличимые при численных расчетах слои, в которых фазовая кривая ведет себя "случайным", хаотическим образом. Это демонстрирует невозможность установить численными методами факт полной интегрируемости системы.

Кроме того, пример Эно – Эйлеса показывает, что даже простые динамические системы с двумя степенями свободы при некоторых условиях обладают поведением, которое выглядит как случайное: их фазовая траектория хаотически блуждает по всей энергетически доступной гиперповерхности.

В общем случае уравнения Гамильтона (для системы с n степенями свободы) не являются полностью интегрируемыми; для них не существует канонического преобразования $(q, p) \rightarrow (\vec{\alpha}, J)$, при котором новый гамильтониан не зависел бы от $\vec{\alpha}$, т.е. $H = H(J)$. Тем не менее в ряде случаев функцию Гамильтона $H(\vec{\alpha}, J)$ можно разбить на интегрируемую часть $H_0 = H_0(J)$ и неинтегрируемую, но представимую в виде возмущения функции H_0 :

$$H(\vec{\alpha}, J) = H_0 + \epsilon H_1, \quad (14.10)$$

где $H_0 = H_0(J)$, $H_1 = H_1(\vec{\alpha}, J)$ и ϵ – некоторый малый параметр. Такие системы, гамильтониан которых представим в виде (10), называются *системами, близкими к интегрируемым*.

Приведем пример, наглядно демонстрирующий изменение динамики системы, близкой к интегрируемой, в зависимости от параметра ϵ (не предполагая его малым). Это задача о быстром вращении по инерции тяжелого несимметричного твердого тела [23, 59, 185]. Для нес функции Гамильтона может быть записана в виде (10). Поскольку нас интересует лишь качественное поведение системы при разных значениях параметра ϵ , мы, не вдаваясь в подробности решения задачи, приведем только конечный результат [23, 185] (рис. 2.9). На этом рисунке представлена проекция на одну из координатных плоскостей множества точек отображения

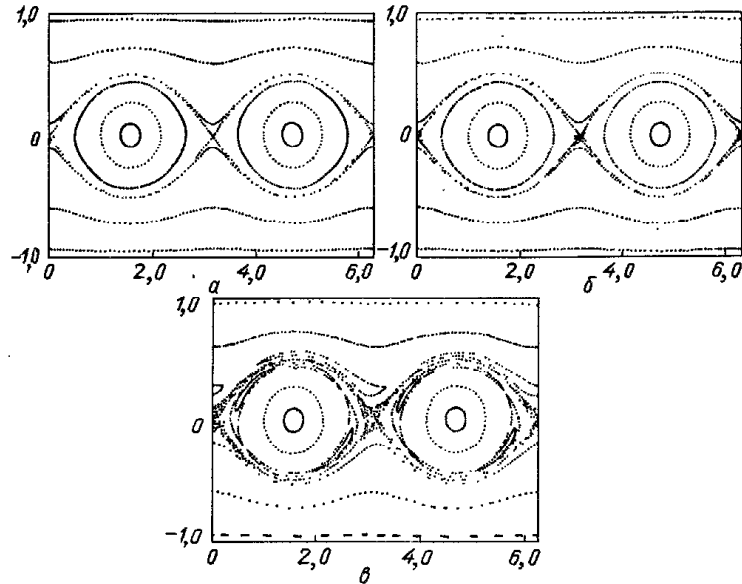


Рис. 2.9. Множество точек отображения Пуанкаре в задаче о вращении твердого тела при значениях ϵ , равных: 0 (интегрируемый случай Эйлера) (а), 0,1 (б), 1,0 (в) [185]

Пуанкаре, возникающих при пересечении определенной гиперповерхности фазовыми кривыми системы. Если $\epsilon = 0$, то система является полностью интегрируемой и точки отображения Пуанкаре образуют семейство регулярных кривых (интегрируемый случай Эйлера) (рис. 2.9а). При появлении возмущения ($\epsilon > 0$) первоначальная конфигурация следов фазовых кривых нарушается и с увеличением ϵ становится все более хаотичной (рис. 2.9б, в). Хорошо видно, что при малом ϵ динамика системы по сравнению с невозмущенной меняется мало (рис. 2.9а, б).

Вернемся, однако, к общему анализу системы с гамильтонианом типа (10). В выбранных переменных $\vec{\alpha}, \vec{J}$ их канонические уравнения примут вид

$$\dot{\alpha}_i = -\epsilon \frac{\partial H_1}{\partial \alpha_i}, \quad \dot{\alpha}_i = \frac{\partial H_0}{\partial J_i} + \epsilon \frac{\partial H_1}{\partial J_i}, \quad i = 1, 2, \dots, n, \quad (14.11)$$

где $\epsilon \ll 1$. Если $\epsilon = 0$, то система (11) является полностью интегрируемой, и ее решения будут покрывать n -мерные концентрические торы. Пусть теперь $\epsilon \neq 0$. Насколько сильно в этом случае изменится характер интегрируемой системы? Можно было бы ожидать, что при наличии возмущения первоначальная структура фазового пространства сильно нарушится даже при очень малом ϵ . Действительно, возмущение, вносимое, например, в систему (3), нелинейным образом свяжет осцилляторы и, как следствие,

будет стремиться заставить траектории покинуть поверхность тора. Однако эти рассуждения не являются верными: при достаточно малых ϵ большинство нерезонансных торов сохраняется и лишь немного деформируется.

Объяснение этому, а также ответ на поставленный выше вопрос дает теорема Колмогорова – Арнольда – Мозера [15, 16, 61, 89], или теорема КАМ. Точная ее формулировка и особенно доказательство чрезвычайно сложны. Поэтому мы не будем их здесь приводить, а ограничимся нестрогим, но достаточно наглядным изложением.

Пусть невозмущенный гамильтониан удовлетворяет условию

$$\det[\partial \omega_i / \partial J_k] = \det[\partial^2 H_0 / \partial J_i \partial J_k] \neq 0, \quad (14.12)$$

где $\omega_i = \partial H_0 / \partial J_i$. Тогда при достаточно малых $\epsilon < \epsilon_0$ энергетическую гиперповерхность $H = E$ системы можно разбить на две области ненулевого объема. Большая из них содержит деформированные нерезонансные торы невозмущенной задачи, а в меньшей области (объем которой стремится к нулю, при $\epsilon \rightarrow 0$) движение оказывается очень сложным; оно отличается как от периодического, так и от квазипериодического движения. Иными словами, для большинства начальных условий в системе, близкой к интегрируемой, квазипериодическое движение сохранится. Имеются, однако, начальные условия, для которых существовавшие при $\epsilon = 0$ торы разрушатся и движение станет нерегулярным. Заметим, что в большинстве случаев при доказательстве теоремы КАМ получаются несколько заниженные значения параметра ϵ_0 по сравнению с реальным значением, точное определение которого при исследовании конкретного гамильтониана вида (10) является очень трудной задачей и обычно проводится численно [51].

В связи с теоремой КАМ отметим важное обстоятельство, касающееся глобального поведения гамильтоновых систем. Дело в том, что существует качественное различие между динамиками систем с двумя степенями свободы $n = 2$ и систем с числом степеней свободы $n > 2$. При $n = 2$ фазовое пространство является четырехмерным, энергетическая гиперповерхность (или пространство уровня энергии) $H = E$ – трехмерной, а инвариантные торы – двумерными. Эти двумерные торы делят трехмерную энергетическую гиперповерхность на непересекающиеся области (рис. 2.10а), и разрушенные торы тем самым оказываются зажатыми между ними (рис. 2.10б). Фазовая траектория, начинающаяся в области такого разрушенного тора, т.е. в щели между двумя инвариантными торами, остается запертой здесь навсегда. Соответствующие переменные действия практически не меняются и при движении остаются вблизи своих начальных значений. Поэтому для систем с двумя степенями свободы, удовлетворяющих теореме КАМ, при всех начальных условиях эволюция отсутствует и сохраняется глобальная устойчивость [15, 23].

При $n > 2$ n -мерные инвариантные торы уже не делят $2n - 1$ -мерную энергетическую гиперповерхность на непересекающиеся части, и области разрушенных резонансных торов сливаются, образуя сложную единую сеть – паутину Арнольда. Двигаясь по нитям этой паутины, фазовая точка может удалиться на значительное расстояние на гиперповерхности заданной энергии от своего первоначального положения. Это явление получило название диффузии Арнольда [17, 51, 78]. Характерной особенностью

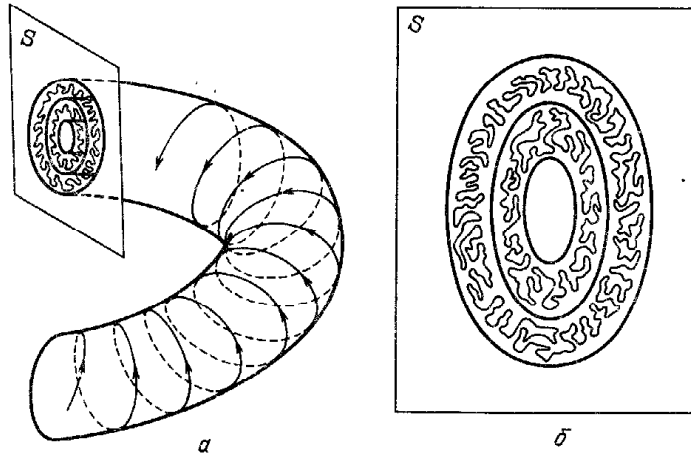


Рис. 2.10. Сохранение глобальной устойчивости системы с двумя степенями свободы, близкой к интегрируемой: а — разрушенные торы зажаты в щелях между устойчивыми торами; б — соответствующая картина в отображении Пуанкаре

диффузии Арнольда является то, что не существует критического значения возмущения ϵ , необходимого для ее возникновения. Иными словами, диффузия имеет место всегда, даже при сколь угодно малых ϵ . Следовательно, для гамильтоновых систем, близких к интегрируемым, число степеней свободы которых $n > 2$, характерно отсутствие глобальной устойчивости.

Наличие диффузии Арнольда было строго доказано для гамильтоновой нелинейной системы специального вида [17]. В общем случае доказательства слияния хаотических траекторий в единую сеть не существует, но известно достаточно много численных примеров диффузии Арнольда: [53, 78, 150, 227, 228, 230, 278]. В частности, П. Холмс и Дж. Марсден [208] показали существование диффузии у большого класса систем, близких к интегрируемым.

Поясним, почему инвариантные торы делят пространство уровней энергии только при $n = 2$ [285]. Рассмотрим сначала некоторую k -мерную область. Эта область разобьется на непересекающиеся части только в том случае, если размерность разделяющей ее гиперповерхности равна $k - 1$. Для автономных гамильтоновых систем размерность пространства уровней энергии D равна $2n - 1$. Следовательно, размерность границ, которые бы делили D на непересекающиеся области, должна быть равна $2n - 2$. Для того чтобы инвариантные торы разделяли пространство D , их размерность n должна удовлетворять условию $n \geq 2n - 2$, или $n \leq 2$.

В заключение отметим следующее. Мы видели, что появление нерегулярной, хаотической динамики возможно в простых нелинейных гамильтоновых системах, число степеней свободы которых совсем невелико, $n \geq 2$. При этом хаотичность не связана с действием каких-либо случайных сил, а обусловлена внутренними свойствами самой системы.

§ 15. Эргодичность и перемешивание

Для дальнейшего изучения эволюции систем типа (14.1) в фазовом пространстве необходимо ввести некоторые новые понятия и определения.

Рассмотрим динамическую систему, задаваемую обыкновенными дифференциальными уравнениями

$$\dot{x} = f(x), \quad (15.1)$$

где $f = \{f_1, \dots, f_n\}$ — векторная функция, обычно предполагаемая гладкой, а $x = \{x_1, \dots, x_n\}$ — n -мерный вектор с компонентами x_1, \dots, x_n , характеризующий состояние динамической системы. Функция $F(t, c_i)$, $c_i = \text{const}$, $i = 1, 2, \dots, n$, которая при подстановке в уравнения (1) обращает их в тождества, называется решением системы. Задание начальных условий $x(0) = x_0$ однозначно определяет решение в любой момент времени t :

$$x(t) = F(t, x_0). \quad (15.2)$$

Если уравнения (1) описывают динамику гамильтоновой системы, то в этом случае компоненты x_i вектора $x = \{x_1, \dots, x_n\}$ обозначают совокупность канонических переменных $x_j \equiv q_j$, $x_k \equiv p_k$, $k, j = 1, 2, \dots, n/2$.

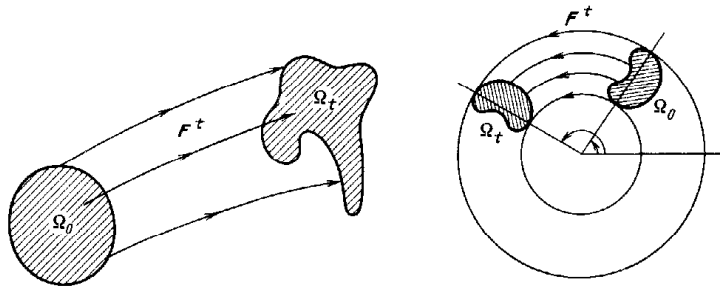
Всякое решение $x(t)$ (2) системы (1) геометрически можно представить как линию в n -мерном пространстве, образованном переменными x_1, \dots, x_n . Это n -мерное пространство называется *фазовым пространством* системы; обозначим его M . Каждому состоянию динамической системы соответствует точка в этом пространстве, и каждой точке из пространства M соответствует единственное состояние системы. Изменение состояния системы можно интерпретировать как движение некоторой точки (называемой изображающей) в фазовом пространстве. Траектория такой изображающей точки, т.е. ее последовательные положения в фазовом пространстве M , называется *фазовой траекторией*.

Предположим, что в момент времени t_0 система (1) с фазовым пространством M находилась в состоянии x_0 . Тогда в другой момент времени $t \neq t_0$ ее состояние, вообще говоря, будет иным. Обозначим это новое состояние как $F^t x_0$. Таким образом, для каждого t мы определили оператор эволюции, или отображение сдвига, $F^t: M \rightarrow M$ фазового пространства M в себя. Это отображение F^t переводит систему из состояния, в котором она находилась в момент времени t_0 , в состояние в момент времени t . Другими словами, решение (2) уравнений (1) ставит в соответствие точке $\{x_i(t_0)\}$, $i = 1, 2, \dots, n$, фазового пространства M в момент времени t_0 определенную точку $\{x_i(t)\}$ фазового пространства в момент t :

$$F^t x_0 = x(t). \quad (15.3)$$

Следовательно, любая область Ω_0 фазового пространства под действием отображения F^t перейдет через время t (если, конечно, F^t не тождественное отображение) в некоторую другую область $\Omega_t = F^t \Omega_0$. Схематически это изображено на рис. 2.11. Отображение $F^t: M \rightarrow M$ называют также *фазовым потоком*, а функцию $f(x)$ — *векторным полем фазовой скорости* данной динамической системы с фазовым пространством M .

Рассмотрим два характерных примера, поясняющих действие фазового потока.



Р и с. 2.11. Действие отображения F^t : $M \rightarrow M$ фазового пространства M в себя для гамильтоновой системы

Р и с. 2.12. Действие фазового потока F^t для гармонического осциллятора

1. Гармонический осциллятор единичной массы.

Гамильтониан для такой задачи имеет вид $H = (1/2)p^2 + (1/2)\omega_0^2 q^2$, а уравнения движения запишутся как $\dot{q} = p$, $\dot{p} = -\omega_0^2 q$. Переход к переменным действие – угол осуществляется следующими каноническими преобразованиями: $p = (2\omega_0 J)^{1/2} \cos \alpha$, $q = -(2J/\omega_0)^{1/2} \sin \alpha$. Тогда функция Гамильтона и система канонических уравнений соответственно примут вид $H = \omega_0 J$, $\dot{J} = 0$, $\dot{\alpha} = \omega_0$. Отсюда сразу находим решение: $J(t) = J_0$, $\alpha(t) = \alpha_0 + \omega_0 t$. Таким образом, действие отображения F^t в переменных действие – угол для гармонического осциллятора сводится к повороту (рис. 2.12).

2. Рассмотрим теперь систему, фазовый объем которой не сохраняется со временем. Пусть

$$\dot{x} = \alpha x, \quad \dot{y} = \alpha y, \quad \alpha > 0. \quad (15.4)$$

В этом случае начальный объем Ω_0 с течением времени неограниченно возрастает: $x(t) = x_0 \exp(\alpha t)$, $y(t) = y_0 \exp(\alpha t)$. Действие фазового потока для такой системы показано на рис. 2.13.

Ниже рассматриваются только консервативные системы, для которых имеет место сохранение с течением времени фазового объема.

Напомним определения *среднего по времени* значения функции (или *среднего вдоль траектории* динамической системы) и *фазового среднего*.

Рассмотрим некоторую интегрируемую функцию n переменных $h(x_1, \dots, x_n) \equiv h(x)$. Если величины x_i – динамические переменные, то, вообще говоря, h будет (через x_i) зависеть от времени: $h = h(x(t))$. Средним по времени значением такой функции называется величина

$$\bar{h}(x_0) = \lim_{T \rightarrow \infty} T^{-1} \int_0^T h(x(t)) dt. \quad (15.5)$$

Строгое рассмотрение вопроса об условиях применимости формулы (5) можно найти в [77, 106]. Вспомнив, что $F^t x_0 = x(t)$ (см. (3)),

из (5) найдем

$$\bar{h}(x_0) = \lim_{T \rightarrow \infty} T^{-1} \int_0^T h(F^t x_0) dt. \quad (15.6)$$

Можно показать, что для *почти всех* (т.е. для всех, кроме множества меры нуль) начальных условий для x функция $\bar{h}(x_0)$ является инвариантной, т.е. не изменяется вдоль траектории [32].

Предположим, что фазовые кривые динамической системы не уходят на бесконечность и движение происходит в некоторой ограниченной области D с объемом V_D фазового пространства. Тогда фазовым средним функции $h(x)$ называется величина

$$\langle h \rangle = V_D^{-1} \int_{(D)} h(x) dV, \quad dV \equiv dx_1 \dots dx_n. \quad (15.7)$$

Движение динамической системы (1) называется *эргодическим* (или динамическая система (1) называется *эргодической*), если для произвольной интегрируемой функции $h(x)$ и почти всех начальных условий x_0 имеет место равенство временных и фазовых средних функции $h(x)$:

$$\bar{h}(x_0) = \langle h \rangle. \quad (15.8)$$

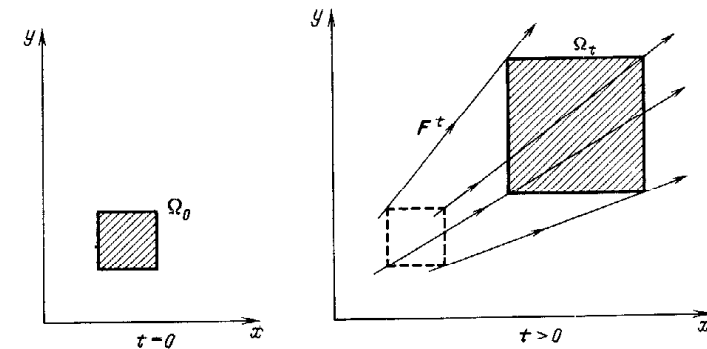
Таким образом, для эргодической системы среднее по времени не зависит от x_0 , т.е. от начальной точки траектории.

Рассмотрим произвольную область Ω внутри D , а в качестве $h(x)$ возьмем функцию $h_\Omega(x)$ такую, что

$$h_\Omega(x) = \begin{cases} 1, & x \in \Omega, \\ 0, & x \notin \Omega, \end{cases} \quad (15.9)$$

т.е. равную единице, когда x принадлежит области Ω , и нулю – в противном случае. Эта функция, очевидно, интегрируема:

$$V_D^{-1} \int_{(D)} h_\Omega(x) dV = V_\Omega / V_D. \quad (15.10)$$



Р и с. 2.13. Действие фазового потока F^t для системы, фазовый объем которой со временем не сохраняется

Следовательно, фазовое среднее функции (9) есть "относительный объем" области Ω . Если движение динамической системы эргодично, то, как следует из (8), относительное время, проведенное фазовой траекторией внутри любой области Ω , равно относительному объему этой области и не зависит от выбора начальных условий. Иными словами, фазовая кривая эргодической системы в силу (8), (9) будет равномерно и плотно заполнять всю область Ω .

Заметим, что для автономных гамильтоновых систем поток в некотором ограниченном объеме фазового пространства, вообще говоря, не может быть эргодическим согласно приведенному выше определению. Действительно, поскольку всегда имеется интеграл энергии, фазовая кривая обязательно должна располагаться на гиперповерхности $H = E$ и поток может быть эргодическим только на этой гиперповерхности. Если же существуют и другие k интегралов движения, то при заданных значениях этих интегралов эволюция гамильтоновой системы будет происходить на гиперповерхности размерности $n - k - 1$, определяемой всеми $k + 1$ интегралами движения, в n -мерном фазовом пространстве. Именно эта гиперповерхность и является энергетически доступной областью фазового пространства. С учетом этого замечания условие эргодичности (8) следует переписать в виде

$$\lim_{T \rightarrow \infty} T^{-1} \int_0^T h(F^t x_0) dt = S_G^{-1} \int_G h(x) dS, \quad (15.11)$$

где интегрирование ведется по гиперповерхности G , а S_G — "площадь" этой гиперповерхности.

Таким образом, если движение гамильтоновой системы эргодично, то с течением времени фазовая траектория равномерно и плотно будет покрывать определяемую всеми интегралами движения гиперповерхность в n -мерном фазовом пространстве.

Относительный объем V_Ω/V_D или "относительная площадь" S_Ω/S_D некоторой области Ω представляет собой меру $\mu(\Omega)$ этой области*). Используя понятие меры, определение эргодичности (8) можно записать как

$$\lim_{T \rightarrow \infty} T^{-1} \int_0^T h(F^t x_0) dt = \int_D h(x) d\mu, \quad (15.12)$$

где интегрирование ведется по всей доступной области (гиперповерхности) фазового пространства; при этом

$$\mu(D) = \int_D d\mu = 1. \quad (15.13)$$

Примером эргодического поведения может служить квазипериодическое движение гамильтоновой системы, имеющее место, например, в модели двух гармонических осцилляторов с иррациональным отношением частот

*) Вообще говоря, меру можно вводить по-разному. Приведенный пример — это лишь частный случай меры. Подробное рассмотрение вопросов, связанных с введением понятия меры, можно найти в [55, 65]. Для наших целей, однако, достаточно понимать под мерой только относительный объем области.

(см. § 14). В этом случае фазовая кривая плотно покрывает поверхность тора и движение на нем является эргодическим [78, 99].

Свойство эргодичности — необходимое, но не достаточное условие хаотичности динамических систем [2, 32, 99]. В самом деле, рассмотрим действие фазового потока F^t на малую область Ω_0 , принадлежащую поверхности двумерного инвариантного тора (рис. 2.14). Площадь этой

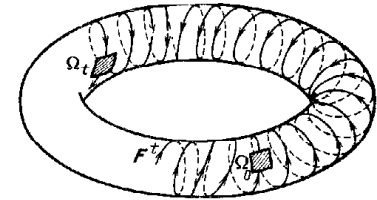


Рис. 2.14. Действие фазового потока F^t на малую область Ω_0 при квазипериодическом движении

области задается как $J_1 J_2 \Delta \alpha_1 \Delta \alpha_2$. В силу теоремы о сохранении фазового объема имеем (при $\Delta J \equiv \Delta J_1 \Delta J_2$ и $\Delta \alpha \equiv \Delta \alpha_1 \Delta \alpha_2$)

$$\frac{d(\Delta J \Delta \alpha)}{dt} = \Delta \alpha \frac{d(\Delta J)}{dt} + \Delta J \frac{d(\Delta \alpha)}{dt} = 0. \quad (15.14)$$

Поскольку $d(\Delta J)/dt = 0$, то из (14) получим $d(\Delta \alpha)/dt = 0$. Следовательно, характерной особенностью эргодического движения гамильтоновой системы на двумерном торе является неизменность не только объема, но и формы области Ω_0 . Действие же фазового потока F^t сводится просто к перемещению Ω_0 по поверхности тора (рис. 2.14). Вместе с тем существуют гамильтоновы системы (см. § 14) с более сложными режимами движения. Для таких систем начальный элементарный объем, перемещаясь по всей энергетически доступной гиперповерхности (как для эргодических потоков), сильно деформируется, выпуская нерегулярного вида отростки, но при этом не разрывается (рис. 2.15). Это приводит к тому, что спустя некоторое время начальная область Ω_0 таким образом распределится по всей гиперповерхности, что ее кусочки можно будет обнаружить в любой части гиперповерхности независимо от размеров, формы и расположения исходной области Ω_0 . Такие системы, как говорят, обладают *перемешиванием*. Как будет видно из дальнейшего, свойство перемешивания, в отличие от эргодичности, как раз и может служить критерием хаотичности движения динамических систем.

По существу, понятие перемешивания является очень простым. Для его иллюстрации приведем классический пример Гиббса. Предположим, что в сосуде содержится 30% чернил и 70% воды, причем в начальный момент жидкости не перемешаны. Теперь хорошо взболтаем содержимое сосуда. Спустя некоторое время (время перемешивания) естественно ожидать, что любая часть получившейся смеси будет состоять из 30% чернил и 70% воды. Формализация подобного процесса при условии, что и чернила и вода не разрываются на отдельные капли, приводит к понятию перемешивания.

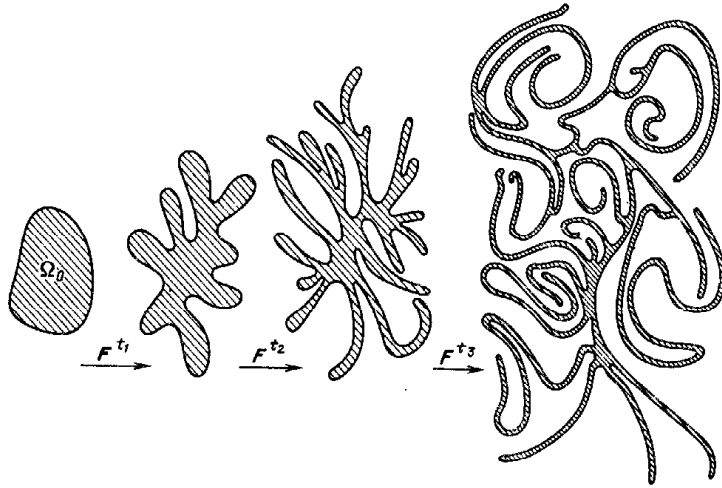


Рис. 2.15. Действие фазового потока F^t на малую область Ω_0 при перемешивании

Как правило, перемешивающий поток имеет место тогда, когда в фазовом пространстве близкие в начальный момент времени точки будут двигаться по сильно расходящимся траекториям.

Для введения понятия перемешивания рассмотрим две произвольные малые области A и B с мерами $\mu(A)$ и $\mu(B)$. Будем считать, что область B остается неподвижной, а область A эволюционирует с течением времени согласно непрерывному отображению F^t , порождаемому системой дифференциальных уравнений (1), т.е. $A_t = F^t A$. Пусть $A_t \cap B$ представляет собой совокупность всех частей A_t , оказавшихся в момент времени t внутри неподвижной области B (рис. 2.16). Динамическая система (1) называется *перемешивающей* (и соответственно поток — *перемешивающим*), если существует предел при $t \rightarrow \infty$, равный

$$\lim_{t \rightarrow \infty} [\mu(A_t \cap B) / \mu(B)] = \mu(A). \quad (15.15)$$

Поясним смысл введенного определения. Прежде всего напомним, что поскольку рассматриваемое движение консервативно, мера области A при движении сохраняется, т.е. $\mu(A_t) = \mu(A)$. Более того, $\mu(A) = \mu(A_t) / \mu(D)$ есть относительная доля объема, занимаемая областью A в D . Однако отношение $\mu(A_t \cap B) / \mu(B)$ есть относительная доля объема, занимаемая в области B попавшими внутрь нее в момент t кусочками области A_t . Определение (15) утверждает, что в пределе, когда $t \rightarrow \infty$, эти два отношения совпадают независимо от того, какими были размеры, форма и взаимное расположение областей A и B .

Из определения перемешивания (15) следует несколько выводов.

Неподвижную область B можно взять сколь угодно малой и расположить где угодно. Несмотря на это, по прошествии достаточно длительного

отрезка времени t внутри B можно будет обнаружить кусочки области $A_t = F^t A$, получаемой в результате эволюции исходной области A . Это означает, что при $t \rightarrow \infty$ кусочки A_t оказываются в любой сколь угодно малой окрестности произвольно выбранной точки энергетически доступной части фазового пространства. Иными словами, исходная область A с течением времени превращается в очень тонкую всепроникающую паутинку, нити которой можно обнаружить внутри любого сколь угодно малого элемента объема. При этом подчеркнем, что суммарный объем, занимаемый этой паутинкой, равен начальному объему области A . Более того, получающаяся при $t \rightarrow \infty$ паутинка равномерно и однородно пронизывает фазовое пространство: внутри любой, наугад взятой области нити паутинки занимают одну и ту же относительную долю объема.

Заметим также, что исходную область A можно выбрать сколь угодно малой и расположить в любой доступной области фазового пространства. Тем не менее, как следует из определения (15), при $t \rightarrow \infty$ эта область превратится в пронизывающую все паутинку, о которой говорилось выше. Это означает, что фазовые траектории динамической системы с перемешиванием всегда абсолютно неустойчивы по отношению к малым возмущениям и разбегаются с течением времени.

Разбегание траекторий означает *непредсказуемость* поведения системы. Если в начальный момент времени положение фазовой точки было известно с конечной точностью, т.е. при $t = 0$ мы знаем лишь, что эта точка принадлежит некоторой области Ω_ϵ с характерным размером ϵ , то сказать, где именно она окажется через достаточно длительный промежуток времени, невозможно.

Перемешивание приводит к *необратимости*. Действительно, внутри любой доступной части фазового пространства с течением времени оказываются кусочки из самых различных начальных областей. Следовательно, зная лишь, что в конечный момент времени частица находилась в пределах малой области с размерами порядка ϵ , мы не сможем сказать, где она находилась в начальный момент времени. Поскольку в любом физическом эксперименте измеряется значение характерных величин лишь с какой-то конечной точностью, то детерминированное описание систем с перемешиванием не имеет смысла, и здесь естественно возникает потребность в построении статистических теорий.

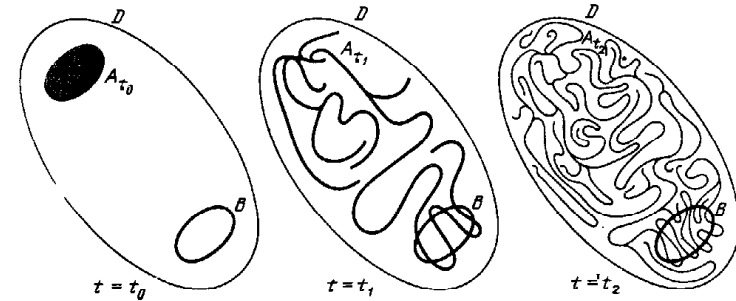


Рис. 2.16. Эволюция области A в случае перемешивания

Таким образом, понятие перемешивания соответствует нашему интуитивному представлению о том, какими должны быть системы со сложными и нерегулярными режимами движения.

Следствием перемешивания в системе является расщепление временных корреляций [51, 66].

Рассмотрим произвольные интегрируемые функции f и g в замкнутой области D фазового пространства динамической системы. Их фазовые средние определяются как (см. (7))

$$\langle f \rangle = V_D^{-1} \int_{(D)} f(x) dx_1 \dots dx_n, \quad \langle g \rangle = V_D^{-1} \int_{(D)} g(x) dx_1 \dots dx_n. \quad (15.16)$$

Пусть в начальный момент времени состояние системы определяется начальными условиями $x(0) = x_0$. Тогда через некоторое время система перейдет в другое состояние, характеризуемое фазовой точкой $x(t)$, которая в силу единственности решения зависит от x_0 : $x = x(x_0, t)$. Определим коррелятор функций f и g как

$$\langle f(x(x_0, t))g(x_0) \rangle = V_D^{-1} \int_{(D)} f(x(x_0, t))g(x_0) dx_0. \quad (15.17)$$

Это соотношение можно переписать в виде

$$\langle f(x)g(x_0(x, t)) \rangle = V_D^{-1} \int_{(D)} f(x)g(x_0(x, t)) dx. \quad (15.18)$$

Как мы сейчас докажем, если система обладает перемешиванием, то при $t \rightarrow \infty$

$$\langle f(x)g(x_0) \rangle \rightarrow \langle f \rangle \langle g \rangle \quad (15.19)$$

для любых функций f и g . Свойство (19) называется *расщеплением временных корреляций*.

Для того чтобы показать, что из перемешивания (15) следует расщепление корреляций, рассмотрим сначала в качестве f и g функции следующего вида:

$$f_B(x) = \begin{cases} 1, & x \in B, \\ 0, & x \notin B, \end{cases} \quad g_A(x) = \begin{cases} 1, & x \in A, \\ 0, & x \notin A, \end{cases} \quad (15.20)$$

где A и B — некоторые подобласти области D . Допустим, что область B остается неизменной, а область A эволюционирует под действием фазового потока: $A_t = F^t A$. Тогда при больших t из условия перемешивания (15) найдем

$$\mu(A_t \cap B) \approx \mu(A) \mu(B). \quad (15.21)$$

Но мера $\mu(A_t \cap B)$ — это относительный объем пересечения образа A_t области A и области B :

$$\mu(A_t \cap B) = V_D^{-1} \int_{(D)} f_B(x) g_A(x) dx = V_D^{-1} \int_{(D)} f_B(x) g_A(x_0(x, t)) dx, \quad (15.22)$$

а произведение $\mu(A)\mu(B)$ есть

$$\mu(A)\mu(B) = V_D^{-1} \int_{(D)} f_B(x) dx V_D^{-1} \int_{(D)} g_A(x) dx. \quad (15.23)$$

Поэтому из (21) при $t \rightarrow \infty$ находим

$$V_D^{-1} \int_{(D)} f_B(x) g_A(x_0(x, t)) dx \approx V_D^{-1} \int_{(D)} f_B(x) dx V_D^{-1} \int_{(D)} g_A(x) dx, \quad (15.24)$$

или

$$\langle f_B(x)g_A(x_0) \rangle \approx \langle f_B \rangle \langle g_A \rangle. \quad (15.25)$$

Разобьем теперь область D фазового пространства на непересекающиеся области A_j . Тогда при достаточно мелком разбиении любую гладкую функцию в области D можно приблизительно записать как

$$f(x) = \sum_j \gamma_j f_{A_j}(x), \quad f_{A_j}(x) = \begin{cases} 1, & x \in A_j, \\ 0, & x \notin A_j. \end{cases} \quad (15.26)$$

Отсюда получим, что для перемешивающих потоков

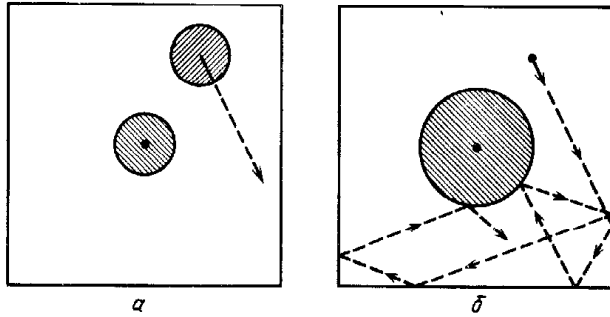
$$\begin{aligned} \langle f(x(x_0, t))g(x_0) \rangle &= \sum_{j, k} \gamma_j \gamma'_k \langle f_{A_j}(x)g_{A_k}(x_0) \rangle = \\ &= \sum_{j, k} \gamma_j \gamma'_k \langle f_{A_j} \rangle \langle g_{A_k} \rangle = \langle f \rangle \langle g \rangle, \end{aligned} \quad (15.27)$$

т.е. имеет место расщепление временных корреляций. Система с перемешиванием с течением времени как бы "забывает" о своих начальных условиях.

Можно показать [32, 131], что перемешивание влечет за собой эргодичность. Однако обратное утверждение неверно: из эргодичности не следует перемешивание. Действительно, вернемся к примеру двух гармонических осцилляторов с иррациональным отношением частот. Для такой системы, как было показано выше, действие фазового потока F^t на некоторую малую область Ω_0 сводится просто к перемещению этой области по тору (рис. 2.14) без искажения формы. При этом мера пересечения Ω_t с малой фиксированной областью B поверхности тора в различные моменты времени либо равна нулю, либо не равна нулю. Поэтому $\mu(\Omega_t \cap B)$ при $t \rightarrow \infty$ не стремится к определенному значению. Следовательно, существуют системы, которые обладают только эргодическим поведением, но не являются системами с перемешиванием.

Таким образом, перемешивание — это гораздо более сильное свойство, чем эргодичность. Если система обладает перемешиванием, то ее поведение естественно считать хаотическим. Опираясь на понятие перемешивания, можно показать, что система обладает необратимостью и непредсказуемостью и, следовательно, не может быть описана детерминированно.

Долгое время считалось, что перемешивание и хаотическое движение возможны только в системах с чрезвычайно большим числом степеней свободы. Однако в 1962 г. Я.Г. Синай доказал [104, 105], что система из двух твердых плоских дисков, заключенных в ящике с жесткими стенками, обладает свойством перемешивания, причем даже тогда, когда один из дисков жестко закреплен (рис. 2.17а). Если неподвижный диск заменить на диск удвоенного радиуса, а движущийся — материальной точкой, то мы приходим к задаче о движении точки в так называемом *бильярде* (рис. 2.17б) — динамической системе, отвечающей движению по инерции материальной точки внутри некоторой области с условием упругого от-



Р и с. 2.17. Простейший вид билларда Синая

ражения от границы области. В этом случае можно строго доказать наличие перемешивания: для почти всех начальных условий система такого вида является перемешивающей. Далее удалось распространить результат о перемешивании на случай, когда оба диска могут свободно двигаться.

Хотя строгие результаты Синая относятся лишь к двум взаимодействующим частицам (дискам) и некоторым системам, состоящим из нескольких частиц, можно ожидать, что аналогичными свойствами обладают и ансамбли из большого числа упруго сталкивающихся частиц. Фактически, свойство перемешивания всегда предполагается при построении кинетической теории газов.

Итак, наличие в системе перемешивания ведет к хаотичности ее динамики. Однако не всякое хаотическое движение обязано быть перемешивающим. Определение (15) накладывает ряд жестких ограничений, не всегда выполняющихся в действительности.

Хаотическими режимами движения могут обладать и системы, фазовый объем которых с течением времени сжимается (сокращается). К рассмотрению таких диссипативных динамических систем мы теперь и переходим.

§ 16. Диссипативные динамические системы и их аттракторы

Мы видели, что некоторые простые гамильтоновы системы могут обладать нерегулярными, или хаотическими, режимами движения. Появление таких режимов — это свойство самих систем, не связанное с воздействием на их динамику каких-либо случайных сил. Но гамильтоновы системы, вообще говоря, — это достаточно узкий класс систем. Большинство же изучаемых систем — биологические, химические, экологические и т.д. — диссипативные, т.е. системы, для которых не справедлива теорема Лиувилля и фазовый объем которых со временем не остается постоянным, а сжимается. Сокращение фазового объема приводит к тому, что при $t \rightarrow \infty$ все решения диссипативной системы будут стягиваться к некоторому подмножеству фазового пространства, называемому аттрактором.

Изучим здесь некоторые свойства диссипативных динамических систем. Как мы увидим в дальнейшем, эти системы тоже могут иметь очень слож-

ные режимы движения: в зависимости от того, каким является аттрактор — простым или сложным, — их динамика может быть соответственно либо регулярной, либо хаотической.

Поведение диссипативных динамических систем в большинстве случаев описывается n дифференциальными уравнениями 1-го порядка

$$\dot{x} = v(x), \quad x(0) = x_0, \quad (16.1)$$

где $x = \{x_1, \dots, x_n\}$ — n -мерный вектор с компонентами x_1, \dots, x_n , а $v = \{v_1, \dots, v_n\}$ — векторная функция, компонентами которой служат величины v_1, \dots, v_n . Будем предполагать, что функция v не зависит явно от времени, т.е. система (1) является автономной. Заметим, что любое дифференциальное уравнение, разрешенное относительно старшей производной, с помощью соответствующей замены переменных можно свести к виду (1). Если же система не автономна, то, выбрав в качестве нового времени независимую переменную τ и добавив уравнение $d\tau/dt = 1$, мы превратим исходную систему в автономную.

Фазовое пространство системы (1) (будем, как прежде, обозначать его M) образовано компонентами $\{x_1, \dots, x_n\}$ вектора x и имеет размерность n . Решение уравнений (1) $x_i(t) = F_i(t, x_0)$, $i = 1, 2, \dots, n$, задает определенную линию, или фазовую траекторию, в пространстве M . Совокупность фазовых траекторий $x(t)$ для системы (1) называется n -мерным потоком. Если v — гладкая функция, то решение $x(t) = F(t, x_0)$ существует при всех t , и каждой точке фазового пространства ставится в соответствие единственное состояние системы.

В силу теоремы Лиувилля характерной особенностью движения гамильтоновых систем является сохранение их фазового объема. В противоположность этому в диссипативных динамических системах фазовый объем в среднем сжимается.

Найдем изменение малого элемента объема

$$\Delta\Omega = \prod_i \Delta x_i \quad (16.2)$$

в момент времени t , близкий к начальному ($t \rightarrow 0$) [78]:

$$\begin{aligned} \frac{d(\Delta\Omega)}{dt} &= \frac{d(\Delta x_1)}{dt} \prod_{i \neq 1} \Delta x_i + \frac{d(\Delta x_2)}{dt} \prod_{i \neq 2} \Delta x_i + \dots = \\ &= \prod_i \Delta x_i \frac{d(\Delta x_1)}{dt} \Delta x_1^{-1} + \prod_i \Delta x_i \frac{d(\Delta x_2)}{dt} \Delta x_2^{-1} + \dots \end{aligned} \quad (16.3)$$

Отсюда, учитывая (2), получаем

$$\frac{d(\Delta\Omega)}{dt} = \Delta\Omega \sum_i \Delta x_i^{-1} \frac{d(\Delta x_i)}{dt}. \quad (16.4)$$

Обозначим

$$\bar{\varepsilon} \equiv \Delta\Omega^{-1} \frac{d(\Delta\Omega)}{dt} = \sum_i \Delta x_i^{-1} \frac{d(\Delta x_i)}{dt}. \quad (16.5)$$

Принимая во внимание, что

$$\Delta x_i = \frac{\partial x_i}{\partial x_i(0)} \Delta x_i(0) \quad (16.6)$$

и, значит,

$$\frac{d(\Delta x_i)}{dt} = \Delta x_i(0) \frac{d}{dt} \frac{\partial x_i}{\partial x_i(0)}, \quad (16.7)$$

из (5) и (1) при $t \rightarrow 0$ находим

$$\left. \frac{d}{dt} \right|_{t \rightarrow 0} = \sum_i \frac{\Delta x_i(0)}{\Delta x_i} \frac{d}{dt} \frac{\partial x_i}{\partial x_i(0)} \Big|_{t \rightarrow 0} = \sum_{i=1}^n \frac{\partial v_i}{\partial x_i} = \operatorname{div} v. \quad (16.8)$$

Таким образом, если

$$\operatorname{div} v = 0, \quad (16.9)$$

то система является консервативной: при движении ее фазовый объем сохраняется. Если же

$$\operatorname{div} v < 0, \quad (16.10)$$

то система будет диссипативной, и ее фазовый объем со временем сокращается. В конечном счете (т.е. при $t \rightarrow \infty$) все решения такой системы сосредоточатся на некотором подмножестве B фазового пространства M . Это подмножество B называется аттрактором. Более точно [77, 120] аттрактором называется такое подмножество B фазового пространства M , которое удовлетворяет следующим условиям: а) B инвариантно относительно потока; б) существует окрестность U , которая сжимается к B под действием потока; в) B нельзя разложить на два непересекающихся инвариантных множества. Отметим, что в настоящее время нет единого мнения по поводу наилучшего определения аттрактора и, помимо приведенного, принадлежащего Лэндфорду, существуют и другие, по-видимому, эквивалентные определения (см., например, [198, 239, 245]).

Область притяжения аттрактора B — это совокупность начальных точек x_0 таких, что при $t \rightarrow \infty$ фазовые траектории, начавшиеся в этих точках, стремятся к аттрактору B . Обычно динамическая система имеет конечное число аттракторов B_1, \dots, B_k , однако известны простые системы, которые могут иметь бесконечно много различных аттракторов [120, 246]. Для любой динамической системы, имеющей аттракторы, все начальные точки в фазовом пространстве, кроме множества меры нуль, лежат в области притяжения одного из них.

Вернемся к системе (1). Точки x^0 , в которых правая часть $v(x)$ уравнений (1) обращается в нуль, т.е. $v(x^0) = 0$, называются *положениями равновесия*, или *стационарными* (или иногда *особыми*), точками системы (1). Положение равновесия может быть как устойчивым, так и неустойчивым. Понятие устойчивости динамических систем имеет большое практическое значение и является одним из наиболее важных понятий. В частности, характер эволюции некоторой системы из состояния равновесия существенно зависит от того, каким это равновесие является: устойчивым или неустойчивым. В случае неустойчивого равновесия в результате

даже очень малых начальных отклонений система может быть отброшена от стационарного состояния, и движение станет либо очень сложным, либо система перейдет в другое стационарное состояние, весьма далекое от исходного. Поэтому важное значение имеет изучение характера устойчивости динамических систем.

Говорят, что система находится в положении *устойчивого равновесия* x^0 , если при малых отклонениях от него система останется вблизи x^0 при любых t . На математическом языке это утверждение формулируется следующим образом. Стационарная точка x^0 системы (1) называется устойчивой или, точнее, *устойчивой по Ляпунову*, если для любого $\epsilon > 0$ существует $\delta(\epsilon) > 0$ такое, что для всякого решения $x(t)$ той же системы, начальные значения которого удовлетворяют неравенству

$$\rho(x(t_0), x^0) < \delta(\epsilon), \quad (16.11)$$

для всех $t \geq t_0$ справедливо

$$\rho(x(t), x^0) < \epsilon. \quad (16.12)$$

Здесь $\rho(\dots)$ — расстояние между фазовыми точками с координатами $x(\cdot), x^0$.

Если же положение равновесия x^0 не только устойчиво, но, кроме того, удовлетворяет условию

$$\lim_{t \rightarrow \infty} \rho(x(t), x^0) = 0, \quad (16.13)$$

то стационарная точка x^0 в этом случае называется *асимптотически устойчивой*.

Предположим, что система (1) в некоторый момент времени t_0 находилась в состоянии $x(t_0)$, близком к состоянию равновесия:

$$x(t_0) = x^0 + \vec{\xi}(t), \quad (16.14)$$

где $\vec{\xi}(t)$ — малая по сравнению с x^0 величина. При каких условиях такая система и для $t > t_0$ останется вблизи x^0 , т.е. будет устойчивой? Ответ на этот вопрос дает *теорема Ляпунова об устойчивости по первому приближению*. Суть ее заключается в следующем. Рассмотрим систему (1) при условии (14). Тогда, переходя в (1) к переменной $\vec{\xi}(t)$ и разлагая правую часть в ряд, получаем

$$\dot{\xi}_i = v_i(x^0 + \vec{\xi}) = v_i(x^0) + \sum_k \frac{\partial v_i}{\partial x_k} \Big|_{x^0} \xi_k + R_i, \quad (16.15)$$

$$R_i = \frac{1}{2} \sum_{j, m} \frac{\partial^2 v_i}{\partial x_j \partial x_m} \Big|_{x^0} \xi_j \xi_m + \dots$$

Поскольку $v(x^0) = 0$, то уравнение (15) примет вид

$$\dot{\xi}_i = \sum_{k=1}^n \frac{\partial v_i}{\partial x_k} \Big|_{x^0} \xi_k + R_i. \quad (16.16)$$

Если теперь отбросить нелинейные члены, то вместо (1) получим линей-

ризованную систему

$$\dot{\xi}_i = \sum_{k=1}^n a_{ik} \xi_k, \quad (16.17)$$

где $a_{ik} = \partial v_i / \partial x_k |_{x^0}$ — элементы матрицы линеаризации A системы (1). Теорема Ляпунова утверждает, что если все собственные значения λ_i матрицы A удовлетворяют неравенству $\text{Re } \lambda_i < 0, i = 1, 2, \dots, n$, то положение равновесия x^0 исходной системы (1) асимптотически устойчиво. Если же среди всех собственных значений λ_i существует хотя бы одно такое, что $\text{Re } \lambda_k > 0$, то особая точка x^0 системы (1) является неустойчивой. Наконец, если среди λ_i встречаются такие, для которых $\text{Re } \lambda_k = 0$, то устойчивость положения равновесия x^0 нелинейной системы (1), вообще говоря, не может быть определена из анализа линеаризованной системы.

Собственные значения λ_i матрицы линеаризации A , как известно, определяются из соотношения $\det [a_{ik} - \lambda \delta_{ik}] = 0$, которое называется характеристическим уравнением матрицы A . Следовательно, изучение устойчивости стационарных точек системы сводится к алгебраической задаче на собственные значения и, в конечном счете, к исследованию корней характеристического уравнения.

Рассмотрим в качестве иллюстрации систему двух дифференциальных уравнений

$$\dot{x} = v_1(x, y), \quad \dot{y} = v_2(x, y). \quad (16.18)$$

В зависимости от значения ее характеристических чисел λ_i особые точки такой системы могут быть только четырех различных типов.

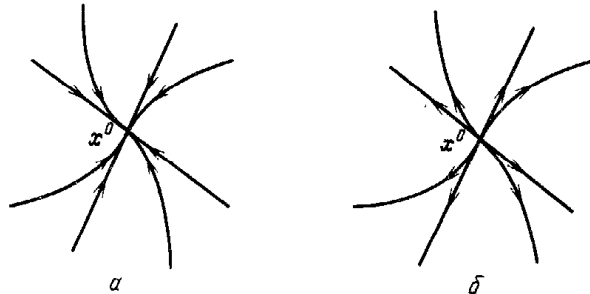


Рис. 2.18. Устойчивый (а) и неустойчивый (б) узлы

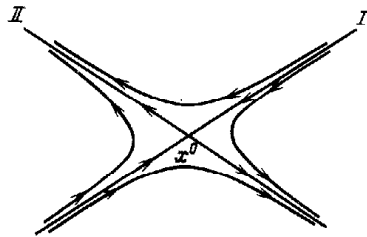


Рис. 2.19. Седловая точка

1. Корни λ_1 и λ_2 характеристического уравнения действительные и одного знака. Особая точка системы называется *узлом* (рис. 2.18).

2. Корни λ_1 и λ_2 действительные и разных знаков. Такая неустойчивая стационарная точка системы называется *седлом* (рис. 2.19). Траектории I и II, проходящие через седло, называются *сепаратрисами*.

3. Корни λ_1 и λ_2 характеристического уравнения — комплексно-сопряженные (но не чисто мнимые). В этом случае особая точка называется *фокусом* (рис. 2.20).

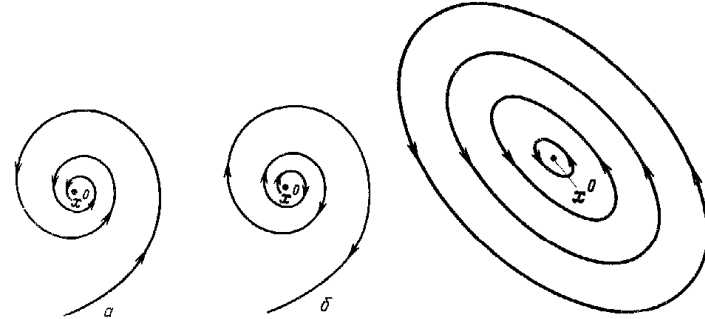


Рис. 2.20. Устойчивый (а) и неустойчивый (б) фокусы

Рис. 2.21. Центр

4. Корни λ_1 и λ_2 чисто мнимые. Этот случай встречается только в консервативных (но не диссипативных) системах. Особая точка называется *центром* (рис. 2.21).

Кроме перечисленных в многомерных системах встречаются и более сложные типы стационарных точек. Например, возможны комбинации 1-го и 2-го, а также 2-го и 3-го типов. Особые точки в этих случаях называются соответственно *седло-узел* (рис. 2.22) и *седло-фокус* (рис. 2.23).

Нетрудно заметить, что притягивающие особые точки, такие как устойчивый узел и устойчивый фокус, являются аттракторами. Но аттракторами в диссипативных системах могут быть не только устойчивые стационарные точки, но и замкнутые фазовые кривые, соответствующие периодическому движению. Такие изолированные замкнутые траектории называются *предельными циклами*. Устойчивые предельные циклы являются аттракторами. Они обладают тем свойством, что в их достаточной окрестности нет других замкнутых траекторий, а все остальные фазовые кривые из этой окрестности наматываются на эту единственную замкнутую траекторию (рис. 2.24а). Если все траектории сматываются с предельного цикла, то он является абсолютно неустойчивым (рис. 2.24б). В этом случае предельный цикл, очевидно, не будет аттрактором.

Исследование периодического движения на устойчивость можно проводить двумя способами.

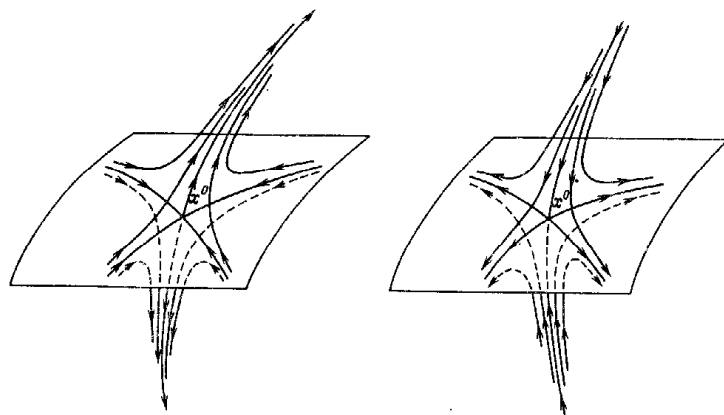


Рис. 2.22. Стационарная точка x^0 типа седло-узел

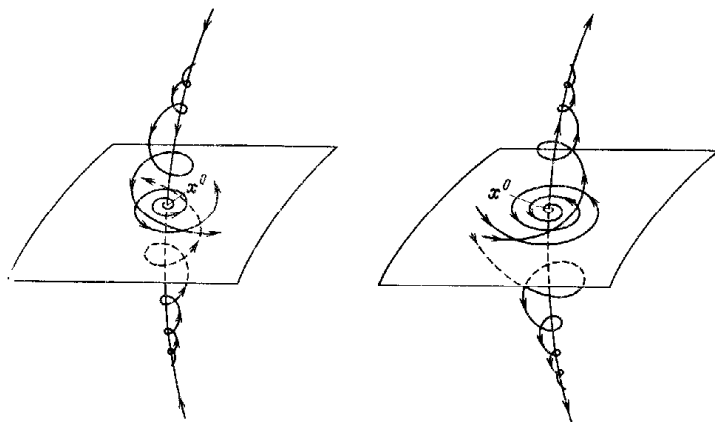


Рис. 2.23. Стационарная точка x^0 типа седло-фокус

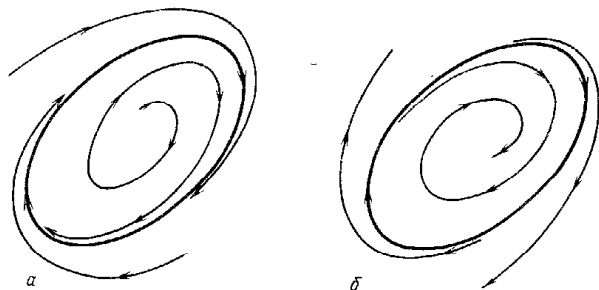


Рис. 2.24. Устойчивый (а) и неустойчивый (б) предельный циклы

Первый способ – перейти от системы дифференциальных уравнений (1) к отображению Пуанкаре и изучать устойчивость на основании полученного отображения. Тогда замкнутой фазовой кривой – предельному циклу γ динамической системы – ставится в соответствие неподвижная точка x^* отображения (рис. 2.25), и анализ устойчивости предельного цикла сводится к анализу устойчивости неподвижной точки. Рассмотрение этого вопроса мы отложим до § 19, где подробно исследуются точечные отображения.

Второй способ основан на вычислении показателей Флоке. Показатели Флоке определяются следующим образом. Пусть $x(t)$ – периодическое решение системы с периодом T : $x(t) = x(t + T)$. Рассмотрим малое возмущение такого решения в некоторый момент времени t_0 ,

$$\tilde{x}(t_0) = x(t_0) + \tilde{\xi}(t_0), \quad (16.19)$$

и проследим, при каких условиях из малости $\tilde{\xi}(t_0)$ вытекает малость $\tilde{\xi}(t)$ при $t > t_0$. Подставив (19) в исходную систему (1), разложив функцию v вблизи значений $x(t)$ в ряд по степеням ξ и оставив в разложении члены, содержащие ξ в степени не выше первой, получим линейную систему дифференциальных уравнений первого приближения с периодическими коэффициентами:

$$\dot{\xi}_i = \sum_{k=1}^n a_{ik}(t) \xi_k(t), \quad (16.20)$$

$$a_{ik}(t) = \left. \frac{\partial v_i}{\partial x_i} \right|_{x(t)}, \quad a_{ik}(t) = a_{ik}(t + T).$$

Общее решение линейной системы (20) можно записать как

$$\xi_i(t) = \sum_{j=1}^n C_j f_{ij}(t) e^{\alpha_j t}, \quad i = 1, 2, \dots, n, \quad (16.21)$$

где C_j – постоянные интегрирования, f_{ij} – периодические функции периода T , а α_j – постоянные, вообще говоря, комплексные величины, называемые *показателями Флоке*. Нетрудно доказать [7, 35], что для автономных динамических систем (1) действительная часть хотя бы одного из показателей Флоке обращается в нуль. Периодическое движение $x(t)$ является устойчивым, если $\text{Re} \alpha_j < 0$ при всех $j = 1, 2, \dots, n - 1$. Если действительная часть хотя бы одного из α_j положительная, $\text{Re} \alpha_m > 0$, то периодическое движение неустойчиво. Если же среди действительных частей α_j существуют две или более нулевых, а остальные отрицательные, то по уравнениям первого приближения нельзя судить об устойчивости периодического движения. Замкнутые траектории γ , для которых действительные части показателей Флоке имеют разные знаки, называются *седловыми*. Они характеризуются тем, что при $t \rightarrow \infty$ одни фазовые кривые динамической системы, находящиеся вблизи седловой траектории, будут наматываться на нее, образуя *устойчивое многообразие* W^s седловой траектории γ , а другие – смагиваться с нее, образуя *неустойчивое многообразие* W^{u*}).

*) Индексы s и u происходят от английских слов stable – устойчивый и unstable – неустойчивый.

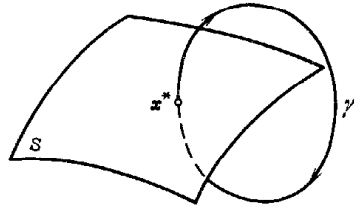


Рис. 2.25. Предельный цикл γ и соответствующая неподвижная точка x^* отображения Пуанкаре

(рис. 2.26). Очевидно, что седловые замкнутые кривые не являются аттракторами.

В двумерных диссипативных динамических системах, поскольку фазовые траектории не могут пересекаться, возможны аттракторы только двух типов: устойчивые стационарные точки и устойчивые предельные циклы. Однако для систем с размерностью фазового пространства $n = 3$ динамика уже не исчерпывается этими двумя простыми случаями. Кроме стационарных точек и предельных циклов в таких системах могут существовать и более сложные аттракторы, в частности *двумерные инвариантные торы*, отвечающие квазипериодическому движению с двумя рационально независимыми частотами.

В многомерных системах $n > 3$ возможно возникновение еще более сложного квазипериодического движения, когда в фазовом пространстве рождаются торы более высокой размерности. Но в общем случае многомерные притягивающие торы являются неустойчивыми и под действием всегда присутствующих в динамической системе возмущений разрушаются. Кроме того, возникновению режима движения с большим числом несоизмеримых частот препятствует явление, называемое *синхронизацией* колебаний (см. [75, § 30]). Синхронизация может происходить несколькими способами и заключается в том, что в многомерных системах колебания с независимыми частотами сложным образом влияют друг на друга, что приводит к исчезновению квазипериодического и установлению периодического режима движения с соизмеримыми частотами, т.е. предельному циклу на торе. По этим причинам появление многомерных торов в фазовом пространстве диссипативных динамических систем не является случаем общего положения, т.е. это скорее исключение, чем правило.

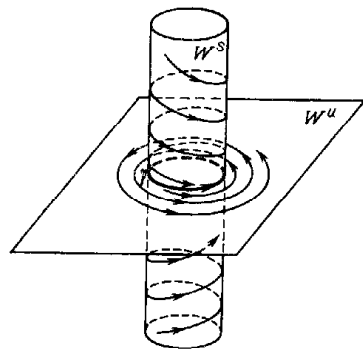


Рис. 2.26. Устойчивое W^s и неустойчивое W^u многообразия седлового предельного цикла [38]

Исследовать квазипериодическое движение на устойчивость значительно сложнее, чем периодическое, и для произвольных систем аналитическое рассмотрение, аналогичное анализу устойчивости периодического движения, возможно далеко не всегда. Однако имеется подход, основанный на применении отображения Пуанкаре. Рассечем тор некоторой поверхностью S без контакта так, чтобы в сечении получилась инвариантная замкнутая кривая γ . Тогда при некоторых условиях [93, 95] отображение последования в окрестности γ может быть рассмотрено как отображение сдвига (см. § 15), т.е. на секущей S представлено дифференциальными уравнениями.

Периодическому решению этих уравнений будет соответствовать замкнутая кривая γ , и исследование устойчивости исходного тора сводится к уже рассмотренной ранее задаче — задаче об устойчивости периодического движения.

Наглядный пример использования подобной процедуры для системы, обладающей высокой степенью симметрии, приведен в [114]. Но если изучаемая система достаточно сложна, то применение указанных методов становится чрезвычайно громоздким, если вообще возможным, и, как правило, наталкивается на непреодолимые трудности. Поэтому в настоящее время широко используются численные методы при исследовании устойчивости квазипериодического движения диссипативных динамических систем.

Все перечисленные аттракторы — устойчивые стационарные точки, устойчивые предельные циклы и инвариантные торы — называются *простыми аттракторами*, поскольку динамика систем с такими аттракторами не является хаотической и носит, самое сложное, эргодический характер. Простые аттракторы являются подмногообразиями фазового пространства динамических систем. (Подмногообразием пространства M называют всякое подмножество W в пространстве M' ($M' \subseteq M$) такое, что локально оно выглядит как "кусочек" пространства M' и имеет в каждой точке единственную касательную гипершоскость, т.е. W вложено в M гладко. Например, предельный цикл и двумерный инвариантный тор — это соответственно одномерное и двумерное подмногообразия.) Но в диссипативных динамических системах, размерность фазового пространства которых $n \geq 3$, могут существовать ограниченные притягивающие множества, которые являются аттракторами и одновременно не являются подмногообразиями. Такие аттракторы, отличные, в том числе, и от конечного объединения подмногообразий фазового пространства, называются *странными аттракторами* [22]. Термин "странный аттрактор" был введен Д. Рюэлем и Ф. Такенсом в [101] и означал аттрактор, отличный от стационарной точки и предельного цикла.

Сжатие фазового объема диссипативной динамической системы приводит к тому, что фазовые кривые с течением времени стягиваются к предельному множеству — странному аттрактору и, попав в область, занятую им, остаются там навсегда. На самом же аттракторе движение является неустойчивым: любые две траектории системы расходятся экспоненциально быстро, оставаясь, разумеется, на странном аттракторе. Иначе говоря, поведение системы со странным аттрактором характеризуется сочетанием

глобального сжатия фазового объема с локальной неустойчивостью фазовых траекторий.

Поскольку фазовые кривые на странном аттракторе расходятся, то динамика системы с таким аттрактором во многом аналогична динамике в ограниченном объеме гамильтоновой системы с перемешиванием, т.е. является хаотической. Математическим образом такого хаотического движения в диссипативных динамических системах и служит странный аттрактор. При этом малые возмущения системы хотя и могут изменить структуру странного аттрактора, но не разрушают его: для всех близких динамических систем движение будет хаотическим.

Заметим, что в физической литературе странным аттрактором называют иногда также притягивающие предельные множества, содержащие одновременно с неустойчивыми и устойчивые периодические траектории, но с очень малыми областями притяжения. За счет флуктуаций фазовая кривая системы перескакивает с одной устойчивой траектории на другую; вследствие этого при численных расчетах или в эксперименте движение выглядит хаотическим. Для таких странных аттракторов был предложен термин *квазиаттракторы* [24, 125, 126].

Приведем достаточно простую систему, обладающую странным аттрактором. Это — известная *система Лоренца* [79]. Она была предложена в работе Б. Зальцмана [267] и представляет собой систему обыкновенных дифференциальных уравнений, которая получается из уравнений гидродинамики в задаче о термоконвекции в подогреваемом снизу горизонтальном слое жидкости:

$$\dot{x} = \sigma y - \sigma x, \quad \dot{y} = rx - y - xz, \quad \dot{z} = xy - bz. \quad (16.22)$$

Здесь σ — число Прандтля, r — приведенное число Рейлея, b — постоянная, характеризующая размеры физической системы. Исторически уравнения Лоренца явились первой динамической системой, в которой было доказано наличие странного аттрактора. Нас эта система в основном будет интересовать как модельный пример, изучая который, можно понять, что такое странный аттрактор и как он может появиться.

Перечислим сначала ряд общих свойств модели Лоренца.

Дивергенция системы (22)

$$\sum_{i=1}^3 \frac{\partial v_i}{\partial x_i} = -(b + \sigma + 1) < 0. \quad (16.23)$$

Следовательно, фазовый объем со временем постоянно сжимается, т.е. система Лоренца является диссипативной. Можно показать [35, 79], что система (22) не допускает интегральных кривых, уходящих на бесконечность, т.е. любое решение (22) в конце концов попадает в шар:

$$x^2 + y^2 + z^2 < R^2, \quad R = R(\sigma, r, b), \quad (16.24)$$

и остается там при любых $t > 0$.

Система Лоренца симметрична относительно замены переменных $x \rightarrow -x$, $y \rightarrow -y$, $z \rightarrow z$, следовательно, ее фазовый портрет симметричен относительно оси z . Данное свойство уравнений Лоренца облегчает численное исследование системы (22).

Опишем теперь изменение режимов движения в системе (22) в зависимости от значений ее параметров r , σ и b .

1. Положение равновесия — стационарные точки системы Лоренца — находятся из уравнений

$$\sigma y - \sigma x = 0, \quad rx - y - xz = 0, \quad xy - bz = 0. \quad (16.25)$$

Начало координат, т.е. точка $O(x=y=z=0)$, является стационарной точкой при любых r , σ и b . Ее характеристическое уравнение имеет вид

$$[\lambda^2 + (\sigma + 1)\lambda + \sigma(1 - r)](\lambda + b) = 0. \quad (16.26)$$

Следовательно, точка O устойчива и является устойчивым узлом, если $r < 1$.

2. Когда $r > 1$, точка O теряет устойчивость, превращается в седло-узел, и в системе возникают еще две стационарные точки:

$$O_1(x, y, z) = ([b(r-1)]^{1/2}, [b(r-1)]^{1/2}, (r-1)), \\ O_2(x, y, z) = (-[b(r-1)]^{1/2}, -[b(r-1)]^{1/2}, (r-1)).$$

При всех $r > 1$ система (22) имеет только эти три стационарные точки: O , O_1 и O_2 . Тип точек O_1 и O_2 определяется из характеристического уравнения

$$\lambda^3 + (\sigma + b + 1)\lambda^2 + (r + \sigma)b\lambda + 2\sigma b(r-1) = 0. \quad (16.27)$$

Отсюда находим, что O_1 и O_2 устойчивы, если $\sigma > b + 1$ и

$$1 < r < r^* = \sigma(\sigma + b + 3)/(\sigma - b - 1). \quad (16.28)$$

При $r > r^*$ точки O_1 и O_2 становятся неустойчивыми. В этом случае характеристическое уравнение (27) имеет один действительный отрицательный корень и два комплексно-сопряженных с положительной действительной частью, т.е. точки O_1 и O_2 будут стационарными точками типа седло-фокус.

Для дальнейшего изучения поведения траекторий требуется численное интегрирование уравнений (22), поскольку локальный анализ окрестностей неустойчивых стационарных точек O , O_1 и O_2 не дает сведений о характере движения в системе Лоренца.

Численное исследование системы Лоренца было выполнено многими авторами (сводка результатов имеется в [37, 95, 118, 272]). Следуя [118], рассмотрим эволюцию режимов движения в уравнениях (22) при $\sigma = 10$, $b = 8/3$ и $10 \leq r \leq 28$.

1. При $10 \leq r < r_1 \approx 13,926$ система имеет три состояния равновесия: O , O_1 и O_2 . Точка O неустойчива и представляет собой точку типа седло-узел, имеющую двумерное устойчивое многообразие W^s и две выходящие кривые (сепаратрисы) Γ_1 и Γ_2 . Две другие стационарные точки, O_1 и O_2 , являются устойчивыми. Характер поведения фазовых траекторий для этого случая представлен на рис. 2.27.

2. Когда $r = r_1 \approx 13,926$, каждая из кривых Γ_1 и Γ_2 превращается в замкнутую петлю; при этом точки O_1 и O_2 остаются устойчивыми (рис. 2.28).

3. $r_1 < r < r_2 \approx 24,06$. В этой ситуации точки O_1 и O_2 по-прежнему являются устойчивыми, а от каждой из замкнутых петель Γ_1 и Γ_2 рождается по седловой периодической траектории L_1 и L_2 . Сепаратрисы Γ_1 и Γ_2 стремятся теперь соответственно к точкам O_2 и O_1 . Кроме того,

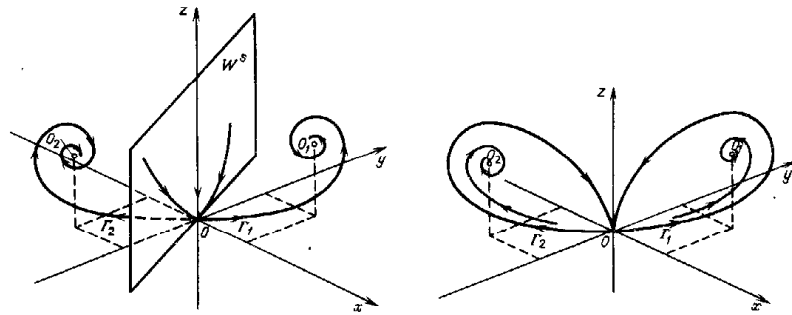


Рис. 2.27. Фазовый портрет системы Лоренца при $\sigma = 10$; $b = 8/3$, $10 < r < 13,926$

Рис. 2.28. Фазовый портрет системы Лоренца при $\sigma = 10$, $b = 8/3$ и $r = 13,926$

появляются кривые, идущие от седлового предельного цикла L_1 к L_2 и от L_2 к L_1 . Эти кривые образуют одномерное множество B_1 , но это множество не является притягивающим и, следовательно, аттрактором. Устойчивые многообразия седловых периодических траекторий L_1 и L_2 являются границами областей притяжения стационарных точек O_1 и O_2 . Фазовая кривая, начавшаяся вне этих областей, может совершать колебания из окрестности L_1 в окрестность L_2 и обратно, пока не попадет в область притяжения одного из аттракторов O_1 или O_2 , причем по мере приближения параметра r к значению r_2 число колебаний существенно возрастает [45, 56]. Такое поведение системы называют *метастабильным хаосом* [56]. Общий вид основных элементов фазового портрета системы Лоренца для этого случая показан на рис. 2.29а, а его проекция на координатную плоскость (x, z) — на рис. 2.29б.

4. При $r = r_2 \approx 24,06$ стационарные точки O_2 и O_1 , согласно (28), еще являются устойчивыми, но сепаратрисы Γ_1 и Γ_2 уже не стремятся к ним, а наматываются на седловые траектории L_2 и L_1 соответственно (рис. 2.30). Теперь на месте B_1 возникает множество B_2 , которое при $r > r_2$ становится устойчивым и притягивающим.

5. $r_2 < r < r_3 \approx 24,74$. В этом интервале точки O_1 и O_2 (см. (28)) по-прежнему устойчивы. Однако кроме них в фазовом пространстве системы имеется предельное множество B_2 , называемое *аттрактором Лоренца*. Множество B_2 представляет собой совокупность интегральных кривых, идущих от L_1 к L_2 и обратно; кроме них, B_2 содержит седловую точку O и ее сепаратрисы Γ_1 и Γ_2 .

Таким образом, при $r \in (r_2, r_3)$ в системе Лоренца имеются три аттрактора: стационарные точки O_1 и O_2 и аттрактор Лоренца B_2 . Область притяжения B_2 ограничена устойчивыми многообразиями седловых предельных циклов L_1 и L_2 (рис. 2.31). Фазовые траектории системы в зависимости от начальных условий с течением времени стремятся либо к точке O_1 , либо к точке O_2 , либо совершают колебания, случайным образом переходя от вращения вокруг точки O_1 к вращению вокруг точки O_2 и обратно. Следовательно, в зависимости от начальных условий в этом

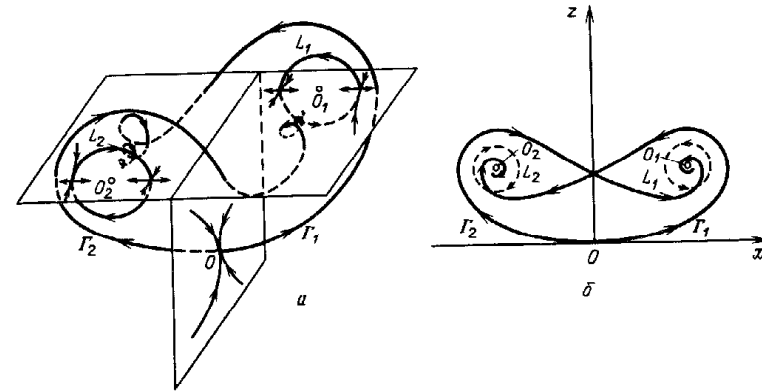


Рис. 2.29. Основные элементы фазового портрета системы Лоренца при $\sigma = 10$, $b = 8/3$ и $13,926 < r < 24,06$ (а) [95] и его проекция на координатную плоскость (x, z) (б) [118]

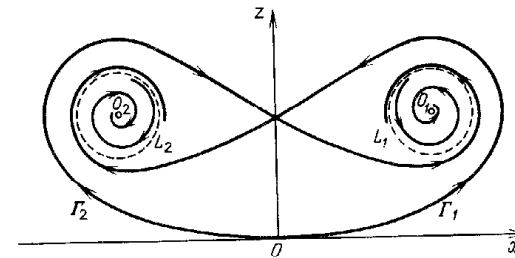


Рис. 2.30. Проекция фазового портрета системы Лоренца на координатную плоскость (x, z) при $\sigma = 10$, $b = 8/3$, $r = 24,06$

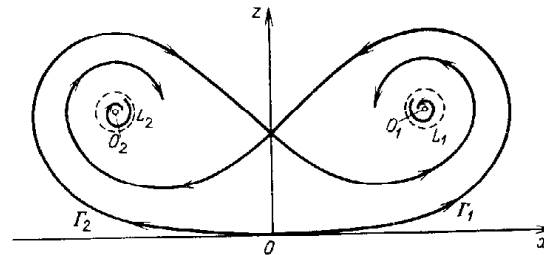


Рис. 2.31. Проекция фазового портрета системы Лоренца на координатную плоскость (x, z) при $\sigma = 10$, $b = 8/3$ и $24,06 < r < 24,74$

случае в системе (22) могут реализоваться существенно различные режимы движения: стационарный или хаотический.

6. Когда $r \rightarrow r_3 \approx 24,74$, седловые предельные циклы L_1 и L_2 стягиваются соответственно к стационарным точкам O_1 и O_2 и при $r = r_3$ исчезают, сливаясь с ними. В этот момент точки O_1 и O_2 , согласно (28), становятся неустойчивыми.

7. В интервале $r_3 < r \leq r_4 = 28$ все стационарные точки O , O_1 и O_2 являются неустойчивыми. Единственным устойчивым предельным множеством — аттрактором — будет B_2 , т.е. аттрактор Лоренца (рис. 2.32). Следовательно, в динамической системе при любых (кроме множества меры нуль) начальных условиях реализуется хаотический режим движения.

Чтобы лучше представить себе, что происходит при таком движении, обратимся к модели, предложенной Лоренцом [45, 79]. Эта модель представляет собой ветвящуюся поверхность S , расположенную близко к вертикальной плоскости $x = y$, содержащую неподвижные точки O_1 и O_2 и симметричную относительно оси z (рис. 2.33). Фазовая траектория, начавшаяся слева от линии Oz , разделяющей поверхность S , будет оборачиваться вокруг точки O_1 по часовой стрелке, раскручиваясь по спирали до тех пор, пока не пересечет Oz , после чего начнет оборачиваться вокруг точки O_2 , но в противоположном направлении (против часовой стрелки). Фазовая траектория будет продолжать раскручиваться от точки O_2 до того момента, пока снова не пересечет линию Oz . Теперь вращение будет происходить вокруг точки O_1 , и т.д. При этом последовательные числа

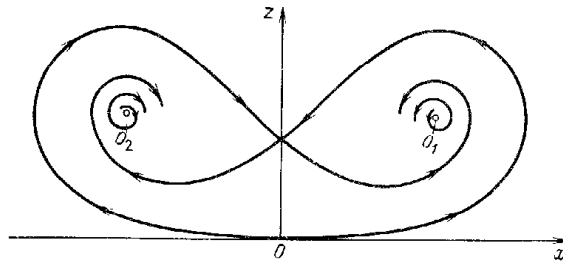


Рис. 2.32. Проекция фазового портрета системы Лоренца на координатную плоскость (x, z) при $\sigma = 10$, $b = 8/3$, $24,74 < r \leq 28$

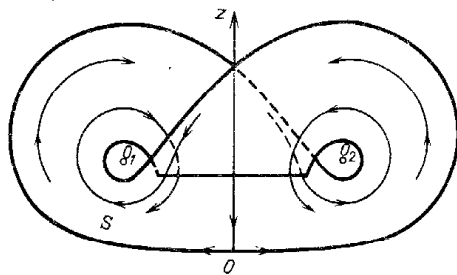


Рис. 2.33. Модель аттрактора Лоренца

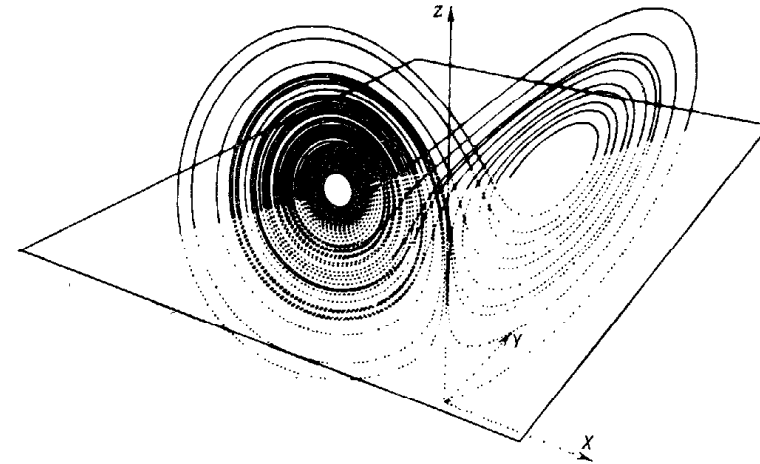


Рис. 2.34. Хаотическая траектория на аттракторе Лоренца при $\sigma = 10$, $b = 8/3$ и $r = 28$. Плоскость (x, y) соответствует $z = 27$ [76]

оборотов относительно точек O_1 и O_2 изменяются нерегулярным образом, и движение выглядит хаотическим.

Заметим, что описанная картина не может быть точной, поскольку траектории, расположенные на поверхности S , могут пересекаться. Поэтому, вообще говоря, аттрактор должен состоять из бесконечного числа листов, связанных вместе и тесно прижатых друг к другу, причем отдельные листы не сливаются, а отстоят один от другого на очень малое расстояние. Фазовая траектория будет расположена на такой бесконечно ветвящейся поверхности, которая и называется аттрактором Лоренца.

Результат численного интегрирования уравнений Лоренца (22) показан на рис. 2.34 [76]. Хаотическая траектория аттрактора просчитывалась при $\sigma = 10$, $b = 8/3$, $r = 28$ и начальных условиях $x(0) = y(0) = z(0) = 0$.

Описанный аттрактор не является ни двумерной поверхностью, ни склеенным двумерным многообразием. Более того, поверхность, проходящая через такой аттрактор, пересекается траекториями в точках, образующих множество, известное в математике как канторово множество (см. § 18).

В заключение этого примера отметим, что хаотический режим движения в системе Лоренца имеет место и при $r > r_4 = 28$ ($\sigma = 10$, $b = 8/3$) вплоть до значения $r \approx 148,4$, когда в фазовом пространстве странный аттрактор сменяется предельным циклом. Движение в этом случае становится периодическим.

Другой хорошо известный пример притягивающего предельного множества, сочетающего в себе свойство локальной неустойчивости с общим сжатием фазового объема, — *соленоид Смейла-Вильямса* [107, 286]. Этот пример носит модельный характер: аттракторы такого типа, по-видимому, не встречаются в физических системах, хотя во многих отношениях являются похожими на них.

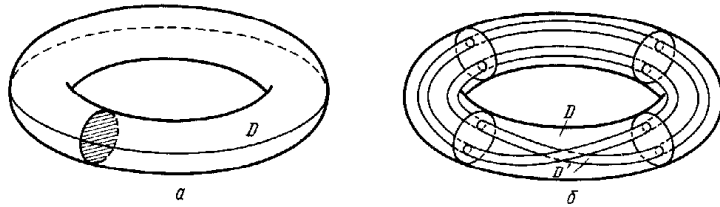


Рис. 2.35. Построение соленоида Смейла – Вильямса

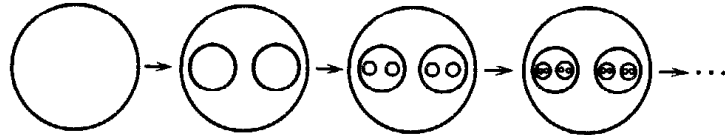


Рис. 2.36. Иерархия структур, возникающая при построении соленоида Смейла – Вильямса (в сечении)

Соленоид Смейла–Вильямса строится в пространстве размерности три или больше. Рассмотрим тороидальную область D , т.е. внутренность двумерного тора (рис. 2.35а). Растянем ее, сожмем вдоль меридиана, затем перекрутим и изогнем так, чтобы она перешла в область D' , лежащую в D (рис. 2.35б) [107]. Следующее действие состоит в применении аналогичного преобразования к области D' . Тогда получим область D'' , расположенную в D' , и т.д. В результате бесконечной последовательности таких преобразований в сечении тороидальной области вертикальной плоскостью получим иерархию структур, типа изображенных на рис. 2.36. При этом первоначально соседствующие точки будут расходиться экспоненциально быстро [95], а объем исходной области D стремиться к нулю. Однако возникающее предельное множество – бесконечно тонкая линия, "протыкающая" секущую плоскость неограниченное число раз, не замкнется и не уйдет на бесконечность.

Таким образом, суммируя изложенное, можно сделать вывод, что не только простые консервативные, но и совсем несложные диссипативные динамические системы (например, система Лоренца), размерность фазового пространства которых больше или равна трем, могут иметь наряду с регулярными и очень сложные, хаотические режимы движения. Математическим образом такого хаотического поведения диссипативных систем является притягивающее множество сложной структуры – странный аттрактор. Естественно поэтому теперь перейти к определению некоторых критериев отличия регулярных движений от хаотических.

§ 17. Критерии динамического хаоса

Итак, аттракторы диссипативных динамических систем могут быть нескольких типов: устойчивая стационарная точка, устойчивый предельный цикл, инвариантный тор (все они относятся к простым аттракторам) и странный аттрактор. Простому аттрактору соответствует регулярное движение системы (например, инвариантному тору – квазипериодическое движение); напротив, динамика систем со странным аттрактором является хаотической. Как видно, существует принципиальная разница в поведении систем со странными и простыми аттракторами. Поэтому необходимо иметь критерии, позволяющие отличать аттракторы одного типа от аттракторов другого типа. Не менее важно, чтобы такие критерии давали возможность различать регулярное и хаотическое движение и в случае гамильтоновых систем, т.е. систем, не имеющих аттракторов (см. § 14). Поскольку хаотичность является следствием неустойчивости фазовых траекторий, так что близкие в фазовом пространстве интегральные кривые с течением времени расходятся, то представляется вполне естественным в качестве такого критерия выбрать именно меру разбегания фазовых кривых динамической системы.

Пусть, как и прежде, некоторая динамическая система задается обыкновенными дифференциальными уравнениями

$$\dot{x} = v(x), \quad x(0) = x_0. \quad (17.1)$$

Рассмотрим в фазовом пространстве в начальный момент времени $t = 0$ две близкие фазовые точки $x_1(0)$ и $x_2(0)$, "выпустим" из них траектории и проследим, как при эволюции системы ($t > 0$) будет изменяться расстояние $d(t) = |\xi(t)| = |x_2(t) - x_1(t)|$ между этими точками. Тогда если режим движения является хаотическим, $d(t)$ с течением времени будет экспоненциально возрастать, так что на больших временах

$$d(t) \approx d(0) e^{kt}. \quad (17.2)$$

Отсюда найдем среднюю скорость экспоненциального разбегания траекторий

$$k \approx r^{-1} \ln [d(t)/d(0)]. \quad (17.3)$$

Но это определение, вообще говоря, не является приемлемым. В самом деле, при финитности движения (а только такое движение мы и рассматриваем) $d(t)$ не может увеличиваться всегда. Поэтому при больших t величина (3) в любом случае независимо от режима – хаотического или регулярного – будет близка к нулю. Однако, чем меньше мы выберем начальное расстояние $d(0) = |\xi(0)|$, тем дольше можно следить за возрастанием $d(t)$, т.е. в течение большего промежутка времени величина $d(t)$, согласно (3), не достигнет максимального значения. Следовательно, в формуле (3) необходимо положить $d(0) \rightarrow 0$ и $t \rightarrow \infty$:

$$h = \lim_{\substack{d(0) \rightarrow 0 \\ t \rightarrow \infty}} t^{-1} \ln [d(t)/d(0)]. \quad (17.4)$$

Величину h в физической литературе часто называют *энтропией Колмогорова – Синая*, или *КС-энтропией* (см., например, [2]). Используя КС-энтропию, можно определить, каким является исследуемый режим движения –

хаотическим или регулярным. В частности, если динамика системы является периодической или квазипериодической, то с течением времени расстояние $d(t)$ не возрастает, так что значение энтропии равно нулю, $h = 0$. Если движению системы отвечает устойчивая стационарная точка, то $d(t) \rightarrow 0$ и $h < 0$. Однако в случае хаотического поведения КС-энтропия всегда положительна, $h > 0$.

Энтропия h (4) — величина размерная ($[h] = c^{-1}$) и по существу является не только качественной, но и количественной характеристикой режима движения: величина, обратная энтропии (при условии $h > 0$), определяет характерное время перемешивания $t_{\text{mix}} = h^{-1}$ в системе; по прошествии промежутка времени $t \gg t_{\text{mix}}$ начальная область Ω_0 расплывается по всей энергетически доступной гиперповерхности (в отсутствие диссипации, см. § 15) или по предельному подмножеству фазового пространства — странному аттрактору (для диссипативных динамических систем); при $t \gg t_{\text{mix}}$ описание системы может быть только вероятностным. Однако на малых временах $t \ll t_{\text{mix}}$ поведение системы можно предсказать с достаточной точностью (не превышающей, естественно, точность ϵ задания начального положения фазовой точки).

Таким образом, КС-энтропия, определяемая (4), является важной характеристикой динамической системы, и в настоящее время она широко используется в качестве критерия хаотичности движения. Подробно с методами численных расчетов величины h можно познакомиться в [133, 135, 184].

На первый взгляд, в определении (4) есть некоторая неясность. В самом деле, не может ли зависеть значение предела от того, как мы выбрали направление начального смещения $\vec{\xi}(0)$? Как будет показано ниже, хотя такая зависимость в принципе и есть, она несущественна: если мы выбираем вектор начального смещения *случайно*, то получаемое предельное значение h (4) будет практически всегда одним и тем же.

Вообще говоря, значение h может зависеть и от выбора начальной точки траектории $x_1(0)$. Дело в том, что динамическая система может одновременно обладать несколькими аттракторами со своими областями притяжения, и в зависимости от того, в какой области притяжения окажется $x_1(0)$, мы будем получать различные значения величины h . Например, система Лоренца (16.22) при $\sigma = 10$, $b = 8/3$ и r в интервале от 24,06 до 24,74 имеет один странный и два простых аттрактора. Не исключены и случаи, когда в фазовом пространстве некоторой динамической системы могут присутствовать сразу несколько странных аттракторов.

В сущности, величина h , определяемая по формуле (4), не является истинной энтропией Колмогорова — Синая, введенной в [62, 63, 103] для характеристики свойств динамических систем. В строгом смысле используемая в физической литературе величина h — это максимальный из характеристических показателей Ляпунова. Поскольку характеристические показатели Ляпунова играют важную роль в теории динамических систем и тесно связаны с другими критериями хаотического движения (см. § 18), мы приведем их определение и поясним физический смысл этих характеристик.

Возьмем фазовую траекторию $x(t)$ динамической системы (1), выходящую из точки $x(0)$, а также какую-то траекторию, близкую к ней:

$x_1(t) = x(t) + \vec{\xi}(t)$. Рассмотрим функцию

$$\Lambda(\vec{\xi}(0)) = \lim_{t \rightarrow \infty} t^{-1} \ln(|\vec{\xi}(t)|/|\vec{\xi}(0)|), \quad (17.5)$$

определенную на векторах начального смещения $\vec{\xi}(0)$ таких, что $|\vec{\xi}(0)| = \epsilon$, где $\epsilon \rightarrow 0$.

Мы утверждаем, что при всевозможных поворотах вектора $\vec{\xi}(0)$ функция Λ будет меняться скачками и принимать конечный ряд значений $\{\lambda_j\}$, $j = 1, 2, \dots, n$. Эти значения называют (глобальными) *показателями Ляпунова*.

Поясним теперь смысл предложенного определения. Если с течением времени исходная $x(t)$ и возмущенная $x_1(t)$ траектории остаются близкими, то изменение $\xi(t)$ подчиняется линеаризованному уравнению

$$\dot{\xi} = A\xi, \quad (17.6)$$

где A — матрица с элементами

$$a_{ik} = \partial v_i / \partial x_k |_{x(t)}. \quad (17.7)$$

Вообще говоря, матрица A зависит от времени, $A = A(t)$. Однако вначале для простоты мы рассмотрим случай, когда она является постоянной. Предположим также, что все собственные значения матрицы A действительные. Тогда общее решение линейного уравнения (6) имеет вид

$$\vec{\xi}(t) = \sum_j C_j e_j \exp(\lambda_j t), \quad (17.8)$$

где C_j — постоянные интегрирования, определяемые из начальных условий, а e_j — собственные векторы, отвечающие различным собственным значениям λ_j матрицы A . Каждый собственный вектор e_j задает инвариантное направление в пространстве всех векторов $\vec{\xi}$. Если вектор начального смещения $\vec{\xi}(0)$ направлен вдоль одного из векторов e_j , то тогда $\vec{\xi}(t)$ остается параллельным ему, и с течением времени расстояние между траекториями возрастает или убывает по экспоненциальному закону: $|\vec{\xi}(t)| \sim \exp(\lambda_j t)$. При таком выборе вектора начального смещения $\vec{\xi}(0)$ имеем

$$\Lambda(\vec{\xi}(0)) = \lambda_j. \quad (17.9)$$

В общем случае вектор начального смещения $\vec{\xi}(0)$ имеет составляющие вдоль нескольких или всех векторов e_j (рис. 2.37). Поэтому при больших временах изменение расстояния между двумя траекториями $|\vec{\xi}(t)|$ определяется, как видно из (8), слагаемым с наибольшей экспонентой в разложении вектора $\vec{\xi}(t)$. В зависимости от того, какие именно собственные векторы e_j присутствуют в разложении вектора начального смещения $\vec{\xi}(0)$, доминирующая экспонента будет различна. Однако всегда на достаточно больших временах расстояние $|\vec{\xi}(t)|$ пропорционально какой-либо из экспонент $\exp(\lambda_j)$, а, следовательно, функция $\Lambda(\vec{\xi}(0))$ может принимать значения, равные только λ_j , и при повороте вектора $\vec{\xi}(0)$ могут происходить только скачкообразные изменения функции $\Lambda(\vec{\xi}(0))$.

Кроме действительных, матрица A (см. (6)) может иметь и комплексные собственные значения, которые мы обозначим α . Поскольку матрица A действительная, то наряду с собственными значениями $\alpha = \lambda + i\omega$ обязательно есть и комплексно-сопряженные собственные значе-

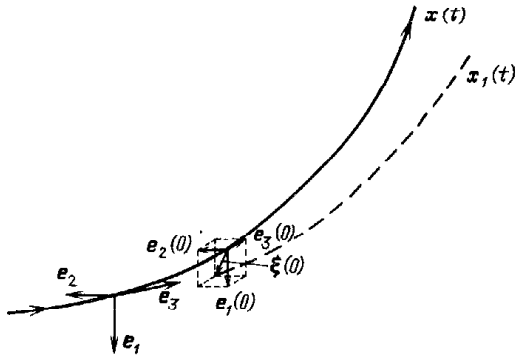


Рис. 2.37. Близкие фазовые траектории $x(t)$ и $x_1(t)$, принадлежащие странному аттрактору

ния $\alpha^* = \lambda - i\omega$. Этой паре комплексно-сопряженных собственных значений отвечает некоторая инвариантная плоскость, задаваемая двумя векторами e и e' . На этой плоскости решение системы (6) имеет вид

$$\vec{\xi}(t) = (C e \cos \omega t + C e' \sin \omega t) \exp(\lambda t). \quad (17.10)$$

Следовательно, если выбрать начальное смещение $\vec{\xi}(0)$ принадлежащим этой плоскости, то в среднем по времени расстояние между траекториями меняется по закону $|\xi(t)| \sim \exp(\lambda t)$. и согласно формуле (5) мы получаем $\Lambda(\vec{\xi}(0)) = \lambda$. Таким образом, паре комплексно-сопряженных собственных значений α, α^* отвечает характеристический показатель Ляпунова $\lambda = \text{Re} \alpha$, который следует считать дважды вырожденным, поскольку ему соответствует движение на инвариантной плоскости, а не вдоль инвариантного направления.

Итак, для постоянной матрицы $A \neq A(t)$ все характеристические показатели Ляпунова совпадают с действительными частями ее собственных значений.

Разумеется, в общем случае элементы матрицы A зависят от времени. Из теории линейных дифференциальных уравнений с зависящими от времени коэффициентами известно, что тогда общее решение этой системы может быть записано в виде суперпозиции n фундаментальных частных решений $\{\vec{\xi}_j(t)\}$:

$$\vec{\xi}(t) = \sum_j C_j \vec{\xi}_j(t), \quad (17.11)$$

где постоянные C_j определяются из разложения начального смещения $\vec{\xi}(0)$ по векторам $\vec{\xi}_j(0)$. Вообще говоря, зависимость от времени для фундаментальных частных решений $\{\vec{\xi}_j(t)\}$ является более сложной, чем экспоненциальная. Однако, учитывая, что матрица $A(t)$ не возрастает неограниченно с течением времени, на больших временах можно записать $|\vec{\xi}_j(t)| = \Phi_j(t) \exp(\lambda_j t)$, где функция $\Phi_j(t)$ имеет более медленную, чем экспоненциальная, степень роста. Поэтому, если мы выберем вектор на-

чального смещения $\vec{\xi}(0)$ параллельно одному из векторов $\vec{\xi}_j(0)$, тогда $\Lambda(\vec{\xi}(0)) = \lambda_j$, что совпадает с формулой (9), хотя теперь уже λ_j не являются действительными частями собственных значений матрицы A . Легко убедиться, что никаких других значений величина $\Lambda(\vec{\xi}(0))$ не принимает.

Покажем, что при произвольном выборе начального смещения $\vec{\xi}(0)$ предел (5) дает максимальный показатель Ляпунова. Действительно, наугад взятый вектор скорее всего будет иметь проекции на все векторы $\vec{\xi}_j(0)$, в том числе и на тот из них, который отвечает максимальному значению λ_j . На больших временах экспонента с этим значением λ_j в разложении (11) будет доминировать, а поэтому предел (5) будет давать значение λ_{\max} . Таким образом, введенная вначале по формуле (4) величина h , которую мы называли ранее "энтропия Колмогорова — Синяя", является в действительности *максимальным* характеристическим показателем Ляпунова.

Перечислим основные свойства характеристических показателей Ляпунова для диссипативных и консервативных систем.

Число характеристических показателей равно размерности n фазового пространства исходной динамической системы, и их можно упорядочить по убывающей:

$$\lambda_1 \geq \lambda_2 \geq \dots \geq \lambda_n. \quad (17.12)$$

Один из показателей Ляпунова, отвечающий смещению вдоль траектории не оканчивающейся в особой точке, всегда равен нулю.

Для гамильтоновых систем показатели обладают следующей симметрией [78]:

$$\lambda_j = -\lambda_{2k-j+1}, \quad (17.13)$$

где k — число степеней свободы ($n = 2k$). Следовательно, для гамильтоновых систем по крайней мере два показателя равны нулю. В случае полностью интегрируемых систем все λ равны нулю [78, 148].

Сумма всех ляпуновских показателей равна среднему вдоль траектории значению дивергенции $\text{div } \mathbf{v} = \text{div } \vec{\xi} = \sum_k a_{kk}(t)$:

$$\lim_{t \rightarrow \infty} t^{-1} \int_0^t \text{div } \vec{\xi} dt = \sum_{j=1}^n \lambda_j. \quad (17.14)$$

Относительное изменение фазового объема, как известно, определяется знаком при дивергенции: если $\text{div } \mathbf{v} < 0$, то система диссипативна; если $\text{div } \mathbf{v} = 0$, то фазовый объем при движении сохраняется. Значит, для гамильтоновых систем $\sum_j \lambda_j = 0$, в то время как для диссипативных систем

$$\sum_j \lambda_j < 0.$$

Динамическую систему называют *гиперболической*, если она имеет как положительные, так и отрицательные показатели Ляпунова.

Сформулируем теперь критерии, позволяющие, основываясь на характеристических показателях Ляпунова, различать типы аттракторов динамических систем [113].

Для одномерной системы, в которой аттракторами могут быть только устойчивые особые точки, существует один показатель Ляпунова, который является отрицательным, $\lambda_1 = (-)$.

В двумерных системах аттракторы встречаются только двух типов: устойчивые стационарные точки и предельные циклы. Если оба показателя отрицательны, $(\lambda_1, \lambda_2) = (-, -)$, то аттрактором является устойчивая стационарная точка. Если же $(\lambda_1, \lambda_2) = (-, 0)$, то аттрактор — предельный цикл: один из показателей, соответствующий направлению e_2 (параллельно потоку), равен нулю (рис. 2.38а).

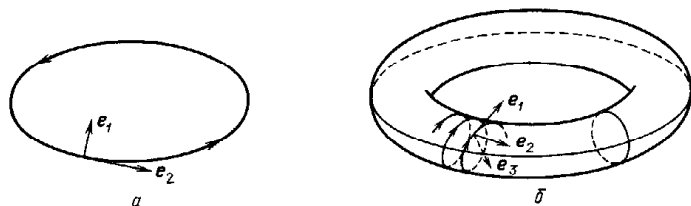


Рис. 2.38. В случае предельного цикла (а) и инвариантного тора (б) равны нулю показатели Ляпунова, отвечающие соответственно направлениям e_2 и e_1, e_2

В трехмерном случае, помимо устойчивых особых точек и предельных циклов, аттракторами являются инвариантные торы и странные аттракторы. Когда два характеристических показателя Ляпунова равны нулю, а третий отрицателен, $(\lambda_1, \lambda_2, \lambda_3) = (0, 0, -)$, это означает, что в фазовом пространстве системы имеется инвариантный устойчивый тор (рис. 2.38б). Если же один из показателей является отрицательным, другой равен нулю, а третий положителен $(\lambda_1, \lambda_2, \lambda_3) = (-, 0, +)$, то аттрактор считается странным. Итак, для трехмерных динамических систем встречается только четыре типа аттракторов:

- $(\lambda_1, \lambda_2, \lambda_3) = (-, -, -)$ — устойчивый фокус или узел;
- $(\lambda_1, \lambda_2, \lambda_3) = (-, -, 0)$ — устойчивый предельный цикл;
- $(\lambda_1, \lambda_2, \lambda_3) = (-, 0, 0)$ — устойчивый тор;
- $(\lambda_1, \lambda_2, \lambda_3) = (-, 0, +)$ — странный аттрактор.

В частности, для системы Лоренца (16.22) при $\sigma = 16, b = 4, r = 40$ характеристические показатели Ляпунова равны $\lambda_1 = 1,37, \lambda_2 = 0, \lambda_3 = -22,37$ [270]. Следовательно, при указанных значениях параметров в фазовом пространстве системы имеется странный аттрактор, и движение будет хаотическим.

Аналитическое определение характеристических показателей Ляпунова и "энтропии" $h = \lambda_{\max}$ для большинства физически интересных задач не представляется возможным, поскольку для этого необходимо знать решения системы дифференциальных уравнений. Однако существуют достаточно надежные алгоритмы, позволяющие найти все показатели Ляпунова, используя численные методы. Интересующихся читателей мы отсылаем к [78, 95, 134, 184, 270].

Помимо характеристических показателей Ляпунова при изучении сложных режимов движения иногда используется автокорреляционная функция. Автокорреляционная функция, если ее удается вычислить, является достаточно эффективной характеристикой поведения рассматриваемой системы. Так, при периодической или квазипериодической динамике автокорреляционная функция также будет соответственно периодической или квазипериодической. Однако если с течением времени автокорреляционная функция стремится к нулю и система не имеет устойчивых стационарных точек, то следует ожидать, что будет наблюдаться хаотический режим движения. Стремление к нулю автокорреляционной функции и используется в качестве критерия динамического хаоса.

Наряду с автокорреляционной функцией (особенно при экспериментальных исследованиях) для установления хаотичности движения часто применяется спектральная плотность (или просто спектр), которая, как мы увидим ниже, тесно связана с автокорреляционной функцией. Характер спектральной плотности — один из самых простых и в то же время вполне надежных критериев, используемых при анализе режимов движения. Рассчитывая ее численно или измеряя экспериментально, сравнительно легко определить, каким является поведение системы — хаотическим, периодическим или квазипериодическим. Например, если система демонстрирует периодическую динамику с периодом T_0 (что математически отвечает движению фазовой точки по предельному циклу), то спектр такого движения будет дискретным и состоящим из узких линий, соответствующих частоте движения $\omega_0 = 2\pi/T_0$ и кратным ей гармоникам $2\omega_0, 3\omega_0, \dots$

Если поведение системы является квазипериодическим с несоизмеримыми частотами $\omega_1, \dots, \omega_k$ (чему, как известно, отвечает движение по k -мерному нерезонансному тору), то спектр будет состоять из k линий, соответствующих этим частотам и кратным им гармоникам. Иными словами, спектр будет оставаться дискретным, хотя, если число k частот движения достаточно велико, линии в спектре могут быть расположены весьма густо. Однако для случая хаотических режимов, когда динамика системы не является регулярной, соответствующий спектр будет сплошным. Это и используется при спектральном анализе движения динамических систем.

Остановимся подробнее на понятиях автокорреляционной функции и спектральной плотности. Прежде всего дадим их определения.

Пусть $x_i(t) = \{x_1(t), \dots, x_n(t)\}$ — решение системы (1). Рассмотрим только одну компоненту решения $x_m \equiv x(t)$. Автокорреляционной функцией называется среднее по некоторому временному интервалу T (при $T \rightarrow \infty$) произведений x , взятых в два различных момента времени t и $t + \tau$:

$$g(\tau) = \lim_{T \rightarrow \infty} T^{-1} \int_0^T x(t) x(t + \tau) dt. \quad (17.15)$$

Спектральная плотность определяется формулой

$$S(\omega) = \lim_{T \rightarrow \infty} (2\pi T)^{-1} |X(\omega)|^2, \quad (17.16)$$

Разложим $x(t)$ в многократный ряд Фурье по $\{\varphi_i\}$:

$$x(t) = \sum_{n_1, \dots, n_k} C_{n_1} \dots C_{n_k} e^{-i(n_1 \varphi_1 + \dots + n_k \varphi_k)}. \quad (17.26)$$

Подставив сюда значение $\varphi_i = \omega_i t$, окончательно получим

$$x(t) = \sum_{n_1, \dots, n_k} C_{n_1} \dots C_{n_k} e^{-i(n_1 \omega_1 + \dots + n_k \omega_k) t}. \quad (17.27)$$

Используя последнее соотношение, для автокорреляционной функции и спектральной плотности найдем

$$g(\tau) = \sum_{n_1, \dots, n_k} |C_{n_1} \dots C_{n_k}|^2 e^{-i(n_1 \omega_1 + \dots + n_k \omega_k) \tau}, \quad (17.28)$$

$$S(\omega) = \sum_{n_1, \dots, n_k} |C_{n_1} \dots C_{n_k}|^2 \delta(\omega - n_1 \omega_1 - \dots - n_k \omega_k). \quad (17.29)$$

Следовательно, спектр квазипериодической функции содержит всевозможные линейные комбинации $n_1 \omega_1 + n_2 \omega_2 + \dots + n_k \omega_k$. Если число частот движения ω_k велико, то линии в спектре будут расположены достаточно тесно, однако спектр будет оставаться дискретным.

Наконец, предположим, что динамика системы (1) является хаотической. В этом случае функция $x(t)$ есть апериодическая функция времени. Следовательно, спектр $x(t)$ будет *сплошным* (или непрерывным).

Проиллюстрируем сказанное на упоминавшихся выше двух примерах: конвекции Рэлея – Бенара [188] и химической реакции Белоусова – Жаботинского [40, 282].

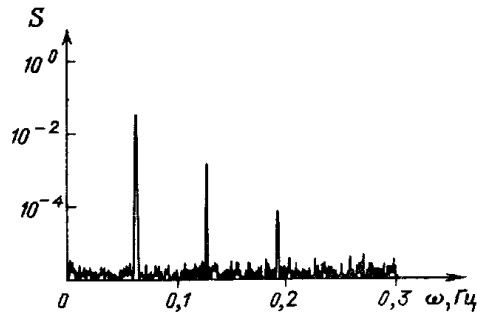


Рис. 2.40. Спектральная плотность, полученная в эксперименте Рэлея – Бенара при $R_a/R_c = 21$ (периодический режим) [188]

Рис. 2.41. Периодическая динамика химической реакции Белоусова – Жаботинского: а – колебания концентраций промежуточных соединений, б – соответствующая спектральная плотность [282]

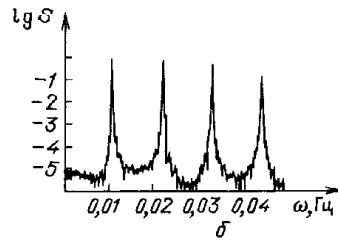
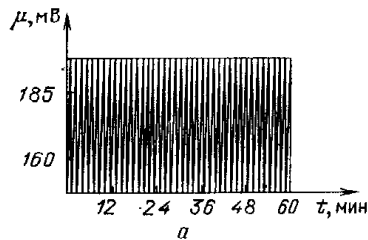


Рис. 2.42. Спектральная плотность, полученная в эксперименте Рэлея – Бенара при $R_a/R_c = 36,9$ (хаотический режим) [188]

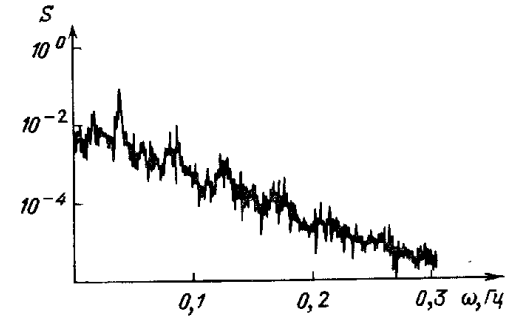
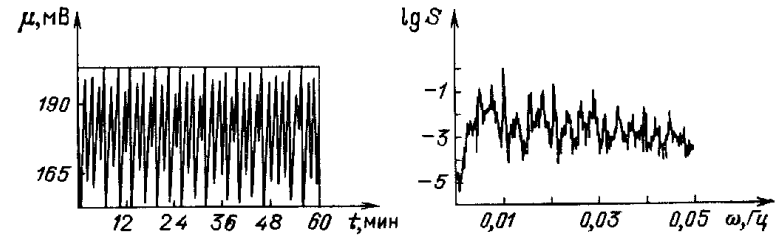


Рис. 2.43. Хаотическая динамика реакции Белоусова – Жаботинского [282]

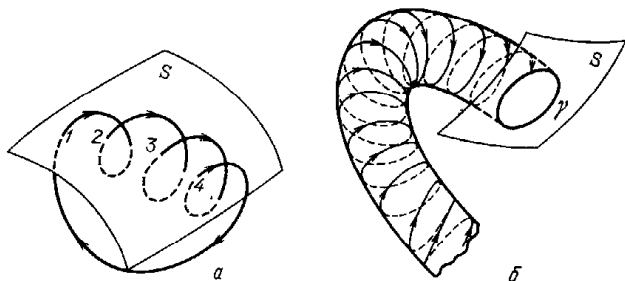


При исследовании конвекции Рэлея – Бенара с увеличением приведенного числа Рэлея R_a/R_c периодическое движение конвективных потоков (рис. 2.39б) теряет устойчивость, и при $R_a/R_c = 36,9$ поведение жидкости становится хаотическим. При этом спектр из дискретного переходит в непрерывный (рис. 2.42).

Для реакции Белоусова – Жаботинского, помимо регулярных, возможно и хаотическое изменение концентраций промежуточных соединений. При определенных значениях скорости протока реагентов через реактор наблюдается переход от периодических колебаний концентраций (рис. 2.41) к хаотическим со сплошным спектром (рис. 2.43).

Кроме описанных критериев динамического хаоса – характеристических показателей Ляпунова, автокорреляционной функции и спектральной плотности – очень часто (в особенности при исследовании гамильтоновых систем) применяется еще один весьма простой критерий, основанный на использовании отображения Пуанкаре. Построение отображения Пуанкаре для гамильтоновых систем было подробно описано в § 14. Здесь же мы кратко остановимся на основных случаях, которые наиболее часто встречаются при анализе динамики диссипативных систем.

Предположим, что фазовый поток, порождаемый динамической системой (1), имеет секущую поверхность S . Отметим на этой поверхности точки 1, 2, 3, 4, в которых фазовый поток пересекает S в определенном направлении (рис. 2.44). Пусть для простоты фазовое пространство системы является трехмерным; обобщение на n -мерный случай дано в § 14. Тогда, если в сечении S мы имеем конечный набор точек, при эволю-

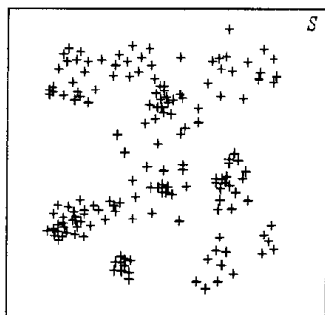


Р и с. 2.44. Периодический (а) и квазипериодический (б) режимы движения

ции системы последовательно переходящих друг в друга (рис. 2.44а), в фазовом пространстве этому соответствует движение фазовой точки по предельному циклу, т.е. периодическая динамика системы. Если точки пересечения потока с поверхностью S образуют инвариантную замкнутую кривую γ , в фазовом пространстве этому соответствует движение по тору (рис. 2.44б). Следовательно, в этом случае поведение системы будет квазипериодическим. Когда же траектория динамической системы на поверхности S представлена множеством точек, нерегулярным образом заполняющих некоторые области (рис. 2.45), это указывает на присутствие в фазовом пространстве странного аттрактора, т.е. на хаотичность режима движения.

Таким образом, построив отображение Пуанкаре, достаточно легко определить характер поведения динамической системы.

В заключение отметим, что из-за конечного времени наблюдения (в эксперименте) или интегрировании (при численном анализе), используя перечисленные критерии — спектральную плотность и отображение Пуанкаре, строго говоря, невозможно определить, является ли динамика системы периодической с очень большим периодом или же аperiodической. В самом деле, на временном интервале τ , меньшем периода движения T (т.е. при $\tau < T$), спектр будет непрерывным. Кроме того, из-за ограничен-



Р и с. 2.45. Пример отображения Пуанкаре при хаотическом режиме движения

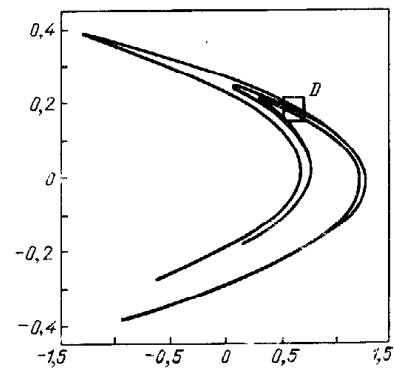
ности времени наблюдения ширина линий в спектре будет конечной, но не бесконечно тонкой. По этой причине дискретный спектр может быть практически неотличим от сплошного. Сказанное относится и к отображению Пуанкаре. Действительно, при его исследовании заранее неизвестно, сколько точек необходимо отследить, чтобы заметить периодичность движения. Однако во всех практических отношениях нет особой разницы, является ли динамика системы периодической с очень большим периодом или аperiodической.

Кроме описанных выше довольно грубых критериев хаотичности динамических систем существуют и более точные характеристики странных аттракторов, основанные на их геометрической структуре. К их рассмотрению мы сейчас приступаем.

§ 18. Фрактальные структуры и размерность странных аттракторов

Диссипативные динамические системы, как отмечалось выше, обладают тем свойством, что их решения при $t \rightarrow \infty$ притягиваются к некоторому подмножеству меры нуль в фазовом пространстве. Это подмножество для случая регулярной динамики может быть либо устойчивой стационарной точкой, либо устойчивым предельным циклом, либо инвариантным тором. Все эти подмножества являются подмногообразиями фазового пространства. Математическим образом хаотических колебаний диссипативных систем служит странный аттрактор, который уже не обладает гладкой структурой и достаточной непрерывностью, предполагаемой в понятии подмногообразия. Геометрическое строение странных аттракторов более сложное. Они обладают *геометрической (масштабной) инвариантностью*, или, как иногда говорят, *скейлинговой структурой*.

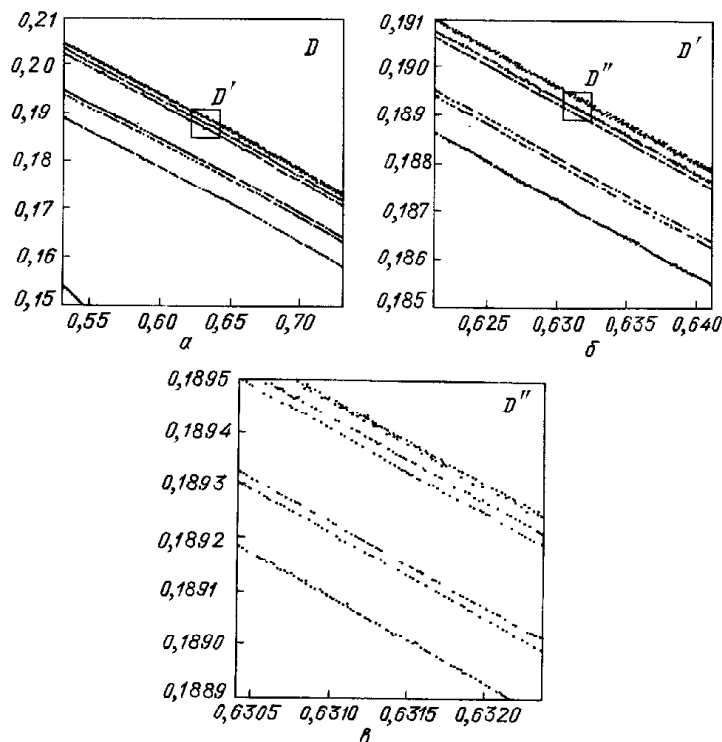
Чтобы лучше представить себе, о чем идет речь, рассмотрим характерный пример — аттрактор Эно [121], возникающий в простой модели, описываемой точечным отображением Эно. Мы уже знаем, что странные аттракторы могут появляться в системах дифференциальных уравнений размерность фазового пространства которых больше или равна трем, $n \geq 3$. Однако сложные геометрические притягивающие множества могут возникать и в так называемых точечных отображениях — динамических системах с дискретным временем (подробнее см. § 19). Используя точечные отображения, можно описывать системы самой различной природы — от физических до биологических. Отображение Эно — это обратимое двумерное то-



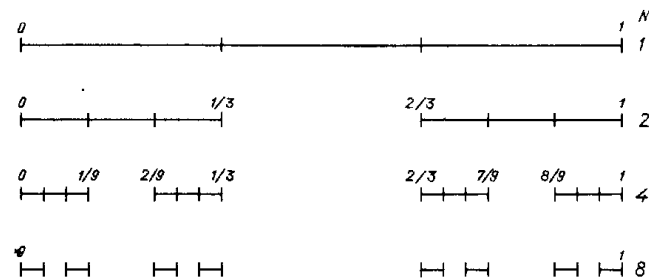
Р и с. 2.46. Аттрактор Эно

чечное отображение, которое в принципе можно рассматривать как отображение Пуанкаре для некоторой двумерной секущей поверхности и трехмерного потока (см. § 19).

Если аттрактор в динамической системе является странным, то отображение на секущей будет представлено сложным множеством точек, притягивающим соседние. Такое множество точек, возникающее в отображении Эно, и образует аттрактор Эно, показанный на рис. 2.46. Внимательно анализируя рис. 2.46, можно заметить, что аттрактор Эно состоит из кривых, которые имеют конечную толщину, т.е. фактически внутреннюю структуру. Чтобы убедиться в этом, увеличим определенный участок D аттрактора Эно (рис. 2.46). Тогда мы увидим, что часть линий, образующих аттрактор, действительно состоит из нескольких "кривых" (рис. 2.47а). Продолжая процесс последовательного увеличения, можно убедиться, что каждая из этих "кривых" образована бесконечным числом компонент (рис. 2.47б, в), т.е. структура аттрактора Эно при увеличении масштаба практически повторяется, причем сохраняется и масштабный множитель [121]. О множествах, имеющих такую структуру, говорят, что они обладают геометрической (масштабной) инвариантностью.



Р и с. 2.47. Последовательное увеличение малого участка аттрактора Эно. Отчетливо видна геометрическая инвариантность аттрактора



Р и с. 2.48. Построение множества Кантора

Чтобы научиться количественно описывать такие сложные множества, в частности странные аттракторы, обратимся сначала к хорошо известным в математике *канторовым множествам*, обладающим той же геометрической инвариантностью. Самым известным примером здесь является так называемое "множество средних третей".

Возьмем отрезок единичной длины $[0, 1]$, разделим его на три равные части и вырежем среднюю из них — интервал $(1/3, 2/3)$. С каждым из оставшихся отрезков поступим точно так же. Тогда мы получим последовательность отрезков все убывающей длины (рис. 2.48). На первом этапе построения имеем один отрезок, на втором — два, на третьем — четыре. На k -м этапе будем иметь 2^k отрезков, не связанных друг с другом, длиной 3^{-k} каждый. При $k \rightarrow \infty$ получим некоторое множество точек, которое и называется *множеством Кантора*. Суммарная длина всех вырезанных отрезков при этом равна единице:

$$l = \frac{1}{3} + \frac{2}{9} + \frac{4}{27} + \dots = \frac{1}{2} \sum_{k=1}^{\infty} \left(\frac{2}{3}\right)^k = \frac{1/3}{1 - 2/3} = 1. \quad (18.1)$$

Заметим, что при построении канторова множества вовсе не обязательно разбивать отрезок на три и притом равные части: канторово множество можно получить, разделяя отрезок каждый раз на произвольное число ($i \geq 3$) частей.

Рассмотрим теперь другой пример масштабно-инвариантного множества. Это непосредственное обобщение канторова множества средних третей на случай плоских фигур — *ковер Серпиньского*. Возьмем квадрат со стороной, равной единице, и разделим его на девять равных квадратов прямоугольниками, параллельными его сторонам. Затем при первой итерации ($k = 1$) удалим все внутренние точки центрального квадрата. Аналогично поступим с каждым из оставшихся восьми квадратов (вторая итерация, $k = 2$) и т.д. (рис. 2.49). Пересечение полученных при $k \rightarrow \infty$ множеств — это ковер Серпиньского.

Таким образом, очень грубо можно сказать, что канторово множество является как бы "всюду дырявым". Оказывается, что странные аттракторы для динамических систем и точечных отображений обычно имеют структуру канторова множества [78, 121, 151]. Этим они с геометрической точ-

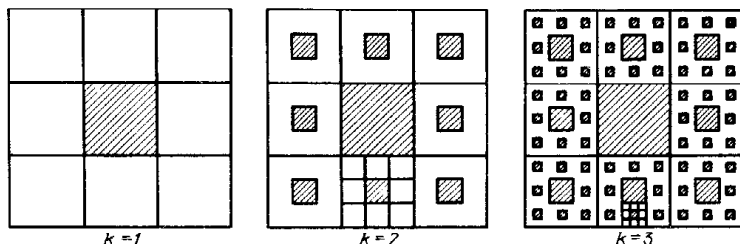


Рис. 2.49. Построение ковра Серпиньского. Заштрихованные области удаляются в процессе итераций

ки зрения отличаются от простых аттракторов, являющихся гладкими подмногообразиями.

Существует важная количественная характеристика канторова множества — дробная размерность, указывающая на близость этого множества к соответствующему гладкому подмногообразию. Есть несколько различных определений дробной размерности. Обычно они основаны на метрических свойствах множеств. Но для странных аттракторов предложены также вероятностные размерности, при вычислении которых главную роль играет частота, с которой типичная фазовая траектория посещает различные области аттрактора. Ниже мы дадим определение наиболее распространенной метрической размерности — емкости множества. Обзор основных вопросов, касающихся различных размерностей странных аттракторов, взаимосвязи между ними и способов их вычисления, можно найти в [36, 177, 265].

Рассмотрим в n -мерном фазовом пространстве динамической системы некоторое множество A . Покроем это множество n -мерными кубиками со стороной ϵ так, чтобы эти кубики содержали все точки множества A . Пусть N — минимальное число кубиков, необходимых для покрытия A . Рассмотрим предел

$$d(A) = \lim_{\epsilon \rightarrow 0} [\ln N(\epsilon) / \ln(1/\epsilon)]. \quad (18.2)$$

Величина $d(A) \equiv d_F$ является метрической размерностью и называется емкостью [64, 177] или *фрактальной размерностью* [87, 232]. Заметим, что в литературе емкость иногда называют также хаусдорфовой или энтропийной размерностью [115, 177, 265]. Это оправдано тем, что для типичных странных аттракторов (которые встречаются в численных расчетах и физических экспериментах) значения емкости, хаусдорфовой и энтропийной размерности, по-видимому, очень близки [177, 265].

Для регулярных множеств (например, “куска” трехмерного евклидова пространства, поверхности или линии) фрактальная размерность d_F равна целому числу (соответственно 3, 2, 1) и совпадает с обычной размерностью. Действительно, при малых ϵ из (2) получаем

$$N \sim K \epsilon^{-d}. \quad (18.3)$$

Число кубиков со стороной ϵ , необходимое для покрытия некоторого объема в трехмерном пространстве, пропорционально $1/\epsilon^3$, для покрытия поверхности — $N \sim 1/\epsilon^2$ и линии — $N \sim 1/\epsilon$. Следовательно, если мы имеем простой аттрактор, например предельный цикл, то его фрактальная размерность равна единице. Для инвариантного тора значение d_F равно двум и т.д.

Однако для нерегулярных множеств, обладающих масштабно-инвариантной структурой, фрактальная размерность имеет дробное значение. Остановимся на этом более детально.

Определим вначале фрактальную размерность множеств, рассмотренных выше, — множества средних третей и ковра Серпиньского.

Из построения множества средних третей следует, что оно состоит из $N = 2^m$ разделенных интервалов длиной $\epsilon = 1/3^m$ каждый. В самом деле, при $k = 0$ имеем $N = 1$, $\epsilon = 1$. Если $k = 1$, то $N = 2$, $\epsilon = 1/3$; для $k = 2$ $N = 4$, $\epsilon = 1/9$, и при $k = m$ $N = 2^m$, $\epsilon = 1/3^m$ (рис. 2.48). Здесь k обозначает число итераций построения множества. Следовательно, используя определение (2), получим

$$d_F = \lim_{m \rightarrow \infty} (\ln 2^m / \ln 3^m) = \ln 2 / \ln 3 \approx 0,631. \quad (18.4)$$

Определим теперь фрактальную размерность ковра Серпиньского. Имеем

$$\begin{aligned} k=1, & N=8=8^1, & \epsilon=1/3^1, \\ k=2, & N=8 \cdot 8=8^2, & \epsilon=1/3^2, \\ k=3, & N=8 \cdot 8 \cdot 8=8^3, & \epsilon=1/3^3, \\ & \vdots & \vdots \\ k=m, & N=8^m, & \epsilon=1/3^m, \end{aligned}$$

отсюда

$$d_F = \lim_{m \rightarrow \infty} (\ln 8^m / \ln 3^m) = \ln 8 / \ln 3 \approx 1,893. \quad (18.5)$$

Таким образом, ковер Серпиньского — это уже не линия, размерность которой равна единице, но еще и не поверхность, поскольку размерность которой равна двум. Это что-то “между” линией и двумерной поверхностью. Самым неожиданным является то, что в природе действительно существуют объекты, представляющие собой аналог ковра Серпиньского в том смысле, что их размерность d_F больше единицы и меньше двух. Наиболее известные из них — это фрактальные агрегаты коллоидных частиц (см., например, [85]). Следовательно, канторова множества — это не чистая математическая абстракция.

Как мы уже отметили, странные аттракторы обычно близки по своей структуре к канторовым множествам, поэтому следует ожидать, что размерность странного аттрактора будет дробной. Таким образом, значение размерности можно использовать в качестве критерия отличия простых аттракторов от странных. В основополагающей работе Рюэля и Такенса [101] термин “странный” аттрактор был введен авторами именно для

того, чтобы подчеркнуть, что такие аттракторы не являются гладкими многообразиями.

Ввиду чрезвычайной важности фрактальной размерности возникает вопрос о явном ее вычислении для тех или иных аттракторов динамических систем.

Существует гипотеза, выдвинутая Капланом и Йорке [223], согласно которой фрактальная размерность связана с характеристическими показателями Ляпунова λ_i . Эта гипотеза предполагает, что фрактальная размерность d_F совпадает с ляпуновской размерностью d_L , определяемой как

$$d_L = j + \sum_{i=1}^j \lambda_i / |\lambda_{j+1}|, \quad (18.6)$$

где все показатели λ_i упорядочены: $\lambda_1 \geq \lambda_2 \geq \dots \geq \lambda_n$ (n – размерность фазового пространства), а число j определяется из условий

$$\lambda_1 + \lambda_2 + \dots + \lambda_j \geq 0, \quad \lambda_1 + \lambda_2 + \dots + \lambda_{j+1} < 0. \quad (18.7)$$

Для трехмерных динамических систем (т.е. для систем с размерностью фазового пространства $n = 3$) в предположении, что движение происходит на странном аттракторе, формула (6) сводится к виду

$$d_L = 2 + \lambda_1 / |\lambda_3|, \quad (18.8)$$

поскольку для таких систем $\lambda_1 \geq \lambda_2 \geq \lambda_3$ и (см. § 17) $(\lambda_1, \lambda_2, \lambda_3) = (+, 0, -)$.

Физически кажется ясным, что для того, чтобы установить геометрическую структуру странного аттрактора, необходимо взять какую-либо малую область фазового пространства и проследить, как с течением времени она эволюционирует. Информацию об изменении малого элемента фазового объема динамической системы дают характеристические показатели Ляпунова.

Покажем на примере трехмерной ($n = 3$) динамической системы со странным аттрактором, как можно объяснить смысл гипотезы Каплана – Йорке. Рассмотрим в начальный момент времени $t = 0$ малый элемент V_0 фазового объема и проследим за его эволюцией при $t > 0$. Поскольку система является диссипативной, а движение происходит на странном аттракторе, то с течением времени элемент объема V_0 будет сжиматься и сильно деформироваться (рис. 2.50а, б). Будем постоянно (мысленно) распрямлять этот деформированный объем $V(t)$, покрывая его в каждый момент времени трехмерными кубиками со стороной $\epsilon(t)$ (рис. 2.50в). Как известно (см. § 17), характеристические показатели Ляпунова определяют степень сжатия фазового объема в одних направлениях и растяжения – в других. Используя показатели Ляпунова, изменение со временем элемента объема V можно записать следующим образом:

$$V(t) \sim V_0 e^{(\lambda_1 - |\lambda_3|)t}, \quad (18.9)$$

где нумерация λ_i выбрана так, что $\lambda_1 \geq \lambda_2 \geq \lambda_3$ и $\lambda_1 \geq 0, \lambda_2 = 0, \lambda_3 \leq 0$. Изменение $\epsilon(t)$ записывается в виде

$$\epsilon(t) \sim e^{-|\lambda_3|t}, \quad (18.10)$$

$$\epsilon^3(t) \sim e^{-3|\lambda_3|t}, \quad (18.11)$$

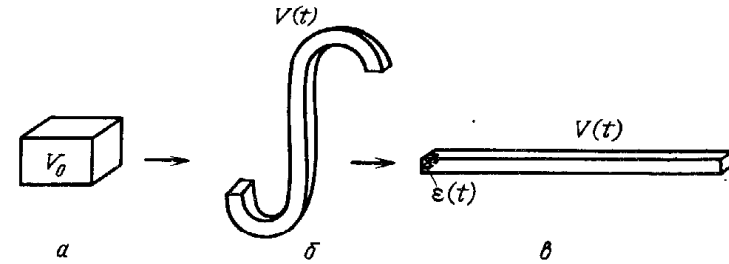


Рис. 2.50. К пояснению гипотезы Каплана – Йорке (18.8)

где $\epsilon^3(t)$ – объем кубиков со стороной $\epsilon(t)$, покрывающих элемент $V(t)$ фазового объема в момент времени t . Тогда число $N(t)$ таких кубиков

$$N(t) \sim V(t)/\epsilon^3(t) = e^{\lambda_1 t + 2|\lambda_3|t}, \quad (18.12)$$

отсюда

$$d_F = \lim_{t \rightarrow \infty} [\ln N(t)/\ln(1/\epsilon(t))] = 2 + \lambda_1 / |\lambda_3|, \quad (18.13)$$

что совпадает с (8).

Из соотношения (6) легко получить, что $d_F < n$, как и следовало ожидать. В самом деле, из условия диссипативности динамической системы вытекает, что ее фазовые траектории с течением времени стягиваются к некоторому подмножеству фазового пространства. Размерность этого подмножества всегда меньше n .

Гипотеза (6) выполняется в ряде частных случаев [176, 265, 291], а вообще говоря, она несправедлива [36]. Можно показать лишь, что ляпуновская размерность дает оценку сверху для фрактальной (хаусдорфовой) размерности [158, 224]. Поэтому при расчетах размерностных характеристик странных аттракторов динамических систем часто приходится непосредственно использовать определение (2) величины d_F и опираться исключительно на численные расчеты.

Чтобы определить d_F численно исходя из (2), необходимо фазовое пространство динамической системы разбить на ячейки со стороной ϵ , а затем произвести численное интегрирование до того момента, пока не закончится переходный процесс, после которого движение является стационарным (установившимся) и происходит на странном аттракторе. При последующем интегрировании необходимо помечать те ячейки, в которые попадает траектория. После достаточно большого числа итераций, т.е. по прошествии длительного промежутка времени численного интегрирования динамической системы, число таких ячеек будет стремиться к $N(\epsilon)$. Далее, из формулы (2) нетрудно увидеть, что зависимость $y \equiv \ln N$ от $x \equiv \ln(1/\epsilon)$ при малых ϵ является линейной. Следовательно, если графически изобразить зависимость y от x , то, как следует из (2), фрактальная размерность d_F равна тангенсу угла наклона прямой $y(x)$. Численные методы определения фрактальной размерности обсуждаются в [82, 265].

Приведем некоторые примеры значений фрактальной размерности странных аттракторов. Для системы Лоренца (16.22) при $\sigma = 10$, $b = 8/3$ и $r = 28$ она равна $d_F = 2,05 \pm 0,01$. Тем самым, оказывается, что аттрактор Лоренца при указанных значениях параметров близок к некоторой двумерной поверхности.

В [100] исследовалась следующая система:

$$\begin{aligned} \dot{x} &= y(z - 1 + x^2) + \gamma x, & \dot{y} &= x(3z + 1 - x^2) + \gamma y, \\ \dot{z} &= -2z(\nu + xy) \end{aligned} \quad (18.14)$$

при $\nu = 1,1$ и $\gamma = 0,87$. Д.А. Рассел и др. [265] численно определили размерность d_F странного аттрактора в такой системе и нашли, что он занимает промежуточное положение между поверхностью и трехмерной фигурой, $d_F = 2,318 \pm 0,002$.

Заметим, что когда размерность d_F оказывается близкой к целому числу и трудно оценить погрешность численных расчетов, следует всегда дополнительно использовать другие критерии динамического хаоса (см. § 17). Мы вернемся к обсуждению расчетов размерностных характеристик в § 21.

§ 19. Точечные отображения. Универсальность Фейгенбаума

Точечные отображения — это самостоятельный раздел теории динамических систем, где изучаются объекты не с непрерывным, а с дискретным временем.

Пусть, как и прежде, динамическая система задается дифференциальными уравнениями вида

$$\dot{y} = v(y), \quad y(0) = y_0. \quad (19.1)$$

Выберем в фазовом пространстве этой динамической системы секущую поверхность, которую фазовые кривые пересекают не касаясь. Будем отмечать точкой на этой секущей поверхности каждое пересечение фазовой траектории, происходящее в определенном направлении (например, снизу вверх). Тогда на этой поверхности мы получим некоторый набор точек A, B, C, D, \dots , последовательно переходящих друг в друга. Поскольку начальные условия y_0 динамической системы (1) полностью и однозначно задают всю фазовую траекторию, положение каждой точки в этой последовательности однозначно определяется положением предыдущей. Иными словами, существует некоторая функция $\vec{\varphi}$, связывающая между собой положение двух следующих одна за другой точек. Обозначим через x_n координаты n -й точки пересечения фазовой траектории с секущей поверхностью. Тогда координаты последующих точек пересечения связаны между собой некоторым соотношением

$$x_{n+1} = \vec{\varphi}(x_n). \quad (19.2)$$

Говорят, что это соотношение определяет *точечное отображение*. Поочередно применяя отображение (2), получаем бесконечную последовательность точек

$$x_0, x_1, \dots, x_n, x_{n+1}, \dots, \quad (19.3)$$

однозначно определяемую координатой начальной точки x_0 .

Использование точечного отображения вместо дифференциальных уравнений при исследовании динамики конкретных систем оказывается весьма полезным как в силу их наглядности, так и в вычислительном отношении, поскольку при переходе к отображению размерность изучаемой системы уменьшается на единицу. При этом оказывается, что свойства рассматриваемой динамической системы во многом определяются свойствами порождаемого ею отображения. Например, периодическим решениям дифференциальных уравнений (или, что то же самое, предельным циклам) ставятся в соответствие неподвижные точки отображения.

Разумеется, точечные отображения вида (2) могут быть определены и вне всякой связи с какими-либо конкретными системами дифференциальных уравнений. Рассмотрим простой пример из области экологии. Допустим, у нас есть популяция бабочек, размножающихся в определенное время года. Далее, примем, что x_n — численность этой популяции в n -м году. Тогда ее численность на следующий год однозначно определяется тем, сколько бабочек было в предыдущем году, т.е. величиной x_n . Следовательно, изменение численности популяции подчиняется точечному отображению (2) с определенной функцией φ . В данном конкретном случае точечное отображение является одномерным. Можно, однако, представить себе и другие ситуации, когда x_n является набором из нескольких независимых переменных.

Точка x^* называется неподвижной точкой отображения $\vec{\varphi}$, если $x^* = \vec{\varphi}(x^*)$. В теории отображений неподвижные точки играют ту же роль, что и стационарные точки в дифференциальных уравнениях. Найдем условия устойчивости неподвижной точки x^* точечного отображения (2). Пусть $x = x^* + \delta x$, причем δx — малая по сравнению с x^* величина. Тогда отображение (2) примет вид

$$x^* + \delta x_{n+1} = \vec{\varphi}(x^* + \delta x_n). \quad (19.4)$$

Разлагая правую часть (4) в ряд в окрестности точки x^* и отбрасывая члены порядка малости выше первого, находим

$$x^* + \delta x_{n+1} = \vec{\varphi}(x^*) + (\partial \vec{\varphi} / \partial x_n) |_{x^*} \delta x_n. \quad (19.5)$$

Отсюда, поскольку точка x^* является неподвижной, получим

$$\delta x_{n+1} = (\partial \vec{\varphi} / \partial x_n) |_{x^*} \delta x_n, \quad (19.6)$$

или, вводя обозначение $a_{ik} = (\partial \varphi_i / \partial x_n^k) |_{x^*}$, будем иметь покомпонентно:

$$\delta x_{n+1}^i = \sum_k a_{ik} \delta x_n^k. \quad (19.7)$$

Это есть линейное точечное отображение. Собственные значения α_k матрицы A с элементами a_{ik} называются *мультипликаторами*. Неподвижная точка x^* исходного отображения (2) является *устойчивой*, если все мультипликаторы α_k удовлетворяют условию $|\alpha_k| < 1$. Если среди мультипликаторов α_k имеются такие, для которых $|\alpha_j| > 1$, то неподвижная точка отображения (2) будет *неустойчивой*.

Для двумерных отображений ($k = 2$) имеются только три возможных случая: $|\alpha_1| > 1$, $|\alpha_2| > 1$ — полностью неустойчивая неподвижная точка; $|\alpha_1| < 1$, $|\alpha_2| < 1$ — устойчивая неподвижная точка; $|\alpha_1| > 1$, $|\alpha_2| < 1$

(или $|\alpha_1| < 1$, $|\alpha_2| > 1$) — седловая неподвижная точка. В последнем случае соответствующая фазовая траектория дифференциального уравнения — *седловой предельный цикл* (рис. 2.51).

В качестве примера двумерного отображения рассмотрим отображение Эно [121]:

$$x_{n+1} = \varphi_1(x_n, y_n) = y_n + 1 - ax_n^2, \quad y_{n+1} = \varphi_2(x_n) = bx_n. \quad (19.8)$$

Неподвижные точки такого отображения получаем из уравнений

$$x = y + 1 - ax^2, \quad y = bx. \quad (19.9)$$

Отсюда находим, что при $a > a_0 = -(1 - b)^2/4$ ($a \neq 0$) координаты неподвижных точек

$$x_{\pm} = (2a)^{-1} [-(1 - b) \pm [(1 - b)^2 + 4a]^{1/2}], \quad y_{\pm} = bx_{\pm}. \quad (19.10)$$

Точка (x_+, y_+) устойчива при $a < a_1 = 3(1 - b)^2/4$; неустойчива при $a > a_1$. Точка (x_-, y_-) всегда неустойчива.

Можно показать, что отображение Эно диссипативно, так что всегда существует некоторое притягивающее множество меры нуль (аттрактор), к которому при итерациях отображения сходятся все последовательности точек. Это множество может быть чрезвычайно сложным и иметь фрактальную структуру (см. рис. 2.46, 2.47).

Ниже рассмотрим только одномерные отображения вида

$$x_{n+1} = \varphi(x_n). \quad (19.11)$$

Динамика одномерного отображения может быть наглядно представлена графически. Построим на плоскости (x_{n+1}, x_n) график функции $x_{n+1} = \varphi(x_n)$ и проведем прямую $x_{n+1} = x_n$. Тогда последовательности итерации точечного отображения (11) можно представить с помощью геометрического построения, называемого *диаграммой Ламерея* (рис. 2.52). Используя диаграмму Ламерея, легко найти неподвижные точки отображения (11). Ими являются точки пересечения графика $x_{n+1} = \varphi(x_n)$ и биссектрисы $x_{n+1} = x_n$.

Условие устойчивости неподвижных точек x^* отображения (11) сводится к выполнению неравенства $|\varphi'(x^*)| < 1$. Если $|\varphi'(x^*)| > 1$, неподвижная точка x^* неустойчива.

На рис. 2.52 последовательность x_1, x_2, x_3, \dots сходится к устойчивой неподвижной точке x_1^* . Неподвижная точка x_2^* является неустойчивой и при малом возмущении дает начало расходящейся последовательности x'_1, x'_2, x'_3, \dots .

Кроме неподвижных точек одномерные отображения могут иметь циклы. *Циклом порядка t* (или t -кратным циклом) точечного отображения называется последовательность точек x_1, x_2, x_3, \dots , удовлетворяющих условиям

$$x_2 = \varphi(x_1), \quad x_3 = \varphi(x_2), \dots, \quad x_1 = \varphi(x_m), \quad (19.12)$$

причем никакие два элемента в наборе x_1, x_2, \dots, x_m не совпадают. Заметим также, что точки цикла x_1, x_2, \dots, x_m называются иногда *t -кратными неподвижными точками*.

Рис. 2.51. Седловая точка x^* отображения и соответствующий этой точке седловой предельный цикл γ

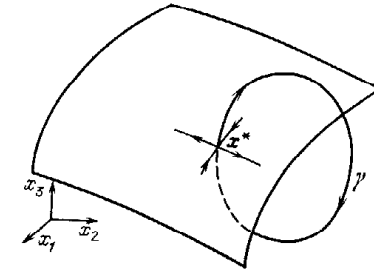
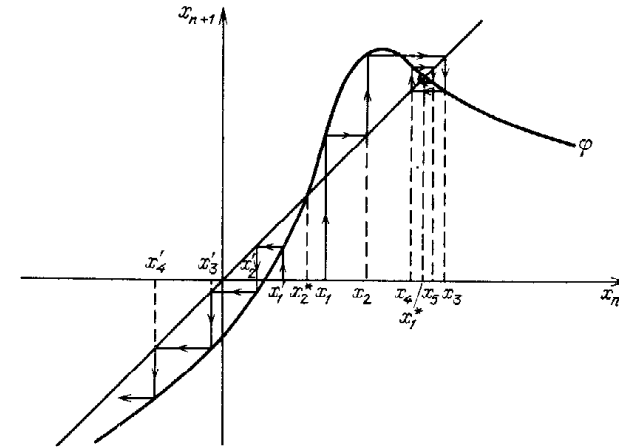


Рис. 2.52. Диаграмма Ламерея некоторого одномерного отображения φ . Неподвижная точка x_1^* устойчива, точка x_2^* неустойчива



На рис. 2.53 изображен двукратный устойчивый цикл одномерного отображения, соответствующий двукратным неподвижным точкам x_1^* и x_2^* . При этом точка x^* является неустойчивой.

Поскольку для m -кратных неподвижных точек

$$x_1 = \varphi^m(x_1) = \underbrace{\varphi(\varphi(\dots \varphi(x_1) \dots))}_m, \quad (19.13)$$

то каждая из m точек, соответствующих m -кратному циклу, одновременно является однократной неподвижной точкой отображения φ^m . Условие устойчивости и неустойчивости m -кратной неподвижной точки одномерного отображения сводится соответственно к выполнению неравенств

$$|\varphi'(x_1^*) \dots \varphi'(x_m^*)| < 1, \quad |\varphi'(x_1^*) \dots \varphi'(x_m^*)| > 1. \quad (19.14)$$

Одномерные точечные отображения бывают взаимно однозначными и не взаимно однозначными. Остановимся сначала на первых.

Точечное отображение (11) называется *взаимно однозначным*, если ни при каких различных x и y не может иметь место равенство $\varphi(x) = \varphi(y)$.

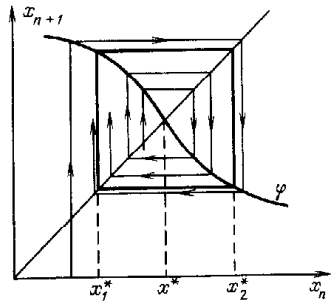


Рис. 2.53. Двукратный устойчивый цикл одномерного отображения

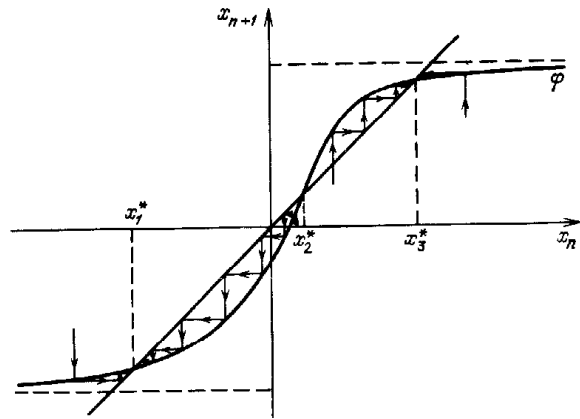


Рис. 2.54. Пример взаимно однозначного отображения $\varphi(x)$, для которого $\varphi'(x) \geq 0$

Следовательно, при монотонном изменении x функция $\varphi(x)$ тоже меняется монотонно, и при всех x $\varphi'(x) \geq 0$ или $\varphi'(x) \leq 0$.

Рассмотрим отображение, для которого $\varphi'(x) \geq 0$ для любого x [38]. В качестве примера возьмем функцию, представленную на рис. 2.54. Отображение с такой функцией $\varphi(x)$ имеет неподвижные точки x_1^* , x_2^* , x_3^* . Легко видеть, что x_2^* — неустойчивая, а x_1^* и x_3^* — устойчивые точки, причем всякая начальная точка x_0 при последовательном применении отображения стремится либо к x_1^* , если $x_0 \in (-\infty, x_2^*)$, либо к x_3^* , если $x_0 \in (x_2^*, \infty)$. Следовательно, вся прямая x_n разбивается неустойчивой неподвижной точкой x_2^* на области притяжения устойчивых точек x_1^* и x_3^* (рис. 2.54).

Для взаимно однозначного отображения общего вида, для которого $\varphi'(x) \geq 0$, также имеет место разбиение всей прямой x_n на области притяжения устойчивых неподвижных точек. Обозначим как

$$\dots < x_{k+1}^* < x_k^* < x_{k-1}^* < \dots < x_1^* < \dots \quad (19.15)$$

совокупность неподвижных точек отображения $\varphi(x)$. Легко видеть, что в цепочке (15) устойчивые и неустойчивые точки чередуются. Поэтому

для каждой устойчивой точки x_i^* интервал (x_{i-1}^*, x_{i+1}^*) будет ее областью притяжения.

Отметим особый случай, когда график функции $\varphi(x)$ касается биссектрисы $x_{n+1} = x_n$. Такая ситуация соответствует бифуркации точечного отображения. В результате бифуркации происходит перестройка качественной картины движения. Так, случай, изображенный на рис. 2.55, отвечает слиянию и исчезновению устойчивой и неустойчивой неподвижных точек отображения, если переход осуществляется от кривой 1 к кривой 3. При переходе от 3 к 1, наоборот, происходит возникновение (рождение) двух новых неподвижных точек. Если рассматривать отображение Пуанкаре для системы дифференциальных уравнений, то рассмотренному бифуркационному случаю соответствует рождение или исчезновение в фазовом пространстве системы пары предельных циклов — устойчивого и неустойчивого.

Теперь рассмотрим взаимно однозначное точечное отображение, для которого $\varphi'(x) \leq 0$ [38]. Здесь имеется единственная неподвижная точка x^* , которая в зависимости от вида функции φ может быть устойчивой или неустойчивой. Чтобы исследовать такое отображение, заметим, что функция $\varphi(\varphi(x)) = \varphi^2$ является точечным отображением уже рассмотренного выше типа с $(\varphi^2)' \geq 0$. Действительно, отображение φ^2 можно записать в виде [38]

$$x_{n+2} = \varphi(\varphi(x_n)) = F(x_n), \quad (19.16)$$

отсюда

$$F'(x) = (d\varphi/dx)|_{\varphi(x)}(d\varphi/dx)|_x \geq 0. \quad (19.17)$$

Но, как известно, всякой неподвижной точке x_i^* , отличной от x^* отображения $F(x_n) = \varphi^2(x_n)$, соответствует двукратный цикл отображения φ , т.е. две двукратные неподвижные точки x_i^* и x_i^{**} , $x_i^{**} = \varphi(x_i^*)$. Следова-

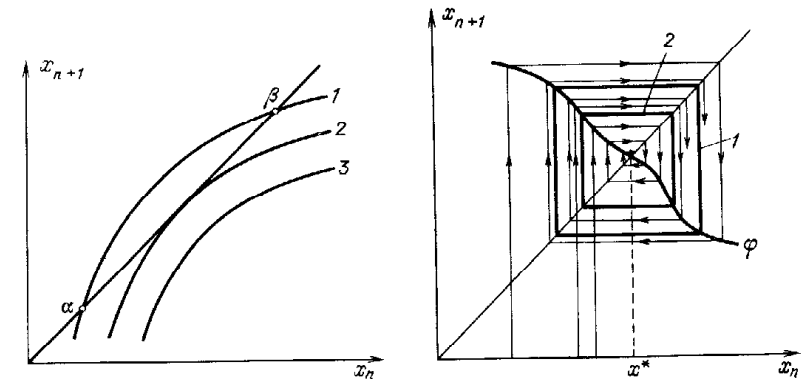


Рис. 2.55. Рождение (исчезновение) пары неподвижных точек: устойчивой β и неустойчивой α

Рис. 2.56. Устойчивый (1) и неустойчивый (2) циклы и устойчивая неподвижная точка x^* точечного отображения с $\varphi'(x) < 0$ [38]

тельно, вся прямая x_n разбивается на область притяжения неподвижной точки x^* (если x^* является устойчивой) и область притяжения двукратных циклов – устойчивого и неустойчивого (рис. 2.56).

Для взаимно однозначного отображения с $\varphi'(x) \leq 0$ возможны два типа бифуркаций: смена устойчивости неподвижной точки, при которой происходит рождение или исчезновение двукратного цикла (рис. 2.57а, б), и рождение (исчезновение) двукратных циклов (рис. 2.58а, б).

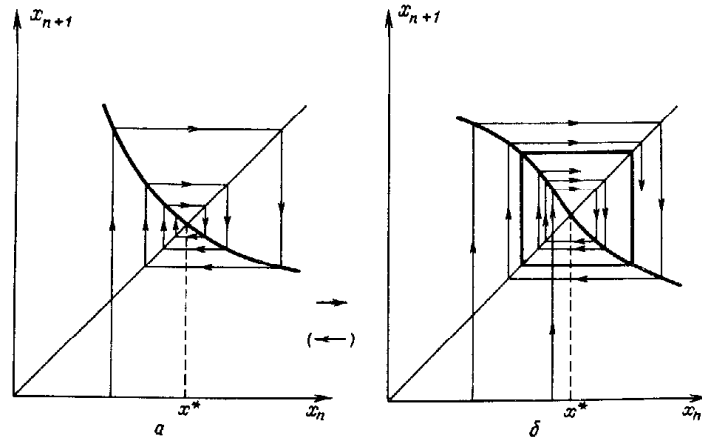


Рис. 2.57. Бифуркация потери устойчивости неподвижной точки x^* отображения (а) и рождение двукратного цикла (б) [38]

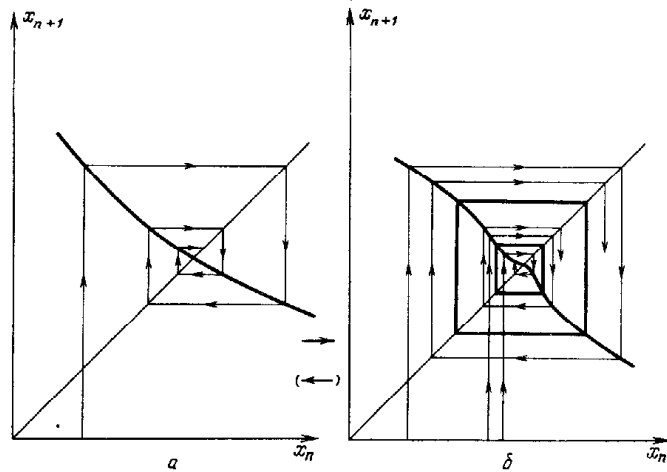


Рис. 2.58. Рождение (исчезновение) двукратных циклов точечного отображения [38]

Остановимся теперь на рассмотрении более сложных однозначных, но не взаимно однозначных отображений (рис. 2.59). Характерной особенностью таких отображений является возможность появления очень сложной динамики – аperiodических последовательностей x_0, x_1, x_2, \dots (рис. 2.59), когда при некоторых начальных условиях отображение не обладает никакими устойчивыми неподвижными точками любой кратности. Это следует из того факта, что если мы попытаемся восстановить последовательность точек в обратном направлении, то, поскольку обратное отображение φ^{-1} неоднозначно (например, двузначно, как на рис. 2.59), всякий раз возникает вопрос, какую из ветвей отображения φ выбрать.

Приведем формальные рассуждения, показывающие, что немонотонные отображения могут иметь бесчисленное множество различных кратных неподвижных точек [38].

Предположим, что обратное отображение φ^{-1} имеет p ветвей, т.е. состоит из совокупности p взаимно однозначных отображений φ_i^{-1} , $i = 1, 2, \dots, p$. Тогда φ_i^{-1} можно записать в виде $x_n = g_i(x_{n+1})$, $i = 1, 2, \dots, p$. Рассмотрим произведение m взаимно однозначных отображений

$$\Phi = \varphi_{i_m}^{-1} \varphi_{i_{m-1}}^{-1} \dots \varphi_{i_2}^{-1} \varphi_{i_1}^{-1}, \quad (19.18)$$

где i_m – любые целые числа от 1 до p . Это отображение монотонно и имеет хотя бы одну неподвижную точку $x_{i_1 i_2 \dots i_m}^*$. Но эта неподвижная точка является также неподвижной точкой отображения φ^{-m} , а следовательно, и отображения φ^m . Неподвижной точке φ^m отвечает либо неподвижная точка отображения φ , либо цикл определенной кратности. Первый случай может иметь место только тогда, когда $i_1 = i_2 = \dots = i_m$. Поскольку можно взять любое m и произвольно выбрать числа i_1, i_2, \dots, i_m от 1 до p (неподвижные точки различных отображений (18) обязательно разные), значит, немонотонное отображение будет иметь бесчисленное множество различных кратных неподвижных точек.

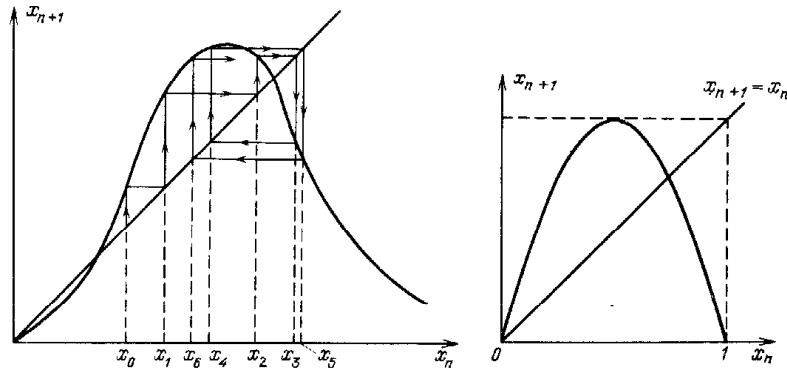
Рассмотрим простой пример [38, 117]. Пусть

$$x_{n+1} = 4x_n(1 - x_n). \quad (19.19)$$

Это отображение представляет собой частный случай так называемого квадратичного отображения (см. ниже) и имеет вид, показанный на рис. 2.60. Оно преобразует отрезок $[0, 1]$ в себя и, как легко убедиться, имеет бесконечное множество различных циклов, т.е. различных кратных неподвижных точек, причем все эти точки неустойчивы. В самом деле, из (19) имеем $dx_{n+1}/dx_n = -8(x - 1/2)$, откуда $|dx_{n+1}/dx_n| \leq 1$ при $|x - 1/2| \leq 1/8$ и $|dx_{n+1}/dx_n| > 1$ при $|x - 1/2| > 1/8$; m -кратный цикл отображения (19) устойчив или неустойчив, если (см. (14)) произведение

$$|\varphi'(x_1^*)| |\varphi'(x_2^*)| \dots |\varphi'(x_m^*)| = F_m'(x_1^*) \quad (19.20)$$

соответственно меньше или больше единицы. Нетрудно показать [38], что соотношение (20) всегда больше единицы. В силу этого все неподвижные точки отображения (19) будут неустойчивы. Следовательно, любая



Р и с. 2.59. Пример однозначного, но не взаимно однозначного отображения

Р и с. 2.60. Квадратичное отображение (19.19)

последовательность точек

$$x_1, x_2 = \varphi(x_1), x_3 = \varphi(x_2), \dots \quad (19.21)$$

является неустойчивой. Таким образом, поведение последовательностей, порожденных квадратичным отображением (19), будет чрезвычайно сложным.

Существует ряд теорем, используя которые можно определить, при каких условиях точечные отображения обладают сложной нерегулярной динамикой. Один из широко известных результатов здесь – теорема Шарковского о сосуществовании циклов [116, 117], утверждающая, что если отображение φ вида (11) имеет цикл периода, не равного 2^m , $m = 1, 2, 3, \dots$, например 3, то у φ есть циклы всех (в том числе сколь угодно больших) периодов, причем такие циклы отвечают начальным условиям множества ненулевой меры. Позже утверждение, являющееся частным случаем теоремы Шарковского, было доказано в работе Т. Ли и Дж. Йорке [225] и стало известно под названием теоремы "Период три рождает хаос".

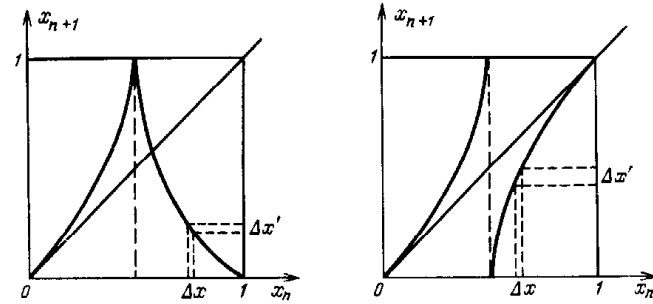
Если для одномерного ограниченного отображения во всей области значений x выполнено неравенство

$$|d\varphi/dx| > 1, \quad (19.22)$$

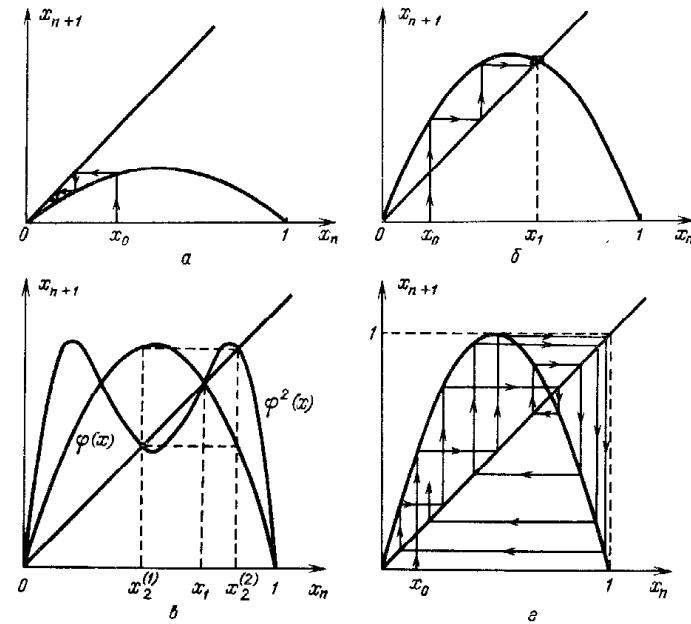
то такое отображение (рис. 2.61) обладает свойством неустойчивости: близкие точки под действием преобразования φ расходятся экспоненциально быстро, оставаясь в пределах конечного интервала. Следовательно, динамика такого отображения во многом аналогична динамике системы со странным аттрактором. Отображения (11), удовлетворяющие условию (22), называются *растягивающими*.

Большую известность получил результат [111, 179–181], носящий название *универсальности Фейгенбаума* *).

*) Следует отметить, что близкие закономерности были найдены ранее в [197].



Р и с. 2.61. Примеры растягивающих отображений: $\Delta x < \Delta x'$



Р и с. 2.62. Квадратичное отображение (19.23) при значениях μ , равных: $0 < \mu \leq 1$ (а), $1 < \mu \leq 3$ (б), $3 < \mu \leq 1 + \sqrt{6}$ (в), $\mu = 4$ (г)

Явление универсальности Фейгенбаума мы рассмотрим на примере однопараметрического квадратичного отображения

$$x_{n+1} = \mu x_n (1 - x_n). \quad (19.23)$$

Будем постепенно увеличивать параметр μ в интервале от 0 до 4 и следить за изменениями динамики этого точечного отображения. Тогда на отрезке $[0, 1]$, который отображение (23) преобразует в себя, получим следующую картину.

а) $0 < \mu \leq 1$. В этом случае квадратичное отображение имеет единственную неподвижную точку $x = 0$, которая является устойчивой (рис. 2.62а).

б) $1 < \mu \leq 3$. При $\mu > 1$ неподвижная точка $x = 0$ теряет устойчивость, поскольку теперь $\varphi'(0) > 1$, и на отрезке $[0, 1]$ появляется еще одна неподвижная точка $x_1 = 1 - 1/\mu$. Ее мультипликатор равен $\alpha(x_1) = \varphi'(x_1) = 2 - \mu$, и, следовательно, неподвижная точка x_1 будет устойчивой (притягивающей) (рис. 2.62б). При $\mu = 3$ точка x_1 все еще остается притягивающей, хотя $|\alpha(x_1)| = 1$.

в) $3 < \mu \leq 1 + \sqrt{6}$. Когда $\mu > 3$, отображение (23) претерпевает новую бифуркацию: неподвижная точка x_1 становится неустойчивой, и вместо нее появляется устойчивый двукратный цикл (рис. 2.62в), который образуют две двукратные неподвижные точки

$$x_2^{(1), (2)} = [\mu + 1 \pm (\mu^2 - 2\mu - 3)^{1/2}] / 2\mu. \quad (19.24)$$

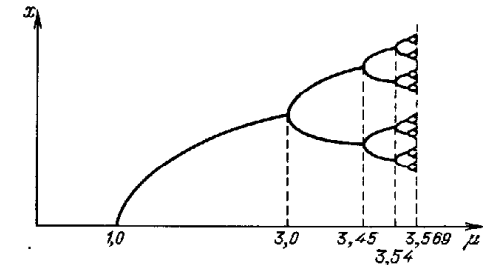
Их значения определяются из соотношения $\varphi^2(x_2) = x_2$, поскольку для такого отображения точки $x_2^{(1), (2)}$ являются неподвижными (рис. 2.62в).

$1 + \sqrt{6} < \mu < \mu_\infty = 3,5699 \dots$ При переходе параметра μ через значение $1 + \sqrt{6} \approx 3,45$ происходит следующая бифуркация: двукратный цикл $\{x_2^{(1)}, x_2^{(2)}\}$ теряет устойчивость, но при этом появляется притягивающий четырехкратный цикл. При $\mu > 3,54 \dots$ этот цикл становится неустойчивым, и его сменяет устойчивый цикл периода 8 и т.д. Последовательные бифуркации удвоения периодов притягивающего цикла отображения (23) происходят до значения $\mu = \mu_\infty = 3,5699 \dots$, при котором притягивающий цикл достигает бесконечно большого периода, а циклы периодов 2^m , $m = 1, 2, \dots$, будут отталкивающими. Циклов других периодов квадратичное отображение (23) в этом случае не имеет.

г) При $\mu_\infty < \mu \leq 4$ отображение имеет циклы с любым периодом. в том числе и аperiodические траектории. Такие траектории при последовательных итерациях будут нерегулярным, хаотическим образом блуждать внутри единичного квадрата (рис. 2.62г).

Таким образом, при $\mu < \mu_\infty$ отображение (23) имеет единственный устойчивый цикл периода 2^m , $m = m(\mu)$, который, кроме множества меры нуль, притягивает все точки из отрезка $[0, 1]$. Когда $\mu > \mu_\infty$, динамика отображения (23) становится более сложной. В этом случае существуют аperiodические траектории, не притягивающиеся к циклам. Более того, как показано в [156, 283], при $\mu = 4$ динамическая система, задаваемая квадратичным отображением (23), обладает свойством эргодичности и перемешивания с экспоненциальной расходимостью близких траекторий.

Рис. 2.63. Бифуркационная диаграмма квадратичного отображения (19.23)



Качественное изменение динамики отображения (23) при изменении параметра μ удобно представить с помощью так называемой бифуркационной диаграммы (рис. 2.63): по вертикальной оси откладываются неподвижные точки отображения, образующие устойчивый цикл периода 2^m , который появляется при $\mu = \mu_m$ из цикла периода 2^{m-1} , а по горизонтальной — значения μ . Последовательность значений μ_m , при которых наблюдаются бифуркации удвоения периода (рис. 2.63), удовлетворяет простому закону

$$\lim_{m \rightarrow \infty} [(\mu_m - \mu_{m-1}) / (\mu_{m+1} - \mu_m)] = \delta = 4,6692 \dots \quad (19.25)$$

Число δ называется *универсальной постоянной Фейгенбаума*. Эта постоянная не зависит ни от выбора отображения, ни от его размерности. Другими словами, последовательность бифуркаций удвоения является универсальной. Та же самая картина бифуркаций будет наблюдаться для любого точечного отображения с единственным максимумом, аппроксимируемым квадратичной параболой. Более того, от вида конкретного отображения не зависит и значение предела (25). Это явление получило название универсальности Фейгенбаума.

Итак, мы видели, что уже для одномерных точечных отображений, если они не являются монотонными, могут наблюдаться сложные режимы эволюции, которые естественно назвать хаотическими.

§ 20. Типичные сценарии перехода к хаосу

Как было показано в предыдущих параграфах, динамика диссипативных систем может быть самой разнообразной. В зависимости от вида аттрактора, присутствующего в фазовом пространстве, в системе может реализоваться либо регулярный режим движения — стационарный, периодический или квазипериодический, что соответствует простым аттракторам (стационарной точке, предельному циклу и инвариантному тору), либо хаотический, которому отвечает странный аттрактор. Если динамическая система зависит от параметра (в качестве параметра может выступать, например, температура, число Рейнольдса и т.п.), то при его изменении в общем случае аттрактор и соответственно поведение системы меняются плавно. Например, при небольшом изменении параметра может немного сдвинуться устойчивая точка, изменить свою форму и период предельный цикл или деформироваться инвариантный тор. При переходе параметра через

некоторое критическое значение аттрактор может претерпеть качественную перестройку, а динамика системы резко измениться. В частности, из предельного цикла может возникнуть инвариантный тор, и периодическое движение сменится квазипериодическим.

Значения параметров, при которых происходит топологическая (или качественная) перестройка установившихся режимов движения в системе, называются *бифуркационными значениями*, а сама перестройка – *бифуркацией*. При непрерывном изменении параметров могут возникнуть последовательности бифуркаций.

Установление в динамической системе хаотического режима движения в результате той или иной последовательности бифуркаций принято называть *сценарием* или *картиной развития хаоса*. Здесь мы обсудим наиболее важные и типичные из этих сценариев.

Предположим, что динамическая система, задаваемая дифференциальными уравнениями, зависит от некоторого управляющего параметра μ :

$$\dot{x} = v(x, \mu). \quad (20.1)$$

Предположим также, что система (1) имеет стационарное решение x^0 . Естественно, что это решение, вообще говоря, зависит от управляющего параметра, $x^0 = x^0(\mu)$. Допустим далее, что стационарная точка $x^0(\mu)$ системы (1) устойчива при $\mu < \mu_0$ и неустойчива при $\mu > \mu_0$. Следовательно, при $\mu = \mu_0$ реальная часть некоторых собственных значений матрицы линеаризации становится положительной, т.е. пересекает мнимую ось слева направо (рис. 2.64). Если при этом изменится топологическая структура разбиения фазового пространства системы на траектории, то точка $\mu = \mu_0$ будет точкой бифуркации потока $x(t)$ динамической системы (1).

При значениях $\mu < \mu_0$ поток $x(t)$ в окрестности x^0 легко описать, поскольку при $t \rightarrow \infty$ все траектории системы из этой окрестности стремятся к x^0 . Однако при $\mu > \mu_0$ это уже не так, и поэтому при переходе через значение μ_0 характер потока может внезапно измениться. В силу того, что при $\mu > \mu_0$ стационарная точка x^0 является неустойчивой, нас будет интересовать состояние системы при $\mu > \mu_0$. Мы рассмотрим только наиболее часто встречающиеся смены характера движений в системе при переходе через бифуркационное значение $\mu = \mu_0$.

Наиболее известным примером бифуркации стационарного состояния является *бифуркация Андронова – Хопфа*, когда стационарное решение x^0 динамической системы теряет устойчивость в результате того, что пара комплексно-сопряженных собственных значений $\lambda_{1,2} = \xi \pm i\omega$ матрицы линеаризации переходит в правую полуплоскость, так что $\xi > 0$ (рис. 2.64). При этом в системе возбуждаются периодические колебания с периодом $T \approx 2\pi/\omega$ и происходит бифуркация рождения из первоначально устойчивой стационарной точки предельного цикла с радиусом, растущим как $|\mu - \mu_0|^{1/2}$. Если в этом случае родившийся цикл устойчив, то говорят о *мягкой потере устойчивости*, или мягком возникновении колебаний в системе (рис. 2.65), поскольку при малом отклонении параметра μ от бифуркационного значения устанавливающийся колебательный режим мало отличается от состояния равновесия.

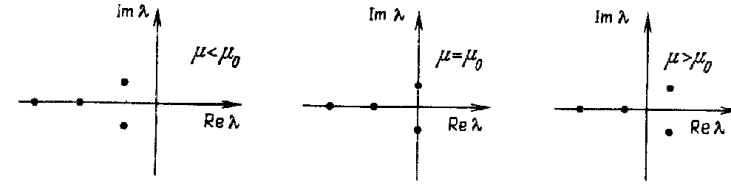


Рис. 2.64. Поведение корней λ при бифуркации Андронова – Хопфа: пара комплексно-сопряженных собственных значений переходит в правую полуплоскость

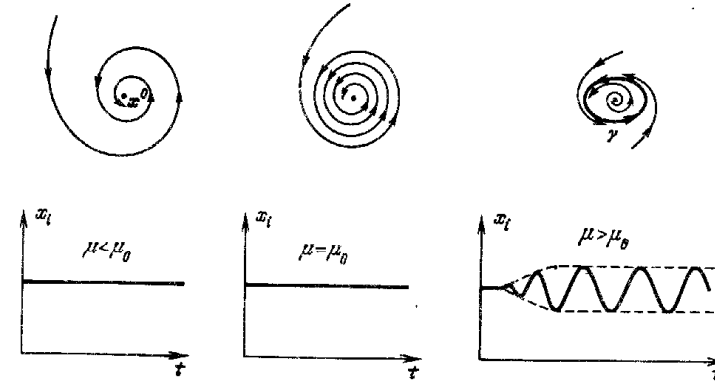


Рис. 2.65. Перестройка фазового портрета системы при мягкой потере устойчивости

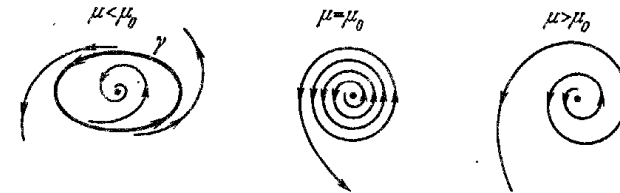


Рис. 2.66. Перестройка фазового портрета системы при жесткой потере устойчивости

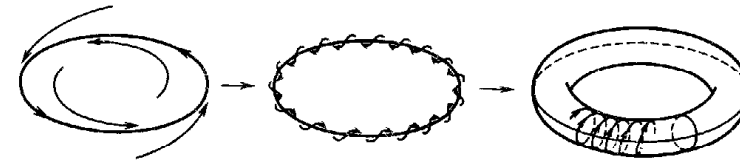


Рис. 2.67. Рождение двумерного тора из теряющего устойчивость предельного цикла

Другой часто встречающийся механизм бифуркации потери устойчивости стационарного состояния x^0 динамической системы, — это жесткое возбуждение, когда устойчивая стационарная точка сливается с окружающим ее неустойчивым предельным циклом. В этом случае с приближением управляющего параметра μ к бифуркационному значению μ_0 область притяжения стационарного состояния x^0 системы одновременно с размерами предельного цикла уменьшается до нуля, и при $\mu = \mu_0$ цикл исчезает, сливаясь с x^0 и передавая ему свою неустойчивость. При $\mu \geq \mu_0$ все фазовые кривые покидают некоторую окрестность точки x^0 (рис. 2.66). В этом случае реализуется *жесткая потеря устойчивости*: при прохождении через μ_0 система скачком переходит на другой режим движения.

Предположим, что в результате бифуркации Андронова — Хопфа родился устойчивый предельный цикл. Каковы дальнейшие возможные бифуркации в системе при изменении управляющего параметра? Ответ на этот вопрос не является однозначным: здесь, как и при бифуркации потери устойчивости стационарного состояния, может реализоваться несколько случаев. Мы остановимся только на самых характерных и важных случаях, при реализации которых дальнейшие бифуркации в системе (1) могут привести к появлению странного аттрактора:

1. Потеря устойчивости исходного цикла и рождение инвариантного двумерного тора (рис. 2.67).

2. Рождение предельного цикла удвоенного периода.

Исследуя устойчивость состояний, соответствующих ситуации 1, можно прийти к следующей картине. В результате бифуркации потери устойчивости предельного цикла в фазовом пространстве динамической системы рождается инвариантный тор. Как и для гамилтоновых систем, существенным моментом здесь является отношение частот движения вдоль меридиана тора и вдоль его осн. Если отношение иррационально, т.е. не может быть представлено как m/n , где m и n — целые числа, то фазовая траектория всюду плотно покрывает тор. В противном случае, т.е. при рациональном отношении частот, в фазовом пространстве возникнет предельный цикл, который расположен на торе. Поведение системы в этом случае станет периодическим.

С последующим изменением параметра μ в фазовом пространстве многомерной динамической системы может произойти потеря устойчивости двумерного инвариантного тора и рождение трехмерного тороидального многообразия. При этом поведение системы характеризуется тремя независимыми частотами. Дальнейшее изменение управляющего параметра может привести к последовательности бифуркаций, в результате которых в фазовом пространстве диссипативных динамических систем возникают инвариантные торы все возрастающей размерности. В конечном счете мы приходим к сложному квазипериодическому движению с k несоизмеримыми частотами, которое при очень большом k будет выглядеть как хаотическое. Считая, что такой путь развития хаоса действительно возможен, Ландау [74, 75] и независимо Хопф [209, 210] выдвинули гипотезу, согласно которой хаотическая динамика диссипативных систем есть не что иное, как движение по инвариантному тору большой размерности. Такой тор будет занимать в фазовом пространстве область, соответствующую всевозможным наборам начальных фаз, и наматывающаяся на него фазо-

вая траектория будет с течением времени проходить практически через любую сколь угодно малую часть этой области.

Однако, как было показано в § 15, квазипериодическое движение, пусть даже с очень большим числом несоизмеримых частот, не может быть названо хаотическим, поскольку для такого движения отсутствует разбегание фазовых кривых, ответственное за появление хаотической динамики. Кроме того, следует сказать, что многомерное квазипериодическое притягивающее движение с большим числом несоизмеримых частот не является типичным и встречается чрезвычайно редко. Под действием всегда присутствующих возмущений такое движение, скорее всего, с течением времени вырождается в периодическое, отвечающее появлению в фазовом пространстве предельного цикла, или же разрушается и дает начало хаотическому режиму. Отметим также, что картина Ландау — Хопфа не подтверждается экспериментально: после небольшого числа бифуркаций обычно наблюдается резкий переход к хаотическому движению.

Впервые на возможность разрушения притягивающего тороидального многообразия, в результате которой происходит рождение странного аттрактора, обратили внимание Д. Рюэль и Ф. Такенс [101] (см. также [247]). Авторы исследовали поведение решения динамической системы вида (1) при весьма общих предположениях относительно характера векторного поля v . Ими было показано, что если при изменении управляющего параметра μ после трех бифуркаций (начиная со стационарного состояния) и возникает трехчастотное квазипериодическое движение, как и в модели развития хаоса Ландау — Хопфа, то оно, как правило, неустойчиво, легко разрушается, и на месте разрушенного трехмерного тора появляется странный аттрактор.

Остановимся на этом сценарии развития хаоса более детально.

Напомним, что каждая динамическая система, как предполагалось выше, задается соответствующим векторным полем v , т.е. правыми частями дифференциальных уравнений (1). Совокупность всех возможных векторных полей v образует некоторое функциональное пространство Φ . Каждая точка этого функционального пространства отвечает одной из возможных динамических систем, и наоборот, каждая динамическая система соответствует единственной точке функционального пространства Φ . Если слегка возмутить правые части уравнений (1), т.е., как еще говорят, произвести малые шевеления соответствующего векторного поля v , мы получим новую динамическую систему, для которой векторное поле будет близко к исходному. Все динамические системы, векторные поля которых могут быть получены малым шевелением векторного поля данной динамической системы, образуют ее окрестность в функциональном пространстве Φ .

Говорят, что векторное поле v динамической системы является *грубым*, или *структурно устойчивым*, если имеется окрестность U поля v такая, что для каждого векторного поля v' из этой окрестности фазовый портрет качественно не отличается от фазового портрета динамической системы, задаваемой полем v . Соответственно свойство динамической системы структурно устойчиво, если при малых возмущениях системы это свойство сохраняется. Понятие структурной устойчивости (грубости)

впервые было введено для дифференциальных уравнений А.А. Андронова и Л.С. Понтрягиным [9].

При построении математической модели любого реального процесса всегда приходится прибегать к определенным упрощениям, пренебрегать влиянием малосущественных факторов и т.п. Следовательно, векторное поле, входящее в правую часть динамических уравнений, всегда будет известно лишь с какой-то степенью точности, т.е. в пределах некоторой малой окрестности U функционального пространства Φ . Поэтому очевидно, что если рассматриваемое свойство динамической системы не является структурно устойчивым, то для реальных систем оно в эксперименте наблюдаться не будет.

Теорема Рюэля и Такенса [101, 247] утверждает, что если существует векторное поле v на трехмерном торе, отвечающее трахчастотному квазипериодическому движению, то в любой окрестности U соответствующей точки функционального пространства Φ найдутся векторные поля v' на трехмерном торе, обладающие странными аттракторами. Аналогичное утверждение справедливо для квазипериодических движений и на торах большей размерности. Иначе говоря, в принципе достаточно слабо возмутить правые части системы (1), чтобы движение из квазипериодического с тремя несоизмеримыми частотами перешло в хаотическое. Однако это выполняется не для всех векторных полей v' , имеющих в окрестности U . Если бы векторное поле v было структурно неустойчиво, то, действительно, какие-нибудь малые возмущения привели бы к разрушению трехмерного тора и появлению режима движения, качественно отличного от квазипериодического. Теорема Рюэля — Такенса утверждает, что при малых возмущениях поля v может возникнуть странный аттрактор: в окрестности U существуют поля v' , среди которых есть такие, которые имеют странные аттракторы, и такие, которые не обладают ими. Доля областей, занятых векторными полями со странными аттракторами, конечно, однако эти области не заполняют всю окрестность U (рис. 2.68, [120]).

Некоторые экспериментальные данные свидетельствуют о том, что сценарий перехода к хаосу Рюэля — Такенса, по-видимому, действительно выполняется для ряда систем. Так, в [189] исследовались вихри Тейлора, возникающие в жидкости между двумя концентрическими цилиндрами, внутренний из которых может вращаться с постоянной скоростью (рис. 2.69). Динамика вихрей изучалась методом светового рассеяния. Свет, рассеянный небольшим объемом жидкости, несет информацию о частотах фурье-компонент радиальных составляющих скорости жидкости. Исследования проводились для различных значений числа Рейнольдса. Переход к хаотическому режиму в такой системе наблюдался вслед за тем, как последняя бифуркация приводила к квазипериодическому движению с тремя независимыми частотами [45, 189], которое являлось структурно неустойчивым и под действием естественных возмущений разрушалось, приобретая хаотические черты.

Были проведены эксперименты по исследованию конвекции Рэлея — Бенара в подогреваемом снизу горизонтальном слое жидкости [273]. С увеличением градиента температуры перед переходом к хаотическому движению в спектре скорости жидкости наблюдалась сначала одна, а затем

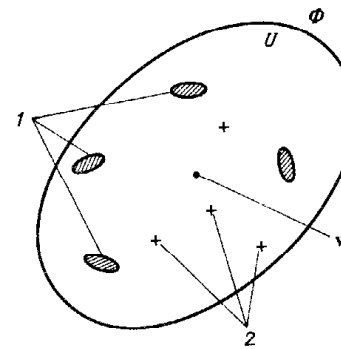


Рис. 2.68. Окрестность U векторного поля v в функциональном пространстве Φ : 1 — множество векторных полей, обладающих странными аттракторами; 2 — поля с регулярной динамикой [120]

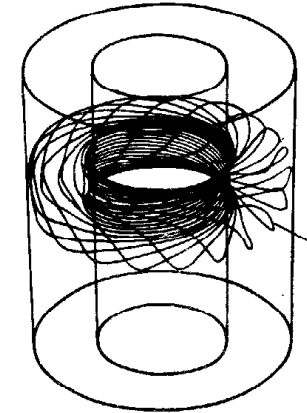


Рис. 2.69. Схема эксперимента по исследованию вихрей Тейлора: 1 — численно найденная траектория частицы внутри вихрей Тейлора [113]

две независимые частоты (рис. 2.70а, б). Хаотический режим, характеризующийся сплошным спектром, появлялся сразу вслед за квазипериодическим двухчастотным течением (рис. 2.70в).

Хаотическая динамика при исследовании конвекции Рэлея — Бенара в ртути [112] была обнаружена после того, как в спектре последовательно возникали три рационально независимые частоты. После появления третьей частоты для системы характерно возникновение низкочастотного шума со сплошным и широким спектром.

Эти и ряд других экспериментальных данных [3, 81, 128, 164, 168, 260] подтверждают сценарий Рюэля — Такенса: в спектрах движения появляется сначала первая, затем вторая и (иногда) третья независимые частоты. На пороге появления третьей частоты внезапно возникает широкополосный шум, свидетельствующий о хаотичности происходящих в системе процессов.

Хотя сценарий Рюэля — Такенса является достаточно типичным, кроме него есть еще как минимум два столь же часто осуществляющихся сценария. Ниже мы расскажем об одном достаточно типичном сценарии перехода к хаосу, основанном на каскаде бифуркаций Фейгенбаума [21, 111, 179, 180]. Этот сценарий отвечает описанной выше ситуации 2, когда в результате потери устойчивости исходного цикла в фазовом пространстве рождается цикл удвоенного периода. При дальнейшем увеличении управляющего параметра может снова произойти бифуркация потери устойчивости, в результате которой появится цикл учетверенного (по сравнению с исходным) периода, и т.д. В частности, возможна бесконечная последовательность удвоений периода исходного предельного цикла. Эта последовательность бифуркаций происходит на конечном интервале измене-

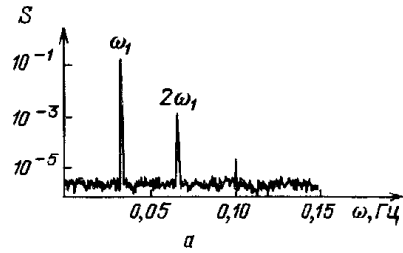
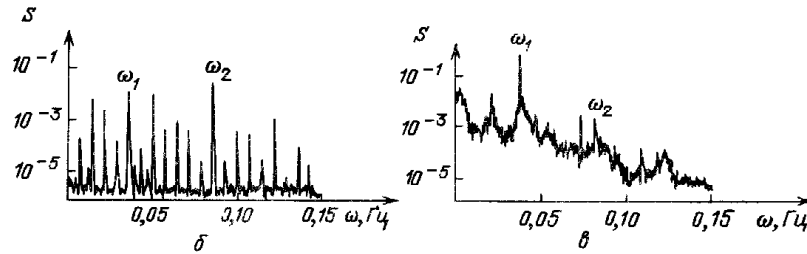


Рис. 2.70. Частотная зависимость спектральной плотности скорости жидкости в эксперименте Рэлея – Бенара: *a* – периодический, *б* – квазипериодический двухчастотный и *в* – хаотический режимы [273]



ния управляющего параметра и переводит систему от устойчивого периодического движения к хаотической динамике.

Рассмотрим это явление более подробно, иллюстрируя сказанное на примере системы Реслера [95, 162, 259]

$$\dot{x} = -(y+z), \quad \dot{y} = x+y/5, \quad \dot{z} = 1/5+z(x-\mu). \quad (20.2)$$

Уравнения (2) описывают динамику абстрактной химической реакции [44, 200]. При определенном значении параметра $\mu = \mu_1$ из устойчивой точки посредством бифуркации Андронова – Хопфа рождается предельный цикл периода τ_1 (рис. 2.71*a*). При увеличении μ , $\mu > \mu_1$ этот цикл остается устойчивым, пока не будет достигнуто следующее бифуркационное значение $\mu = \mu_2$. В этот момент цикл периода τ_1 превращается в сложный "восьмеркой" устойчивый предельный цикл вдвое большего периода $\tau_2 = 2\tau_1$ (рис. 2.71*б*). Он замыкается после двух оборотов теряющего устойчивость цикла, а в спектре движения появляются кратные гармоники.

С дальнейшим увеличением параметра μ , $\mu > \mu_2$ при $\mu = \mu_m$, $m = 3, 4, \dots$, в системе будут происходить последовательные бифуркации удвоения, приводящие к возникновению устойчивого периодического движения соответственно с периодами $2^m \tau_1$, $m = 3, 4, \dots$ (рис. 2.71*в, г*). Значения управляющего параметра $\mu = \mu_m$, при которых происходят очередные бифуркации удвоения, образуют сходящуюся последовательность:

$$\lim_{m \rightarrow \infty} \mu_m = \mu_\infty. \quad (20.3)$$

Когда $\mu = \mu_\infty$, предельный цикл достигает бесконечно большого периода, т.е. превращается в незамыкающуюся притягивающую фазовую траекторию, из которой при $\mu > \mu_\infty$ формируется странный аттрактор (рис. 2.71*д*). Динамика системы в этом случае характеризуется сплошным

спектром и разбеганием близких фазовых кривых. Скорость сходимости бесконечной последовательности μ_m определяется универсальной постоянной – числом Фейгенбаума:

$$\lim_{m \rightarrow \infty} [(\mu_m - \mu_{m-1}) / (\mu_{m+1} - \mu_m)] = \delta = 4,6692\dots \quad (20.4)$$

Описанному сценарию присуща универсальность: константа Фейгенбаума δ не зависит от конкретного вида динамической системы.

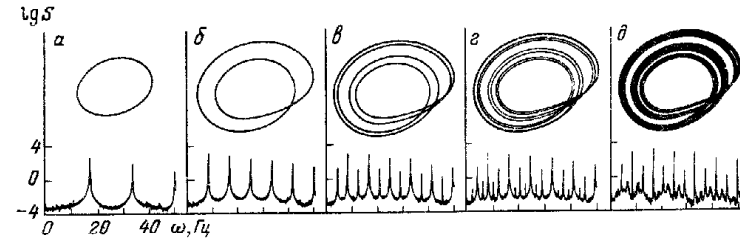


Рис. 2.71. Переход к странному аттрактору через последовательность бифуркаций удвоения периода предельного цикла в системе Реслера (20.2) при значениях μ , равных: 2,6 (*a*), 3,5 (*б*), 4,1 (*в*), 4,18 (*г*), 4,23 (*д*) [162]

Переход к хаотическому режиму через последовательность бифуркаций удвоения периода наблюдается также для неавтономных систем. Так, в [215] рассматривалось уравнение движения математического маятника с вязким трением под действием периодической вынуждающей силы:

$$\ddot{\theta} + \beta \dot{\theta} + \omega_0^2 \sin \theta = \nu \cos \omega_1 t. \quad (20.5)$$

Оказывается, при определенном выборе интенсивности вынуждающей силы, – так, чтобы маятник доходил до вертикального перевернутого положения ($\theta = \pi$), с изменением частоты внешнего воздействия ω_1 наблюдается последовательность бифуркаций удвоения.

Аналогичное явление для движения частицы в потенциальном поле под действием периодической вынуждающей силы при наличии вязкого трения обнаружено в [214].

Сценарий развития хаоса Фейгенбаума хорошо подтверждается численными исследованиями. Последовательности бифуркаций удвоения периода найдены во многих системах и отображениях (см., например, [78, 80, 95, 252]), в том числе и в системе Лоренца при больших значениях параметра r [258]. Ряд физических, химических и многие другие эксперименты также обнаруживают эти бифуркации и некоторые признаки универсальности [58, 141, 187, 188, 226, 229, 260, 279].

Заметим, что в реальных экспериментах и численных расчетах, где всегда имеются физические шумы или ошибки округления, бесконечную последовательность бифуркаций удвоения наблюдать не удастся. Вместо этого после нескольких бифуркаций удвоения движение сразу становится хаотическим. Влияние шумов на рассматриваемый сценарий перехода к хаосу обсуждается в [120, 163].

Кроме описанных широко распространен механизм возникновения хаотических колебаний, лежащий в основе сценария И. Помо и П. Манневилля [206, 236, 255] и связанный с переходом к хаотическому движению через перемежаемость*). При таком движении всплески хаотического поведения чередуются (перемежаются) с участками, на которых происходят почти периодические колебания (рис. 2.72).

Чтобы пояснить механизм, лежащий в основе перемежаемости, рассмотрим одномерное отображение вида

$$x_{n+1} = \varphi(\mu, x_n). \quad (20.6)$$

Будем считать, что график отображения (6) при определенном критическом значении параметра $\mu = \mu_c$ касается биссектрисы $x_{n+1} = x_n$. Для

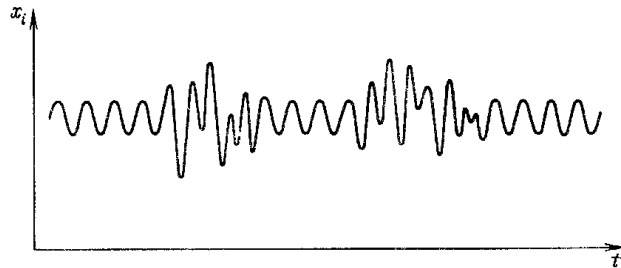


Рис. 2.72. Типичная временная зависимость динамических переменных x_i при переходе к хаосу через перемежаемость

удобства предположим, что точкой касания является начало координат $x = 0$ (рис. 2.73). Разложим вблизи нее функцию φ в ряд по степеням x_n :

$$\begin{aligned} \varphi(\mu, x_n) &= 0 + (\mu - \mu_c) \varphi' |_{x=0} + \\ &+ x_n \varphi' |_{x=0} + (1/2) x_n^2 \varphi'' |_{x=0} + \dots \end{aligned} \quad (20.7)$$

Теперь, определив соответствующим образом параметр μ и величину x_n , значение $(1/2) \varphi'' |_{x=0}$ можно обратить в единицу. Кроме того, легко видеть, что $\varphi' |_{x=0} = 1$. Следовательно, оставляя в разложении (7) члены не выше второго порядка малости, из (6) найдем

$$x_{n+1} = (\mu - \mu_c) + x_n + x_n^2. \quad (20.8)$$

Для такого отображения в случае $\mu < \mu_c$ существуют две неподвижные точки

$$x_{1,2}^* = \pm(\mu_c - \mu)^{1/2}, \quad (20.9)$$

одна из которых (x_1^*) устойчива, а другая (x_2^*) неустойчива (рис. 2.73). Если $\mu = \mu_c$, точки x_1^* и x_2^* сливаются и при $\mu > \mu_c$ исчезают. Когда значение параметра μ лишь немного превышает критическое, т.е. при $\mu - \mu_c \geq 0$, расстояние между линией (8) и биссектрисой $x_{n+1} = x_n$

*Отметим, что впервые об этом эффекте говорилось в [28, 83].

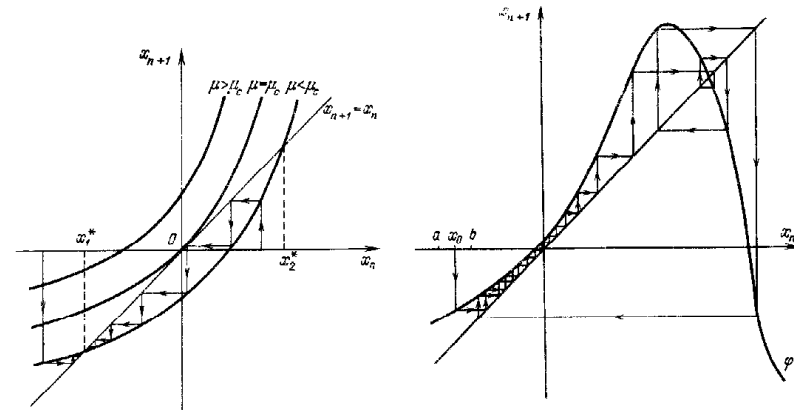


Рис. 2.73. Отображение (20.7) в окрестности начала координат

Рис. 2.74. Пример одномерного точечного отображения, демонстрирующего режим с перемежаемостью

будет малым вблизи начала координат $x = 0$ (рис. 2.73). В этом случае нетрудно убедиться, что при x_n , близких к нулю, потребуется очень большое число итераций отображения (т.е. много шагов по дискретному времени n), чтобы покинуть окрестности точки $x = 0$.

Представим себе теперь, что в отображении φ есть также участок, порождающий сложную динамику. Пусть начальная точка x_0 такого отображения находится в интервале $[a, b]$, обозначенном на рис. 2.74. Тогда этому положению точки x_0 будет отвечать определенная последовательность x_0, x_1, x_2, \dots , порождаемая преобразованием φ . На некотором шаге точка x_k этой последовательности обязательно попадает в область вблизи максимума функции φ и, совершив здесь несколько нерегулярных колебаний, опять будет отброшена в область малых значений x , после чего процесс повторится (рис. 2.74). Получаемая в результате такого процесса последовательность значений x_0, x_1, x_2, \dots не будет содержать циклов никакого конечного периода.

Обратимся теперь к системам дифференциальных уравнений. Для того чтобы система могла обладать хаотическим режимом, обусловленным странным аттрактором, число описывающих ее динамических переменных должно быть больше или равно трем. Если в такой системе перейти к отображению Пуанкаре, то в этом отображении фазовые траектории будут представлены некоторым множеством точек, нерегулярным образом заполняющих области секущей поверхности. При сильном сжатии отображение Пуанкаре для многих систем оказывается близким к одномерному, и поведение фазовых траекторий может быть приближенно описано с помощью одномерного точечного отображения. Когда изображающая точка такого одномерного отображения долгое время проводит в окрестности начала координат $x = 0$, для динамической системы это означает, что ее поведение будет почти периодическим.

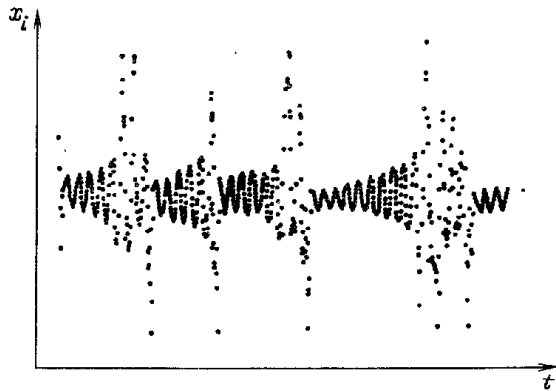


Рис. 2.75. Режим с перемежаемостью, обнаруженный в простой радиотехнической системе [213]

Покинув область с почти периодическим поведением, фазовая точка системы попадает в другую область фазового пространства, характеризующуюся сложной динамикой. (Эта область соответствует области максимума для точечного отображения, как на рис. 2.74.) Проведя некоторое время там, фазовая точка выбрасывается из нее и вновь попадает в ту область фазового пространства, где происходят почти периодические колебания. При этом фазовая траектория динамической системы никогда не замыкается и не уходит на бесконечность.

При подходе к значению $\mu = \mu_c$ со стороны $\mu > \mu_c$ (рис. 2.73) длительность пребывания системы в области с нерегулярной динамикой существенно не меняется, тогда как время, проводимое в области с почти периодическими колебаниями, возрастает при этом как $t \sim 1/|\mu - \mu_c|^{1/2}$ [75, 78, 120].

Развитие хаоса по сценарию Помо — Манневила наблюдалось и численно, и экспериментально. Так, исследования квадратичного отображения подтверждают этот сценарий [120, 238]. Система Лоренца в некотором узком интервале параметров также демонстрирует переход к хаосу через перемежаемость [235].

В другой работе [213] авторы изучали явление перемежаемости на примере простой радиотехнической системы. Результаты наблюдений выводились на осциллограф (рис. 2.75). Хорошо видно, что регулярные участки перемежаются с хаотическими.

Аналогичный переход к хаосу наблюдался во многих экспериментах. В частности, в исследованиях конвекции Рэлея — Бенара [138], химической реакции Белоусова — Жаботинского [40, 260] и др. [127, 186, 237, 290].

Нельзя утверждать, что мы привели исчерпывающий перечень всех возможных сценариев развития хаоса. Известны другие, менее распространенные сценарии, связанные с жестким возникновением странного аттрактора из двоякоасимптотических траекторий [21, 26, 95] (для системы Ло-

ренца такой сценарий реализуется при $\sigma = 10$, $b = 8/3$, $10 < r < 24,74$ (см. § 16)), с последовательностью удвоения и дальнейшим разрушением двумерных торов [5, 14, 129, 219], с утроением, учетверением и т.д. предельных циклов [21, 46, 212], сценарий перехода к хаосу с перемежаемостью типа "тор — хаос" [167, 268] и др. Мы рассказали лишь о тех путях развития хаоса, которые достаточно просты и часто наблюдаются в экспериментах и при численном моделировании.

§ 21. Пространственно-временной хаос

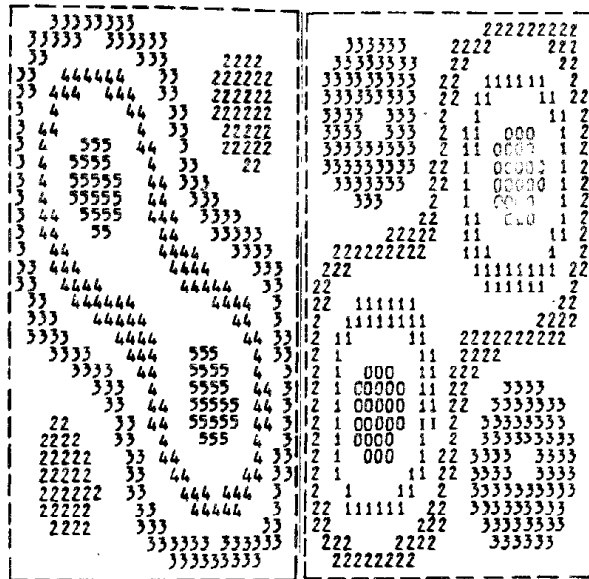
До сих пор мы рассматривали только сосредоточенные системы с конечным числом степеней свободы, которые могут обладать как свойствами регулярного движения, так и свойствами динамического хаоса. Однако кроме них существуют и распределенные системы. Типичным примером распределенных систем могут служить активные среды, о которых шла речь в гл. 1. В распределенных системах кроме регулярного поведения возможно возникновение хаотических пространственно-неоднородных автоколебаний, или турбулентности. Такие режимы эволюции распределенной системы называют *пространственно-временным хаосом*. К их числу относится гидродинамическая турбулентность, фибрилляции сердечной мышцы, сложные химические колебания и т.п. Здесь мы расскажем о некоторых результатах, относящихся к теории пространственно-временного хаоса для распределенных диссипативных систем.

Фазовое пространство распределенной системы является бесконечномерным. Каждая точка этого функционального пространства отвечает определенному распределению величин, характеризующих систему (например, полю температуры, давления, плотности и т.п.). Динамика распределенной системы описывается дифференциальными уравнениями в частных производных и состоит в последовательном изменении различных пространственных распределений. Поскольку каждому такому распределению ставится в соответствие определенная точка в фазовом пространстве, решение уравнений задает фазовую траекторию в этом пространстве. На случай распределенных систем легко обобщаются и многие другие понятия, введенные выше.

Нас будут интересовать прежде всего *диссипативные* распределенные системы. Их эволюция, как известно, сопровождается сжатием фазового объема. Это означает, что спустя достаточно большой промежуток времени все фазовые траектории окажутся сосредоточенными на каком-то подмножестве исходного бесконечномерного пространства. В частности, в фазовом пространстве распределенной системы могут существовать различные (конечномерные) аттракторы: стационарные точки, замкнутые притягивающие траектории и т.п. Могут иметься и более сложные конечномерные аттракторы, отвечающие хаотической динамике распределенной системы*).

Существование конечномерных аттракторов в распределенных системах было показано во многих работах (см., например, [31, 47, 71, 160,

*) В принципе возможны также бесконечномерные аттракторы, но этот вопрос до сих пор недостаточно исследован.



216, 248]). Мы приведем один характерный пример — конвекцию в ячейке Хеле — Шоу [86]. Такая ячейка представляет собой плоский прямоугольный сосуд, наполненный жидкостью, который равномерно подогревается снизу. При слабом подогреве жидкость остается в покое. С ростом притока тепла жидкость приходит в движение, совершая сначала периодические, а затем, при дальнейшем увеличении подогрева, аperiodические колебания. Ясно, что жидкость в ячейке Хеле — Шоу является распределенной системой, и полностью ее движение должно описываться уравнениями в частных производных. Однако оказывается, что установившееся поведение такой системы может быть очень хорошо аппроксимировано достаточно простой динамической системой из восьми обыкновенных дифференциальных уравнений (рис. 2.76а, б).

Наименьшее число независимых переменных, однозначно определяющих установившееся движение диссипативной распределенной системы, называют (минимальной) *размерностью вложения* и обозначают как d_e [82, 249, 275]. В приведенном только что примере размерность вложения равнялась восьми. Размерность вложения *аттрактора* — это минимальная размерность фазового подпространства, в которое без самопересечений может быть помещено гладкое подмногообразие, целиком содержащее этот аттрактор. Ясно, что размерность подпространства, куда вкладывается аттрактор, больше размерности аттрактора.

Приведем несколько примеров. Торондальную поверхность можно вложить в трехмерное пространство. Плоскую кривую — разместить без самопересечений на плоскости. Однако пространственная кривая (скажем, достаточно сложный цикл на торе) может быть помещена без самопересечений только в трехмерное пространство. Существует теорема, согласно которой любое гладкое многообразие размерности m всегда может быть вложено (помещено без самопересечений) в пространство как минимум размерности $2m + 1$ [98, 176]. Это означает, в частности, что любые кривые ($m = 1$) могут быть вложены в трехмерное пространство.

Странный аттрактор, характеризующийся фрактальной размерностью d_F , всегда можно вложить в пространство с целочисленной размерностью k , которая удовлетворяет неравенству $k \geq 2d_F + 1$ [233, 275]. Разумеется, в особых случаях для некоторых конкретных аттракторов размерность вложения может быть и меньше, вплоть до значения $[d_F] + 1$, где $[d_F]$ — целая часть d_F .

Возникает вопрос, как по экспериментальным данным установить размерность вложения распределенной системы? Ответ дает процедура, предложенная в [249, 275] и основанная на теореме Такенса [275, см. также 233]. Согласно этой процедуре для определения размерности вложения достаточно знать, как меняется со временем лишь *единственная* переменная в какой-то точке (например, температура или скорость жидкости в эксперименте по исследованию конвекции Рэлея — Бенара, см. § 17). Поясним идею этого метода.

Рис. 2.76. Исследование конвекции в ячейке Хеле — Шоу: а — физический эксперимент; б — результат численного интегрирования восьми обыкновенных дифференциальных уравнений, полученных из исходной распределенной системы в рамках галлеркинской аппроксимации [86]

Допустим, что мы изучаем распределенную систему, находящуюся в установившемся режиме. Тогда, регистрируя изменение какой-либо одной величины, например x , через *равные* промежутки времени τ , мы получаем последовательность значений

$$x(t) \equiv y_1, \quad x(t + \tau) \equiv y_2, \dots, x(t + (n-1)\tau) \equiv y_n, \dots \quad (21.1)$$

Вначале для простоты будем считать, что динамика этой системы эффективно описывается всего одним дифференциальным уравнением 1-го порядка. Тогда, как легко видеть, последовательность (1) будет однозначно определяться начальным значением y_1 , а остальные значения y_n будут функционально зависимыми от него, т.е. $y_2 = f(y_1)$, $y_3 = f(f(y_1))$ и т.д. Это означает, что все точки последовательности (1) на плоскости (y_{n+1}, y_n) будут ложиться на определенную линию $y_{n+1} = f(y_n)$.

Предположим теперь, что для описания системы требуется два обыкновенных дифференциальных уравнения 1-го порядка. В этом случае точки y_n уже не ложатся на линию, а будут сложным образом разбросаны по плоскости (y_{n+1}, y_n) . Теперь для однозначного задания последовательности (1) уже недостаточно только y_1 ; требуется дополнительно знать значение y_2 . Повторяя эти рассуждения для двух произвольных последовательных значений y_{n-1}, y_n , мы видим, что они должны однозначно определять значение y_{n+1} , т.е. должна существовать функция f такая, что $y_{n+1} = f(y_{n-1}, y_n)$.

В общем случае, если размерность динамической системы равна k , зная k последовательных значений $y_n, y_{n-1}, \dots, y_{n-k+1}$, можно однозначно восстановить по ним следующее значение y_{n+1} , т.е. должна существовать некоторая функция f такая, что $y_{n+1} = f(y_n, y_{n-1}, \dots, y_{n-k+1})$ для любого n . Иными словами, величина y_{n+1} оказывается функционально зависимой от $y_n, y_{n-1}, \dots, y_{n-k+1}$.

Метод, предложенный в [249, 275], формулируется следующим образом. Вначале через равные промежутки времени τ строится последовательность $y_1, y_2, \dots, y_n, y_{n+1}, \dots$ значений какой-либо наблюдаемой величины. Начиная с $k = 1$ осуществляется проверка того, будет ли при любом n значение y_{n+1} в этой последовательности функционально зависимым от предшествующих k значений $y_n, y_{n-1}, \dots, y_{n-k+1}$. Если такая функциональная зависимость отсутствует, число k увеличивается на единицу и проверка повторяется. То значение k , для которого функциональная зависимость будет найдена, дает минимальную размерность вложения $d_e = k$.

Рассмотрим теперь практические методы проверки на функциональную зависимость. Описанный выше способ, заключающийся в геометрическом построении функции $y_{n+1} = f(y_n, y_{n-1}, \dots)$, уже для размерности вложения $d_e = 3$ является невыполнимым. Вместо него можно использовать простой геометрический критерий, предложенный в [82] (см. также [146]).

Выберем в последовательности измерений (1), начиная с n -го элемента, произвольную последовательность длины k и рассмотрим всевозможные векторы $w^{(n)} = \{y_{n-k+1}, y_{n-k+2}, \dots, y_{n-1}, y_n\}$. Очевидно, что все такие векторы принадлежат некоторому k -мерному пространству. Зафиксируем одну из подпоследовательностей, начинающуюся с какого-то

номера n_0 , и обозначим соответствующий вектор как $w^{(0)}$. Рассмотрим расстояние $\rho_k(n, n_0)$ между произвольным вектором $w^{(n)}$ и этим вектором $w^{(0)}$:

$$\rho_k(n, n_0) = |w^{(n)} - w^{(0)}| = \left[\sum_{i=1}^k (y_{n-k+i} - y_{n_0-k+i})^2 \right]^{1/2}, \quad (21.2)$$

а также определим величину

$$r(n, n_0) = |y_{n+1} - y_{n_0+1}|. \quad (21.3)$$

Построим далее для различных n зависимость $r(\rho)$, откладывая по оси абсцисс значения $\rho_k(n, n_0)$, а по оси ординат — соответствующие им величины $r(n, n_0)$.

Наличие функциональной зависимости между y_{n+1} и предыдущими k членами $y_n, y_{n-1}, \dots, y_{n-k+1}$ означает существование некоторой функции f такой, что $y_{n+1} = f(w^{(n)})$. Поэтому

$$r(n, n_0) = |f(w^{(n)}) - f(w^{(0)})|. \quad (21.4)$$

Расстояние $\rho_k(n, n_0)$ стремится к нулю, когда вектор $w^{(n)}$ стремится к $w^{(0)}$. При этом, как видно из (4), $r(n, n_0)$ также должно стремиться к нулю. Если же функциональная зависимость отсутствует, то вектор $w^{(n)}$ не определяет однозначно значение y_{n+1} , и, следовательно, $r(n, n_0)$ не будет стремиться к нулю при уменьшении $\rho_k(n, n_0)$.

Таким образом, процедура нахождения размерности вложения заключается в следующем. Для различных n необходимо найти значения $\rho_k(n, n_0)$ и $r(n, n_0)$, согласно (2), (3), и отложить соответствующие точки на плоскости (r, ρ) , последовательно соединив их друг с другом, так что получится некоторая ломаная линия. Если функциональная зависимость при выбранном k достигнута, то в области малых значений ρ все участки этой ломаной располагаются вблизи начала координат. Размерность вложения — это минимальное значение k , начиная с которого ломаная обладает этим свойством.

В качестве иллюстрации описанного метода приведем результаты экспериментальной работы [109], в которой изучалась геометрия аттракторов для различных режимов хаоса в распределенной системе. Реализация алгоритма вычисления d_e согласно формулам (2)–(4) показана на рис. 2.77. Видно, что размерность вложения $d_e = 5$.

Более точный метод оценки размерности вложения для распределенных систем предложен П. Грассбергером и И. Прокаччиа [190, 192]. Этот метод позволяет также рассчитать так называемую корреляционную размерность странного аттрактора.

Предположим, как и прежде, что из эксперимента известна последовательность (1), построенная по единственной наблюдаемой с фиксированным временем запаздывания τ . Аналогично предыдущему выделим из этой последовательности различные произвольные подпоследовательности длины k и построим всевозможные векторы $w^{(n)}$. Определим по формуле (2) расстояние $\rho_k(n, n')$ для любой пары $w^{(n)}, w^{(n')}$ таких векторов. Возьмем некоторое значение l и вычислим корреляционный

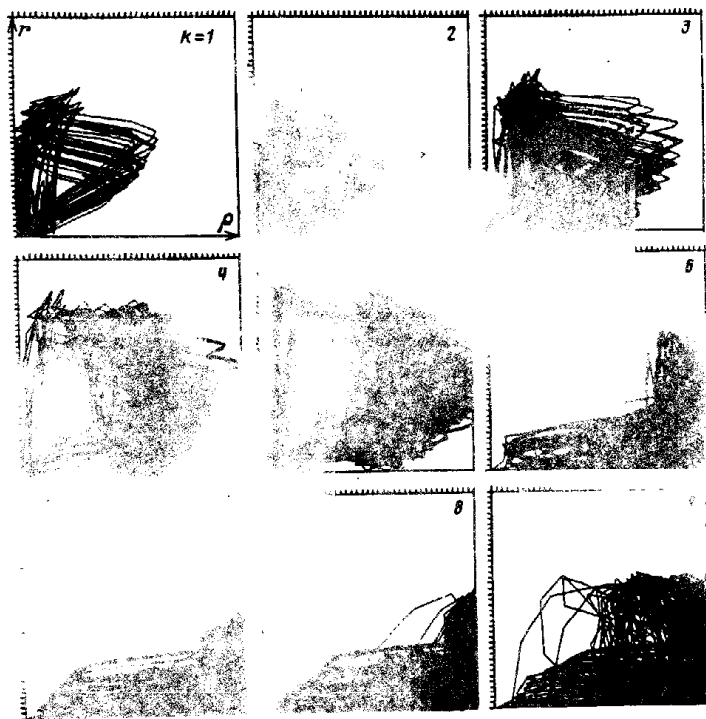


Рис. 2.77. Проверка функциональной зависимости $k + 1$ -й координаты от предыдущих в распределенной системе [109]

интеграл $C_k(l)$ как

$$C_k(l) = \lim_{N \rightarrow \infty} N^{-2} \sum_{n, n'=1}^N \Theta[l - \rho_k(n, n')]. \quad (21.5)$$

Здесь $\Theta(z)$ — ступенчатая функция Хевисайда такая, что $\Theta(z) = 0$ при $z < 0$ и $\Theta(z) = 1$ при $z \geq 0$, а N — полное число элементов в последовательности (1)*.

Как следует из (5), в корреляционный интеграл $C_k(l)$ дают вклад только те пары векторов $w^{(n)}$ и $w^{(n')}$, расстояние между которыми меньше или равно заданной величине l . При малых l корреляционный интеграл должен стремиться к нулю, т.е.

$$C_k(l) \sim l^{\alpha_k}. \quad (21.6)$$

*) В реальных условиях вместо предельной величины $C_k(l)$ вычисляется соответствующее значение для максимальной зарегистрированной последовательности измерений.

Величину α_k можно найти, построив график зависимости $\ln C_k(l)$ от $\ln l$. Таким образом, можно вычислить значение α_k для различных k , начиная с $k = 1$. Оказывается [192], что начиная с некоторого номера величина α_k , т.е. характерный наклон графика $\ln C_k(l)$ от $\ln l$, перестает возрастать с увеличением k . Это значение k дает размерность вложения аттрактора d_e , а предельный тангенс угла наклона — корреляционную размерность ν данного аттрактора. В общем случае значение корреляционной размерности не превышает фрактальной размерности d_F аттрактора, введенной в § 18 [190, 192]. Эти две размерности совпадают лишь при равномерном распределении точек на аттракторе [190, 192].

Приведем пример использования процедуры Грассбергера — Прокачиа.

В [231] методом поглощения светового потока изучалась конвекция Рэлея — Бенара. Узкий пучок света, рассеянный небольшим объемом жидкости, несет информацию о частотах фурье-компонент скорости жидкости. По экспериментальной последовательности измерений вычислялась зависимость $\ln C_k(l)$ от $\ln l$ для различных значений k (рис. 2.78). Из рисунка видно, что при $k > 4$ наклон графика не меняется, т.е. $d_e = 5$. Корреляционная размерность при этом равна $\nu \approx 2,8$.

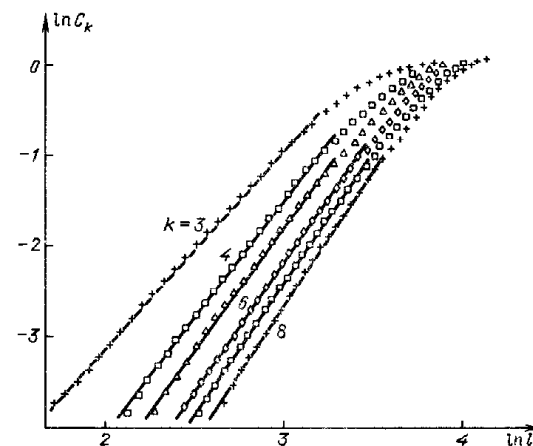


Рис. 2.78. Экспериментальная зависимость корреляционного интеграла C_k от l для ряда значений k (в логарифмическом масштабе) [231]

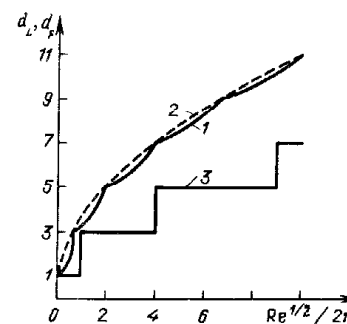


Рис. 2.79. Зависимость размерностей d_L и d_F от числа Рейнольдса Re для уравнения Гинзбурга — Ландау: точное значение $d_L(1)$, верхняя оценка $d_L(2)$, нижняя оценка фрактальной размерности $d_F(3)$ [171]

В [132, 173] процедура Грассбергера — Прокаччия использовалась для обработки электроэнцефалограмм, регистрирующих активность мозга. Метод Грассбергера — Прокаччия применялся для определения размерности вложения d_e и корреляционной размерности ν также во многих других экспериментальных исследованиях [47, 169, 175, 240, 289].

Заметим, что для систем с большой размерностью вложения использовать метод Грассбергера — Прокаччия становится трудно, поскольку при этом быстро возрастает требуемое число экспериментальных точек N [271].

Процедура Грассбергера — Прокаччия позволяет не только определять размерность вложения d_e и корреляционную размерность ν , но и отличать динамический хаос от случайного шума, всегда присутствующего в эксперименте [136, 242]. Обобщение понятия корреляционного интеграла дает возможность оценить снизу КС-энтропию [191]. Для наиболее эффективного использования процедуры Грассбергера — Прокаччия имеются рецепты оптимального выбора времени запаздывания τ [182], а также некоторые способы увеличения скорости сходимости метода [123, 280].

Ранее обсуждался главным образом вопрос о том, как определить некоторые количественные характеристики аттрактора, если известна лишь последовательность измерений какой-то физической величины, полученной, например, из экспериментальных данных. Существует, однако, и другая задача. Допустим, что нам известны динамические уравнения, описывающие некоторую распределенную активную среду. Как, зная эти уравнения, рассчитать размерность вложения и другие количественные характеристики пространственно-временного хаоса в такой системе?

В общем случае эта задача не решена. Поэтому ниже мы ограничимся рассмотрением одного конкретного примера, который играет важную роль в общей теории активных сред. Именно, рассмотрим осциллирующую активную среду, которая описывается обобщенным уравнением Гинзбурга — Ландау (см. § 10):

$$\dot{\eta} = (\alpha_1 - i\alpha_2)\eta - (\beta_1 + i\beta_2)|\eta|^2\eta + (D_1 + iD_2)\frac{\partial^2\eta}{\partial x^2}. \quad (21.7)$$

В [170, 171] получена аналитическая оценка ляпуновской размерности d_L для аттрактора этого уравнения в одномерном случае при периодических граничных условиях. Пусть x в (7) меняется в интервале от 0 до L_0 . Удобно ввести параметр $Re = \alpha_1 L_0^2 / D_1$, который играет роль эффективного числа Рейнольдса для рассматриваемой системы. Если $|\beta_2/\beta_1| \leq \sqrt{3}$, то ляпуновские характеристические показатели имеют вид

$$\lambda_n = (D_1/L_0^2)(Re - (2\pi)^2[n/2]), \quad (21.8)$$

где $[n/2]$ означает целую часть числа $n/2$, $n = 1, 2, \dots$. Тогда ляпуновская размерность d_L легко рассчитывается по формуле Каплана — Йорке (18.6). Полученная зависимость d_L от Re показана на рис. 2.79.

Нетрудно также получить очень простую верхнюю оценку ляпуновской размерности d_L :

$$d_L \leq 2(3Re/4\pi^2 + 1/4)^{1/2}. \quad (21.9)$$

Она показана штриховой линией на рис. 2.79. Эта оценка совпадает с точным значением d_L в точках, где d_L равна любому нечетному целому числу. Напомним, что ляпуновская размерность d_L дает верхнюю оценку для фрактальной размерности (см. § 18).

Кроме того, удается найти нижнюю оценку фрактальной размерности

$$d_F \geq 1 + 2[Re^{1/2}/2\pi], \quad (21.10)$$

где квадратные скобки вновь обозначают взятие целой части. На рис. 2.79 она изображена ступенчатой линией.

При выполнении неравенства $|\beta_2/\beta_1| > \sqrt{3}$ можно получить лишь верхнюю оценку для ляпуновской размерности [170, 171].

Из поведения верхней и нижней оценок d_F (9), (10) при больших Re следует, что

$$d_F \sim Re^{1/2}/2\pi, \quad Re \gg 1. \quad (21.11)$$

Этот результат имеет простую физическую интерпретацию: размерность аттрактора примерно равна "числу независимых степеней свободы" для рассматриваемой системы при заданном Re . Число степеней свободы можно оценить как L_0/L_g , где $L_g = 2\pi(D_1/\alpha_1)^{1/2}$ есть самая короткая длина волны для самовозбуждающихся мод. (Все моды, имеющие более короткую длину волны, являются затухающими.) Легко убедиться, что согласно (11) $d_F \sim L_0/L_g$ при $Re \gg 1$. Понятие эффективного числа степеней свободы при турбулентном движении впервые ввел в рассмотрение Л.Д. Ландау [74, 75].

Численные и аналитические исследования свойств пространственно-временного хаоса в распределенных активных средах в настоящее время испытывают бурное развитие. Наряду с такими исследованиями для уравнения Гинзбурга — Ландау [10–12, 29, 41, 42, 50] проводился также подробный анализ развития конечномерной турбулентности в гидродинамических потоковых системах [4, 11, 13, 41]. Кроме того, имеется ряд работ [67–70, 147], в которых получены строгие результаты о характеристиках пространственно-временного хаоса для отображений, служащих аппроксимациями распределенных активных сред.

ОБРАБОТКА ИНФОРМАЦИИ РАСПРЕДЕЛЕННЫМИ ДИНАМИЧЕСКИМИ СИСТЕМАМИ

Знание основных закономерностей образования структур в активных средах, а также в сетях, состоящих из большого числа активных элементов, позволяет перейти к целенаправленному созданию распределенных динамических систем, которые формируют те или иные пространственные структуры. Одним из основных приложений при этом являются задачи аналоговой обработки информации. Использование в качестве элементарной единицы обработки информации не отдельных сигналов, а протяженных пространственных структур дает возможность резко повысить эффективность компьютера в проблемах искусственного интеллекта. Имеется ряд свидетельств, что именно аналоговые механизмы лежат в основе работы человеческого мозга.

§ 22. Мозг и компьютер

Человеческий мозг — это гигантская сеть из десятков миллиардов нервных клеток — нейронов, связанных между собой отростками (дендритами и аксонами). Число связей одного нейрона может достигать десятков тысяч. Благодаря работам нейрофизиологов достаточно хорошо известен механизм действия отдельного нейрона. Отвлекаясь от быстрых переходных процессов, можно сказать, что нервная клетка способна находиться в одном из трех дискретных состояний — покое, возбуждении и рефрактерности (состоянии невозбудимости). Переходы между состояниями управляются как процессами внутри самой клетки, так и электрическими сигналами, поступающими к ней по отросткам от других нейронов. Переход от состояния покоя к возбуждению происходит пороговым образом при почти одновременном поступлении достаточно большого числа импульсных сигналов возбуждения. Оказавшись в возбужденном состоянии, нейрон находится в нем в течение определенного времени, а затем самостоятельно переходит в состояние рефрактерности. Это состояние характеризуется очень высоким порогом возбуждения: нейрон практически не способен реагировать на приходящие к нему сигналы возбуждения. Через некоторое время способность к возбуждению восстанавливается и нейрон возвращается в состояние покоя.

При переходе в возбужденное состояние в выходном отростке (аксоне) генерируется импульс возбуждения, распространяющийся по нему со скоростью от 1 до 100 м/с; в основе процесса распространения лежит

изменение локальной проводимости мембраны аксона по отношению к ионам натрия и калия. Между нейронами нет прямых электрических контактов. Перенос сигнала с аксона на входной отросток (дендрит) другого нейрона происходит химическим путем в специальной области — синапсе, где окончания двух нервных клеток подходят близко друг к другу. Некоторые из синапсов являются особыми. Под действием сигналов возбуждения они формируют в дендрите импульсы торможения, имеющий обратную электрическую полярность. При одновременном поступлении в нейрон такие импульсы способны гасить сигналы возбуждения.

Помимо устройства отдельной нервной клетки относительно хорошо изучены глобальные аспекты деятельности мозга — специализация его больших областей, функциональные связи между ними и т.п. В то же время мало известно, как же осуществляется обработка информации на промежуточном уровне, в участках нейронной сети, содержащих всего десятки тысяч нервных клеток.

Иногда мозг уподобляют колоссальной вычислительной машине, отличающейся от привычных компьютеров лишь значительно большим числом составляющих его элементов. Считается, что каждый импульс возбуждения переносит единицу информации, а нейроны играют роль логических переключателей в полной аналогии с устройством ЭВМ. Такая точка зрения полностью ошибочна*). Работа мозга должна основываться на совершенно иных принципах. В мозге нет жесткой структуры связей между нейронами, которая была бы подобна электрической схеме ЭВМ. Надежность его отдельных элементов (нейронов) гораздо ниже, чем элементов, используемых для создания современных компьютеров. Разрушение даже таких участков, которые содержат довольно большое число нейронов, зачастую почти не влияет на эффективность обработки информации в этой области мозга. Часть нейронов отмирает при старении организма. Никакая вычислительная машина, построенная на традиционных принципах, не сможет работать при таких обширных повреждениях.

Современные вычислительные машины выполняют операции последовательно, по одной операции на такт (подобно человеку с арифмометром или логарифмической линейкой). Число извлекается из *памяти*, помещается в *процессор*, где над ним производится некоторое действие в соответствии с диктуемой *программой* инструкцией, и результат вновь направляется в память (рис. 3.1). Вообще говоря, при выполнении отдельной операции электрический сигнал должен пробежать по соединительным проводам расстояние порядка размера центрального процессора. Отсюда возникает ограничение на быстродействие такой вычислительной машины.

Пусть размер процессора равен 30 см. Электрический сигнал пробегает это расстояние по металлическим проводам со скоростью света за время 10^{-9} с. Поэтому, если все операции выполняются последовательно, теоретический предел быстродействия этой вычислительной машины составляет миллиард операций в секунду. В действительности быстродействие, кроме того, ограничивается скоростью срабатывания отдельных

*) Поверхностную аналогию между мозгом и компьютером подвергал критике один из основателей молекулярной биологии Ф. Крик [64].

элементов компьютера. В целом быстродействие современных машин уже довольно близко подошло к своему теоретическому пределу. Этого быстродействия, однако, совершенно недостаточно, чтобы организовать управление сложными системами, непрерывный анализ больших потоков информации, решение типичных задач "искусственного интеллекта".

Если распространить приведенные выше рассуждения на человеческий мозг, результаты будут абсурдными. Ведь скорость распространения сигналов по нервному волокну не превышает 100 м/с, что в сотни миллионов раз меньше скорости света. Если бы мозг работал, как традиционная

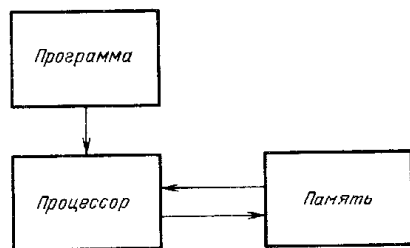


Рис. 3.1. Упрощенная блок-схема традиционной ЭВМ

ЭВМ, теоретический предел его быстродействия равнялся бы всего тысяче логических операций в секунду. Даже по самым грубым оценкам этого совершенно недостаточно, чтобы объяснить высокую эффективность работы мозга.

Очевидно, что деятельность мозга связана с параллельной обработкой информации (известно, например, что мозг решает за 100 шагов задачи, требующие от традиционного компьютера выполнения нескольких миллионов операций). К настоящему времени организация параллельных вычислений уже используется в наиболее совершенных ЭВМ, чтобы преодолеть ограничения, связанные с конечной скоростью распространения сигналов. Принцип проведения вычислений в несколько параллельных потоков реализован в мощных суперкомпьютерах, но в наиболее полной мере параллелизм выполнения операций используется в компьютерах с *матричными* процессорами.

Матричный процессор можно представить себе как сеть из более простых (примитивных) процессоров. Каждый примитивный процессор обладает небольшой собственной памятью и может обмениваться информацией лишь со своими ближайшими соседями по сети (рис. 3.2).

Техника параллельного вычисления наиболее эффективна для решения задач, удовлетворяющих условию локальности, когда изменение состояния данного малого элемента среды за малый промежуток времени определяется лишь мгновенным состоянием этого элемента и его ближайших соседей. Примитивный процессор "знает" лишь о состоянии своего малого элемента среды. Основываясь на этой информации и на полученных от соседних процессоров сведениях о состоянии ближайших элементов, каждый процессор вычисляет согласно инструкции, поступающей от центрального программного блока, состояние своего элемента в следующий момент времени. Ограничение на быстродействие, обусловленное

конечной скоростью распространения сигналов, здесь отсутствует, ибо обмен сигналами идет только между ближайшими соседями, а расстояние между ними можно сделать очень малым.

Допустим, что наша задача заключается в решении уравнения теплопроводности

$$\frac{\partial u}{\partial t} = \partial^2 u / \partial x^2. \quad (22.1)$$

Соответствующая явная разностная схема имеет вид

$$u_j^{n+1} = u_j^n + (\tau/h^2) (u_{j+1}^n + u_{j-1}^n - 2u_j^n), \quad (22.2)$$

где τ — шаг по времени, h — шаг по координате.

Моделирование процесса теплопроводности на матричном процессоре осуществляется крайне просто. Каждый примитивный процессор в цепочке хранит в памяти только одно число u_j^n — свое состояние в текущий момент времени — и получает от соседей сведения об их состояниях u_{j-1}^n и u_{j+1}^n в тот же момент времени. На основе этой информации по алгоритму (2) примитивный процессор вычисляет свое состояние в следующий, $n+1$ -й момент времени, после чего цикл повторяется.

Очевидно, что аналогичным образом на матричном процессоре могут моделироваться и другие явления, описываемые уравнениями электродинамики, диффузии, гидро- и аэродинамики и т.п. Этим способом можно моделировать также эволюцию квантовых систем, для которых изменение со временем волновой функции подчиняется уравнению Шредингера. Отдельный класс задач, для решения которых с успехом применяются матричные процессоры, — обработка изображений. Требуемые для такой обработки основные операции (усиление контрастности, выделение контуров и т.п.) являются локальными и могут выполняться одновременно для разных областей обрабатываемой картины.

Работа матричного процессора устойчива по отношению к локальным повреждениям. Если какой-то из примитивных процессоров вышел из строя, это скажется лишь на правильности вычислений, производимых в его малой окрестности, и не приведет к срыву работы всего компьютера.

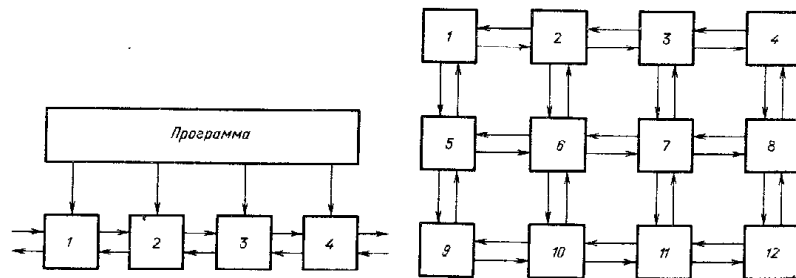


Рис. 3.2. Упрощенная блок-схема ЭВМ с матричным процессором. Каждый примитивный процессор 1, 2, 3, ... обладает своей собственной памятью и обменивается информацией с ближайшими соседями

Рис. 3.3. Упрощенная блок-схема вычислительной сети. Каждый примитивный компьютер 1, 2, 3, ... обменивается информацией с соседями по сети

Следующим этапом в развитии идеи параллельных вычислений явилось создание *вычислительных сетей*. В отличие от описанного выше матричного процессора, где все отдельные примитивные процессоры проводят вычисление одновременно, по единой команде из центрального программного блока, вычислительная сеть представляет собой систему связанных между собой относительно автономных примитивных компьютеров. Каждый из них содержит все основные компоненты самостоятельного компьютера, т.е. память, процессор и программный блок (рис. 3.3). Такое своеобразное "сообщество" примитивных компьютеров проводит коллективно параллельные вычисления, обмениваясь информацией друг с другом.

Вычислительная сеть напоминает многоклеточный организм. После того, как указана программа (т.е. репертуар реакций) каждого примитивного компьютера и начальные состояния всех их, сеть как бы начинает "жить своей жизнью" и прямо моделирует в ходе своей эволюции интересующий нас процесс.

Довольно очевидно, что функционирование вычислительной сети как сообщества компьютеров не зависит существенно от того, как именно устроен каждый отдельный компьютер, какими процессами внутри него обеспечена обработка информации.

В настоящее время уже выпускаются ЭВМ, представляющие собой вычислительные сети. Они состоят из относительно малого числа примитивных компьютеров, каждый из которых обладает сложной внутренней структурой и является, в сущности, традиционным малым компьютером с последовательным выполнением операций. Можно представить себе, однако, и иную ситуацию, когда число примитивных компьютеров очень велико, но каждый из них — это чрезвычайно простое устройство, способное совершать всего несколько операций и хранить в своей памяти мгновенные значения нескольких величин.

С математической точки зрения подобные сети, состоящие из элементов с простым репертуаром реакций, принято рассматривать как *клеточные автоматы* (см. § 23).

Мозг гораздо ближе к матричному процессору, чем к традиционной ЭВМ с последовательным выполнением операций. Однако существует фундаментальное различие между мозгом и любым параллельным компьютером. Дело в том, что нейронные сети мозга вообще не заняты никакими вычислениями.

Это утверждение может показаться странным. Чем же мы занимались в школе на уроках арифметики? Тут нужно прежде всего напомнить, что сейчас мы обсуждаем не интегральные аспекты деятельности мозга, а характер функционирования его небольших участков. Способность к абстрактному мышлению и, в частности, к обращению с числами и математическими символами свойственна только человеку, т.е. приобретена на очень поздней стадии эволюционного развития. Это не сопровождалось какими-либо существенными изменениями в устройстве нервных клеток и организации нейронной сети. Абстрактное мышление вторично, надстроечно, по отношению к фундаментальным механизмам работы мозга.

Бессмысленно допускать, что когда кошка настигает в прыжке птичку, ее мозг решает в считанные доли секунды сложные дифференциальные

уравнения, описывающие траекторию прыжка. Глубинные механизмы, на которых базируется человеческое мышление, должны быть общими с теми, которые были у наших эволюционных предшественников. Язык и способность манипулировать с абстрактными символами должны строиться из чего-то, что уже было у "неразумных" животных.

В связи с этим хотелось бы привести высказывание А. Эйнштейна: "Слова и язык, по-видимому, не играют никакой роли в моем механизме мышления. Физические сущности, которые в действительности, видимо, служат элементами мышления, — это определенные знаки и более или менее ясные образы, которые могут "произвольно" воспроизводиться и комбинироваться. . . . Такая комбинационная игра является, возможно, существенным признаком продуктивного мышления — когда еще нет никакой связи с логической конструкцией из слов или каких-то признаков, предназначенных для сообщения другим людям. В моем случае указанные элементы принадлежат к зрительному и отчасти даже мускульному типу. Обычные слова приходится подбирать лишь на второй стадии, когда упомянутая игра уже достаточно упорядочена и может воспроизводиться по желанию" [1].

Разумеется, те образцы, о которых говорит Эйнштейн, относятся уже к довольно высокому уровню функционирования мозга. И все же его слова проливают, как кажется, свет на характер процессов, лежащих в основе мышления. Можно предположить, что мозг хранит и перерабатывает информацию в образах. Он работает как колоссальная "аналоговая" машина, где окружающий мир находит отражение в пространственно-временных структурах активности нейронов. Образное моделирование позволяет строить предсказания будущих событий и планы действий.

Подобный механизм работы мозга мог естественно возникнуть в ходе биологической эволюции. Для простейшего животного основная функция нервной системы состоит в том, чтобы преобразовать ощущения, вызываемые внешним миром, в определенную двигательную активность. Дождевой червь стремится покинуть освещенное место, лягушка мгновенно атакует любой передвигающийся малый предмет, оказавшийся в ее поле зрения. Существенные для поведения животного аспекты внешнего мира формируют определенный образ — картину активности некоторой группы нейронов. Этот образ, в свою очередь, должен вызывать соответствующий акт движения, т.е. трансформироваться в определенную активность другой группы нейронов, управляющих сокращениями мышечных волокон. На ранних стадиях эволюции связь между образом-ощущением и образом-движением является прямой, однозначной и наследственно закрепленной в исходной структуре соединений между нейронами. На более поздних стадиях эта связь усложняется, появляется способность к индивидуальному обучению. Теперь уже образ-ощущение не связан жестко с планом действий. Вначале осуществляется его промежуточная обработка и сравнение с хранящимися в памяти картинками. Промежуточная обработка образов становится все более сложной по мере движения вверх по эволюционной лестнице. В конечном счете после длительного развития формируется процесс, называемый нами *мышлением*.

Приведенные выше общие рассуждения нуждаются в дальнейшей конкретизации. Прежде всего, необходимо уточнить, что именно мы вкладываем в понятие "образ".

Ясно, что мозг не в состоянии полностью моделировать все явления в окружающем человека (или животное) мире. Вместо этого он использует в своей работе построенную в нем картину внешнего мира, которая включает только те свойства, которые существенны для жизнедеятельности человека (или животного). Для этого необходима первичная обработка поступающего из внешнего мира информационного потока, с тем чтобы выделить из него существенные характеристики. Подобная первичная обработка сопровождается, по-видимому, сжатием информации.

Сжатие информации означает проведение классификации: различные состояния окружения необходимо отнести к одному и тому же классу, если они обладают одними и теми же свойствами. Ясно, что классификация может быть успешной, лишь если она основывается на определенных инвариантах внешнего мира. Распознавание этих инвариантных характеристик (или *закономерностей*) является одной из наиболее важных функций мозга.

Например, все буквы "а", независимо от своего написания, должны распознаваться как единый объект; все треугольники с разными ориентациями и отношениями сторон должны рассматриваться как объекты, отличные от квадратов или окружностей. Мы умеем узнавать людей, т.е. способны определить, что перед нами один и тот же человек, независимо от его возраста, одежды, выражения лица и т.п. Мозг способен распознавать временные последовательности. В частности, нам нетрудно установить идентичность мелодии независимо от того, исполняется ли она какими-то музыкальными инструментами, человеческим голосом, хором голосов или же целым симфоническим оркестром. Наконец, решение задач человеком часто представляет собой их распознавание по типу требуемой для решения последовательности действий.

Образ — это типичная картина (мелодия, последовательность действий), отвечающая целому классу различных допустимых картин. *Распознавание* образов предполагает, что мозг хранит в своей памяти наборы разных типичных картин и может сравнивать с ними любую поступающую на вход картину, основываясь на определенных критериях.

Типичные картины, хранящиеся в мозге, являются либо генетически унаследованными, либо индивидуально приобретенными. Различие между этими двумя ситуациями не очень глубокое. В обоих случаях имеет место процесс *обучения*, в ходе которого типичные картины каким-то путем формируются на основе опыта, разница лишь в характерных временах обучения.

В простейшей форме процесс обучения можно описать следующим образом. Имеется набор картин, о которых известно, что они принадлежат к одному и тому же классу. Требуется найти такую картину-прототип, которая будет достаточно близкой ко всем картинам из этого класса и далекой от картин из других классов согласно определенному критерию. Чтобы решить эту задачу, достаточно случайно генерировать большое число различных картин и произвести сравнение каждой из них со всеми имеющимися в наличии картинами из данного набора. Тогда в качестве

картины-прототипа можно выбрать ту картину, для которой совпадение будет наиболее полным.

Приведенная простая схема нуждается в нескольких существенных уточнениях. Во-первых, было бы крайне нерационально генерировать потенциальные прототипы чисто случайным образом. Намного эффективнее другой способ. Допустим, что нами было случайно порождено некоторое число картин и путем сравнения мы отобрали среди них одну наиболее близкую. Теперь мы могли бы взять эту картину за основу и подвергнуть ее различным случайным модификациям (мутациям), получив вновь некоторый набор картин. После этого весь процесс может быть повторен снова — и так до тех пор, пока не будет достигнут приемлемый результат. Это рассуждение обнаруживает сходство между обучением и процессом *эволюционного* развития: генерируемые картины конкурируют между собой, причем лишь наиболее эффективная ("приспособленная") дает потомство.

Во-вторых, обучение далеко не всегда сводится к построению картин-прототипов, которые буквально напоминали бы предъявляемые изображения. Если цель состоит, например, в том, чтобы научиться отличать все изображения, обладающие зеркальной симметрией, то очевидно, что никакого единого "прото типа" для всех зеркально-симметричных картин не существует. Вообще говоря, обучение есть процесс, в ходе которого система вырабатывает деление на категории, или классы. После обучения система ставит в соответствие всем "входным" изображениям из данного класса одну определенную "выходную" картину, но эта выходная картина может вовсе не быть того же типа, что и входное изображение.

Наконец, результатом обучения может являться распознавание не только изображений, но и мелодий или последовательностей событий. Путем обучения часто осуществляется *решение задач*. Действительно, решить некоторую задачу — значит найти (или распознать!) оптимальную картину, т.е. траекторию на карте, последовательность событий, маршрут "по дереву решений" некоторой игры.

Как уже отмечалось, деятельность мозга принципиально отличается от работы универсальной цифровой вычислительной машины. Это означает, что все операции по распознаванию, генерации, сравнению образов должны осуществляться мозгом без перевода их на язык числовых последовательностей.

Известно, что альтернативой вычислениям служит *аналоговая* обработка информации. В простейшем случае она представляет собой прямую имитацию. Техника электронной аналоговой имитации широко использовалась в середине нашего столетия, до изобретения цифровых ЭВМ. Чтобы решить, например, задачу об определении траектории снаряда, можно попытаться построить специальную электрическую схему с лампами, сопротивлениями, конденсаторами и т.п., так что динамика токов в ней будет подчиняться тем же самым дифференциальным уравнениям, как и движение снаряда. Тогда, подобрав подходящие начальные условия и включив эту электрическую схему, по ее динамике можно предсказать траекторию движения снаряда. Из приведенного примера видно, что аналоговая машина не является программируемой — точнее, программа жестко встроена в ее физическую организацию. Это наряду с невысокой точ-

ностью имитации послужило причиной отказа в технике от электронных аналоговых машин.

Сегодня интерес к аналоговым машинам возрождается, но уже на качественно ином уровне. Главное внимание привлекают *распределенные* аналоговые машины, представляющие собой пространственные сети из взаимодействующих между собой элементов. "Единицами" обработки информации в подобных машинах являются целые пространственные картины.

Узкую специализацию аналоговых машин можно преодолеть, наделив их способностью к обучению. Рассмотрим этот вопрос подробнее. Предположим, что в законы взаимодействия между элементами, формирующими сеть аналоговой машины, первоначально жестко ("физически") встроена только одна программа — программа обучения. Новинуясь этой программе, в процессе предварительной тренировки система перестраивает свою структуру: в ней устанавливаются новые или разрываются старые связи между элементами сети, модифицируются параметры, характеризующие отдельные элементы, и т.п. Пройдя обучение, эта аналоговая машина приобретает способность к решению некоторой задачи — распознаванию образов, принадлежащих определенному набору, либо отысканию оптимального пути (траектории, последовательности действий) и т.п.

В настоящее время получает все более широкое признание точка зрения, согласно которой мозг человека (и животных) представляет собой именно аналоговое обучающееся устройство. Из экспериментов, например, известно, что процесс обучения у человека (и животных) сопровождается установлением новых синаптических контактов между нейронами и модификацией уже имеющихся синаптических связей. Установлено, что память не локализована в отдельных нейронах или небольших группах нервных клеток. Хранящиеся в памяти образцы не теряются, а лишь как будто тускнеют при повреждениях отдельных участков головного мозга.

Представление о мозге как о гигантской обучающейся аналоговой машине заимствует, в сущности, многое из общей теории условных рефлексов Павлова, отказываясь от упрощенных механических интерпретаций этой теории.

Работа мозга по распознаванию образов носит многоступенчатый иерархический характер. Очевидно, что анализ зрительной картины или сложного звукового сигнала нельзя осуществить с применением какой-то одной простейшей процедуры. Рассмотрим, например, как могла бы выглядеть последовательность шагов, если задача заключается в том, чтобы отличить треугольник от всех других многоугольников.

Первый шаг состоит в выделении линий и проверке того, что их достаточно большие участки близки к отрезкам прямых. Затем необходимо выделить вершины, т.е. точки, где сходятся две или несколько таких линий. Далее необходимо построить как бы промежуточное, сжатое изображение картины — ее *граф*. На этом графе фиксируется лишь наличие связей между вершинами, независимо от длины или ориентации линий, осуществляющих такие связи. Теперь, когда каждый граф отвечает целому классу (например, всем различным треугольникам), следует осуществить распознавание графов, что дает окончательный ответ на поставленную задачу.

Мы видим, что даже решение такой простой задачи требует ее перевода на некоторый внутренний "язык" и построения, фактически, определенных *семантических структур* — графов. Элементы такой структуры — это уже, в сущности, абстрактные объекты или понятия (в описанном выше случае — вершины и связи, осуществляемые отрезками прямых линий). Каждый граф, в свою очередь, также может рассматриваться в качестве некоторого понятия (например, граф треугольника) и служить элементом, входящим в состав семантической структуры следующего иерархического уровня.

Основной вид деятельности у человека и высших животных — это операции с семантическими структурами: их распознавание, генерация, передача, преобразование и сравнение. С этой точки зрения появление у человека языка не было чем-то совершенно новым. По словам М. Минского, "задолго до того как наши предки научились говорить, у них уже возникли специальные механизмы мозга для представления объектов, различий и причин; эти механизмы позднее легли в основу нашего языка (и грамматики в том числе)" [22].

Все необходимые операции с семантическими структурами должны осуществляться в мозге аналоговым образом, как некоторые динамические процессы в сложной распределенной нелинейной системе. Мозг как бы является средой, где семантические структуры "живут своей жизнью": эволюционируют, взаимодействуют и конкурируют между собой.

Хотя выше довольно много говорилось о том, как устроен (или может быть устроен) мозг, необходимо подчеркнуть, что все эти вопросы привлекают внимание прежде всего из-за потенциальных практических приложений. Не ожидая полного выяснения всех вопросов, относящихся к работе мозга, можно ставить задачу построения таких устройств для обработки информации, в которых были бы воплощены некоторые из известных или кажущихся правдоподобными принципов работы мозга.

Главная тенденция в развитии современной вычислительной техники состоит в переходе к использованию распределенных систем, которые образованы из логических элементов с довольно простой внутренней структурой. Большие надежды здесь связывают с *молекулярной микроэлектроникой*. Современный уровень развития технологии позволяет создавать схемы с размером отдельного логического элемента порядка размеров полимерной молекулы [24, 52, 62]. Разрабатываются методы массового химического синтеза таких молекулярных элементов и способы их соединения в сети на основе механизмов самосборки.

Однако, даже если будут окончательно решены проблемы технологического характера, на пути к созданию молекулярного компьютера остается несколько принципиальных теоретических проблем.

Очевидно, что устройство молекулярных размеров не может работать как традиционная ЭВМ с последовательным выполнением операций. На молекулярном уровне невозможно избавиться от локальных дефектов структуры, обусловленных примесями и "дислокациями", а также от влияющих тепловых флуктуаций. Все это требует использовать схемотехнику с большой устойчивостью по отношению к локальным повреждениям. Кроме того, как отмечалось выше, сам по себе последовательный характер выпол-

нения операций уже накладывает жесткие ограничения на быстродействие ЭВМ.

Поэтому молекулярный компьютер должен быть основан на принципе параллельных вычислений. Из нескольких сотен или тысяч молекулярных элементов можно формировать блоки, исполняющие роль отдельного примитивного процессора информации, или клеточного автомата. Сеть из таких блоков, связанных между собой, формирует распределенную вычислительную среду.

Основная трудность, возникающая на этом пути, — это "кризис программируемости". Чем меньше размеры отдельных блоков и чем плотнее их упаковка, тем труднее запрограммировать работу такого компьютера. Лишь в простейших случаях, при прямой аналоговой имитации процессов с локальными взаимодействиями, протекающих в однородных условиях, или при первичной простейшей обработке изображений, все элементы сети должны выполнять идентичные инструкции. Решение более сложных задач обработки информации предполагает определенное разнообразие инструкций, исполняемых различными элементами (блоками) одной и той же сети. Невозможно создать такой единый программный блок, который выдавал бы индивидуальные инструкции для каждого примитивного процессора с молекулярными размерами.

Эту трудность необходимо преодолеть, если наша цель заключается в том, чтобы создать достаточно универсальные молекулярные компьютеры, а не устройство, узко специализированное на решении небольшого круга задач.

Выход здесь видят в создании обучающихся систем. В таких распределительных системах на элементарном уровне жестко запрограммирована лишь способность к обучению. Приспособление подобной вычислительной сети к решению конкретных задач достигается затем в процессе индивидуального ее обучения или "тренировки". Все разработанные к настоящему времени модели обучающихся сетей в той или иной степени основаны на попытках имитации процессов в нейронных сетях мозга. В связи с этим по отношению к разрабатываемому новому поколению вычислительной техники, широко использующему принципы обучения, часто применяют термины "нейрокомпьютер" или "биокомпьютер".

Хотя наиболее адекватной базой для будущих нейрокомпьютеров является молекулярная электроника, это не исключает создания обучающихся вычислительных сетей на основе относительно традиционной полупроводниковой пленочной технологии или оптоэлектроники.

После этого необходимого введения мы переходим к рассмотрению различных теоретических моделей и подходов, используемых при аналоговой обработке информации в распределенных системах.

§ 23. Клеточные автоматы

Клеточными автоматами принято называть сети из элементов, меняющих свое состояние в дискретные моменты времени по определенному закону в зависимости от того, каким было состояние самого элемента и его ближайших соседей по сети в предыдущий дискретный момент времени.

Что значит задать сеть из элементов? Пусть мы имеем некоторый набор из N элементов, перенумерованных последовательно числами $j = 1, 2, \dots, N$. Нам нужно указать связи между элементами. Для этого необходимо для каждого j -го элемента задать ту группу элементов, которые являются его ближайшими соседями. Будем обозначать множество ближайших соседей j -го элемента как $O(j)$: если $j' \in O(j)$, то элемент с номером j' является ближайшим соседом элемента j .

Состояние отдельно взятого j -го элемента в момент времени n характеризуется некоторой переменной $a_j^{(n)}$. Эта переменная может быть целым числом, действительным или комплексным, либо представлять собой набор из нескольких чисел (т.е. быть "векторной" переменной).

Теперь необходимо определить правила перехода между состояниями. Здесь мы ограничимся рассмотрением однородных клеточных автоматов, для которых все элементы в сети и связи между ними одинаковы. Тогда правила перехода должны быть одними и теми же для любого из элементов. Идентичность элементов означает также, что все ближайшие соседи данного элемента находятся в равном положении и в равной мере влияют на то, каким будет его следующее состояние. Например, закон перехода может иметь вид

$$a_j^{(n+1)} = F(a_j^{(n)}, \sum_{j' \in O(j)} a_{j'}^{(n)}). \quad (23.1)$$

В этом случае состояние данного элемента в момент времени $n+1$ является однозначной функцией F от двух переменных — состояния этого элемента и суммы состояний его ближайших соседей в предшествующий момент времени n .

При таком определении клеточный автомат не обладает памятью. Клеточные автоматы с памятью можно получить, предположив, что функция F зависит, например, также от состояния элемента $a_j^{(n-1)}$ в еще более ранний момент времени.

Кроме того, поскольку переходы между состояниями однозначно определены, клеточный автомат, отвечающий правилу перехода (1), является *детерминированным*. Можно, однако, указать и такие ситуации, когда переходы имеют случайный характер. Тогда вместо функции F необходимо задать набор вероятностей переходов, например,

$$w = w(a_j^{(n+1)} | a_j^{(n)}, \sum_{j' \in O(j)} a_{j'}^{(n)}), \quad (23.2)$$

которые показывают, какой будет вероятность перехода j -го элемента из состояния $a_j^{(n)}$ в n -й момент времени в состояние $a_j^{(n+1)}$ в последующий $n+1$ -й момент времени при условии, что состояния его ближайших элементов в n -й момент принимали определенные значения. Подобные клеточные автоматы называют *вероятностными*.

Приведенные выше общие определения не предполагают регулярность сети. В частности, случайно варьироваться может число связей отдельного элемента, т.е. число его ближайших соседей. Ниже, однако, мы ограничимся рассмотрением лишь регулярных сетей, элементы которых занимают узлы правильной решетки. Ею может быть простая квадратная или

гексагональная плоская решетка, кубическая пространственная решетка и т.п.

Хотелось бы подчеркнуть, что тип решетки не связан прямо с размерностью пространства, в которое она погружена. Например, на плоскости вполне можно разметить сеть с топологией кубической решетки. Чтобы представить себе это, возьмем кубическую решетку, где связи между узлами сделаны из гибких изолированных "проводников". Сбросим теперь эту



Рис. 3.4. Два возможных способа (а, б) выбрать соседей элемента на квадратной решетке

трехмерную сетку на подстилающую плоскость. Очевидно, что тогда мы получим сеть на плоскости, по топологии своих связей полностью эквивалентную правильной кубической решетке.

Кроме задания типа решетки следует указать, какие узлы из окрестности данного элемента мы будем считать его ближайшими соседями. Так, для простой квадратной решетки соседями данного элемента можно считать либо только элементы, расположенные вверх – вниз и влево – направо от него (рис. 3.4а), либо добавить к ним еще и диагональные элементы (рис. 3.4б).

Рассмотрим вначале общие свойства детерминированных клеточных автоматов с конечным числом состояний.

Если отдельный элемент сети может находиться лишь в одном из K состояний, все эти состояния можно перенумеровать, так что переменная $a_j^{(n)}$ будет принимать ряд целых значений от 0 до $K - 1$. Предположим, что сеть является правильной и каждый элемент имеет ровно r соседей. Каково общее число возможных правил перехода (1) для такой сети?

Согласно (1) выбор будущего состояния элемента определяется комбинацией из двух целых чисел: состояния $a_j^{(n)}$ самого этого элемента и суммы состояний $a_i^{(n)}$ его ближайших соседей r в данный дискретный момент времени n . Первое из них принимает K , а второе – rK различных значений. Поэтому число различных комбинаций равно rK^2 . Каждой такой комбинации необходимо сопоставить одно из K возможных значений величины $a_j^{(n+1)}$. Следовательно, полное число различных клеточных автоматов с заданными K и r составляет

$$N_{\text{полн}} = K^{rK^2}. \quad (23.3)$$

Оно неожиданно велико. Например, для квадратной решетки с четырьмя ближайшими соседями ($r = 4$), в узлах которой расположены элементы, способные находиться лишь в одном из двух состояний ($K = 2$), мы получаем $N_{\text{полн}} = 256$. Если же к ближайшим соседям отнести также четыре диагональных элемента, то $r = 8$ и $N_{\text{полн}} = 2^{32} = 65536$.

Динамика рассматриваемых детерминированных клеточных автоматов с конечным числом состояний является необратимой. Действительно, при

задании алгоритма переходов каждой из rK^2 возможных комбинаций двух чисел $a_j^{(n)}$ и $\sum a_i^{(n)}$ мы должны сопоставить одно из K возможных значений величины $a_j^{(n+1)}$. Поскольку число исходных комбинаций rK^2 гораздо больше числа конечных состояний K , различным исходным комбинациям соответствуют одни и те же конечные состояния. Но это означает, что по конечному состоянию всей сети невозможно однозначно восстановить ее исходное состояние.

Лишь сравнительно недавно в работах С. Уолфрама [231, 233] было предпринято систематическое моделирование на ЭВМ простейших клеточных автоматов с малым числом состояний. Как показал С. Уолфрам, по своему поведению эти автоматы делятся на четыре класса.

Клеточные автоматы класса I достигают за конечное число шагов однородного состояния, в котором величины $a_j^{(n)}$ для всех элементов сети одинаковы и не зависят от времени. Это однородное состояние устанавливается независимо от того, каким было исходное состояние (картина активности) сети. В процессе эволюции для таких клеточных автоматов полностью теряется информация о начальных условиях.

Приведем простой пример клеточного автомата класса I. Пусть элементы занимают узлы одномерной цепочки и каждый элемент имеет два ближайших соседа – слева и справа от него. Пусть также каждый элемент может находиться в двух состояниях: $a_j = 0$ (покой) и $a_j = 1$ (активность). Рассмотрим следующее правило перехода:

$$a_j^{(n+1)} = \begin{cases} 1, & \text{если } a_j^{(n)} = a_{j-1}^{(n)} = a_{j+1}^{(n)} = 1, \\ 0 & \text{в остальных случаях.} \end{cases} \quad (23.4)$$

Нетрудно убедиться, что согласно этому правилу все элементы сети приходят со временем к состоянию покоя. Действительно, после каждого следующего шага исчезают все одиночные активные элементы, а в группах, состоящих из двух и более активных элементов, в состояние покоя переходят два крайних элемента.

Клеточные автоматы класса II генерируют локализованные простые структуры. Эти простые структуры могут быть стационарными или периодическими по времени.

Рассмотрим два примера клеточных автоматов этого класса, представляющих собой одномерную цепочку из элементов с двумя возможными состояниями – покоя и активности.

1. Пусть элемент цепочки сохраняет состояние активности, если в предшествующий момент времени среди его соседей слева и справа было не больше одного активного элемента, и переходит из состояния покоя в состояние активности, если в этот момент времени были активными оба его соседа:

$$a_j^{(n+1)} = \begin{cases} 1, & \text{если } a_j^{(n)} = 1, \quad a_{j-1}^{(n)} + a_{j+1}^{(n)} = 0, \\ 1, & \text{если } a_j^{(n)} = 1, \quad a_{j-1}^{(n)} + a_{j+1}^{(n)} = 1, \\ 1, & \text{если } a_j^{(n)} = 0, \quad a_{j-1}^{(n)} + a_{j+1}^{(n)} = 2, \\ 0 & \text{в остальных случаях.} \end{cases} \quad (23.5)$$

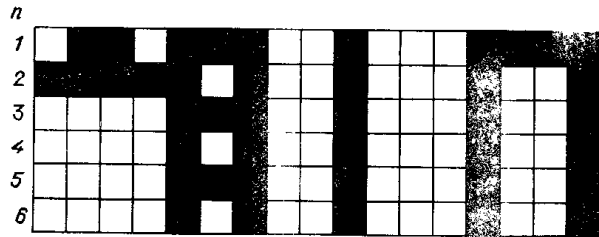


Рис. 3.5. Пример действия клеточного автомата задаваемого уравнением (5). Белые клетки соответствуют элементам в состоянии покоя, черные клетки – активным элементам. Каждая строка характеризует картину активности цепочки в определенный дискретный момент времени $n = 1, 2, 3, \dots$

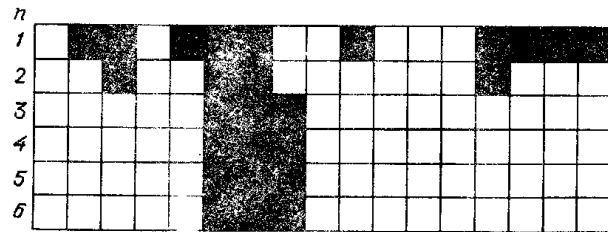


Рис. 3.6. Пример действия клеточного автомата, задаваемого уравнениями (6), (7) (использованы периодические граничные условия)

Такой клеточный автомат генерирует простые периодические по времени структуры.

На рис. 3.5 показаны состояния активности цепочки в последовательные дискретные моменты времени $n = 1, 2, 3, \dots$. Использовано периодическое граничное условие: крайний правый элемент считается соседом крайнего левого элемента. Кроме периодических по времени структур (мигающие тройки) присутствуют также уединенные элементы, сохраняющие состояние активности с течением времени.

2. Пусть каждый элемент имеет по два соседа слева и справа в цепочке, а переходы между состояниями осуществляются по правилу

$$q_j^{(n+1)} = \begin{cases} 1, & \text{если } q_j^{(n)} = 3, \\ 0 & \text{в остальных случаях,} \end{cases} \quad (23.6)$$

где

$$q_j^{(n)} = \sum_{l=-2}^2 a_{j+l}^{(n)}. \quad (23.7)$$

Этот клеточный автомат генерирует стационарные локальные структуры – тройки из активных элементов (рис. 3.6).

Клеточные автоматы классов III и IV обладают более сложной динамикой. Вообще говоря, в пределе $N \rightarrow \infty$ различные картины активности сети для таких автоматов сменяют друг друга, никогда не повторяясь. Локальное возмущение порождает процесс изменения активности,

который захватывает с течением времени все большую часть сети. Отличительной особенностью клеточных автоматов класса III является то, что по прошествии достаточно большого числа шагов статистические свойства разворачивающегося процесса теряют зависимость от начальных условий [231]. Тем самым автоматы класса III обладают "эргодическим", или "турбулентным", поведением. Примеры таких клеточных автоматов можно найти в [231].

Динамика клеточных автоматов класса IV существенно зависит от начальной картины активности сети. Подбирая определенные начальные условия, можно генерировать самые различные последовательности сменяющих друг друга картин. Клеточные автоматы класса IV могут, подобно "машине Тьюринга", осуществлять универсальные вычисления (подробнее см. [231–233]).

Хотя имеется несколько кандидатов на роль клеточного автомата класса IV, в настоящее время твердо установлено только, что таким автоматом является игра "Жизнь", предложенная в 1970 г. в качестве математического развлечения Джоном Конвеем. Правила этой игры очень просты: каждый элемент может находиться в состоянии покоя или активности; элемент переходит из состояния покоя в активное состояние, если по соседству с ним оказались три активных элемента*). Состояние активности сохраняется при наличии среди ближайших соседей двух или трех активных элементов.

Наблюдать за эволюцией автомата "Жизнь" чрезвычайно интересно. Уже зрительно заметно, что его динамика не является хаотической, а скорее "регулярна". Какие именно из регулярных последовательностей картин будут осуществляться – зависит от начальных условий. Стараниями сотен любителей компьютерных игр к сегодняшнему дню зафиксировано уже огромное число различных начальных условий, приводящих к качественно различным последовательным картинкам развития [45, 99].

Используя клеточные автоматы, можно решать различные задачи обработки информации. В качестве конкретного примера рассмотрим сеть, способную выделять движущиеся объекты на фоне шума [153].

Пусть в каждый момент времени n на вход системы поступает линейное изображение, представляющее собой некоторую последовательность I_j^n из единиц и нулей (1 – если элемент j освещен, и 0 – в отсутствие света). Известно, что это изображение является суперпозицией шума и изображения нескольких регулярных смешивающихся объектов (для простоты мы будем считать, что максимальная скорость их перемещения V не превосходит единицы, т.е. за один шаг по времени изображение объекта не может передвинуться более чем на один элемент цепочки). Задача системы состоит в том, чтобы подавить шум и выделить изображения перемещающихся объектов.

Рассмотрим цепочку, состоящую из элементов, каждый из которых связан с двумя своими соседями (рис. 3.7). Пусть мгновенное состояние отдельного элемента характеризуется набором из трех целых чисел S_j^n .

*)В число соседей включены только четыре ближайших элемента на квадратной решетке.

R_j^n и L_j^n , причем S_j^n принимает только значения 0 и 1, а значения R_j^n и L_j^n лежат в интервале от 0 до M . На эту цепочку непрерывно проецируется изображение, т.е. на вход j -го элемента в момент n поступает двоичный сигнал I_j^n .

Предположим, что правила переходов между различными состояниями имеют вид

$$L_j^{n+1} = \begin{cases} L_{j+1}^n + (1 - S_j^n), & \text{если } I_j^{n+1} = 1, \\ L_{j+1}^n - 1, & \text{если } I_j^{n+1} = 0, \end{cases} \quad (23.8)$$

$$R_j^{n+1} = \begin{cases} R_{j-1}^n + (1 - S_j^n), & \text{если } I_j^{n+1} = 1, \\ R_{j-1}^n - 1, & \text{если } I_j^{n+1} = 0, \end{cases}$$

$$S_j^{n+1} = I_j^{n+1}.$$

Если вычисленное по правилам (8) значение R_j^{n+1} оказывается отрицательным, следует положить $R_j^{n+1} = 0$, если же оно превосходит максимально допустимое значение M , мы полагаем $R_j^{n+1} = M$. Аналогично поступим по отношению к значениям L_j^{n+1} .

Таким образом, по цепочке слева направо передаются сигналы R_j^n , а в обратном направлении — сигналы L_j^n . Передавая сигнал своему соседу, элемент: а) увеличивает его значение на единицу, если в настоящий момент времени этот элемент освещен, а в предыдущий момент он был темным; б) сохраняет значение сигнала неизменным, если он был освещен в предыдущий момент времени и остался освещенным; в) уменьшает значение сигнала на единицу, если он не оказался освещенным в наступивший момент времени. При достижении предельных значений 0 или M значение сигнала соответственно более не уменьшается или не увеличивается.

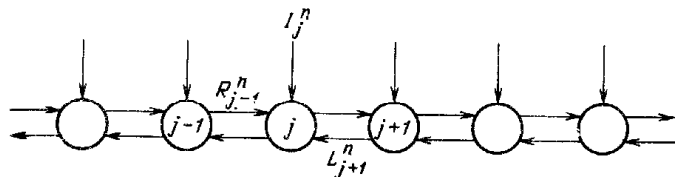


Рис. 3.7. Схема клеточного автомата — детектора движущихся объектов

Если построить клеточный автомат с правилами перехода (8) и подождать некоторое время, по состояниям его элементов можно определить координаты движущихся объектов и направление их движения. Именно те элементы в цепочке, где достигнуто максимальное значение $R_j^n = M$, отмечают положение объектов, совершающих регулярное перемещение слева направо. Если же объект смещается справа налево, то в соответствующем его мгновенному положению элементе цепочки L_j^n достигает макси-

мального значения. Случайные сигналы, обусловленные шумом, усредняются и не приводят к достижению предельно больших значений этих величин.

По данным [153], даже при уровнях шума в 25% такой алгоритм обеспечивает правильное выделение движущихся объектов более чем в половине случаев. Заметим также, что он допускает простое обобщение на случай двумерных изображений.

Клеточные автоматы используются также для моделирования гидродинамических течений. Хорошо известно, что уравнения гидродинамики описывают макроскопические усредненные движения в системе, состоящей из огромного числа взаимодействующих друг с другом молекул. Оказывается, однако, что на макроуровне теми же самыми уравнениями описывается и несравненно более простая система — решеточный газ, являющийся одним из примеров клеточного автомата.

Первая модель жидкости как решеточного газа была предложена в работах Д. Харди, О. де Пациса и И. Помо [117, 118], которые рассматривали регулярную квадратную решетку со связями единичной длины. Считалось, что в каждом узле решетки могут находиться не более четырех молекул равной массы с единичной скоростью, направленной вдоль одного из четырех направлений (налево, направо, вверх или вниз). Одновременное пребывание в узле двух молекул с одинаковым направлением скорости запрещено. Время также является дискретным. Изменение состояния на следующем шаге по времени происходит согласно следующим правилам. Молекула смещается на одну длину решетки — в ближайшую ячейку, на которую направлен вектор ее скорости. При этом любая конфигурация, состоящая в точности из двух молекул с направленными навстречу друг другу скоростями в одном узле (лобовое столкновение), заменяется на другую конфигурацию, где скорости повернуты на угол 90 градусов по сравнению с первоначальными. Все остальные конфигурации остаются без изменений.

Эта модель обладает рядом важных свойств. Главным из них является существование термодинамического равновесия. Хотя эргодическая теорема не доказана, численные расчеты свидетельствуют о релаксации к равновесию. Возникающие равновесные распределения обладают свободными непрерывными параметрами — средней плотностью и импульсом. Равновесные функции распределения не зависят от положения узла, не зависят от направления скорости (если только средний импульс частиц не обращается в нуль). Когда плотность и импульс медленно меняются в пространстве и по времени, справедливо "макродинамическое" описание, уравнения которого отличаются от нелинейных уравнений Навье — Стокса в двух отношениях — отсутствием галилеевой инвариантности и изотропии.

Галилеевская инвариантность, т.е. эквивалентность всех инерциальных систем отсчета, нарушается из-за наличия решетки. Это нарушение проявляется в том, что в выражение для тензора плотности потока импульса входят не только квадратичные по средней скорости и члены, но также и слагаемые, имеющие более высокий порядок. Эти нелинейные поправки оказываются, однако, малыми в пределе низких чисел Маха, когда жидкость можно рассматривать как несжимаемую. Поэтому, если ограничиться

изучением лишь ситуаций, когда сжимаемость жидкости не существенна, нарушение галилеевской инвариантности не будет заметно.

Более серьезная трудность связана с отсутствием изотропии, т.е. инвариантности относительно произвольных поворотов. Решеточный газ на квадратной решетке инвариантен лишь при поворотах на угол, кратный $\pi/2$. В результате тензор плотности потока импульса для такой модели имеет вид

$$P_{\alpha\beta} = p\delta_{\alpha\beta} + T_{\alpha\beta\gamma\epsilon}u_\gamma u_\epsilon + O(u^4). \quad (23.9)$$

Здесь $p = \rho/2$ есть давление, ρ – плотность числа частиц; члены, нечетные по u , исчезают из-за симметрии по отношению к пространственным отражениям. Тензор T симметричен по индексам α, β и γ, ϵ . У. Фриш, Б.Хаслахер и И. Поме [90] обратили внимание, что если бы решеточный газ был инвариантен по отношению к гексагональной группе поворотов (т.е. по отношению к вращениям на угол $\pi/3$), тензор T был бы изотропным и выражение (9) приняло бы следующий вид:

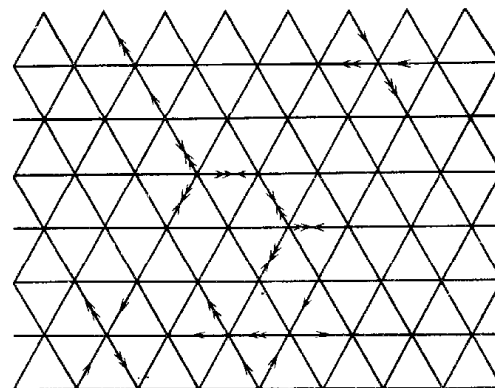
$$P_{\alpha\beta} = (p + \mu u^2)\delta_{\alpha\beta} + \lambda u_\alpha u_\beta + O(u^4). \quad (23.10)$$

При низких числах Маха (малые средние скорости u) выражение (10) для тензора плотности потока импульса совпадает с входящим в уравнение Навье – Стокса. С учетом этого в [90] предложена модель газа на гексагональной плоской решетке – клеточный автомат, правила которого следующие.

Частицы могут находиться в узлах правильной треугольной решетки. Скорости всех частиц одинаковы по модулю (обычно их выбирают равными 1), но различны по направлению. Скорость частицы может быть направлена лишь вдоль одной из шести связей, которые соединяют тот узел, где она находится, с его ближайшими соседями. В каждом узле может находиться не более одной частицы с данным направлением скорости. Удобно перенумеровать все шесть допустимых направлений скорости с помощью индекса i , положив $\varphi = i\pi/3$, где $i = 0, \pm 1, \pm 2, \dots$, а φ – угол, определяющий направление скорости. Очевидно, что значения i , отличающиеся на любое целое число, кратное 6, отвечают одному и тому же направлению. Обозначим скорость частицы, имеющую направление i , как e_i .

Положения частиц и их скорости меняются в дискретные моменты времени синхронно для всех узлов решетки. За один шаг по времени каждая частица смещается в тот смежный узел решетки, на который был направлен вектор ее скорости. Если в результате такого смещения в одном узле оказалось две или три частицы, в тот же момент времени происходит акт рассеяния, приводящий к изменению скоростей столкнувшихся частиц. Если сталкивается пара частиц с противоположными направлениями скорости e_i, e_{i+3} , то скорости частиц после столкновения равны e_{i+1}, e_{i-2} или e_{i-1}, e_{i+2} , причем оба варианта рассеяния равновероятны. При столкновении трех частиц со скоростями e_i, e_{i+2}, e_{i-2} новые направления скорости равны $e_{i+3}, e_{i+1}, e_{i-1}$. Во всех остальных случаях направления скорости в результате рассеяния не изменяются.

Так, например, на рис. 3.8 показаны положения и направления скорости частиц в два последовательных момента времени n и $n+1$. Простая стрелка, выходящая из узла решетки, означает, что в момент n в этом узле находи-



Р и с. 3.8. Клеточный автомат для уравнения Навье – Стокса

лась частица с соответствующим направлением скорости. Двойными стрелками указаны положения и скорости частиц на следующем, $n+1$ -м шаге по времени.

Приведем вкратце схему вывода уравнений Навье – Стокса для решеточного газа, описываемого таким клеточным автоматом (подробное рассмотрение этого вопроса можно найти, например, в [235]).

Пусть N_i – среднее число частиц с направлением скорости i , приходящееся на один узел решетки. Усреднение производится по макроскопической пространственно-временной области, охватывающей много узлов решетки и много шагов по времени, так что N_i является плавной функцией от пространственных координат и от времени. Определим медленно меняющуюся плотность числа частиц ρ и плотность импульса ρu как

$$\rho = \sum_i N_i, \quad \rho u = \sum_i N_i e_i. \quad (23.11)$$

При равновесии с заданными значениями ρ и u средние числа заполнения N_i даются распределением Ферми – Дирака:

$$N_i = \{1 + \exp[f(\rho, u) + g(\rho, u) e_i u]^{-1}\}, \quad (23.12)$$

где f и g есть некоторые функции от ρ и u . Их можно разложить в ряд по степеням средней скорости u . С помощью этих разложений удастся вычислить плотность потока массы и плотность импульса с точностью до вторых степеней по макроскопическим градиентам, что приводит к следующим гидродинамическим уравнениям:

$$\frac{\partial \rho}{\partial t} + \text{div}(\rho u) = 0, \quad (23.13)$$

$$\begin{aligned} \frac{\partial}{\partial t}(\rho u_\alpha) + \sum_\beta \frac{\partial}{\partial x_\beta} [g(\rho) \rho u_\alpha u_\beta + O(u^4)] = \\ = -\frac{\partial \rho}{\partial x_\alpha} + \eta_1(\rho) \Delta u_\alpha + \eta_2(\rho) \text{grad div } u, \end{aligned} \quad (23.14)$$

где $g(\rho) = (\rho - 3)/(\rho - 6)$; $\eta_1(\rho)$ и $\eta_2(\rho)$ представляют собой коэффициенты вязкости (ср. [20]).

Линеаризация этих уравнений и отбрасывание членов, учитывающих вязкость, дают волновое уравнение, описывающее распространение звуковых волн со скоростью $\sqrt{2}$. Система уравнений (13), (14) переходит в уравнение Навье — Стокса для несжимаемой вязкой жидкости, если рассмотреть предел, когда число Маха $M = u\sqrt{2}$ стремится к нулю, а гидродинамическая длина L неограниченно возрастает так, чтобы их произведение ML оставалось конечным. В этом пределе вариации плотности следует учитывать лишь в давлении $p = \rho/2$, а уравнение непрерывности (13) сводится к $\text{div } u = 0$. Тогда множитель $g(\rho)$ в уравнении (14) постоянен, и при $0 < \rho < 3$ его можно исключить, перейдя к новым единицам времени. В результате число Рейнольдса окажется равным

$$\text{Re} = ML\rho g(\rho)/\sqrt{2}\eta_1(\rho). \quad (23.15)$$

Так, на макроскопическом уровне при не слишком больших числах Маха M (от 0,3 до 0,5) рассматриваемый клеточный автомат дает в точности те же гидродинамические течения, что и реальная жидкость*). Это открытие чрезвычайно важно для компьютерных расчетов — на современных ЭВМ и в особенности на будущих ЭВМ с высокой степенью параллелизма. Поскольку все вычисления осуществляются в целых числах, здесь нет ошибок округления, дающих нефизический источник шума. Кроме того, сам алгоритм расчета идеально подходит для реализации на распределенных вычислительных сетях.

Приведенная модель клеточного автомата, имитирующего двумерные гидродинамические течения несжимаемой вязкой жидкости, не является единственно возможной. Тем же самым макроскопическим поведением обладает, например, несколько другая модель (рис. 3.9). В этой модели частицы располагаются на связях гексагональной решетки (связи, занятые частицами, отмечены на рис. 3.9 стрелками). К настоящему времени имеются обобщения этой модели на случай магнитогидродинамики [54]. Первые результаты моделирования турбулентных течений с помощью клеточных автоматов сообщены в [77].

К сожалению, до сих пор отсутствуют модели клеточных автоматов для имитации трехмерных течений жидкости. Главная трудность здесь заключается в том, что для макроскопической изотропии в трехмерном случае необходима икосаэдрическая инвариантность, но не существует ни одной регулярной кристаллографической решетки со столь высокой симметрией. Поэтому приходится искать более сложные обходные пути.

Мы столь подробно рассмотрели этот частный, хотя и важный в практическом отношении пример, поскольку он иллюстрирует одну все более отчетливую тенденцию: переход от цифровых расчетов на универсальных ЭВМ к прямой имитации интересующих нас процессов с использованием параллельно действующих вычислительных сетей. Можно ожидать, что в ближайшем будущем появится много других клеточных автоматов, имити-

*Правильное граничное условие $u_n = 0$ можно получить, полагая, что при столкновении с неподвижной границей происходит случайное рассеяние частиц обратно в полуплоскость падения.

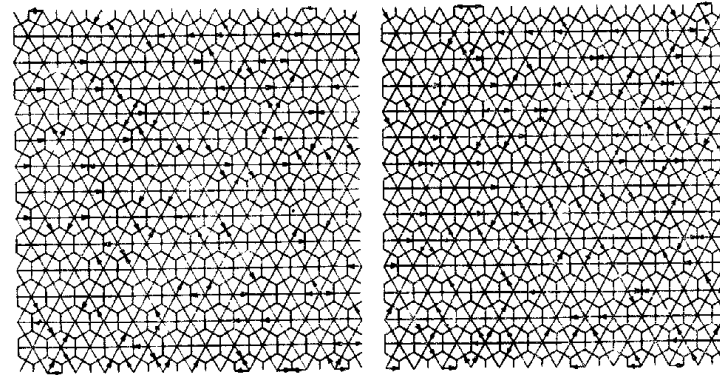


Рис. 3.9. Две последовательные микроскопические конфигурации для клеточного автомата, имитирующего гидродинамические течения

рующих самые различные виды процессов в физических, химических и биологических средах.

Однако, как уже отмечалось в § 22, возможности аналоговых распределенных систем не исчерпываются прямой имитацией процессов в распределенных средах. Далее обсуждаются более сложные функции по обработке информации, реализуемые с помощью таких систем.

§ 24. Ассоциативная память

Мы говорим, что система обладает ассоциативной памятью, если при подаче на ее вход некоторой картины она автоматически отбирает и подает на выход наиболее близкую к ней хранящуюся в памяти картину. Иными словами, по достаточно большому фрагменту или искаженному изображению такая система может восстановить полное изображение. Очевидно, что ассоциативная память является частным случаем распознавания образов.

Один из возможных путей реализации аналоговой ассоциативной памяти состоит в том, чтобы построить распределенную динамическую систему (или сеть из дискретных элементов) аттракторами которой в ее конфигурационном пространстве являлись бы типичные картины-образы. Каждая такая картина будет обладать своей областью притяжения, и всякое начальное условие, представляющее собой какую-то допустимую картину, обязательно попадет в одну из ее областей притяжения. С течением времени в ходе эволюции эта начальная структура трансформируется в наиболее близкую из хранящихся в памяти структур-аттракторов, а именно в ту, области притяжения которой она принадлежала. Следовательно, подавая на вход в качестве начального условия для такой распределенной системы некоторую структуру, мы будем осуществлять ее автоматическое (т.е. аналоговое) распознавание, которое будет параллельным, поскольку оно выполняется в ходе однократной эволюции данной динамической системы. Итак, мы приходим к задаче целенаправленного создания распределенных динамических систем с заданными аттракторами.

Рассмотрим здесь конкретную реализацию динамической системы с ассоциативной памятью, предложенную в работах Дж. Хопфилда [137, 138]. Поскольку стимулом к созданию этой модели послужили теоретические исследования особых физических систем — спиновых стекол, вначале приведем некоторые сведения о таких системах.

Предположим, что рассматриваемая система состоит из N элементов ("изинговских спинов"), каждый из которых может находиться всего в одном из двух состояний: $S_i = +1$ или $S_i = -1$. Энергия E взаимодействующих спинов дается выражением

$$E = -(1/2) \sum_{i,j} J_{ij} S_i S_j, \quad (24.1)$$

где J_{ij} — элементы некоторой матрицы взаимодействия (весовые коэффициенты связей). Не конкретизируя пока временную динамику взаимодействующих спинов, будем считать лишь, что в процессе эволюции эта система стремится понизить свою полную энергию, а в пределе $t \rightarrow \infty$ приходит в состояние с минимумом полной энергии.

Если все весовые коэффициенты J_{ij} положительны, в состоянии с минимумом полной энергии E все спины имеют одинаковое направление $S_i \equiv +1$ или $S_i \equiv -1$. При этом, как легко убедиться, энергия взаимодействия любой пары спинов $\delta E_{ij} = -J_{ij} S_i S_j$ достигает своего минимального значения $\delta E_{ij} = -J_{ij}$. Такое состояние системы взаимодействующих спинов принято называть "ферромагнитным".

В спиновых стеклах матрица $J = [J_{ij}]$ состоит из случайных элементов, принимающих как положительные, так и отрицательные значения. В состоянии с минимумом полной энергии E для спинового стекла энергии взаимодействий *всех* пар спинов, как правило, не могут быть одновременно минимальными. Действительно, среди N спинов обычно найдутся такие тройки S_i, S_j, S_k , что произведение $J_{ij} J_{jk} J_{ki}$ будет отрицательным. Но тогда, как бы мы ни выбирали направления этих трех спинов, нам не удастся сделать минимальными все три энергии парных взаимодействий $\delta E_{ij}, \delta E_{jk}$ и δE_{ki} . Условия минимальности энергии взаимодействия для различных пар спинов несовместимы (конфликтуют) между собой. В результате, как говорят, система оказывается *фрустрированной* ("frustration" (англ.) — расстройство планов, крушение надежд).

Вследствие фрустрации спиновое стекло имеет много состояний с минимумами полной энергии, отвечающих различным спиновым конфигурациям — пространственным картинам ориентаций спинов S_i . Для больших N все эти состояния характеризуются примерно одной энергией. Иными словами, при заданных случайных весовых коэффициентах J_{ij} спиновое стекло как бы хранит в памяти большое число определенных пространственных картинок. Всякая начальная картина взаимной ориентации спинов с течением времени превращается в одну из устойчивых картинок, а именно в ту, наиболее близкую к которой она является. В этом смысле спиновое стекло обладает не только памятью, но и способностью к распознаванию образов.

К сожалению, однако, сам набор хранящихся в спиновом стекле картин-образов является случайным. Неплохо было бы уметь так выбирать весовые коэффициенты J_{ij} для системы спинов, чтобы устойчивыми оказались не случайные, а некоторые вполне определенные картины, которые

нам хотелось бы сохранить в памяти в качестве образов-эталонов. Оказывается, это возможно.

Пусть нам необходимо записать образ, характеризующийся своей определенной ориентацией $S_i = \xi_i$ для каждого спина i . Выберем весовые коэффициенты J_{ij} так, чтобы $J_{ij} = \xi_i \xi_j$. Нетрудно убедиться, что записанная спиновая конфигурация автоматически отвечает минимуму энергии, т.е. является устойчивой притягивающей пространственной картиной. Действительно, при этом для всякой наугад выбранной пары спинов энергия взаимодействия $\delta E_{ij} = -J_{ij} \xi_i \xi_j = -\xi_i^2 \xi_j^2 = -1$, т.е. достигает наименьшего возможного значения.

Полученная таким путем система, однако, не способна распознавать образы. Она хранит в своей памяти всего одну картину, к которой эволюционирует с течением времени любая начальная спиновая конфигурация*). Как показано Дж. Хопфилдом, этот недостаток можно устранить. Допустим, что нам хотелось бы записать M различных образов, каждый из которых характеризуется своим набором (последовательностью) ориентаций спинов: $\{\xi_i^{(m)}\}$, где $m = 1, 2, \dots, M$, причем различные наборы ортогональны,

$$N^{-1} \sum_{i=1}^N \xi_i^{(m)} \xi_i^{(m')} = \delta_{mm'}. \quad (24.2)$$

Выберем весовые коэффициенты J_{ij} в виде (*правило Хебба* [120])

$$J_{ij} = \sum_{m=1}^M \xi_i^{(m)} \xi_j^{(m)}. \quad (24.3)$$

Тогда для не слишком большого числа записанных картинок можно гарантировать, что все они окажутся устойчивыми конфигурациями этого искусственно сконструированного спинового стекла, т.е. будут отвечать минимуму энергии.

Чтобы доказать это, заметим прежде всего, что полную энергию системы можно представить как

$$E = -(1/2) \sum_{i=1}^N h_i S_i, \quad (24.4)$$

введя поле

$$h_i = \sum_j J_{ij} S_j, \quad (24.5)$$

действующее на спин S_i . Ясно, что в состоянии с минимумом полной энергии все спины должны быть направлены по полю, т.е. знак S_i должен совпадать со знаком h_i . Пусть весовые коэффициенты J_{ij} даются формулой (3), а направления спинов отвечают одной из записанных картинок $\{\xi_i^{(m')}\}$. Проверим тогда выполнение указанного выше условия

$$h_i S_i = \sum_j \sum_m \xi_i^{(m)} \xi_j^{(m)} \xi_i^{(m')} \xi_j^{(m')} = N \xi_i^{(m')} \xi_i^{(m')} = N > 0. \quad (24.6)$$

*) Точнее, таких картинок две, поскольку кроме конфигурации $S_i = \xi_i$ минимуму энергии отвечает также зеркально-симметричная конфигурация $S_i = -\xi_i$.

Итак, каждый из M записанных образов действительно отвечает некоторой притягивающей спиновой конфигурации, т.е. состоянию с минимумом полной энергии.

Помимо записанных в память образов, характеризующихся набором ориентаций спинов $\{\xi_j^{(m)}\}$, система всегда имеет некоторое число ложных образов, также отвечающих состояниям с минимумом энергии. В частности, наряду с каждым записанным образом всегда хранится и его зеркальное отражение, т.е. образ с набором ориентаций спинов $\{-\xi_j^{(m)}\}$. Легко проверить, что он отвечает тому же значению полной энергии.

Для ортогональных образов матрица $[J_{ij}]$, построенная по правилу (3), является проективной. Действуя на произвольный вектор с N компонентами ξ_j , эта матрица проецирует его на M -мерное подпространство, которое содержит векторы $\{\xi_j^{(m)}\}$. В пределах такого подпространства действие матрицы на любой вектор сводится к умножению на N . Это означает, что для любого вектора с компонентами $\xi_j = \sum_m C_m \xi_j^{(m)}$, представляющего собой линейную комбинацию M записанных образов, справедливо $h_j \xi_j = (J\xi)_j \xi_j = N\xi_j^2 > 0$. Далеко не всякая линейная комбинация, однако, является допустимой. Для того чтобы отвечать какому-то мыслимому образу, все компоненты ξ_j в этой линейной комбинации должны принимать лишь значения ± 1 . Если записанные в память образы таковы, что они позволяют построить линейную комбинацию, являющуюся некоторым новым образом, этот дополнительный ложный образ также отвечает минимуму полной энергии и является притягивающей спиновой конфигурацией.

Модель Хопфилда можно переформулировать на языке нейронных сетей. Когда суммарный потенциал, создаваемый на нейроне импульсами возбуждения и торможения, приходящими по дендритам от синапсов, превышает пороговый уровень, нейрон испускает импульс возбуждения, распространяющийся от него по аксону к другим нервным клеткам. Если поддерживать этот потенциал примерно постоянным, нейрон будет генерировать частую периодическую последовательность импульсов возбуждения, разделенных короткими интервалами рефрактерности, — он будет находиться в "активном" состоянии. При потенциале, не превышающем пороговый уровень или имеющем обратную полярность, нервная клетка сохраняет состояние покоя. Будем характеризовать состояние отдельного нейрона с номером j дискретной переменной S_j , присвоив ей значение $+1$, если нейрон активен в рассматриваемый малый промежуток времени, и значение -1 , если он находится в состоянии покоя.

Как уже отмечалось в § 22, нейроны связаны друг с другом посредством синапсов, которые делятся на тормозящие и возбуждающие. Пусть есть всего два нейрона, связанных через тормозящий синапс. Тогда, если первый нейрон активен ($S_1 = +1$), генерируемый им сигнал преобразуется в сигнал торможения для второго нейрона и последний находится в состоянии покоя ($S_2 = -1$). Ситуация меняется, когда нейроны связаны через возбуждающий синапс. Тогда активность первого нейрона вызывает (при достаточно низком пороге) активность второго, и реализуется состоя-

ние $S_2 = S_1 = +1$. Удобно характеризовать синаптическую связь некоторым коэффициентом J_{12} , считая его положительным, если синапс возбуждающий, и отрицательным — для тормозящего синапса; модуль коэффициента J_{12} характеризует "силу" связи.

Синаптическая связь является однонаправленной. Чтобы сигналы распространялись от каждого из двух нейронов, необходимо иметь два разных синапса, коэффициенты J_{12} и J_{21} которых, вообще говоря, различны. Для простоты, будем считать, что связи симметричны: $J_{21} = J_{12}$. Тогда можно формально построить энергию $E_{12} = -J_{12}S_1S_2$ и убедиться, что возможные устойчивые картины активности системы из двух нейронов действительно отвечают минимуму этой величины. Нетрудно также проверить, что для системы, состоящей из большого числа нейронов, устойчивые картины активности отвечают минимуму величины, получаемой путем суммирования значений E_{ij} для всех пар нейронов (предполагается, что каждый нейрон связан в сети со всеми другими).

Итак, аналогия со спиновым стеклом вполне очевидна. Чтобы записать образ, характеризующийся активностями нейронов ξ_i , необходимо каким-то способом сформировать картину синаптических связей, характеризующуюся коэффициентами $J_{ij} = \xi_i \xi_j$. Если мы хотим записать M различных образов, система синаптических связей должна характеризоваться коэффициентами, получаемыми путем суммирования соответствующих коэффициентов для всех этих образов.

Из сказанного, разумеется, не следует, что в нейронных сетях мозга реализуется именно такой механизм длительной памяти. Прямые экспериментальные свидетельства этого до настоящего времени отсутствуют, хотя и известно, что процесс обучения сопровождается установлением новых синаптических контактов между нейронами, а также модификацией уже имевшихся синаптических связей. Кроме того, установлено, что память об отдельных событиях не локализована в отдельных нейронах или небольших группах нервных клеток. Хранящиеся в памяти образы не теряются, а лишь как будто тускнеют при повреждениях отдельных участков головного мозга.

Требование строгой ортогональности записываемых в память образов (2) является слишком жестким. Оказывается, что при большом полном числе спинов N случайно взятые образы обычно будут почти ортогональными и этой приближенной ортогональности уже достаточно для работы устройства ассоциативной памяти.

Предположим, что мы взяли наугад две случайные последовательности $\{\xi_i^{(1)}\}$ и $\{\xi_i^{(2)}\}$, состоящие из $+1$ и -1 , причем, каждый элемент в них выбирается независимо от остальных, а значения $+1$ и -1 равновероятны. Для двух таких образов каждая из величин $r_i = \xi_i^{(1)} \xi_i^{(2)}$ представляет собой случайное число с двумя равновероятными значениями $r_i = \pm 1$, а входящее в условие ортогональности (2) скалярное произведение

$$R_{12} = \sum_{i=1}^N \xi_i^{(1)} \xi_i^{(2)} \quad (24.7)$$

является суммой N независимых случайных чисел r_i . Поэтому при боль-

ших N дисперсия случайной величины R_{12} растет как

$$\langle R_{12}^2 \rangle = N. \quad (24.8)$$

Следовательно, при $N \rightarrow \infty$ справедлива оценка

$$N^{-1} \langle R_{12}^2 \rangle^{1/2} \sim N^{-1/2}. \quad (24.9)$$

Итак, в пределе большого полного числа спинов N два случайно выбранных образа обычно оказываются почти ортогональными.

Отклонения от ортогональности приводят к появлению дополнительных случайных вариаций в поле h_i (5), действующем на спины, причем каждый из M хранящихся образов дает свой независимый вклад в интенсивность таких случайных вариаций. Влияние этого шума на правильность распознавания образов было детально изучено в [32 – 34], где получены следующие результаты.

1. При любом конечном значении отношения M/N записанные в память образы воспроизводятся системой с некоторыми искажениями; кроме того, всегда имеются также ложные устойчивые образы, представляющие собой суперпозицию из M записанных в память картин.

2. Примерно при $M/N = 0,05$ в модели наблюдается своего рода "фазовый переход": минимумы энергии, отвечающие истинным образам, становятся менее глубокими, чем те, которые соответствуют ложным образам. В результате даже содержащий незначительные случайные искажения предъявленный образ может эволюционировать с течением времени не к ближайшему из записанных образов, а к одному из ложных. Следовательно, при отношениях M/N , превышающих это критическое значение, опасность неверного срабатывания устройства ассоциативной памяти становится существенной.

3. Примерно при $M/N = 0,4$ в системе происходит второй "фазовый переход", после которого записанные картины перестают отвечать минимумам энергии, а все притягивающие конфигурации соответствуют только ложным образам. Это означает полную потерю способности к ассоциативной памяти.

В существенной степени приведенные результаты зависят от предположения о полной случайности записываемых в память образов. Если записываемые образы коррелированы, то интенсивность "шума" будет более значительной, а ошибки в распознавании возрастут. Это ограничение является довольно серьезным, поскольку на практике все записываемые образы часто принадлежат одному и тому же определенному классу и, следовательно, не полностью случайны. Чтобы приспособить систему к работе с коррелированными образами, можно отказаться от правила Хебба (3) и использовать другие схемы записи.

Заметим, что при использовании правила Хебба запись дополнительного $M + 1$ -го образа заключается в следующей простой модификации матричных элементов:

$$J_{ij}^{(M+1)} = J_{ij}^{(M)} + \xi_i^{(M+1)} \xi_j^{(M+1)}. \quad (24.10)$$

Если все образы ортогональны, то выполняются следующие равенства:

$$\sum_j J_{ij}^{(M)} \xi_j^{(m)} = \sum_i \xi_i^{(m)} \xi_j^{(m)} \xi_j^{(m)} = N \xi_i^{(m)}. \quad (24.11)$$

Это означает, что каждый из векторов $\{\xi_i^{(m)}\}$ является тогда собственным вектором матрицы J .

Предположим, что новый записываемый образ не ортогонален образам, уже хранящимся в памяти. Тогда в качестве простой характеристики корреляции можно рассмотреть, насколько "старая" матрица узнает "новый" вектор:

$$\xi_i^{\parallel} = N^{-1} \sum_j J_{ij}^{(M)} \xi_j^{(M+1)}. \quad (24.12)$$

Если бы новый вектор $\vec{\xi}^{(M+1)}$ был ортогонален ко всем старым векторам, мы получили бы $\xi_i^{\parallel} = 0$. Если же новый вектор уже хранится в памяти, то $\xi_i^{\parallel} = \xi_i^{(M+1)}$. В данном случае было бы неверно по-прежнему использовать правило Хебба, поскольку тогда мы бы эффективно удвоили глубину энергетического минимума, отвечающего такому вектору. Более глубокий минимум обычно имеет более широкую область притяжения, а это уменьшает области притяжения соседних минимумов и искажает соответствующие притягивающие векторы. В предельном случае это может привести к тому, что в системе останется всего один очень глубокий минимум энергии, область притяжения которого захватывает все возможные спиновые конфигурации. У системы формируется как бы "навязчивая идея", что, конечно же, крайне нежелательно. Чтобы избежать этой опасности, есть простой выход: оставить матрицу элементов без изменений, если окажется, что $\xi_i^{\parallel} = \xi_i^{(M+1)}$. Этому требованию отвечает следующее правило:

$$J_{ij}^{(M+1)} = J_{ij}^{(M)} + \xi_{ij}^{\perp} \xi_j^{(M+1)}, \quad (24.13)$$

где $\xi_{ij}^{\perp} = \xi_j^{(M+1)} - \xi_j^{\parallel}$.

Правило (13) имеет два недостатка. Во-первых, получаемая матрица $[J_{ij}]$ оказывается несимметричной, а следовательно, все предыдущие рассуждения, основывающиеся на рассмотрении минимумов энергии, несправедливы*). Во-вторых, такое правило некоммутативно: точность, с которой хранится записанный образ, зависит от того, в какой последовательности предъявляется системе список образов в процессе обучения. Последний из записанных образов стремится подавить все предыдущие. От этого недостатка свободно правило обучения

$$J_{ij}^{(M+1)} = J_{ij}^{(M)} + \epsilon \xi_i^{\perp} \xi_j^{(M+1)}, \quad (24.14)$$

где $0 < \epsilon < 1$. Если набор записываемых образов предъявлять вновь и вновь (в случайной последовательности), можно доказать, что такая процедура сходится и приводит к формированию хорошей матрицы взаимодействий $[J_{ij}]$. Использование алгоритма (14) в системах ассоциативной памяти обсуждалось в [38, 70].

Наконец, можно указать также более сложное правило обучения, сохраняющее свойство симметрии матрицы $[J_{ij}]$, а именно

$$J_{ij}^{(M+1)} = J_{ij}^{(M)} + \xi_i^{\perp} \xi_j^{\perp} / \xi_i^{\perp} \xi_j^{\perp}, \quad (24.15)$$

*) Как определить динамику системы с ассоциативной памятью в случае несимметричной матрицы $[J_{ij}]$ – см. ниже.

где

$$\vec{\xi}^1 \vec{\xi}^1 \equiv N^{-1} \sum_i (\xi_j^1)^2. \quad (24.16)$$

При $\vec{\xi}^1 = 0$ последнее слагаемое в (15) полагается равным нулю. Можно убедиться, что такая схема устраняет все трудности, связанные с возможной корреляцией между записываемыми образами. Однако она является более сложной и нелокальной, что может оказаться серьезным препятствием, если процесс обучения системы также должен реализоваться в аналоговой форме (см. § 26). Существует также несколько других схем записи коррелированных образов, описание которых можно найти в [70].

Во всех упомянутых нами схемах получающиеся элементы матрицы J_{ij} могут принимать непрерывный ряд отрицательных и положительных значений. Это не очень удобно при создании конкретных устройств ассоциативной памяти в виде электронных сетей и т.п. Поэтому интересно обсудить, как меняются свойства системы, если взять матрицу взаимодействий в виде

$$J'_{ij} = \text{sign}(J_{ij}), \quad (24.17)$$

так что ее матричные элементы равны лишь ± 1 . Удивительно, но оказывается [70], что во многих случаях правило Хебба (3) лишь выигрывает от такого огрубления. По всей видимости, это происходит от того, что появление самых больших значений элементов матрицы взаимодействия связано с наличием корреляций. Из этого, однако, не следует, что на практике нужно использовать именно правило Хебба. Другие правила приводят к лучшим результатам, хотя их действенность и ухудшается при огрублении.

Заметим также, что свойство распознавания образов в модели Хопфилда сохраняется при случайном разрыве даже достаточно большого числа связей, т.е. если положить $J_{ij} = 0$ для случайно выбранных пар спинов i и j . Разрыв связей, как и неортогональность образов при использовании правила Хебба, приводит к появлению шума в поле, действующем на спины. Если связи разорваны случайно, шум состоит из большого числа независимых случайных вкладов, которые в значительной мере уничтожают друг друга.

До сих пор мы лишь предполагали, что в ходе своей эволюции система стремится к минимуму энергии (1), но не указывали конкретных динамических законов, приводящих к такой эволюции. Ниже мы рассмотрим конкретные реализации модели Хопфилда.

Предположим, что в нашем распоряжении имеется сеть из N связанных попарно между собой формальных "нейронов". Каждый такой нейрон представляет собой очень простой автомат с двумя возможными состояниями, которые мы будем характеризовать спиновой переменной $S_i = \pm 1$. Связь между автоматами i и j характеризуется своим весовым коэффициентом J_{ij} , принимающим как положительные, так и отрицательные значения.

Зададим закон, по которому осуществляется эволюция этой системы взаимодействующих автоматов — "нейронов". Будем предполагать, что в ней имеют место только переходы, связанные с изменением состояния

отдельно взятых элементов. Пусть мы знаем состояние всех "нейронов" S_i^n в n -й момент времени. Чтобы найти их состояние в следующий $n + 1$ -й момент, необходимо наугад выбрать один из N элементов, вычислить действующее на него поле $h_i^n = \sum_j J_{ij} S_j^n$ и определить новое состояние

этого элемента как $S_i^{n+1} = \text{sign} h_i^n$. Вкратце этот алгоритм динамики можно записать как

$$S_i^{n+1} = \text{sign} \left(\sum_{j=1}^N J_{ij} S_j^n \right), \quad (24.18)$$

где $i = i(n)$ — случайно выбираемый для n -го момента времени номер "нейрона", в котором происходит переход.

Как следует из (18), новое значение S_i^{n+1} для i -го элемента совпадает со старым значением S_i^n , если $S_i^n = \text{sign} h_i^n$, т.е. если соответствующий спин был направлен в n -й момент времени по полю; в противном случае, если $S_i^n = -\text{sign} h_i^n$, произойдет переворот спина: $S_i^{n+1} = -S_i^n$. Нетрудно убедиться, что в ходе эволюции согласно алгоритму (18) "энергия" такой системы автоматов, определяемая выражением (1), ни на одном шаге по времени не возрастает. При достижении конфигурации с минимумом энергии, когда для всех спинов $S_i = \text{sign} h_i$, переходы прекращаются и устанавливается устойчивое по отношению к переворотам отдельных спинов стационарное состояние. Всякое начальное распределение релаксирует с течением времени к одной из устойчивых конфигураций, отвечающих минимуму энергии.

Необходимо заметить, что, вообще говоря, конечное состояние такой системы не вполне однозначно определяется ее начальным состоянием: результат эволюции может зависеть от конкретного выбора случайной последовательности элементов, в которых на каждом шаге по времени осуществляются переходы. Это означает, что иногда начальная конфигурация, характеризующаяся некоторым значением энергии E , может в зависимости от выбора этой случайной последовательности перейти в различные конечные конфигурации, отвечающие минимуму энергии. Если, однако, начальная конфигурация достаточно близка к одному из записанных образов, т.е. устойчивых конечных конфигураций, эта возможность маловероятна и распознавание образов не нарушается. Для задачи распознавания обычно неинтересны ситуации, когда предъявленный образ лишь чуть-чуть ближе к одному из записанных, чем к остальным.

Помимо рассмотренного выше, существует иной вариант реализации модели Хопфилда — для динамических систем с непрерывным временем, описываемых обыкновенными дифференциальными уравнениями.

Рассмотрим динамическую систему, которая представляет собой совокупность N связанных между собой элементов, описываемых непрерывно меняющимися действительными переменными σ_i . Предположим, что эволюция такой системы со временем подчиняется уравнениям

$$\dot{\sigma}_i = -\partial W / \partial \sigma_i, \quad i = 1, 2, \dots, N, \quad (24.19)$$

где функция W имеет вид

$$W = -\sum_{i,j} J_{ij} \sigma_i \sigma_j + \alpha \sum_i (\sigma_i^4 - \sigma_i^2). \quad (24.20)$$

Если параметр α достаточно велик ($\alpha \rightarrow +\infty$), то в устойчивых стационарных состояниях переменные σ_i могут принимать лишь значения, равные ± 1 . Следовательно, в пределе $\alpha \rightarrow +\infty$ всякий аттрактор динамической системы (19) представляет собой некоторый набор $\{S_i\}$ со значениями S_i , равными ± 1 . Но на классе таких точек, где все переменные σ_i принимают лишь значения ± 1 , функция W совпадает с рассматривавшимся ранее выражением (1) для энергии E системы из N бинарных спинов. Следовательно, для устойчивых стационарных состояний динамической системы (19) справедливы все выводы, полученные выше в случае дискретных элементов.

Никаких других аттракторов, кроме устойчивых стационарных точек, система (19) не имеет из-за ее особого потенциального вида — W играет роль функции Ляпунова.

В N -мерном фазовом пространстве каждому состоянию $\{\sigma_i\}$ отвечает некоторая точка, а все состояния, в которых σ_i принимают лишь значения ± 1 , соответствуют вершинам N -мерного куба. В зависимости от конкретного выбора элементов матрицы J_{ij} некоторые из этих вершин будут отвечать устойчивым стационарным состояниям динамической системы. Каждая такая точка — аттрактор — обладает своей областью притяжения, причем, поскольку других аттракторов система не имеет, (почти) любая точка фазового пространства принадлежит области притяжения одного из стационарных состояний.

Если каждой притягивающей точке соответствует какой-то записанный в память образ, такая система способна к автоматическому распознаванию образов. Для этого достаточно задать предъявляемый для распознавания образ в качестве начального условия и проследить за последующей временной эволюцией системы.

Рассмотренный нами простой пример иллюстрирует принцип аналогового распознавания образов динамическими системами, но не слишком удобен для практического воплощения. Поэтому ниже мы расскажем о другом примере, допускающем прямую реализацию в виде электронной схемы [141].

Допустим, что в нашем распоряжении имеются нелинейные усилители, для которых напряжения на входе (u_i) и на выходе (v_i) связаны зависимостью $v_i = g(u_i)$ такой, что функция g является монотонно возрастающей и ограниченной сверху и снизу (рис. 3.10); удобно так выбрать начало отсчета и единицы измерения выходного напряжения v_i , чтобы его минимальное возможное значение равнялось -1 , а максимальное значение было равно $+1$. Предположим, что входное сопротивление усилителя i равно ρ_i , а его входная емкость равна C_i . На вход каждого усилителя поступают электрические сигналы со всех остальных усилителей, причем связь между усилителями осуществляется через переходные сопротивления ρ_{ij} . Помимо нормального каждый из усилителей имеет еще и инвертированный выход с сигналом обратной электрической полярности. Чтобы получить положительный коэффициент связи $T_{ij} = \rho_{ij}^{-1}$ между усилите-

Рис. 3.10. Вид передаточной функции $v = g(u)$ для отдельного нелинейного усилителя

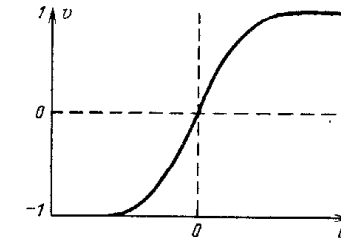
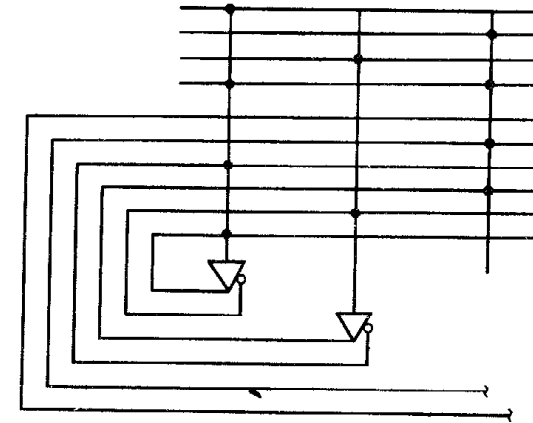


Рис. 3.11. Электрическая схема, реализующая модель Хопфилда. Треугольниками обозначены нелинейные усилители, белыми кружками отмечены инвертированные выходы этих усилителей. Черные кружки — сопротивления, осуществляющие связь между входами и выходами разных усилителей



лями i и j , сигнал на вход i -го усилителя следует подать с нормального выхода j -го усилителя. Отрицательный коэффициент связи $T_{ij} = -\rho_{ij}^{-1}$ получится, если снимать подаваемый на вход сигнал с инвертированного выхода j -го усилителя.

Соответствующая электрическая схема изображена на рис. 3.11. Изменение со временем входных напряжений в такой системе описывается уравнениями

$$C_i \dot{u}_i = \sum_{j=1}^N T_{ij} v_j - u_i / R_i, \quad v_j = g(u_j), \quad (24.21)$$

где сопротивление R_i получается путем параллельного соединения сопротивлений ρ_i и ρ_{ij} ;

$$R_i^{-1} = \rho_i^{-1} + \sum_j \rho_{ij}^{-1}. \quad (24.22)$$

Рассмотрим функцию W , определяемую как

$$W = -(1/2) \sum_{ij} T_{ij} v_i v_j + \sum_j R_j^{-1} \int_0^{v_j} g^{-1}(v) dv, \quad (24.23)$$

где функция $g^{-1}(v)$ является обратной к $v = g(u)$. Вычислим производную от функции W по времени:

$$\begin{aligned} \frac{dW}{dt} &= -\sum_{ij} T_{ij} v_i \dot{v}_j + \sum_j R_j^{-1} \dot{v}_j g^{-1}(v_j) = -\sum_j \left[\sum_i T_{ij} v_i - R_j^{-1} u_j \right] \dot{v}_j = \\ &= -\sum_j C_j \dot{v}_j \dot{v}_j = -\sum_j C_j g'(v_j) (\dot{u}_j)^2 \leq 0. \end{aligned} \quad (24.24)$$

Следовательно, W является функцией Ляпунова для системы обыкновенных дифференциальных уравнений (21).

Заметим, что функция W ограничена снизу, поскольку второе слагаемое в выражении (23) для W стремится к $+\infty$, когда одно или несколько напряжений v_j достигают своих минимальных (-1) или максимальных ($+1$) значений. Все локальные минимумы функции отвечают устойчивым стационарным состояниям рассматриваемой системы. Действительно, из $dW/dt = 0$ следует $\dot{v}_j = \dot{u}_j = 0$. Однако

$$\frac{dW}{dt} = \sum_j \frac{\partial W}{\partial v_j} \dot{v}_j, \quad (24.25)$$

а поэтому всякий минимум ($\partial W/\partial v_j = 0$) отвечает некоторому стационарному состоянию. Устойчивость этого стационарного состояния обеспечена тем, что функция W не может возрастать в процессе эволюции.

Поскольку минимальное и максимальное значения переменных v_j равны соответственно -1 и $+1$, областью изменения этих переменных является N -мерный куб $\{-1 < v_j < +1\}$, где N — полное число усилителей. Если предположить, что передаточная функция усилителя $v = g(u)$ имеет почти ступенчатую форму (рис. 3.12), то тогда последнее слагаемое в (23) отлично от нуля лишь в непосредственной близости от границ куба, а внутри него функция W дается фактически лишь первым слагаемым

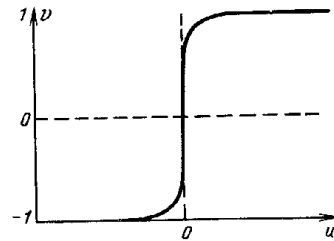


Рис. 3.12. Передаточная функция усилителя $v = g(u)$, имеющая почти ступенчатую форму

в этом выражении. Оно может иметь минимум внутри этой области, лишь если матрица $[T_{ij}]$ является отрицательно определенной. В обратном случае — а он как раз и представляет для нас основной интерес — все минимумы лежат на границах N -мерного куба. Если к тому же $T_{ii} = 0$, все минимумы будут лежать в вершинах этого куба, т.е. отвечать наборам параметров $\{v_j\}$, состоящих из ± 1 . Итак, в пределе, когда передаточная функция $g(u)$ близка к ступеньке, устойчивые стационарные состояния системы будут теми же, что и для системы спинов S_i , характеризуемой энергией

взаимодействия (1) с элементами матрицы $J_{ij} = T_{ij}/2$. Аналогично системе (19) в ходе своей временной эволюции эта электрическая схема будет автоматически решать задачу распознавания образов.

В заключение продемонстрируем несколько примеров использования модели Хопфилда в качестве устройства ассоциативной памяти.

В [70] в качестве записываемых в память "картин" были взяты имена и номера служебных телефонов шести сотрудников лаборатории фирмы "Белл" (табл. 1). Каждая запись состояла из 25 символов, которые кодировались в двоичную форму с затратой 5 бит на один символ. Следовательно, каждую запись можно было представить в виде некоторой двоичной последовательности $\{\xi_i\}$, состоящей из 125 элементов со значениями ± 1 .

В табл. 2 показано, как выглядела временная эволюция системы вида (21) при подаче в качестве начального условия последовательности, отвечающей записи "john s" (время и энергия измеряются в условных единицах). Мы видим, что даже по такому небольшому кусочку система правильно восстанавливает всю запись. Достаточно было изменить всего один символ и задать в качестве начального условия запись "john h", как результат эволюции кардинально изменился (табл. 3) и система правильно воспроизвела имя, фамилию и номер телефона другого сотрудника лаборатории.

Возможности системы не ограничиваются восстановлением пропущенных символов. Она способна также восстанавливать запись по *искаженному* фрагменту. Табл. 4 показывает, как шло восстановление правильной записи по искаженному имени "tagu" одного из сотрудников.

Шесть записей, использованных в эксперименте [70], не были ортогональными. Поэтому кроме истинных система обладала также ложными притягивающими образами. Эволюция к одному из таких фиктивных образов показана в табл. 5.

В [55] ставилась задача распознавания букв русского алфавита. Каждая буква задавалась в виде совокупности черных и белых точек на решетке размером 20×20 . Использовался набор из 15 или менее букв. Поскольку в изображениях букв имелись сильные корреляции, простая схема, основанная на правиле обучения Хебба (3), оказалась неэффективной: правильность распознавания терялась уже при трех различных буквах и незначительном уровне наложенного шума. Поэтому перед записью изображения подвергались предварительной ортогонализации и матрица связей $[J_{ij}]$ строилась по правилу

$$J_{ij} = \sum_{m_1, m_2 = 1}^M (R^{-1})^{m_1 m_2} \xi_i^{(m_1)} \xi_j^{(m_2)}, \quad (24.26)$$

где R^{-1} — матрица, обратная к матрице

$$R^{m_1 m_2} = N^{-1} \sum_{i=1}^N \xi_i^{(m_1)} \xi_i^{(m_2)}. \quad (24.27)$$

Здесь $\xi_i^{(m)}$ есть изображение буквы с номером m , перекодированное в линейную последовательность двоичных символов ($\xi_i = \pm 1$). В численном эксперименте [55] $N = 20 \times 20 = 400$, $M \leq 15$.

Таблица 1

John Stewart Denker	8128
Lawrence David Jacke	1773
Richard Edwin Howard	5952
Wayne P. Hubbard	7077
Brian W. Straussn	3126
John Henry Scofield	8109

Таблица 2

Время	Энергия		
0	0	John s	
0,20	-0,0784	John sdewirubneoimv	8109
0,40	-0,8426	John sdewirtbneimw	8129
0,60	-0,8451	John sdewirtbneimv	8129
0,80	-0,8581	John sdewirt nenkmv	8128
1,00	-0,9099	John sdewart denker	8128
1,20	-0,9824	John stewart denker	8128

Таблица 3

Время	Энергия		
0	0	John h	
0,20	-0,0565	John hdnwybqbofmalt	8109
0,40	-0,8579	John henwybqcofield	8109
0,60	-0,9094	John henry scofield	8109

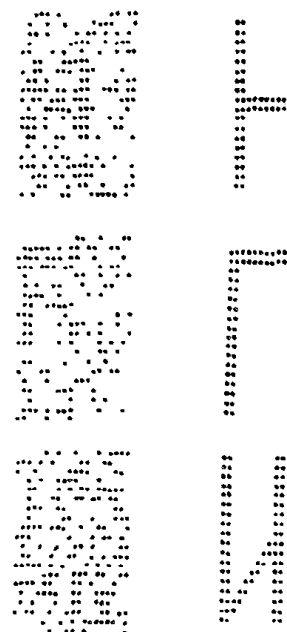
Таблица 4

Время	Энергия		
0	0	larry	
0,20	-0,0213	larrynce david jacke1773	
0,40	-0,7977	larrynce david jacke1773	
0,60	-0,8713	larrynce david jacke1773	
0,80	-0,8813	lasrence david jacke1773	
1,00	-1,001	lasrence david jacke1773	
1,20	-1,001	lawrence david jacke1773	

Таблица 5

Время	Энергия		
0	0	garbage	
0,20	-0,0244	garbagee lafj naabd	5173
0,40	-0,6280	garbafed derjd naabd	7173
0,60	-0,6904	garbafed derjd naabd	7173
0,80	-0,6904	gasbafed derjd naabd	7173
1,00	-0,7595	gasbafed derjd naabd	7173
1,20	-0,7709	fasJebad derjd naabd	7173
1,40	-0,8267	fasJebad derjd naabd	7173
1,60	-0,8282	fasJeb d derjd naabd	7173

Рис. 3.13. Примеры распознавания букв русского алфавита по их искаженным изображениям



Для распознавания предъявлялись буквы с наложенным на них случайным шумом, уровень которого достигал 90%. На рис. 3.13 показаны некоторые результаты распознавания букв по их искаженным изображениям.

В табл. 6 приведены данные о качестве распознавания (процент правильно идентифицированных изображений) в зависимости от числа записанных в память образов и уровня шума (в процентах).

В модели Хопфилда и ее различных обобщениях распознаваемый образ подается в качестве начального условия, а каждому из запомненных образов соответствует аттрактор (притягивающая стационарная точка) некоторой динамической системы. Возможен, однако, и альтернативный подход.

Рассмотрим такую динамическую систему, которая описывается набором параметров $\{q_k\}$, причем при заданных значениях всех этих параметров она обладает только одним аттрактором. Пусть, однако, эта динамическая система довольно чувствительна к изменению своих параметров, так что при изменении величин $\{q_k\}$ один аттрактор сменяется другим. Ясно, что тогда каждому из возможных качественно различных типов аттрактора отвечает своя область в пространстве параметров, образованном всевозможными наборами $\{q_k\}$. Если теперь выбрать в качестве набора $\{q_k\}$ рассматриваемый образ и проследить, притяжением к какому из аттракторов завершается эволюция системы, это также позволит осуществить аналоговое распознавание. Конкретный пример распознавания образов согласно этой схеме, использующий свойства динамической системы с конкуренцией мод, рассмотрен в [6].

Таблица 6
Процент правильно опознанных символов

Уровень шума, %	Число записанных в память образов		
	2	5	7
10	100	100	100
30	100	100	43
50	100	100	28
70	100	40	14
90	50	20	8

§ 25. Сложные задачи комбинаторной оптимизации

В самых различных приложениях приходится сталкиваться с проблемой выбора оптимального варианта из огромного числа возможностей. Типичным примером этого служит так называемая "задача о коммивояжере". Предположим, что на плоскости случайно разбросаны N точек (городов) A, B, C, D, \dots и известны все расстояния между ними $l_{AC}, \dots, l_{BC}, \dots$. Задача заключается в том, чтобы выбрать минимальный по длине замкнутый путь (маршрут обхода), соединяющий все эти точки.

Подсчитаем полное число имеющихся вариантов. Выбрав некоторую последовательность точек B, F, E, G, D, \dots, W , мы получим определенный маршрут обхода длиной

$$l = l_{BF} + l_{FE} + l_{EG} + l_{GD} + \dots + l_{WB}. \quad (25.1)$$

Полное число подобных последовательностей составляет $N!$, но не все они отвечают разным маршрутам обхода. Начальную точку и направление обхода можно выбрать произвольно, а поэтому каждому маршруту соответствует $2N$ различных последовательностей. Итак, полное число вариантов равно $N!/2N$.

При решении задачи о коммивояжере на ЭВМ путем последовательного перебора вариантов необходимо выполнить не меньше отдельных операций, чем полное число имеющихся вариантов, а с увеличением N число вариантов растет быстрее любой степени N . Поэтому при увеличении числа пунктов обхода затраты машинного времени на поиск оптимального маршрута будут возрастать столь быстро, что точное решение такой задачи на ЭВМ путем последовательного перебора вариантов практически невозможно. Для задачи о коммивояжере удастся доказать, что никакого более короткого алгоритма поиска точного решения, имеющего степень по N сложность, не существует.

Рассмотренный пример является частным случаем задачи *неполиномиальной сложности*, или NP-проблемы [100]. Для таких задач отсутствуют строгие алгоритмы поиска решения с длиной, пропорциональной некоторой степени от полного числа N имеющихся элементов. В результате длительность процесса решения экспоненциально быстро растет с увеличением N и никакая сколь угодно мощная ЭВМ не в состоянии его осуществить.

NP-проблемы не являются редким исключением, они типичны для задач комбинаторной оптимизации. Их наличие накладывает жесткие ограничения на сферу применимости современных вычислительных машин. Однако мозг человека (и животных) не испытывает особых трудностей в решении сложных задач комбинаторной оптимизации, возникающих в регулярно повторяющихся условиях. Это, конечно, не противоречит строгим математическим теоремам, так как мозг не дает *точного* решения, обеспечивающего выбор *наиболее* оптимального варианта. Вместо этого довольно быстро отыскивается один из *достаточно* оптимальных вариантов.

Специалистами по прикладной математике предложено много различных приближенных способов решения сложных задач комбинаторной оптимизации. Обычно, однако, такие способы узко специфичны. Они пригод-

ны только для решения задачи какого-то одного типа и основываются на результатах, полученных путем сложного математического анализа именно этой задачи. Ясно, что способности к решению задач оптимизации у человека (и животных) должны базироваться на иных принципах.

В последнее время предложено несколько аналоговых методов решения задач комбинаторной оптимизации, для которых приближенный поиск решения осуществляется в ходе прямой эволюции определенной нелинейной системы. Наиболее популярен *метод имитации отжига*, выдвинутый в работе С. Киркпатрика, С. Гелатта и М. Веччи [159]. Мы проиллюстрируем вначале сущность этого метода на примере задачи о разбиении графа на две равные части. Эту задачу приходится часто решать при проектировании сверхбольших полупроводниковых интегральных схем. Известно, что точное решение такой задачи требует выполнения экспоненциально большого числа операций.

Пусть граф состоит из четного числа элементов и совокупности связей между ними. Задача оптимизации заключается в поиске такого разбиения элементов на две равные по числу элементов группы, чтобы полное число связей между элементами, принадлежащими разным группам, было минимальным (рис. 3.14).

Чтобы дать аналоговый способ решения, нужно сопоставить этой задаче некоторую искусственно сконструированную физическую систему. Именно, поставим в соответствие каждому элементу графа некоторый бистабильный физический элемент (автомат), состояния которого характеризуется спиновой переменной S_i , принимающей значения ± 1 . Введем матрицу связей $[T_{ij}]$ такую, что $T_{ij} = 1$, если элементы с номерами i и j связаны в графе между собой, и $T_{ij} = 0$, если связь отсутствует; кроме того, положим $T_{ii} = 0$. Будем считать, что все элементы в состоянии $S_i = +1$ относятся к первой группе, а элементы в состоянии $S_i = -1$ принадлежат второй группе.

Тогда полное число связей $N_{св}$ между элементами двух групп можно представить в виде

$$N_{св} = (1/8) \sum_{i,j} T_{ij} (S_i - S_j)^2. \quad (25.2)$$

Действительно, если между элементами i и j есть связь (т.е. $T_{ij} = 1$) и они принадлежат к разным группам (т.е. $S_i = -S_j$), это дает вклад в общую сумму, равный четырем, а каждая пара элементов учитывается в сумме дважды.

Простые преобразования выражения (2) дают

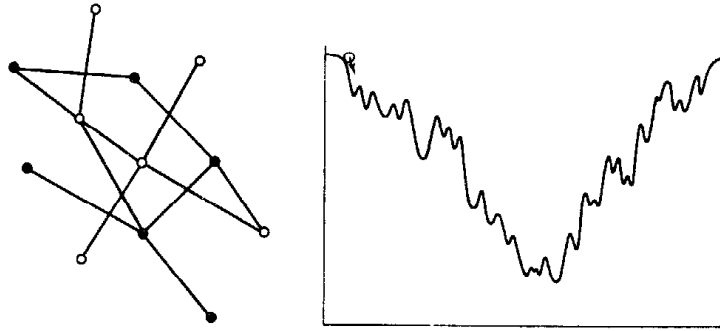
$$N_{св} = (1/2) N_{полн} - (1/4) \sum_{i,j} T_{ij} S_i S_j, \quad (25.3)$$

где

$$N_{полн} = \sum_{i < j} T_{ij} \quad (25.4)$$

есть полное число связей в рассматриваемом графе. Заметим далее, что

$$K = \sum_i S_i \quad (25.5)$$



Р и с. 3.14. Пример разбиения графа на две равные по числу элементов группы (белые и черные кружки)

Р и с. 3.15. Движение частицы с большим вязким трением по сильно изрезанному потенциальному рельефу

представляет собой разность числа элементов в двух группах, которая по условию задачи для оптимального разбиения должна равняться нулю.

Оптимальное разбиение графа на две равные по числу элементов группы будет поэтому отвечать абсолютному минимуму функции

$$E = N_{св} + \lambda K^2 \quad (25.6)$$

при больших положительных значениях множителя λ . Подставляя в (6) приведенные выше выражения для $N_{св}$ и K , получаем

$$E = (1/2)N_{полн} + \sum_{i,j} (\lambda - (1/4)T_{ij}) S_i S_j. \quad (25.7)$$

Теперь видно, что функцию E можно интерпретировать как энергию системы связанных изинговских спинов (24.1). Каждая спиновая конфигурация, т.е. распределение проекций спинов S_i , отвечает некоторому разбиению графа. Основное состояние такой спиновой системы, для которого энергия E минимальна, при $\lambda \rightarrow \infty$ отвечает оптимальному разбиению графа на две равные по числу элементов группы*).

Следовательно, аналоговое решение этой задачи оптимизации возможно, если подобрать такую динамику, т.е. алгоритм переходов между состояниями в системе, которая обеспечивала бы ее переход с течением времени в состояние с абсолютным минимумом энергии.

Казалось бы, для этого можно воспользоваться детерминированным алгоритмом перехода (24.18), введенным при рассмотрении модели Хопфилда. Согласно этому алгоритму каждый переход, т.е. переворот одного из спинов, осуществляется только в том случае, если он приводит к понижению полной энергии спинов. В результате переходы продолжают лишь до тех пор, пока не достигается состояние с минимумом энергии.

*) Если коэффициент λ велик, но конечен, числа элементов в двух группах могут оказаться слегка различными, что обычно не столь существенно в конкретных приложениях.

Однако использование этого простого детерминированного алгоритма, эквивалентного методу наискорейшего спуска в поиске минимума функции большого числа переменных, не дает правильного ответа. В действительности рассматриваемая нами система имеет огромное число различных стационарных состояний, каждое из которых отвечает какому-то локальному минимуму энергии, лежащему выше абсолютного минимума. Если разрешены только переходы, приводящие к уменьшению энергии, очень скоро система "застревает" в одном из локальных минимумов, из которого она уже не способна выйти.

Это можно пояснить на примере частицы, движущейся с вязким трением по сильно изрезанному потенциальному рельефу (рис. 3.15). Перемещаясь только вниз по градиенту потенциала, частица быстро застрянет в одном из локальных минимумов (промежуточных "долин") и никогда не достигнет дна потенциальной ямы.

Аналогичный эффект давно известен в физике конденсированного состояния вещества. При быстром охлаждении расплава последний обычно затвердевает, приобретая аморфную, т.е. неупорядоченную, структуру расположения отдельных атомов. Эта неупорядоченная структура представляет собой одно из метастабильных состояний с локальным минимумом энергии, тогда как абсолютному минимуму энергии отвечает кристаллическая структура, характеризующаяся регулярным периодическим расположением атомов. Однако перевести систему из расплава в кристаллическое состояние все же можно, если воспользоваться техникой *отжига*, заключающейся в очень медленном охлаждении системы с течением времени.

Оказывается, что метод имитации отжига может быть использован и для того, чтобы перевести в состояние с абсолютным минимумом энергии построенную выше искусственную спиновую систему.

Рассмотрим следующий вероятностный алгоритм переходов [175]. Пусть каждый такой переход заключается в перевороте случайно взятого спина: $S_i \rightarrow S'_i$. Если в результате переворота полная энергия спиновой системы понизилась ($\Delta E \leq 0$), он принимается безоговорочно. Если же переворот приводит к возрастанию полной энергии ($\Delta E > 0$), то он принимается лишь с некоторой вероятностью

$$p(S_i \rightarrow S'_i) = \exp(-\Delta E/\Theta), \quad (25.8)$$

которая тем меньше, чем больше прирост энергии. Можно показать, что применение этого вероятностного алгоритма переходов приводит с течением времени к установлению равновесного теплового распределения Больцмана с температурой Θ , для которого вероятность обнаружить систему в состоянии с энергией E равна

$$p(E) = Z^{-1} \exp(-E/\Theta). \quad (25.9)$$

Удобно отсчитывать энергию E от ее значения, отвечающего абсолютному минимуму, т.е. положить, что в этом минимуме $E = 0$. Допустим, что исходная конфигурация характеризуется достаточно большим значением энергии $E \gg \Theta$. Тогда на начальном этапе эволюции энергия системы в среднем со временем понижается: тепловые флуктуации (8) не позволяют ей застрять в метастабильных высокоэнергетических состояниях, отвечающих локальным минимумам энергии. Когда система оказывается

уже в окрестности самого глубокого энергетического минимума, тепловые флуктуации, приводящие к переходам с увеличением энергии, нежелательны, поскольку они препятствуют нахождению той единственной конфигурации, которая соответствует абсолютному минимуму энергии. Действительно, как видно из (9), в установившемся распределении Больцмана все состояния, для которых $0 < E \lesssim \Theta$, примерно равновероятны.

Метод имитации отжига [159] заключается в том, чтобы, придерживаясь бoльцмановского правила переходов, постепенно понижать температуру Θ , в конце концов доводя ее до нулевого значения. Тогда в окончательном состоянии влияние тепловых флуктуаций исключается и состояние соответствует конфигурации с абсолютным минимумом энергии E , которая, согласно проведенному нами построению, дает оптимальный вариант разбиения графа.

Необходимо подчеркнуть, что, вообще говоря, метод имитации отжига гарантирует нахождение точного оптимума лишь в пределе бесконечно медленного охлаждения. Если полное число элементов достаточно велико, то в окрестности абсолютного минимума энергии может располагаться много локальных минимумов с почти совпадающими энергиями. Проведя охлаждение недостаточно медленно, после выключения тепловых флуктуаций можно оставить систему в одном из таких метастабильных состояний. Впрочем, совершенная при этом ошибка невелика, поскольку все подобные состояния имеют энергию, близкую к абсолютному минимуму, и отвечают решениям, лишь незначительно худшим, чем оптимальное.

Далеко не всегда удается построить такую физическую систему, для которой оптимизируемая функция играла бы роль энергии, как это было проделано выше в задаче о разбиении графов. Тем не менее и в этих случаях можно воспользоваться методом имитации отжига. Рассмотрим, например, как получить с помощью этого метода приближенное решение задачи о коммивояжере*).

Пусть изменения маршрута обхода осуществляются посредством локализованных "мутаций", затрагивающих только два произвольно взятых города. Допустим, что на данном шаге в качестве таких городов были случайно выбраны точки F и G . Тогда мутация заключается в том, что мы поменяем F и G в последовательности обхода (рис. 3.16). Это приведет к новому маршруту обхода с другой суммарной длиной

$$l' = l_{BG} + l_{GE} + l_{EF} + l_{FD} + \dots + l_{WB}, \quad (25.10)$$

отличающейся от длины исходного маршрута (1) на величину

$$\Delta l = l_{BG} + l_{GE} + l_{EF} + l_{FD} - l_{BF} - l_{FE} - l_{EG} - l_{GD}. \quad (25.11)$$

Условимся, что результат мутации безоговорочно принимается, если она привела к сокращению маршрута обхода ($\Delta l < 0$), и принимается с вероятностью

$$p(\Gamma \rightarrow \Gamma') = \exp(-\Delta l/\Theta), \quad (25.12)$$

*) Путем введения m -компонентных спинов и последующего рассмотрения формального предела $m \rightarrow 0$ эту задачу можно привести к некоторой задаче со спинами [177]. Это позволяет изучить статистические свойства оптимальных траекторий и т.п., но не дает способа прямой аналоговой имитации.

если в результате мутации маршрут обхода удлинился ($\Delta l > 0$). Когда мутация принята, новая последовательность B, G, E, F, D, \dots, W принимается в качестве исходной, в ней опять наугад выбираются два города, и весь процесс повторяется заново. Если же от мутации отказались, в качестве исходной берется старая последовательность B, F, E, G, D, \dots, W . Имитация отжига заключается в том, чтобы понемногу уменьшать от мутации к мутации значение параметра Θ в (12), играющего роль температуры, и обратить его в конечном счете в нуль. Подбирая подходящую скорость

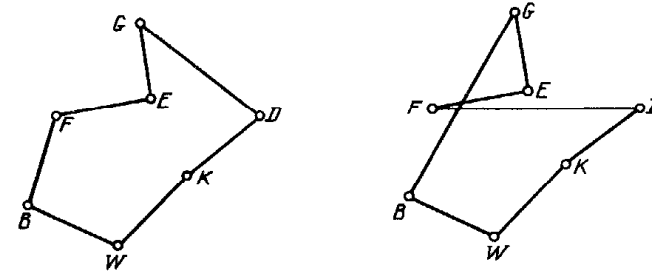


Рис. 3.16. Два маршрута обхода, отличающиеся последовательностью посещения точек F и G

уменьшения "температуры" Θ , можно добиться того, что получаемая в итоге траектория обхода будет минимальной.

Обсудим теперь сходства и различия между задачами комбинаторной оптимизации и задачами ассоциативной памяти (или распознавания образов). При решении задач комбинаторной оптимизации типичной является ситуация, когда есть много локальных минимумов, а мы разыскиваем тот единственный (абсолютный) минимум, который хотя бы чуть-чуть глубже всех остальных. При этом, чтобы наш поиск давал верные результаты, его исход не должен зависеть от начальных условий. Стремясь предотвратить остановку поиска на каких-то локальных минимумах, мы вводим эквивалент тепловых флуктуаций в алгоритм последовательных мутаций.

В задачах ассоциативной памяти, наоборот, результат в решающей степени должен зависеть от начальных условий. Необходимо, чтобы процесс поиска приостановился при достижении первой же устойчивой стационарной точки, а вовсе не при достижении состояния с абсолютным минимумом энергии. Следовательно, ассоциативная память и оптимизация представляют собой как бы две взаимно дополняющие проблемы.

Введение тепловых флуктуаций и имитация отжига не являются единственным подходом к аналоговому решению сложных задач комбинаторной оптимизации. Дж. Хопфилд и Д. Танк [139] указали на возможность альтернативного подхода, основанного на использовании многокомпонентных нелинейных динамических систем с детерминированной динамикой.

Идея Хопфилда и Танка заключалась в том, чтобы построить непрерывную динамическую систему, которая двигалась бы по направлению быстрой-

шего спуска к состоянию с минимумом "энергии", или, точнее, с минимумом функции Ляпунова. Это состояние задает последовательность обхода городов для оптимального маршрута. Для решения задачи с N городами Хопфилду и Танку пришлось использовать нелинейную динамическую систему с N^2 переменными V_{xi} , каждая из которых менялась в пределах от 0 до 1, так что допустимая область фазового пространства представляла собой внутренность N^2 -мерного куба. Возможные последовательности обхода городов отвечали некоторым вершинам этого многомерного куба. Динамические уравнения были составлены таким образом, чтобы устойчивые стационарные состояния могли достигаться только на вершинах куба и, более того, лишь на тех из вершин, которые отвечали разрешенным маршрутам обхода (посещение каждого города ровно один раз). По построению функция Ляпунова достигала абсолютного минимума на тех вершинах N^2 -мерного куба, которые соответствовали кратчайшему маршруту обхода*).

Моделирование такой динамической системы на ЭВМ показало [139], что ее эволюция позволяет неожиданно хорошо находить оптимальные или близкие к оптимальным маршруты обхода несмотря на то, что в системе отсутствует механизм, разрешающий выходить из состояний с локальными минимумами функции Ляпунова. Причины этого, по-видимому, следующие. Во-первых, число устойчивых притягивающих точек было невелико по сравнению с размерностью фазового пространства системы, а поэтому области притяжения разных точек, отвечающих метастабильным состояниям, не могли "экранировать" область притяжения состояния с абсолютным минимумом функции Ляпунова. Во-вторых, путем должного выбора параметров различия в глубинах локальных и абсолютного минимумов были сделаны большими, так что их области притяжения имели резко различающиеся размеры. В-третьих, использовались особые, почти симметричные начальные условия, не создававшие каких-либо специальных преимуществ для определенных маршрутов обхода.

Для задачи с 10 точками Хопфилд и Танк примерно в 50% случаев наблюдали сходимость к одному из двух самых коротких маршрутов. Поскольку общее число различных маршрутов для такой задачи составляет $10!/20 = 181\,440$, этот результат представляется довольно хорошим. В задаче с 30 точками наилучший найденный авторами [139] маршрут обхода был лишь на 19% длиннее кратчайшего.

Еще более эффективным является аналоговый метод решения задачи о коммивояжере, предложенный Р. Дурбином и Д. Уиллшоу [78]. Его суть состоит в том, что на плоскость, где разбросаны N точек, как бы набрасывается упругая петля. Эта петля стремится сжаться, уменьшая свою длину, однако ее коллапсу препятствуют силы, заставляющие петлю проходить хотя бы раз через каждую из N точек. Точная формулировка метода Дурбина и Уиллшоу такова.

На плоскости, где разбросаны N точек, положения которых заданы радиус-векторами R_i , находятся M связанных упруго в петлю частиц, положения которых мы будем задавать векторами r_j , $j = 1, 2, \dots, M$.

*) Каждому маршруту обхода соответствовало $2N$ различных вершин — по числу эквивалентных последовательностей посещения городов.

Полная упругая энергия системы равна

$$E = -\alpha \epsilon \sum_{i=1}^N \ln \left[\sum_{j=1}^M \exp \left(-\frac{|R_i - r_j|}{2\epsilon^2} \right) \right] + \beta \sum_{j=1}^M |r_{j+1} - r_j|^2, \quad (25.13)$$

где α , β и ϵ — некоторые параметры и $r_{M+1} \equiv r_1$. В пределе, когда $\epsilon \rightarrow 0$, первое слагаемое в выражении для E не будет неограниченно возрастать, только если для каждой точки i найдется хотя бы одна частица j такая, что $|R_i - r_j| \rightarrow 0$; иными словами, в этом пределе в состоянии с минимумом энергии упругая петля должна проходить через все точки. Если, кроме того, полное число частиц M очень велико, второе слагаемое в (13) будет достигать минимума, когда все M частиц расположены на равном расстоянии \mathcal{L}/M друг от друга, где \mathcal{L} — длина петли. Тогда оно принимает значение \mathcal{L}^2/M и тем меньше, чем более короткой оказывается петля.

В результате упругая энергия E минимальна в пределе $\epsilon \rightarrow 0$ и $M \rightarrow \infty$, если петля представляет собой кратчайший контур, соединяющий все N точек. Очевидно, что это условие останется примерно справедливым и для конечных значений ϵ и M . Чтобы система частиц при своем движении стремилась к состоянию с минимумом энергии, достаточно задать ее динамику уравнениями

$$\dot{r}_j = -\gamma \partial E / \partial r_j. \quad (25.14)$$

При расчетах на ЭВМ вместо дифференциальных уравнений (14) приходится использовать разностную схему:

$$r_j \rightarrow r'_j, \quad r'_j = r_j - \gamma \tau \partial E / \partial r_j. \quad (25.15)$$

Удобно выбрать $\gamma \tau = \epsilon$. С учетом (13) получим

$$r'_j = r_j + \alpha \sum_{i=1}^N \kappa_{ij} (R_i - r_j) + \beta \epsilon (r_{j+1} - 2r_j + r_{j-1}). \quad (25.16)$$

Коэффициент κ_{ij} играет роль жесткости связи, соединяющей частицу j упругого контура с точкой i ; он равен

$$\kappa_{ij} = \phi(R_i - r_j) [\sum_k \phi(R_i - r_k)]^{-1}, \quad (25.17)$$

где

$$\phi(d) = \exp(-d^2/2\epsilon^2). \quad (25.18)$$

Таким образом, жесткость κ_{ij} нелинейно зависит от расстояний между точкой i и всеми частицами контура. Эту зависимость приходится вводить, чтобы сделать полное воздействие каждой точки на все частицы контура одинаковыми:

$$\sum_{j=1}^M \kappa_{ij} = 1. \quad (25.19)$$

При использовании метода упругой петли для нахождения оптимального маршрута обхода вначале задают петлю в виде небольшой окружности в центре квадрата и значение $\epsilon \sim 1$. После этого осуществляют последовательность итераций по формуле (16), которая приводит к деформации контура, и одновременно уменьшают ϵ , доводя его до значений 0,01–0,02.

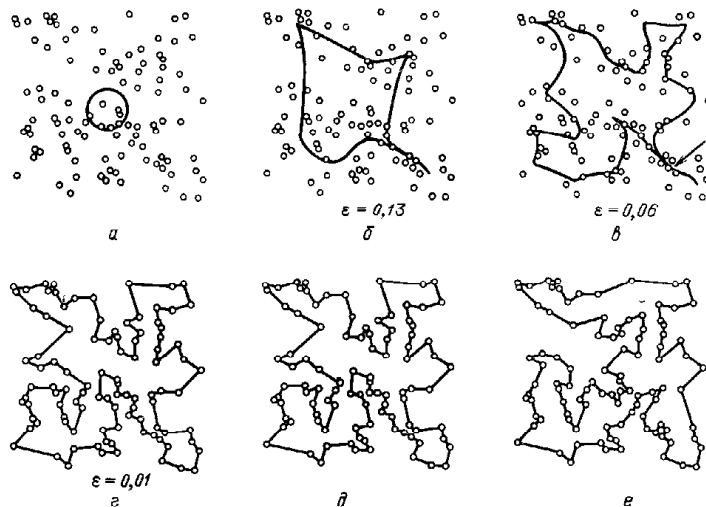


Рис. 3.17. Пример использования метода упругой петли для нахождения кратчайшего маршрута обхода

На рис. 3.17 показан пример использования метода упругой петли для нахождения кратчайшего маршрута обхода для 100 пунктов, которые случайно разбросаны внутри квадрата. Начальный контур изображен на рис. 3.17а; последующие контуры, получаемые при постепенном уменьшении параметра ϵ , изображены на рис. 3.17б–г. Окончательный маршрут (длина 7,78), найденный с помощью метода упругой петли, приведен на рис. 3.17д. Для сравнения на рис. 3.18е изображен кратчайший известный маршрут для данного расположения пунктов (его длина равна 7,70). Расчет проводился при значениях параметров $M = 2,5N$, $\alpha = 0, 2$, $\beta = 2, 0$.

Согласно данным [78], для задачи с 50 городами в зависимости от (случайного) выбора их расположения на карте метод упругой петли давал маршруты обхода с длинами, лишь на $3,0 \pm 1,4\%$ большими, чем у самых коротких известных маршрутов. В той же ситуации метод имитации отжига при затрате примерно того же машинного времени давал превышения на $1,5 \pm 0,7\%$, т.е. был лишь немного более эффективным. Высокая эффективность чисто детерминированного алгоритма, на котором базируется метод упругой петли, свидетельствует, что введение тепловых флуктуаций при решении сложных задач комбинаторной оптимизации не является обязательным*).

*) Необходимо, однако, указать на одно отличие. Метод имитации отжига позволяет, в принципе, находить решение с любой степенью точности, но для этого охлаждение необходимо производить все медленнее и медленнее, что требует растущих затрат машинного времени. Точность детерминированных алгоритмов фиксирована.

Заместим в заключение, что все описанные в настоящем разделе методы решения сложных задач оптимизации допускают естественную реализацию в параллельных расчетах, и поэтому они будут особенно удобными при использовании матричных процессоров или вычислительных сетей [88].

§ 26. Обучающиеся системы

Простым примером обучающейся системы служит модель Хопфилда, в которой использован алгоритм обучения Хебба. Такая система представляет собой сеть, состоящую из N бистабильных элементов и $N(N-1)/2$ перестраиваемых связей между ними. Каждая связь характеризуется своим весовым коэффициентом взаимодействия J_{ij} . Процесс обучения заключается в следующем. К каждому из элементов i подводится значение $\xi_i^{(m)}$, которое должна принимать его спиновая переменная S_i для m -го записываемого образа. Автомат, осуществляющий связь между элементами i и j , получает от них информацию о соответствующих значениях $\xi_i^{(m)}$ и $\xi_j^{(m)}$ и изменяет хранящееся у него в памяти значение J_{ij} по правилу

$$J_{ij} \rightarrow J_{ij} + \xi_i^{(m)} \xi_j^{(m)}. \quad (26.1)$$

После этого к элементам сети подводятся новые значения $\xi_i^{(m+1)}$, отвечающие следующему записываемому образу, и цикл обучения повторяется*). Эта процедура продолжается до тех пор, пока в сети не будет записано нужное число образов.

После того как обучение закончено, сеть можно использовать для распознавания образов. В этом режиме весовые коэффициенты J_{ij} фиксированы. К каждому из элементов сети подводится значение ξ_i для распознаваемого образа, которое формирует начальное состояние $S_i(t=0) = \xi_i$ данного элемента. Затем внешнее воздействие отключается и бистабильные элементы начинают менять свои состояния по правилу переходов

$$S_i \rightarrow \text{sign} \left(\sum_j J_{ij} S_j \right). \quad (26.2)$$

По прошествии некоторого времени переходы прекращаются и сеть переходит к устойчивому состоянию, отвечающему ближайшему из хранящихся в памяти сети прообразов $\{\xi_i^{(m)}\}$ (если их не слишком много!). Считывая установившиеся значения $S_i = \xi_i^{(m)}$, можно непосредственно регистрировать этот ближайший прообраз. Все поступающие на вход образы система разделяет по их близости к определенному числу классов, задаваемых хранящимися у нее в памяти прообразами, и, следовательно, такая обучающаяся распределенная система действительно способна решать некоторые задачи классификации.

Существенное достоинство модели Хопфилда заключается в очень простом алгоритме обучения. Однако она обладает рядом недостатков. Главный из них состоит в том, что при ее использовании мы лишены возможности управлять критерием распознавания, т.е. выбором областей притяжения для каждого из прообразов. Эксперименты показывают, что

*) В начале обучения для всех связей следует положить $J_{ij} = 0$.

в результате обучения система обычно указывает в качестве ближайшего к распознаваемому образу $\{\xi_i\}$ на тот из прообразов $\{\xi_i^{(m)}\}$, для которого максимальна степень перекрытия, т.е. величина $\sum_i \xi_i \xi_i^{(m)}$. Часто при распознавании изображений или структур следует использовать более изощренные критерии, отделяющие существенные признаки от незначительных деталей. Задача более сложных обучающихся систем заключается в выработке существенных признаков, что эквивалентно поиску закономерностей во входных данных. Первым обучающимся устройством

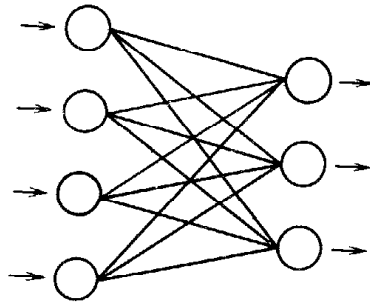


Рис. 3.18. Схема перцептрона. Показаны слой входных и слой выходных элементов, а также связи между ними

этого типа явился *перцептрон*, схема действия которого была предложена около тридцати лет назад [181].

Рассмотрим систему, образованную бистабильными элементами, которые подразделяются на два слоя — входных и выходных элементов (рис. 3.18). Состояния входных элементов будем характеризовать двоичными переменными $\{I_j\}$, а выходных — двоичными переменными $\{O_j\}$; переменные I_j и O_j принимают только значения 0 и 1. Входной элемент j соединяется с выходным элементом i посредством весового коэффициента J_{ij} . При заданных состояниях входных элементов и известных коэффициентах весовых связей состояния выходных элементов определяются по правилу

$$O_i = \sigma(a_i), \quad (26.3)$$

где

$$a_i = \sum_j J_{ij} I_j,$$

а $\sigma(z)$ представляет собой ступенчатую функцию: $\sigma(z) = 0$ при $z \leq 0$ и $\sigma(z) = 1$ при $z > 0$. Следовательно, каждой картине активности входных элементов будет отвечать некоторая картина активности на выходе системы. Иными словами, такая система *реагирует* определенным образом на каждое внешнее воздействие.

Выработка реакций системы осуществляется в процессе обучения, заключающегося в определении нужных значений весовых коэффициентов J_{ij} . При обучении системе последовательно предъявляются различные входные картины $\{I_j\}$ и для каждой из них указывается желательная кар-

тина*) на выходе $\{D_j\}$. Сравнение картины на выходе при заданном входном изображении с желаемым выходным изображением позволяет сформулировать сигналы ошибки $\{E_j\}$:

$$E_j = D_j - O_j.$$

Зная сигналы ошибки, можно попытаться исправить значения весовых коэффициентов J_{ij} , чтобы уменьшить ошибку. Для этого используется алгоритм

$$\Delta J_{ij} = \epsilon E_i I_j, \quad (26.4)$$

где ϵ — малый параметр, управляющий скоростью обучения.

Для двоичных переменных $\{I_j\}$, $\{O_j\}$ и $\{D_j\}$ алгоритм (4) сводится к изменению весовых коэффициентов связей для данного выходного элемента i , только если его состояние O_i ошибочно (т.е. не совпадает с желаемым D_i), и к изменению весовых коэффициентов связей, приходящих только от активных входных элементов j (для которых $I_j = 1$).

Обучение заключается в том, что системе многократно предъявляются разные входные изображения с известными желаемыми картинками на выходе и на каждом шаге, после предъявления очередного изображения, производится подстройка весов (4).

Вместо детерминированного правила (3) иногда используют вероятностный алгоритм — считают, что при заданной величине a_i выходной элемент i находится в активном состоянии ($O_i = 1$) с вероятностью

$$p_i = [1 + \exp(-a_i/\Theta)]^{-1}, \quad (26.5)$$

где Θ — аналог температуры. При $\Theta = 0$ вероятностный алгоритм (5) совпадает с детерминированным (3).

Описанная выше схема перцептрона с вероятностным поведением ($\Theta \neq 0$) была использована в одной лингвистической задаче [205]. На вход системы подавались (закодированные в двоичные последовательности) английские слова, отвечающие различным глаголам в настоящем времени. "Реакция" системы должна была состоять в том, чтобы указать форму этих глаголов в прошедшем времени. Как известно, в английском языке наряду с регулярными правилами построения прошедшей формы глаголов имеется большое число различных исключений, не подчиняющихся четким правилам, но обладающих все же определенными закономерностями. Хотя системе не сообщалось никаких правил построения, она самостоятельно научилась на опыте достаточно верно угадывать прошедшие формы глаголов.

Тем не менее возможности обучения, свойственные перцептронам, остаются очень ограниченными. Например, такая машина не может воспроизвести функцию "исключенное ИЛИ". Рассмотрим этот пример подробнее.

Функция "исключенное ИЛИ" заключается в том, что только при подаче сигнала на один из двух входных элементов (A и B) выходной эле-

*) Число желательных картин не может быть большим: цель обучения — построить классифицирующую систему, а поэтому многим разным входным картинкам должны соответствовать идентичные реакции.

мент (C) должен переходить в активное состояние:

$$D_C = \begin{cases} 0, & \text{если } I_A = I_B = 0, \\ 1, & \text{если } I_A = 1, I_B = 0, \\ 1, & \text{если } I_A = 0, I_B = 1, \\ 0, & \text{если } I_A = I_B = 1. \end{cases} \quad (26.6)$$

Однако по правилу (3) состояние выходного элемента есть

$$O_C = \sigma(J_A I_A + J_B I_B). \quad (26.7)$$

В частности,

$$O_C = \begin{cases} 0, & \text{если } I_A = I_B = 0, \\ \sigma(J_A), & \text{если } I_A = 1, I_B = 0, \\ \sigma(J_B), & \text{если } I_A = 0, I_B = 1, \\ \sigma(J_A + J_B), & \text{если } I_A = 1, I_B = 1. \end{cases} \quad (26.8)$$

Чтобы $\sigma(J_A) = \sigma(J_B) = 1$, необходимо выполнение условий $J_A > 0$ и $J_B > 0$. Но тогда $\sigma(J_A + J_B) = 1$ и при подаче сигнала на оба входных элемента выходной элемент оказывается в активном состоянии, что противоречит условию.

Преодолеть серьезные ограничения, свойственные перцептронам, можно, переходя к использованию более сложных систем, где между входом и выходом расположено какое-то число слоев *скрытых* элементов. Алгоритм обучения для такого обобщенного перцептрона, называемый *методом обратного распространения ошибок*, был предложен Д. Румелхартом, Дж. Хинтоном и Р. Уильямсом [204].

Пусть обучающаяся система состоит из N слоев (рис. 3.19). Элементы первого слоя являются входными — на них подается подлежащее анализу изображение $\{I_j\}$. Последний слой элементов — выходной, с него снимается изображение $\{O_j\}$. Между входным и выходным расположены $N - 2$ слоя скрытых элементов. В системе имеются связи только между элементами, принадлежащими соседним слоям; число элементов в каждом слое может быть различным.

При поступлении некоторого сигнала $x_i^{(n)}$ на вход i -го элемента в слое с номером n этот элемент вырабатывает выходной сигнал $y_i^{(n)}$ по закону*

$$y_i^{(n)} = [1 + \exp(-x_i^{(n)})]^{-1}. \quad (26.9)$$

В свою очередь входной сигнал, поступающий на элемент j в следующем, $n + 1$ -м слое, формируется как взвешенная сумма выходных сигналов от элементов предыдущего n -го слоя:

$$x_j^{(n+1)} = \sum_i J_{ji}^{(n)} y_i^{(n)}. \quad (26.10)$$

Весовые коэффициенты связей $J_{jn}^{(n)}$ могут принимать положительные и отрицательные значения.

* Конкретный вид зависимости $y = f(x)$ не очень существен. Необходимо лишь, чтобы при изменении сигнала x от $-\infty$ до $+\infty$ значение сигнала y монотонно возрастало от 0 до 1. Тем не менее использование функции (9) несколько упрощает расчеты.

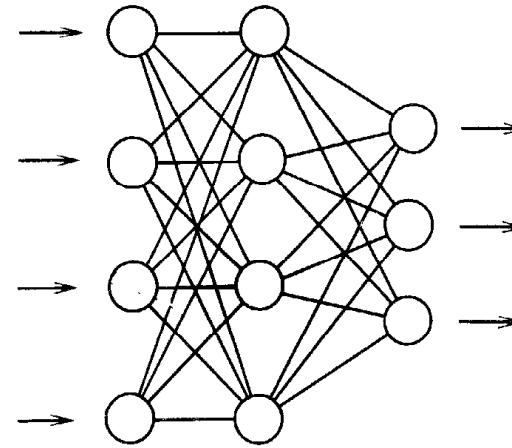


Рис. 3.19. Схема обобщенного перцептрона, используемого в методе обратного распространения ошибок

Согласно сказанному выше, входным сигналом для элементов первого слоя является предъявляемое изображение, т.е. $x_j^{(1)} = I_j$. Выходной сигнал элементов последнего слоя дает результат обработки, т.е. $y_j^{(N)} = O_j$.

Если весовые коэффициенты связей случайны, случайной будет и реакция такой системы — формируемое на ее выходе изображение. Задача обучения состоит в том, чтобы путем подбора весовых коэффициентов связей добиться требуемой реакции системы на предъявляемые изображения.

Конкретная формулировка такова. Допустим, что в нашем распоряжении имеются M различных эталонных изображений $\{I_{j,m}\}$, для каждого из которых известна желаемая реакция — выходное изображение $\{D_{j,m}\}$. Необходимо так подобрать значения весовых коэффициентов $\{J_{ji}^{(n)}\}$ и, вообще говоря, число промежуточных слоев, чтобы при подаче на вход системы любого из эталонных изображений на ее выходе появлялась соответствующая заданная нами картина.

Определим ошибку E как

$$E = \frac{1}{2} \sum_{m=1}^M \sum_j (D_{j,m} - O_{j,m})^2, \quad (26.11)$$

где $D_{j,m} = y_{j,m}^{(N)}$ представляют собой выходные сигналы элементов последнего слоя при подаче на первый слой m -го эталонного изображения $\{I_{j,m}\}$. Очевидно, что эта функция достигает своего минимального значения, лишь если для всех M эталонных изображений результат обработки совпадает с желаемым. Цель обучения сводится к нахождению значений коэффициентов $J_{ji}^{(n)}$, минимизирующих функцию (11). Мы видим, что обучение оказывается сложной задачей оптимизации.

Чтобы минимизировать E по способу быстрейшего спуска, необходимо вычислить частные производные от E по отношению к весовому коэффициенту каждой связи. Любая такая производная будет даваться суммой величин, относящихся к различным эталонным изображениям. По отдельности для каждого эталонного изображения все частные производные от функции ошибки можно вычислить, воспользовавшись методом обратного распространения ошибок [204, 208, 226].

Заметим прежде всего, что справедливо тождество

$$\frac{\partial E}{\partial y_i^{(n-1)}} = \sum_j \frac{\partial E}{\partial y_j^{(n)}} \frac{\partial y_j^{(n)}}{\partial x_j^{(n)}} \frac{\partial x_j^{(n)}}{\partial y_i^{(n-1)}}, \quad (26.12)$$

в котором значения входных и выходных сигналов взяты для одного из эталонных входных изображений. Поскольку последующий расчет ведется при фиксированном эталонном изображении, мы временно опускаем индекс m (например, $y_i^{(n)}$), указывающий на номер этого изображения.

С учетом зависимостей (9) и (10) из (12) следует рекуррентное соотношение

$$\frac{\partial E}{\partial y_i^{(n-1)}} = \sum_j \frac{\partial E}{\partial y_j^{(n)}} y_j^{(n)} (1 - y_j^{(n)}) J_{ji}^{(n-1)}. \quad (26.13)$$

С его помощью можно вычислить производные $\partial E/\partial y$ для некоторого слоя, если нам известны значения таких производных для следующего слоя. Заметим, что для выходного слоя эти производные легко найти, непосредственно продифференцировав равенство (11):

$$\partial E/\partial y_i^{(N)} = y_i^{(N)} - D_i. \quad (26.14)$$

Итак, начиная с нижнего N -го слоя и двигаясь вверх, можно последовательно вычислять по формуле (13) частные производные $\partial E/\partial y$ для каждого из элементов.

Далее можно воспользоваться равенством

$$\frac{\partial E}{\partial J_{ji}^{(n-1)}} = \frac{\partial E}{\partial y_j^{(n)}} \frac{dy_j^{(n)}}{dx_j^{(n)}} \frac{\partial x_j^{(n)}}{\partial J_{ji}^{(n-1)}}, \quad (26.15)$$

которое с учетом (9) и (10) переписывается в виде

$$\partial E/\partial J_{ji}^{(n-1)} = (\partial E/\partial y_j^{(n)}) y_j^{(n)} (1 - y_j^{(n)}) y_i^{(n-1)}. \quad (26.16)$$

Если предварительно были вычислены производные $\partial E/\partial y$, то по формуле (16) мы находим интересующие нас значения производных по весовым коэффициентам $\partial E/\partial J_{ji}$ для каждой из связей при заданном входном эталонном изображении. Найденными значениями производных $\partial E/\partial J_{ji}$ можно воспользоваться для внесения поправки в весовые коэффициенты связей $J_{ji}^{(n)}$ после предъявления каждого из эталонных изображений. Альтернативный подход заключается в том, чтобы для каждого нового цикла обучения предъявить системе все M эталонных изображений, просуммировать значения $\partial E/\partial J_{ji}$, относящиеся к различным эталонным изображе-

ниям, и лишь после этого внести необходимые поправки в значения J_{ji} . Так или иначе, каждый цикл обучения заключается в предъявлении эталонов, вычислении производных от функции ошибки E по весовым коэффициентам всех связей и небольшом изменении коэффициента каждой связи на величину

$$\Delta J_{ji}^{(n)} = -\epsilon \partial E/\partial J_{ji}^{(n)}, \quad (26.17)$$

после чего цикл обучения повторяется с новыми значениями весовых коэффициентов.

Процесс обучения следует продолжать, пока не будет достигнута приемлемая достаточно малая ошибка (11). Если в процессе обучения существенно понизить ошибку не удается, его следует повторить заново, введя дополнительные слои скрытых элементов. Вместо правила (17) при изменении весовых коэффициентов лучше использовать формулу

$$\Delta J_{ji}^{(n)}(t) = -\epsilon \partial E/\partial J_{ji}^{(n)}(t) + \alpha \Delta J_{ji}^{(n)}(t-1), \quad (26.18)$$

где время t изменяется на 1 после окончания каждого цикла обучения, а коэффициент α , заключенный в интервале от 0 до 1, характеризует инерционность обучающейся системы. В начальный момент времени весовым коэффициентам следует присписать малые случайные значения.

В некоторых случаях удобно воспользоваться системой, в которой элементы имеют постоянные смещения, так что вместо соотношения (10) справедливо соотношение

$$x_j^{(n+1)} = \sum_i J_{ji}^{(n)} y_i^{(n)} + b_j^{(n)}. \quad (26.19)$$

Смещения $b_j^{(n)}$ для различных элементов могут подбираться в процессе обучения. Заметим, что введение смещений не меняет сколь-либо существенно приведенные выше рассуждения. Действительно, наличие постоянного смещения эквивалентно тому, что на вход элемента поступает дополнительно единичный входной сигнал $Y^{(n)} = 1$ через связь с весом $b_j^{(n)}$. Поэтому смещения можно рассматривать совершенно аналогично весовым коэффициентам связей $J_{ji}^{(n)}$.

Простой задачей, которую нельзя решить, соединяя входные элементы непосредственно с выходными (т.е. с помощью обычного перцептона), является обнаружение симметрии. Чтобы определить, обладает ли зеркальной симметрией одномерная картина активности, задаваемая состояниями цепочки входных элементов, необходимо использовать слой промежуточных элементов. В численном эксперименте путем обучения удалось найти красивое решение этой задачи [211], использующее всего два промежуточных элемента (рис. 3.20). Для обучения были выбраны 64 эталонные картины. Каждый цикл обучения заключался в том, что для всех таких картин по методу обратного распространения ошибок вычислялись значения $\partial E/\partial J$ и $\partial E/\partial b$ для различных элементов, затем они суммировались по всем эталонным картинам и согласно правилу

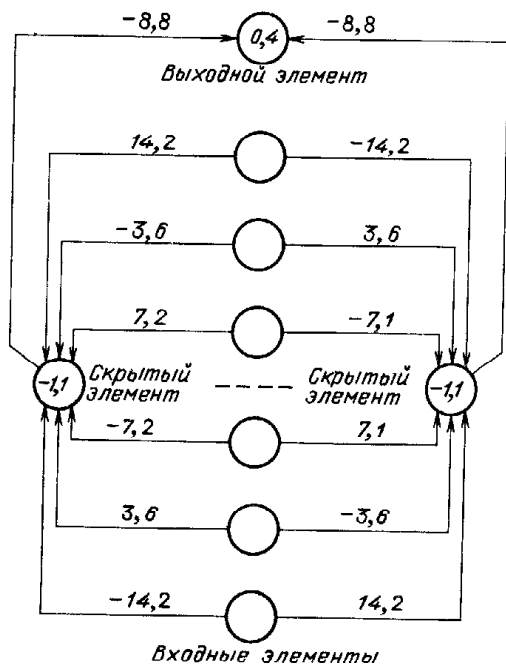


Рис. 3.20. Схема сети, обучившейся распознавать зеркальную симметрию. Числа, стоящие над соединительными линиями, представляют собой весовые коэффициенты этих связей, а числа внутри кружков, обозначающих элементы, указывают постоянное смещение для соответствующего элемента

(18) проводилось изменение весовых коэффициентов и смещений, после чего цикл обучения повторялся заново. Начальные весовые коэффициенты были случайно распределены в интервале от $-0,3$ до $0,3$. Параметры ϵ и α в (18) имели значения $\epsilon = 0,1$, $\alpha = 0,9$. Всего потребовалось провести 1425 циклов обучения, после чего система приобрела способность распознавать зеркальную симметрию в *любой* одномерной картине активности (это можно проверить, воспользовавшись значениями весовых коэффициентов и смещений, которые приведены на рис. 3.20).

К числу более сложных задач, решение которых получено путем обучения в численном эксперименте [204], относится запоминание родственных связей у группы людей ("у Кристофера и Пенелопы есть сын Артур и дочь Виктория, а у Эндрю и Кристины -- сын Джеймс и дочь Дженифер; Виктория и Джеймс женаты и имеют детей Колина и Шарлотту"). После обучения (разумеется, с предварительным кодированием) эта сеть родственных связей, запомненная машиной, может быть использована, чтобы получить, например, ответ на вопрос: "Кто является тетей Колина?". Сообщается также [209, 226], что с использованием метода

обратного распространения ошибок машину удалось обучить читать вслух английский текст.

Подчеркнем, что, обучившись распознавать некоторую закономерность, такая машина "не знает", как она это делает, и "не умеет объяснить", в чем эта закономерность состоит. В отличие от традиционного подхода, основанного на использовании программируемых ЭВМ, при работе с обучающимися машинами нет необходимости, чтобы природа имеющихся закономерностей и их конкретный вид были заранее известны человеку.

Метод обратного распространения ошибок использует детерминированный алгоритм оптимизации при поиске требуемых весовых коэффициентов связей. Ввиду этого имеется опасность, что при движении строго вниз по градиенту функции ошибки E будет достигнут какой-то из локальных минимумов этой функции и процесс обучения приостановится, не найдя истинного решения. Если ошибка остается значительной, часто достаточно добавить еще несколько элементов. В результате размерность пространства весовых коэффициентов возрастает и возникают пути обхода барьеров, отделяющих плохие локальные минимумы в подпространстве более низкой размерности.

Существуют, однако, и модели обучения, использующие вероятностные алгоритмы. Наиболее известной моделью является так называемая машина Больцмана, предложенная в 1984 г. Дж. Хинтоном, Т. Сейновским и Д. Экли [130].

В отличие от рассмотренного выше обобщенного перцептрона машина Больцмана состоит из бистабильных элементов, состояния которых описываются двоичными переменными s_i со значениями 0 и 1. Элементы не группируются в слои -- каждый из них может быть связан со всеми остальными, причем связи являются симметричными. Для каждой картины активности сети определена "энергия" \mathcal{E} , даваемая выражением

$$\mathcal{E} = -(1/2) \sum_{i,j} J_{ij} s_i s_j + \sum_i b_i s_i, \quad (26.20)$$

где J_{ij} -- весовые коэффициенты связей ($J_{ii} = 0$), а b_i -- смещения.

Элементы сети делятся на *видимые* (входные и выходные) и *скрытые*. К входным элементам подводится анализируемая картина, а с выходных снимается реакция сети. Как и для перцептрона, обучение заключается в постепенном подборе весовых коэффициентов, с тем чтобы минимизировать рассогласование между желаемым и имеющимся результатами обработки входных картин.

Подача определенной картины заключается в том, что мы фиксируем в нужных состояниях входные элементы, позволяя остальным элементам сети совершать переходы между состояниями согласно описанному ниже алгоритму. Заметим, что постоянные смещения b_i в (20) можно считать результатом связи элемента i с дополнительным входным элементом, который все время находится во включенном (активном) состоянии; b_i тогда есть весовой коэффициент связи, соединяющей элемент i с этим дополнительным элементом. Следовательно, достаточно рассмотреть более простую сеть, не имеющую смещений, для которой

$$\mathcal{E} = -(1/2) \sum_{i,j} J_{ij} s_i s_j. \quad (26.21)$$

Если элемент i переходит из состояния покоя в активное состояние, это сопровождается (при заданных состояниях остальных элементов) уменьшением энергии на величину

$$\Delta \mathcal{E}_i = \sum_j J_{ij} s_j. \quad (26.22)$$

Пусть вероятностный алгоритм переходов в системе таков, что при заданных состояниях остальных элементов на очередном шаге по времени элемент i принимает активное состояние ($s_i = 1$) с вероятностью

$$p_i = [1 + \exp(-\Delta \mathcal{E}_i / \Theta)]^{-1}, \quad (26.23)$$

где параметр Θ играет роль температуры.

В результате таких переходов с течением времени в системе устанавливается "тепловое равновесие", при котором вероятность обнаружить различные картины активности сети $\{s_i\}$ дается распределением Больцмана:

$$P(\{s_i\}) = Z^{-1} \exp[-\mathcal{E}(\{s_i\})/\Theta], \quad (26.24)$$

где Z — некоторый нормировочный коэффициент.

Перейдем теперь к описанию процедуры, посредством которой производится обучение машины Больцмана. Прежде всего сделаем одно общее замечание. Цель обучения будем понимать как построение машиной Больцмана своего рода "внутренней модели", воспроизводящей с достаточно высокой степенью точности закономерности связей между различными структурами в окружающем машину мире.

Предположим, что в окружающем мире встречаются структуры двух классов A и B ; структуры, относящиеся к классу A , будем нумеровать индексом $\alpha = 1, 2, \dots, K$, а структуры, относящиеся к классу B , — индексом $\beta = 1, 2, \dots, M$. Допустим, что связь между структурами двух классов носит статистический характер и определяется совместными вероятностями $p(\beta, \alpha)$ наблюдения различных структур β и α . Удобно ввести также вероятности

$$\pi(\beta | \alpha) = p(\beta, \alpha) / p(\alpha) \quad (26.25)$$

наблюдения структуры β , если в среде присутствует структура α (здесь $p(\alpha)$ — вероятность наблюдения структуры α).

Пусть цель обучения машины Больцмана состоит в построении "внутренней модели", воспроизводящей вероятностную взаимосвязь между структурами двух классов. Это означает, что различные структуры α и β мы должны каким-то образом кодировать в соответствующих картинах активности входных $I^{(\alpha)} = (I_1^{(\alpha)}, \dots, I_n^{(\alpha)})$ и выходных $O_i^{(\beta)} = (O_1^{(\beta)}, \dots, O_n^{(\beta)})$ групп элементов. Разным "внутренним моделям" отвечают свои весовые коэффициенты связей J_{ij} между элементами сети. Если все эти коэффициенты заданы, то при фиксации входных элементов в состоянии с некоторой картиной активности $I^{(\alpha)}$ сетью будут генерироваться с какими-то вероятностями разные картины активности O выходных элементов. Наблюдая за поведением системы, можно найти условные вероятности $\tilde{\pi}(\beta | \alpha)$ того, что при подаче на вход картины α на выходе

будет наблюдаться картина β . Процесс обучения сводится к изменению весовых коэффициентов связей J_{ij} , приближающему условные вероятности $\tilde{\pi}(\beta | \alpha)$, которые порождаются "внутренней моделью", к условным вероятностям $\pi(\beta | \alpha)$, характерным для окружающего мира.

Критерием близости двух распределений служит информационно-теоретическая мера

$$G = \sum_{\alpha, \beta} p(\beta, \alpha) \ln [\pi(\beta | \alpha) / \tilde{\pi}(\beta | \alpha)]. \quad (26.26)$$

Если для всех пар (β, α) вероятности π и $\tilde{\pi}$ совпадают, G достигает своего абсолютного минимума, равного нулю.

Вычислим производные $\partial G / \partial J_{ij}$. Для этого прежде всего заметим, что от весовых коэффициентов связей в выражении (26) зависят лишь величины $\tilde{\pi}$, а следовательно,

$$\frac{\partial G}{\partial J_{ij}} = - \sum_{\alpha, \beta} p(\beta, \alpha) \frac{\partial}{\partial J_{ij}} \ln \tilde{\pi}(\beta | \alpha). \quad (26.27)$$

Найдем логарифмическую производную от $\tilde{\pi}$ по J_{ij} для произвольно выбранных картин активности входных I и выходных O групп элементов. Удобно обозначить в качестве $S = \{s_j\}$ картину активности скрытых элементов. Тогда при подаче на вход заданной постоянной картины I вероятность обнаружить скрытые и выходные элементы в состояниях S и O дается выражением

$$P_I(S, O) = Z_I^{-1} \exp[-\mathcal{E}_I(S, O) / \Theta], \quad (26.28)$$

где статистическая сумма Z_I определена как

$$Z_I = \sum_{S, O} \exp[-\mathcal{E}_I(S, O) / \Theta]. \quad (26.29)$$

Поскольку условная вероятность $\tilde{\pi}(O | I)$ связана с $P_I(S, O)$ соотношением

$$\tilde{\pi}(O | I) = \sum_S P_I(S, O), \quad (26.30)$$

имеем

$$\tilde{\pi}(O | I) = Z_I^{-1} \sum_S \exp[-\mathcal{E}_I(S, O) / \Theta]. \quad (26.31)$$

Введя статистическую сумму

$$Z_{I, O} = \sum_S \exp[-\mathcal{E}_I(S, O) / \Theta], \quad (26.32)$$

которая вычисляется при заданных состояниях входных и выходных элементов, перепишем равенство (31) в виде

$$\tilde{\pi}(O | I) = Z_{I, O} / Z_I. \quad (26.33)$$

Следовательно,

$$\frac{\partial}{\partial J_{ij}} \ln \tilde{\pi}(O|I) = Z_{I,O}^{-1} \frac{\partial Z_{I,O}}{\partial J_{ij}} - Z_I^{-1} \frac{\partial Z_I}{\partial J_{ij}}. \quad (26.34)$$

Учитывая определения Z_I и $Z_{I,O}$, а также зависимость энергии от весовых коэффициентов связей (см. (22)), получаем из (34)

$$\frac{\partial}{\partial J_{ij}} \ln \tilde{\pi}(O|I) = (\langle s_i s_j \rangle_{I,O} - \langle s_i s_j \rangle_I) \Theta^{-1}, \quad (26.35)$$

где $\langle s_i s_j \rangle_I$ и $\langle s_i s_j \rangle_{I,O}$ представляют собой средние по времени от произведения активностей двух элементов i и j , взятые при фиксированном состоянии только входных (I) или же как входных, так и выходных (O) элементов соответственно.

Подстановка (35) в (27) дает

$$\frac{\partial G}{\partial J_{ij}} = \Theta^{-1} \sum_{\alpha, \beta} p(\beta, \alpha) (\langle s_i s_j \rangle_{\alpha} - \langle s_i s_j \rangle_{\alpha, \beta}). \quad (26.36)$$

После того как производные $\partial G / \partial J_{ij}$ известны, их можно использовать для модификации весовых коэффициентов связей J_{ij} , чтобы уменьшить величину G . Это можно сделать, например, по формуле*)

$$\Delta J_{ij} = -\epsilon \partial G / \partial J_{ij}. \quad (26.37)$$

В важном частном случае, когда различные картины α равновероятны и каждая из них в результате обучения сеть должна сопоставлять какую-то однозначно определенную картину $\beta(\alpha)$, выражение (36) приобретает вид

$$\partial G / \partial J_{ij} = (K \Theta)^{-1} \sum_{\alpha} (\langle s_i s_j \rangle_{\alpha} - \langle s_i s_j \rangle_{\alpha, \beta(\alpha)}), \quad (26.38)$$

где K — полное число различных входных картин. Тогда процедура обучения машины Больцмана выглядит особенно просто.

Обучение заключается в последовательном повторении тренировочных циклов. Каждый цикл состоит из следующих стадий.

1. Подать на вход машины одну из картин α и зафиксировать выходные элементы в состояниях, которые они должны принимать в соответствующей требуемой выходной картине активности $\beta(\alpha)$. Путем усреднения по большому интервалу времени вычислить средние значения $\langle s_i s_j \rangle_{\alpha, \beta(\alpha)}$ для всех пар скрытых элементов i и j .

2. Повторить стадию 1 с тем, однако, отличием, что теперь не нужно фиксировать состояния выходных элементов; это позволяет найти средние значения $\langle s_i s_j \rangle_{\alpha}$.

*) Можно использовать и другие варианты метода быстрого спуска. Например, $\Delta J_{ij} = -\epsilon \text{sign}[\partial G / \partial J_{ij}]$.

3. Выполнить процедуры, описанные в 1 и 2 для всех имеющихся входных картин α , и вычислить для каждой связи производную $\partial G / \partial J_{ij}$ по формуле (38).

4. Зная производные, найти согласно (37) или другим аналогичным формулам новые модифицированные значения весовых коэффициентов J_{ij} .

Последовательные циклы обучения следует повторять, пока не будет достигнута приемлемая частота правильного распознавания*). Если снижения числа ошибок не происходит, обучение можно произвести заново, увеличив число скрытых элементов.

Машины Больцмана обладают хорошими способностями к обучению. Как, в [201] описано использование такой машины для распознавания гласных звуков английского языка, произносимых разными людьми**). Машина научилась также делить предложения на отдельные слова и даже "понимать" простые предложения.

Недостаток подобных устройств заключается в том, что процесс их обучения занимает довольно длительное время, поскольку необходимо многократное накопление статистики. Это относится, конечно, главным образом к случаям, когда машина Больцмана имитируется на ЭВМ с последовательным выполнением операций. При реализации с помощью сетей, производящих параллельные вычисления, машина Больцмана должна быть более эффективной.

§ 27. Эволюционные модели

В предыдущих параграфах были приведены примеры динамических систем, которые могут использоваться для решения задач аналоговой обработки информации. Все они относились к числу систем потенциального типа — с течением времени эти системы стремились прийти в состояние, отвечающее минимуму некоторого потенциала или "энергии". Флуктуации в рассмотренных нами системах описывались болцмановским распределением вероятности с некоторой эффективной температурой. Все эти свойства типичны для систем, близких к состоянию теплового равновесия.

Как уже отмечалось, вся живая природа основана на системах, находящихся вдали от состояния теплового равновесия. Проходящий через живые системы поток энергии делает их активными, т.е. способными к самоорганизации. Главную роль в развитии биологических систем играют процессы эволюционного типа. У них также имеются аналоги среди физических систем. Наиболее близкий пример — процесс конкуренции мод в лазере непрерывного действия. В упрощенном виде его можно описать следующим образом.

*) При практической реализации этого алгоритма обучения на каждой из стадий 1 и 2, описанных выше, примениют процедуру имитации отжига [201]. Начальная температура Θ выбирается довольно большой, а затем ее медленно понижают. Средние значения $\langle s_i s_j \rangle$ вычисляют для конечных состояний с низкой температурой.

**) Звуковые сигналы предварительно обрабатывались для получения спектров, а спектры кодировались в форме двоичных входных последовательностей.

Лазер представляет собой нелинейную сильно неравновесную распределенную систему с внешней энергетической накачкой. Когда мощность накачки превышает определенный порог, в системе начинается экспоненциальный рост различных мод. С ростом интенсивности различных мод между ними устанавливается конкуренция. Действительно, на поддержание каждой такой моды расходуется определенная часть потока энергии, поступающего от источника накачки. Чем больше интенсивность данной моды, тем больше расход энергии на ее поддержание. Поскольку полная мощность источника накачки ограничена, обычно в результате конкуренции выживает всего одна наиболее эффективная мода.

Простейшая модель, описывающая процесс конкуренции мод, такова:

$$\dot{n}_j = (s_j - \beta \sum_{i=1}^N n_i) n_j. \quad (27.1)$$

Нетрудно проверить, что с течением времени в такой системе выживает лишь одна из мод j , а именно та, для которой эффективность s_j максимальна. Ее установившаяся интенсивность равна

$$\bar{n} = \max_j s_j / \beta. \quad (27.2)$$

Близким поведением обладает также несколько иная модель, а именно

$$\dot{n}_j = (s_j - \langle s \rangle) n_j, \quad (27.3)$$

где

$$\langle s \rangle \equiv \sum_{i=1}^N s_i n_i \left(\sum_{i=1}^N n_i \right)^{-1}. \quad (27.4)$$

Как и система (1), она имеет единственное устойчивое стационарное состояние; в этом состоянии отлична от нуля лишь интенсивность той моды, для которой коэффициент s_i максимален. Главное отличие системы (3) заключается в том, что она сохраняет суммарную интенсивность всех мод. Действительно, как следует из (3) и (4),

$$\frac{d}{dt} \sum_i n_i = \sum_i s_i n_i - \langle s \rangle \sum_i n_i = 0. \quad (27.5)$$

Таким образом, в модели (3) рост одной из мод может осуществляться лишь за счет уменьшения интенсивности каких-то других мод.

Помимо конкуренции за общий источник питания, различные моды могут также непосредственно влиять на скорости роста друг друга, оказывая перекрестное усиливающее или подавляющее воздействие. Учет этого эффекта можно произвести^{*}, вводя дополнительные члены в уравнение (1):

$$\dot{n}_j = (s_j - \beta \sum_i n_i) n_j + \sum_{i \neq j} \alpha_{ij} n_i n_j. \quad (27.6)$$

^{*}) Аналогичные слагаемые можно ввести также и в правые части уравнений (3).

Коэффициент α_{ij} описывает влияние i -й моды на скорость роста j -й моды: если $\alpha_{ij} > 0$, то имеет место усиление, а если $\alpha_{ij} < 0$, то происходит подавление.

Все приведенные выше модели используются для описания биологических сообществ. Каждой моде j при этом соответствует один из биологических видов, а интенсивность n_j представляет собой его численность. Первое слагаемое справа в (6) отвечает конкуренции различных видов за общий источник питания ("возобновляемый ресурс"), а второе слагаемое характеризует межвидовое взаимодействие (например, оно возникает в системах типа "хищник-жертва", "паразит-хозяин" и т.п.).

Заметим, что при наличии межвидового взаимодействия (т.е. когда $\alpha_{ij} \neq 0$) поведение системы (6) может быть очень сложным. Помимо устойчивых стационарных точек она может обладать различными предельными циклами и даже странными аттракторами (заметим, что формально к тому же типу относится и модель Лоренца, см. § 16). Это означает, что в установившемся режиме биологическое сообщество способно обладать весьма сложной структурой соподчинения различных видов живых организмов, продемонстрировать регулярные или хаотические изменения со временем своей внутренней структуры. Разумеется, приведенные нами модели являются лишь простейшими: взаимодействия членов сообщества с окружающей средой и между собой могут описываться и более сложными уравнениями [207].

Мутации приводят к рождению новых видов и, вообще говоря, к межвидовым превращениям. Последний эффект (т.е. тот факт, что потомство одного вида из-за мутации теоретически могло бы оказаться принадлежащим другому виду) нетрудно учесть, добавив соответствующие члены в уравнения естественного отбора:

$$\dot{n}_j = (s_j - \beta \sum_i n_i) n_j + \sum_{i \neq j} \alpha_{ij} n_i n_j + \sum_i D_{ij} n_i - \sum_i D_{ji} n_i. \quad (27.7)$$

Здесь D_{ij} — частота мутаций, превращающих i в j . Гораздо интереснее и важнее первый эффект — рождение в результате мутаций новых видов.

Рождение нового вида $j = N + 1$ означает, что в динамических уравнениях (7) появятся дополнительные слагаемые, описывающие его рост, взаимодействие с источником питания и с другими видами. Иными словами, результатом такого случайного события оказывается изменение не значений параметров, а изменение самой структуры динамических уравнений эволюционной модели. С математической точки зрения это чрезвычайно существенное обстоятельство. Последовательный учет мутаций требует от нас перехода к изучению нового математического объекта — динамических уравнений, сама форма которых случайно меняется со временем.

Заметим, что виды не только рождаются, но и погибают. Формально, в рамках уравнений (7) численность n_j вымирающего вида может лишь стремиться со временем к нулю, оставаясь всегда положительной. Ясно, однако, что при очень малых численностях n_j эти уравнения неприменимы и необходимо принимать во внимание дискретный состав популяции. Фактически, если в популяции осталось порядка сотни особей, она обычно обречена на быстрое вымирание за конечный промежуток времени. Гибель видов можно учесть в уравнениях (7), дополнительно предпо-

ложив, что, когда численность какого-то вида опускается ниже порога $n_i \sim 100$, его необходимо исключить из динамических уравнений модели.

Итак, полная эволюционная модель описывается динамическими уравнениями, сама структура и набор переменных которых непрерывно меняются: случайно — за счет мутаций — и детерминированно — из-за вымирания, обусловленного естественным отбором. Эта структурная подвижность позволяет автоматически строить динамические системы с заданными (в определенных пределах) свойствами и поведением, а это как раз необходимо для задач обучения. Некоторые примеры использования эволюционных моделей в задачах обучения рассматривались в [83, 136].

При решении задач оптимизации нам обычно известна некоторая функция $U = U(x)$, ставящая в соответствие каждому возможному варианту x его эффективность U . Пусть, например, x — координата частицы, $U(x)$ — значение потенциала в точке с координатой x . Задача состоит в том, чтобы найти точку с абсолютным минимумом потенциала.

Аналоговое решение такой задачи оптимизации с использованием метода имитации отжига выглядело бы следующим образом. Предположим, что частица совершает вязкое движение в потенциальном силовом поле $U(x)$, так что ее координата меняется со временем согласно уравнению

$$\dot{x} = -\gamma \partial U / \partial x. \quad (27.8)$$

Тогда эта частица будет стремиться попасть в точку минимума потенциала U и оставаться в ней неограниченно долго. Если функция $U(x)$ обладает всего одним минимумом, решение получено. Если минимумов U много, то частица может попасть в любой из них в зависимости от своего начального положения и далее уже не перемещаться. Абсолютный минимум U при этом найден не будет.

При наличии тепловых флуктуаций частица совершает случайные блуждания в потенциальном силовом поле $U(x)$, так что вероятность $p(x, t)$ обнаружить частицу в момент t в точке с координатой x подчиняется диффузионному уравнению

$$\frac{\partial p}{\partial t} = \frac{\partial}{\partial x} \left[\gamma \frac{\partial U}{\partial x} p \right] + D \frac{\partial^2 p}{\partial x^2}. \quad (27.9)$$

Легко проверить прямой подстановкой, что стационарное распределение вероятностей для (9) дается выражением

$$p_s(x) = Z^{-1} \exp [-(\gamma/D) U(x)], \quad (27.10)$$

где Z^{-1} является нормировочным множителем. При выполнении соотношения Эйнштейна

$$D = \gamma \Theta, \quad (27.11)$$

устанавливающей связь между подвижностью γ и коэффициентом диффузии D , мы получаем равновесное распределение Больцмана с температурой Θ .

Тепловые флуктуации ведут к перебросам частицы между минимумами потенциала $U(x)$. Если два минимума отделены потенциальным барьером ΔU , то среднее время перехода между ними можно оценить как

$$\tau \sim \exp (\Delta U / \Theta). \quad (27.12)$$

Взяв в качестве ΔU максимальный потенциальный барьер ΔU_{\max} между двумя минимумами, согласно (12) получим характерное время установления равновесного распределения вероятностей при температуре Θ ; оно тем больше, чем выше потенциальные барьеры и чем ниже температура Θ . Ввиду экспоненциального закона убывания вероятностей (10) равновесное распределение вероятностей оказывается сосредоточенным в области x , где значение потенциала $U(x)$ отличается от его абсолютного минимума на величину, меньшую порядка Θ . Если в эту область попадают другие локальные минимумы потенциала U , то при наличии флуктуаций наша динамическая система не может отличить их от абсолютного минимума.

Чтобы устранить неоднозначность в окончательном результате, необходимо постепенно понижать температуру Θ , устремив ее в конце к нулю, т.е. осуществлять медленный *отжиг* системы. Чтобы длительность отжига, гарантирующего правильное отыскание абсолютного минимума U , не была экспоненциально велика, его нужно начинать с температуры $\Theta_0 \sim \Delta U_{\max}$. Следовательно, при прочих равных условиях начальная температура равна Θ_0 и, значит, полная длительность процесса поиска оптимума по методу имитации отжига будет тем больше, чем выше потенциальные барьеры, отделяющие локальные минимумы функции U .

Рассмотрим теперь, как можно осуществить аналоговый поиск оптимума, используя модели с естественным отбором [46, 79, 80].

Основная идея эволюционного метода чрезвычайно проста. Мы знаем, что в ходе естественного отбора выживает тот вид, для которого эффективность s максимальна. Следовательно, если построить такую искусственную эволюционирующую систему, для которой эффективности различных видов x тем больше, чем меньше значение функции $U(x)$, то в процессе эволюции выживет тот вид, для которого $U(x)$ обладает абсолютным минимумом, что дает прямое решение поставленной задачи. В частности, выбрав $s(x) = U_{\max} - U(x)$, мы получим из уравнений (3)

$$\frac{\partial}{\partial t} n(x, t) = -[U(x) - \langle U \rangle] n(x, t), \quad (27.13)$$

где

$$\langle U \rangle = \int n(x, t) U(x) dx (\int n(x, t) dx)^{-1}. \quad (27.14)$$

Согласно (13) с течением времени распределение $n(x)$, сохраняя свою суммарную интенсивность

$$N = \int n(x, t) dx, \quad (27.15)$$

локализуется в точке абсолютного минимума функции $U(x)$, т.е. при

$t \rightarrow \infty$ мы имеем

$$n(x, t) \rightarrow N \delta(x - x_0), \quad (27.16)$$

где x_0 — точка абсолютного минимума U .

Действительно, общее решение уравнения (13) есть

$$n(x, t) = N \frac{n(x, 0) \exp[-U(x)t]}{\int n(x, 0) \exp[-U(x)t] dx}. \quad (27.17)$$

При $t \rightarrow \infty$ интеграл в знаменателе можно приближенно вычислить по методу перевала:

$$\begin{aligned} \int n(x, 0) \exp[-U(x)t] dx &\approx \\ &\approx n(x_0, 0) [2\pi/U''(x_0)]^{1/2} \exp[-U(x_0)t]. \end{aligned} \quad (27.18)$$

Разлагая числитель по степеням отклонения $x - x_0$, находим

$$n(x, t) \approx N (n(x, 0)/n(x_0, 0)) (\nu/\pi)^{1/2} \exp[-\nu(x - x_0)^2], \quad (27.19)$$

где $\nu = (1/2)U''(x_0)t$. Но произведение последних двух сомножителей в пределе $\nu \rightarrow \infty$ дает $\delta(x - x_0)$.

Заметим, что асимптотика (16) справедлива, лишь если $n(x_0, 0) \neq 0$, т.е. если в начальный момент времени точка x_0 была заселена. Поскольку нам предварительно неизвестно положение точки абсолютного минимума функции $U(x)$, при использовании описанного метода следует исходить из начального состояния, в котором численности *всех* видов x отличны от нуля*). Например, можно выбрать $n(x, 0) = \text{const}$.

Сравнивая эволюционный метод решения задач оптимизации, основанный на использовании динамических уравнений (13) с конкуренцией мод (т.е. естественным отбором), и метод имитации отжига, использующий уравнение (9) с зависящим от времени коэффициентом диффузии $D(t) = \gamma\Theta(t)$, можно заметить, что в ряде случаев эволюционный метод позволяет более быстро найти решение.

Как видно из (17), время выхода на асимптотику (16) *не зависит* от размера барьеров, разделяющих минимумы функции $U(x)$, а следовательно, высота подобных барьеров не будет отражаться и на длительности процесса поиска оптимума. Напомним, что в методе имитации отжига длительность поиска растет с увеличением высоты потенциальных барьеров. Пример использования эволюционного метода для решения конкретной задачи оптимизации приведен в [46].

Рассмотрим теперь возможность использования систем с естественным отбором (т.е. конкуренцией мод) в задачах распознавания образов.

При построении динамических систем с ассоциативной памятью в § 24 мы исходили из того, что динамическая система должна иметь

*) Альтернатива состоит в том, чтобы допустить мутации, приводящие к порождению всех возможных видов в процессе эволюции.

столько аттракторов, каково число запомненных образов. Тогда распознаваемый образ подается в качестве начального условия и результат распознавания определяется тем, области притяжения какого из аттракторов он принадлежит. Возможен, однако, и альтернативный подход. Именно, рассмотрим такую динамическую систему, которая описывается некоторым набором параметров $\{s_j\}$, причем при любом заданном наборе этих параметров она обладает *всего одним* аттрактором. Пусть, однако, эта динамическая система довольно чувствительна к изменению своих параметров, так что при изменении величин s_j один аттрактор сменяется другим. Ясно тогда, что каждому из возможных аттракторов будет отвечать своя область *в пространстве параметров*, образованном всевозможными наборами $\{s_j\}$. Если теперь выбрать в качестве набора $\{s_j\}$ распознаваемый образ и проследить, притяжением к какому из аттракторов будет завершаться эволюция системы, это также позволит осуществить аналоговое распознавание.

В качестве примера рассмотрим способ построения гипотетической биохимической системы, реализующей такой механизм распознавания изображений [6].

Пусть мы имеем плоский слой клеток, погруженных в жидкость. Все клетки идентичны. Каждая из них отделена от среды мембраной, пропускающей одни молекулы и непрозрачной для остальных. Внутри клеток могут происходить определенные фотохимические реакции, скорость которых зависит от интенсивности падающего сверху света.

Опишем вначале процессы, протекающие в системе на стадии *записи образов*.

При наличии молекул A_j сорта j в отдельной клетке идет синтез соответствующих молекул-ферментов χ_j , причем скорость синтеза пропорциональна освещенности I на этой клетке:



Чтобы записать изображение с номером j , следует спроецировать его сверху на слой клеток и создать картину освещенности $I_j(x)$. Одновременно с этим ко всем клеткам слоя через межклеточную среду нужно подвести в равных концентрациях молекулы сорта A_j , необходимые для синтеза. Тогда после записи j -го изображения в клетках слоя будут накоплены молекулы χ_j в концентрациях, пропорциональных локальной освещенности $I_j(x)$ в точках x для j -го изображения.

Перед записью следующего изображения необходимо удалить из клеток молекулы A_j и подать в них новые молекулы A_{j+1} с той же начальной концентрацией. Проецируя затем на слой клеток новое изображение, мы накапливаем в них молекулы χ_{j+1} с концентрацией $\chi_{j+1}(x) \sim I_{j+1}(x)$.

Допустим, что в слое клеток записано N изображений $I_j(x)$, $j = 1, 2, \dots, N$, которые мы будем рассматривать в качестве образов. Задача распознавания образов состоит в том, чтобы для всякого дальнейшего изображения $I(x)$ указать наиболее близкий к нему образ. Простейший критерий близости таков: образ j следует считать самым близким (среди прочих) к анализируемому изображению $I(x)$, если для него максимальна

величина*)

$$s_j = \int I_j(x) I(x) dx. \quad (27.21)$$

На стадии автоматического *распознавания изображений* в системе протекают следующие процессы.

При наличии молекул субстрата R в клетке идут катализируемые молекулами-ферментами χ_j реакции репликации молекул B_j ; скорость этих фотохимических реакций пропорциональна освещенности I:



Происходит также реакция распада молекул B_j с выделением молекул субстрата:



Мы считаем, что клеточные мембраны прозрачны для молекул субстрата R и молекул B_j , так что клетка осуществляет свободный обмен ими с межклеточной средой. Кроме того, мы полагаем, что скорости реакций (22) и (23) малы по сравнению со временем диффузионного перемешивания для молекул B_j и R по всему слою. Это означает, что концентрации этих молекул поддерживаются одинаковыми для всех клеток, в отличие от концентрации молекул-ферментов χ_j , для которых мембраны непрозрачны.

С учетом сказанного кинетические уравнения для изменения со временем концентраций R и B_j имеют вид

$$\dot{B}_j = k_+ R B_j \int I(x) \chi_j(x) dx - k_- B_j, \quad (27.24)$$

$$\dot{R} = -k_+ R \sum_{j=1}^N B_j \int I(x) \chi_j(x) dx + k_- \sum_{j=1}^N B_j,$$

где $k_+ I$ и k_- — скорости реакций (22) и (23). Считая, что размеры отдельных клеток достаточно малы, мы перешли в (24) к континуальному описанию.

Как следует из уравнений (24), в процессе эволюции сохраняется величина

$$C = R + \sum_{j=1}^N B_j. \quad (27.25)$$

Она имеет смысл начальной концентрации R молекул субстрата (предполагается, что в начальный момент времени концентрации B_j всех молекул-индикаторов были очень малы, хотя и отличны от нуля). Выразив R из (25) и подставив его в (24), получим

$$\dot{B}_j = k_+ w_j (C - \sum_j B_j) B_j - k_- B_j, \quad (27.26)$$

где

$$w_j = \int I(x) \chi_j(x) dx. \quad (27.27)$$

Согласно (26) при выполнении неравенства

$$\max_j w_j < k_- / k_+ C \quad (27.28)$$

с течением времени все моды j вымирают, так что концентрации B_j стремятся к нулю. В обратном случае конкуренция приводит к выживанию той моды, для которой коэффициент w_j максимален, и вымиранию всех остальных мод.

Выше отмечалось, что концентрация $\chi_j(x)$ катализаторов, формируемая при записи образов, пропорциональна локальной освещенности $I_j(x)$ для соответствующего образа j , т.е. $\chi_j(x) = \xi I_j(x)$. Поэтому $w_j = \xi s_j$, а следовательно, конечная стадия эволюции будет прямо указывать, к какому из записанных образов наиболее близко анализируемое изображение. Действительно, каждому из образов соответствуют свои молекулы-индикаторы B_j . В конечном состоянии будут присутствовать лишь молекулы того индикатора, для которого s_j максимален. В частности, если каждый индикатор окрашивает клетки в свой цвет, система будет реагировать на подачу изображений изменением цвета слоя клеток, автоматически выбирая тот цвет, который отвечает наиболее близкому из хранящихся в ней образов.

*) Для простоты мы предположим, что интегральная освещенность $\int I_j(x) dx$ для всех образов одинакова.

БИБЛИОГРАФИЧЕСКИЙ КОММЕНТАРИЙ

К главе 1

Широкий круг вопросов, связанных с изучением автоволн и диссипативных структур в различных активных средах, рассмотрен в монографиях [37, 66, 70, 102, 106, 109, 120, 123, 127–129, 154, 193, 263, 267]. Имеется также ряд общих обзоров: [11, 20, 36, 39, 45, 46, 56, 60, 83, 99, 107, 133, 155]. В популярной форме эти проблемы обсуждаются в брошюрах [9, 88, 90, 94].

Конкретные модели различных активных сред приведены, например, в [10, 11, 15, 18, 42–44]. Большое число работ посвящено рассмотрению химических активных сред и в особенности среды с химической реакцией Белоусова – Жаботинского [27, 28, 55, 175, 199, 252, 253].

Существует обширная литература о волнах переключения в простых бистабильных системах. В первую очередь здесь необходимо отметить монографию [59] и подробный обзор [107]. Впервые волны переключения были рассмотрены в [63, 85, 156]. Различные задачи, возникающие в теории таких волн, изучаются в [19, 21, 45, 58, 126, 146, 147, 210]. В цикле работ [124, 125] и др. рассматриваются близкие вопросы образования пространственных нестационарных структур в средах с сильной нелинейной зависимостью теплопроводности от температуры или коэффициента диффузии от концентрации реагирующего вещества.

Подробный теоретический анализ механизмов, лежащих в основе распространения уединенных бегущих импульсов в возбудимых средах, проведен в [111, 141, 222, 223, 236] и [238]. Устойчивость и другие свойства бегущих импульсов изучались в [93, 132, 150, 152, 153, 200]. Бегущие импульсы в конкретных моделях возбудимых сред рассматривались в [77, 81, 151, 158, 230–232], стохастические последовательности бегущих импульсов – в [92].

Современные работы по использованию клеточных автоматов для моделирования волновых процессов в возбудимых средах восходят к статье [38], в которой была предложена так называемая аксиоматическая модель возбудимой среды и с ее помощью проанализирована циркуляция спиральной волны вокруг отверстия. В ее рамках позднее было показано, что наличие отверстия не является необходимым условием [8, 46] и что спиральная волна может возникнуть из разрыва фронта в неоднородной по рефрактерности среде [86]. Различные модификации аксиоматической модели обсуждались в [41, 172, 233, 234, 272].

Спиральные волны в среде с химической реакцией Белоусова – Жаботинского были открыты в [57, 260]. Различные подходы к теоретическому описанию спиральных волн в возбудимых средах развивались в [46, 89, 112, 117, 119, 208, 227, 242]. Процессы взаимодействия спиральных волн между собой, а также с другими волновыми структурами в возбудимых средах изучались в [52, 53, 188, 241, 262]. Многочисленные спиральные волны были обнаружены в экспериментах [87, 134]. Особой тщательностью и высокой техникой эксперимента выделяются исследования [212–215]. Результаты численного моделирования спиральных волн в возбудимых средах приведены в [66], а также в [67, 117, 228].

Кинематический подход был использован еще в 1951 г. при описании спирального роста кристалла вокруг винтовой дислокации [140]. Применительно к возбудимым средам этот подход был предложен в [64–66, 69]. При этом, однако, не учитывалась зависимость скорости прорастания от кривизны волнового фронта. Уравнения кинематики с учетом такой зависимости были получены в [31, 32, 46].

Вывод уравнений квазистационарного приближения дан в [30]. Обобщение кинематического подхода на случай трехмерных возбудимых сред проведено в [29]. Кинематический подход развивался также в цикле работ [179, 180, 256]. В указанных работах, однако, не рассматривалась динамика обрывов автоволнового фронта. Механизм возникновения спиральных волн из обрывов волнового фронта изучался в [113, 118]. Кинематический подход к описанию взаимодействий между бегущими импульсами в возбудимых средах развит в [211, 239].

Дрейф спиральных волн в неоднородных возбудимых средах изучался экспериментально в [243]; резонанс спиральных волн в светочувствительной возбудимой среде с реакцией Белоусова – Жаботинского был открыт в [2]. Простое качественное объяснение дрейфа спиральных волн предложено в [174]. Последовательная теория резонанса и дрейфа спиральных волн в возбудимых средах дана в [30].

Трехмерные вихри в химической среде с реакцией Белоусова – Жаботинского изучались в экспериментах [261, 258]. Численное моделирование сложных трехмерных автоволновых структур, а также рассмотрение отдельных теоретических вопросов, связанных с их описанием, предпринято в [114–116, 206, 209, 216, 225, 226, 275]. В [265, 268–271] дана подробная классификация всех возможных трехмерных структур и сформулированы правила отбора для таких структур, основанные на некоторых топологических ограничениях (см. также [169]). Кинематическая теория вихревых колец в трехмерных возбудимых средах построена в [29]. В рамках кинематического подхода свойства скрученных вихрей и распространение волн скрученности изучались в [47].

Уравнения фазовой динамики для осциллирующих активных сред были выведены и изучались в [190–193]. Численные и аналитические исследования процессов, связанных с образованием регулярных или хаотических структур в осциллирующих активных средах, проводились в [4–7, 13, 14, 40, 60, 61, 97, 99, 108, 122, 123, 157, 161, 173, 177, 184, 201–204, 217–219, 221, 249, 257, 259, 261, 274]. Частота вращения и форма спиральной волны в осциллирующей активной среде были рассчитаны в работе [170] (см. также [98]). В выполненных ранее работах [60, 61, 108, 144, 148, 161, 162, 165, 166, 181, 182, 187] не удавалось правильно рассчитать частоту вращения спиральных волн (либо рассматривались лишь некоторые частные случаи осциллирующих сред, где спираль имеет особую вырожденную форму, а ее частота вращения совпадает с частотой однородных автоколебаний в такой среде).

Ведущие центры в среде с химической реакцией Белоусова – Жаботинского открыты в экспериментах [276, 277]. Длительное время считалось, что такие автоволновые структуры являются автономными и не связаны с наличием каких-либо неоднородностей или посторонних включений. Впоследствии было установлено [135, 255], что это не так: ведущие центры в среде с реакцией Белоусова – Жаботинского обусловлены присутствием примесей, локально переводящих среду в автоколебательный режим. Тем не менее имеется ряд теоретических моделей [91, 131, 183, 184, 220], объясняющих возникновение таких структур в однородных средах (при этом обычно остается открытым вопрос об устойчивости подобных структур). В [34] рассмотрена модель ведущих центров в трехкомпонентной активной среде. Теория пейсмекеров, основанная на уравнениях фазовой динамики, приведена в [193] (см. также [207]).

Стационарные диссипативные структуры в распределенных активных средах впервые рассматривались в [251]. Большой вклад в их изучение был внесен в работах И. Пригожина и его сотрудников (подробную библиографию см. в [109]). Различные вопросы, связанные с образованием и устойчивостью подобных структур, анализировались также в [12, 20, 22–24, 33, 35, 37, 50, 51, 72, 73–77, 79, 80, 96, 104, 105, 121, 137–139, 142, 143, 153, 168].

Подробная классификация различных типов стационарных пульсирующих и бегущих структур в двухкомпонентных реагирующих системах с диффузией, зависящая от соотношений между характерными временами и длинами, а также от типа нелинейности, проведена в [75–84].

В данных комментариях затронуты не только вопросы, освещенные в гл. 2, но и другие важные аспекты динамического хаоса.

Литература по теории динамического хаоса и близким разделам чрезвычайно обширна. Библиография по динамическим системам [140] содержит около четырех с половиной тысяч наименований. Для первоначального ознакомления с предметом можно рекомендовать [32, 35, 38, 48, 51–53, 72, 77, 78, 94, 95, 113, 119, 120, 241], где вводятся все основные понятия теории динамического хаоса. В качестве математического введения в проблему обратим внимание на работы [22, 25, 36, 106, 117, 131, 155, 156, 174, 246, 262–264]. Различные аспекты динамического хаоса и проблемы описания зарождения турбулентности обсуждаются в [84, 91, 92, 137, 139, 159, 172, 199, 218, 220, 234, 244, 262, 281].

Основные принципы механики достаточно полно изложены в [18, 23, 32]. Методы построения отображения Пуанкаре имеются в [78, 204]. Модель Эно–Эйлеса рассматривалась во многих работах [78, 201, 203, 205, 285]. В [207] приведено доказательство ее неинтегрируемости. Вопросы теории интегрируемых систем обсуждаются в [23, 60, 90]. Начало теории КАМ положено в [61]; дальнейшее развитие эта теория получила в [15, 16, 89]. Обсуждение возникающих здесь вопросов имеется в [23]. Обзор методов доказательства неинтегрируемости гамильтоновых систем содержится в [60]. Математические аспекты многочастотных колебаний нелинейных систем со многими степенями свободы обсуждаются в монографии [102]. Диффузия Арнольда исследовалась в [150, 208, 222, 227, 228, 230, 278]. Качественное ее рассмотрение можно найти в [32, 51, 99].

Эргодичность, перемешивание и некоторые их следствия обсуждаются в монографиях [32, 51, 52, 119]. Физические аспекты этих явлений можно найти в [2, 51, 52, 78]. Математические вопросы эргодической теории рассматриваются в [36, 39, 66, 131]. Вилларды обсуждаются в [36, 66, 104, 105] (математические аспекты) и в [51, 52, 266] (физическое рассмотрение). Динамические системы статистической механики и кинетические уравнения с математической точки зрения рассматриваются в [49].

Аттракторам диссипативных динамических систем посвящено большое число работ. В качестве введения в предмет можно рекомендовать обзоры [22, 77, 120] и монографии [113, 119, 241]. С методами исследования устойчивости систем можно познакомиться по книгам [33, 57, 95, 122]. Теория показателей Флюке рассматривается, например, в [35, 113, 144]. Различные понятия и определения аттрактора имеются в [22, 25, 77, 101, 119, 120, 174, 192, 198, 245]. Математическое определение физически наблюдаемого стохастического аттрактора предложено в [36, 106]. Понятие квазиаттрактора можно найти в статьях [24, 125, 126]. Система Лоренца впервые введена в [79, 267] и исследовалась во многих работах [26, 36, 37, 45, 56, 76, 78, 88, 95, 118, 258, 272]. С различными математическими аспектами странных аттракторов можно познакомиться по [21, 22, 36, 101, 106, 120, 174, 239, 247, 264]. Физические концепции хаотических колебаний изложены в [2, 35, 72, 95, 137, 218, 241, 261, 281].

Критерии динамического хаоса рассматриваются в [78, 95, 106, 119, 241]. Теория характеристических показателей Ляпунова и методы их расчета излагаются в [77, 78, 95, 113, 134, 174, 184, 270, 288]. Энтропия динамических систем впервые была введена в [62, 63, 103]. С дальнейшим развитием математической теории энтропии можно познакомиться по [39]. Физические аспекты и способы численных расчетов энтропии обсуждаются в [78, 119, 133, 135, 184]. Спектральная плотность и ее характеристики изучаются в [78, 95, 97, 119, 174, 181, 241, 243]. Численные методы расчета спектральной плотности и автокорреляционной функции можно найти, например, в [96].

Геометрические характеристики фрактальных объектов рассматриваются в [54, 87, 202, 232, 250]. Различные аспекты метрической и вероятностной размерностей обсуждаются в [177]. Размерностные характеристики инвариантных множеств динамических систем исследуются в [36, 64, 115, 174]. Методы расчета фрактальной размерности (емкости) аттракторов можно найти в [82, 265]. Гипотеза Каплана – Йорке предложена в [223] и далее обсуждалась в [36, 158, 183, 224, 250, 265, 291]. Соотношения различных размерностей, а также способы их вычисления рассмотрены в [82,

95, 119, 177]. Недостатки некоторых методов расчета обсуждаются в [192, 196].

Теории точечных отображений (динамическим системам с дискретным временем) посвящено большое число работ. В качестве учебного пособия можно рекомендовать [38], а для более углубленного ознакомления с теорией – обзоры и монографии [93, 94, 117, 119]. Эргодическая теория одномерных отображений рассматривается в [36]. Теорема Шарковского о сосуществовании циклов впервые была опубликована в [116]. Ее частный случай исследовался в широко известной работе [225]. Универсальному поведению квадратичных отображений посвящены статьи [36, 111, 119, 179–181]. Рассмотрение квадратичного отображения Фейгенбаума восходит к работе [283]. Одномерные отображения сыграли существенную роль в развитии метода ренорм-группы применительно к динамическим системам [78, 119, 156]. Отображение Эно впервые введено и изучалось в [121]. Различные аспекты этого отображения позднее исследовались в [165, 166, 251]. Отображения с более чем одним максимумом анализировались в [161, 211]. Для гамильтоновых отображений универсальные постоянные определены в статье [143] (см. также [78, 119]). Рассмотрение некоторых отображений, возникающих в физических задачах и приложениях, имеется в монографиях [51, 52, 78].

Для первоначального ознакомления с теорией бифуркаций рекомендуем [8, 34, 57, 122]. С математической стороны вопроса можно ознакомиться по работам [21, 25, 88]. Обратим внимание на книгу [152], где содержится обширная библиография. Некоторые методы и приемы исследования бифуркации рождения цикла имеются в [33, 38, 88, 114]. В частности, в [114] приведена программа для ЭВМ, позволяющая проанализировать такую бифуркацию. В монографиях [33, 88] и учебном пособии [38] (см. также [110]) описаны алгоритмы вычисления коэффициентов Ляпунова, характеризующих устойчивость родившегося цикла. Отметим работу [27], где обнаружена бифуркация рождения двумерного тора при потере устойчивости положения равновесия.

Сценарии развития хаоса (турбулентности) в диссипативных системах рассматриваются во многих работах. Сценарий Лайшау – Хопфа был впервые предложен в [74, 209] и обсуждается в [75, 77, 78, 120, 210]. Сценарий Рюэля – Такенса впервые рассматривался в статье [101] и позднее в [247]. Некоторые аспекты развития турбулентности по Рюэлю – Такенсу в рамках ренормгруппового подхода обсуждаются в [119]. Подтверждение этого сценария получено в ряде экспериментов (см., например, [3, 128, 164, 168, 257]). Отметим статьи [195, 284] (см. также [119]), где показана возможность существования систем с трехчастотным [195] и более [284] режимами движения. Механизмы перемежаемости (I, II и III рода) подробно рассматриваются в [28, 83, 119, 236, 254, 255] (численные и аналитические результаты) и [127, 138, 142, 213, 290] (эксперименты). Сценарий развития хаоса Фейгенбаума обсуждается, например, в [58, 78, 119, 141, 252, 260, 274]. С другими сценариями можно познакомиться по следующим публикациям: [14, 25, 46, 95, 129, 155, 167, 212, 219, 220]. Понятие кризиса аттрактора впервые предложено в статье [193] и обсуждается в [21, 25, 119, 194]. Рассмотрение имеющихся здесь экспериментальных аспектов см. в [256].

Теория пространственно-временного хаоса в распределенных системах в настоящее время далека от завершения. Существование конечномерных аттракторов в таких системах показано во многих работах, как экспериментальных (см., например, [47, 109, 144, 231]), так и численных и теоретических [31, 71, 160, 176, 216, 217, 248]. Недавно предложенные методы позволяют непосредственно из экспериментальных данных, когда число степеней свободы исследуемой системы неизвестно, определить размерность вложения [1, 82, 146, 249], корреляционную размерность [190, 192], энтропию [154, 191], ляпуновские показатели [287] и обобщенную размерность [253]. В работах [145, 182, 269] описаны практические методы измерения различных характеристик динамического хаоса. Оптимизация метода Грассбергера – Прокачча проведена в [123, 280].

Математические аспекты пространственно-временного хаоса рассматриваются в статьях [68, 147, 170, 171], а некоторые физические концепции – в [6, 10, 13, 30, 73, 124, 149, 178, 221, 277].

Ряд проблем, связанных с зарождением турбулентности, анализируется в [13, 43, 149, 153, 157, 276].

Книги [19, 20, 22, 122, 130] можно рекомендовать в качестве введения в теорию обыкновенных дифференциальных уравнений, методы которой широко применяются при исследовании динамических систем.

К главе 3

Рассмотрение широкого круга вопросов, связанных с принципами обработки информации в распределенных активных средах и нейронных сетях, можно найти в книгах [3, 4, 12–14, 23, 29, 109, 115, 180, 181] и статьях [15, 31, 38, 51, 57, 64, 65, 70, 113, 135, 163, 187, 190, 206, 234]. В [16, 24; 52, 59, 61, 62, 167] обсуждаются перспективы создания и возможные механизмы функционирования молекулярных вычислительных устройств. В последнее время возрос интерес к оптическим компьютерам, где в качестве элементарной единицы обработки информации выступают целые двумерные изображения (см. [36, 37, 47, 48, 82, 102, 213, 225, 237]). Построение нейрокompьютеров с использованием традиционных электронных элементов рассматривается в [182, 217]. Сравнение возможностей компьютеров разных типов проведено в [121]. Реализация моделей нейронных сетей с помощью имеющихся матричных процессоров описана в [88]. Нетрадиционные компьютерные архитектуры предлагаются в [39, 86, 87, 96, 128, 142, 163, 218].

Понятие клеточного автомата было введено Нейманом [186]. Различные свойства детерминированных клеточных автоматов рассматривались в [105, 106, 147, 164, 189, 231, 233]. Вероятностные клеточные автоматы изучаются в [7, 67, 68, 74, 107, 108, 146, 152, 157, 174]. Использование клеточных автоматов в качестве моделей различных физических процессов обсуждается в [54, 56, 77, 90, 117, 118, 153, 170, 200, 218, 219, 222–224, 232, 235].

В течение долгого времени схемы ассоциативной памяти исследовались главным образом в работах нейрофизиологов и специалистов по теории нейронных сетей (см. [9, 10, 13, 120, 168, 169]). Задача привлекла к себе внимание физиков-теоретиков после того, как Хопфилд показал [137], что она может быть решена аналоговым методом – с помощью искусственно построенной системы взаимодействующих спиновых спинов. Поскольку в рамках теории спиновых стекол развиты весьма эффективные математические методы для анализа свойств неупорядоченных спиновых систем, это позволило добиться быстрого прогресса в изучении статистических свойств модели Хопфилда и предложить ее многочисленные усовершенствования [4, 5, 8, 11, 32–35, 66, 71–73, 75, 76, 85, 89, 97, 98, 123–127, 151, 156, 162, 171, 173, 178, 184, 185, 192, 194–199, 214, 228]. На основе схемы Хопфилда с асимметричными взаимодействиями предложены также модели ассоциативной памяти для временных последовательностей сменяющих друг друга картин [49, 50, 69, 111, 161, 215]. Другие физические подходы к созданию устройств ассоциативной памяти обсуждаются в [6, 92, 93, 113–116]. Реализация модели Хопфилда с помощью сверхбольшой интегральной полупроводниковой схемы осуществлена в [103]. Оптоэлектронная реализация этой модели ассоциативной памяти предложена в [82].

Метод имитации отжига для решения задач комбинаторной оптимизации был предложен в [159] – см. также [158, 202, 203]. Статистическая механика искусственных физических систем, ассоциированных с различными сложными задачами комбинаторной оптимизации, изучалась в [40, 44, 91, 160, 176, 177, 183, 188, 216, 221, 236]. Связь между задачами оптимизации и проблемой распознавания образов обсуждается в [112].

Общие теоретические вопросы, связанные с созданием распределенных обучающихся систем, рассматривались в [129, 131–132, 208]. Метод обратного распространения ошибок [165, 204] был использован для создания обучающихся систем, способных, например, определять пространственную форму объектов по их теневому плоскому изображению [166] или распознавать цели по данным звуковой локализации [104]. Подробное описание деталей этого метода, а также дальнейшие примеры можно найти в [208, 211, 226]. Оптическая реализация метода описана в [225]. Обучающаяся “машина Больцмана” [25, 81, 130] использовалась в таких задачах, как восприятие речи [201] или поиск фигуры на имеющемся фоне [155, 210]. Существуют специализированные электронные интегральные схемы для реализации “машины Больцмана” [26]. Некоторые другие подходы к созданию распределенных обучающихся систем излагаются в [27, 43, 94, 95, 101, 133, 134, 136, 220].

Использование систем с естественным отбором (с нелинейной конкурсной мод) для задач распознавания образов рассматривалось в [6, 92, 93, 113–116]. В [148–150] было отмечено, что иммунную систему человека можно рассмотреть в качестве примера обучающейся эволюционной системы. Независимо были предложены [136] математические схемы управляющих устройств, обучение которых осуществляется в процессе конкуренции и естественного отбора. В статье [83] показано, что эти математические схемы очень близки к моделям иммунной системы (см. также [227]). Самоконструирующиеся системы с реакциями и диффузией рассматривались в [83, 84]. Применение эволюционных систем для аналогового решения сложных задач комбинаторной оптимизации исследовалось в [46, 79, 80]. Роль реакционно-диффузионных явлений в процессах обработки информации живой клеткой обсуждалась в [17, 18].

В работах [53, 58, 144, 145, 179, 193] обсуждались вопросы, связанные с использованием графов при аналоговой обработке информации.

СПИСОК ЛИТЕРАТУРЫ

К главе 1

1. Абрамычев А.Ю., Давыдов В.А., Михайлов А.С. // Биофизика. 1989. Т. 35. С. 100.
2. Агладзе К.И., Давыдов В.А., Михайлов А.С. // Письма ЖЭТФ. 1987. Т. 45. С. 601.
3. Алдушин А.П., Зельдович Я.Б., Маломед Б.А. // ДАН СССР, 1980. Т. 251. С. 1102–1106.
4. Арансон И.С., Гапонов-Грехов А.В., Рабинович М.И. // ЖЭТФ. 1985. Т. 89. С. 92–105.
5. Арансон И.С., Гапонов-Грехов А.В., Рабинович М.И., Рогальский А.В., Сагдеев Р.З. Решеточные модели в нелинейной динамике неравновесных сред: Препринт ИПФ АН СССР. № 163. – Горький, 1987. 24 с.
6. Арансон И.С., Рабинович М.И. // Изв. вузов. Сер. "Радиофизика". 1986. Т. 29. С. 1514–1517.
7. Ахромеева Т.С., Курдюмов С.П., Малинецкий Г.Г., Самарский А.А. // ДАН СССР. 1984. Т. 274. С. 1091–1095.
8. Балаховский И.С. // Биофизика. 1965. Т. 10. С. 1063–1069.
9. Балкарей Ю.И., Голик Л.Л., Елинсон М.И. Автоволновые среды (использование в электронике). – М.: Знание, 1985. 64 с.
10. Балкарей Ю.И., Елинсон М.И., Никулин М.Г. // Проблемы современной радиотехники и электроники – М.: Наука, 1980. С. 431.
11. Балкарей Ю.И., Елинсон М.И., Никулин М.Г. // Автоволновые процессы в системах с диффузией. – Горький: ИПФ АН СССР, 1981. С. 117–134.
12. Балкарей Ю.И., Евтихов М.Г., Елинсон М.И. // Микроэлектроника. 1980. Т. 9. С. 144–156.
13. Балкарей Ю.И., Никулин М.Г. // ЖТФ. 1979. Т. 49. 231–239.
14. Балкарей Ю.И., Никулин М.Г. // ЖТФ. 1979. Т. 49. С. 224–229.
15. Балкарей Ю.И., Ржанов Ю.А., Голик Л.Л., Елинсон М.И. // ФТП. 1982. Т. 16. С. 1558–1565.
16. Барелко В.В., Бейбутян В.М., Володин Ю.В., Зельдович Я.Б. // ДАН, СССР. 1981. Т. 257, С. 339–344.
17. Барелко В.В., Бейбутян В.М., Володин Ю.В., Зельдович Я.Б. // Автоволновые процессы в системах с диффузией. – Горький: ИПФ АН СССР, 1981. С. 135–148.
18. Барелко В.В., Володин Ю.И. // ДАН СССР. 1975. Т. 223. С. 112–115.
19. Баренблатт Г.И., Зельдович Я.Б. // ПММ. 1957. Т. 21. С. 856–859.
20. Белинцев Б.Н. // УФН, 1983. Т. 141. С. 55–101.
21. Белинцев Б.Н., Дибров Б.Ф., Лившиц М.А., Волькенштейн М.В. // Биофизика. 1978. Т. 23. С. 864–869.
22. Белинцев Б.Н., Лившиц М.А., Волькенштейн М.В. // Биофизика. 1978. Т. 23. С. 1056–1062.
23. Белинцев Б.Н., Лившиц М.А., Волькенштейн М.В. // ДАН СССР. 1981. Т. 257. С. 487–491.
24. Белинцев Б.Н., Лившиц М.А., Волькенштейн М.В. // Биофизика. 1982. Т. 27. С. 293–296.
25. Белинцев Б.Н., Савич Д. // Биофизика. 1985. Т. 30. С. 284–291.
26. Белинцев Б.Н., Юдин И.Л., Волькенштейн М.В. // ДАН СССР. 1985. Т. 285. С. 470–474.
27. Белоусов Б.П. // Сб. рефератов по радиационной медицине за 1958 г. – М.: Медгиз, 1959. С. 145.
28. Белоусов Б.П. // Автоволновые процессы в системах с диффузией. – Горький: ИПФ АН СССР, 1981. С. 176–189.
29. Бражник П.К., Давыдов В.А., Зыков В.С., Михайлов А.С. // ЖЭТФ. 1987. Т. 93. С. 1725–1736.
30. Бражник П.К., Давыдов В.А., Зыков В.С., Михайлов А.С. // Изв. вузов. Сер. "Радиофизика". 1988. Т. 31, № 5. С. 574–584.
31. Бражник П.К., Давыдов В.А., Михайлов А.С. // Кинетика и горение. – Филиал Института химической физики АН СССР, Черноголовка. 1986. С. 39–43.
32. Бражник П.К., Давыдов В.А., Михайлов А.С. // Теор. мат. физ. 1987. Т. 74. С. 440–447.
33. Васильев В.А. Термодинамика биологических процессов – М.: Наука, 1980. С. 186–192.
34. Васильев В.А., Полякова М.С. // Вестн Моск. ун-та. Сер. физ. и астроном. 1975. Т. 16. С. 99–104.
35. Васильев В.А., Романовский Ю.М., Чернавский Д.С. Математическая биология развития. – М.: Наука, 1982. С. 82–101.
36. Васильев В.А., Романовский Ю.М., Яхно В.Г. // УФН. 1979. Т. 128. С. 625–666.
37. Васильев В.А., Романовский Ю.М., Яхно В.Г. Автоволновые процессы. – М.: Наука, 1987. 240 с.
38. Винер Н., Розенблют А. // Кибернетический сборник, вып. 3, М.: ИЛ, 1961. С. 3–56.
39. Гапонов-Грехов А.В., Рабинович М.И. // Нелинейные волны. Структуры и бифуркации – М.: Наука, 1987. С. 37–44.
40. Гапонов-Грехов А.В., Рабинович М.И. // Изв. вузов. Сер. "Радиофизика". 1987. Т. 30. С. 131–143.
41. Гельфанд И.М., Цетлин М.Л. // ДАН СССР. 1960. Т. 131. С. 1242–1245.
42. Голубев В.Н., Рабинович М.И., Таланов В.И. и др. // Письма ЖЭТФ. 1985. Т. 42. С. 84–87.
43. Гренадер А.К., Панфилов А.В. // Биофизика. 1981. Т. 26. С. 1107–1108.
44. Гуляев Ю.В., Балкарей Ю.И. и др. // ДАН СССР. 1981. Т. 260. С. 82–85.
45. Гуревич А.В., Миц Р.Г. // УФН. 1984. Т. 142. С. 61–98.
46. Давыдов В.А., Михайлов А.С. // Нелинейные волны. Структуры и бифуркации. – М.: Наука, 1987. С. 261–279.
47. Давыдов В.А., Михайлов А.С., Бражник П.К. // Изв. вузов. Сер. "Радиофизика". 1989. Т. 32, № 3. С. 289–293.
48. Езерский А.Б., Коротин П.И., Рабинович М.И. // Письма ЖЭТФ. 1985. Т. 41.
49. Еленин Г.Г., Крылов В.В., Полежаев А.А., Чернавский Д.С. // ДАН СССР. 1983. Т. 271. С. 84–88.
50. Елюхин В.А. // Биофизика. 1979. Т. 24. С. 1085–1089.
51. Ермакова Е.А., Крицкий В.И., Панфилов А.В., Перцов А.М. // Биофизика. 1986. Т. 31. С. 855–861.
52. Ермакова Е.А., Перцов А.М. // Биофизика. 1986. Т. 31. С. 855–861.
53. Ермакова Е.А., Перцов А.М. // Биофизика. 1986. Т. 31. С. 855–861.
54. Жаботинский А.М. // Колебательные процессы в биологических и химических системах. – М.: Наука, 1967. С. 252–254.
55. Жаботинский А.М. Концентрационные автоколебания. – М.: Наука, 1974. 178 с.
56. Жаботинский А.М. // Нелинейные волны. Самоорганизация. – М.: Наука, 1983. С. 16–25.
57. Жаботинский А.М., Заикин А.Н. // Колебательные процессы в биологических и химических системах. – ИЦБ АН СССР. Пушкино, 1971. С. 314–317.
58. Жуков С.А., Барелко В.В., Мержанов А.Г. // ДАН СССР. 1979. Т. 245. С. 94–98.
59. Зельдович Я.Б., Баренблатт Г.И., Либрович В.Б., Махвиладзе Г.М. Математическая теория горения и взрыва. – М.: Наука, 1980. 478 с.
60. Зельдович Я.Б., Маломед Б.А. // Изв. вузов. Сер. "Радиофизика". 1982. Т. 25. С. 591–618.
61. Зельдович Я.Б., Маломед Б.А. // ДАН СССР. 1980. Т. 254. С. 92–94.
62. Зельдович Я.Б., Михайлов А.С. // УФН. 1987. Т. 153. С. 470–496.
63. Зельдович Я.Б., Франк-Каменецкий Д.А. // ЖЭХ. 1938. Т. 12. С. 100–105.

64. Зыков В.С. // Биофизика. 1980. Т. 25. С. 888–892.
65. Зыков В.С. // Биофизика. 1980. Т. 25. С. 319–322.
66. Зыков В.С. Моделирование волновых процессов в возбудимых средах. – М.: Наука, 1984. 165 с.
67. Зыков В.С. // Биофизика. 1986. Т. 31. С. 862–865.
68. Зыков В.С., Михайлов А.С. // ДАН СССР. 1986. Т. 286. С. 341–344.
69. Зыков В.С., Морозова О.Л. // Биофизика. 1980. Т. 25. С. 1071–1076.
70. Иваницкий Г.Р., Кринский В.И., Сельков Е.Е. Математическая биофизика клетки. – М.: Наука, 1978. 300 с.
71. Иалева Т.П., Мерджанова А.Г., Шкадинский К.Г. // Физика горения и взрыва. 1980. Т. 16. С. 3–14.
72. Калафати Ю.Д., Сербинов И.А., Рябова Л.А. // ДАН СССР. 1982. Т. 263. С. 862–864.
73. Кернер Б.С., Кузнецов Е.М., Осипов В.В. // ДАН, 1984. Т. 277. С. 1114–1118.
74. Кернер Б.С., Кузнецова Е.М., Осипов В.В. // Микроэлектроника. 1984. Т. 13. С. 407–426.
75. Кернер Б.С., Осипов В.В. // ЖЭТФ. 1978. Т. 74. С. 1675–1697.
76. Кернер Б.С., Осипов В.В. // ЖЭТФ. 1980. Т. 79. С. 2218–2238.
77. Кернер Б.С., Осипов В.В. // Микроэлектроника. 1981. Т. 10. С. 407–432.
78. Кернер Б.С., Осипов В.В. // ЖЭТФ. 1982. Т. 83. С. 2201–2214.
79. Кернер Б.С., Осипов В.В. // ДАН СССР. 1982. Т. 264. С. 1366–1370.
80. Кернер Б.С., Осипов В.В. // ДАН СССР. 1983. Т. 270. С. 1104–1108.
81. Кернер Б.С., Осипов В.В. // Микроэлектроника. 1983. Т. 12. С. 512–529.
82. Кернер Б.С., Осипов В.В. // Письма ЖЭТФ. 1985. Т. 41. С. 386–388.
83. Кернер Б.С., Осипов В.В. // Микроэлектроника. 1985. Т. 14. С. 389–407.
84. Кернер Б.С., Осипов В.В. // ЖЭТФ. 1985. Т. 89. С. 589–607.
85. Колмогоров А.Н., Петровский И.Г., Пискунов Н.С. // Бюл. МГУ. Секция “Математика и механика”. 1937. Т. 1. С. 1–26.
86. Кринский В.И. // Проблемы кибернетики. 1968. Вып. 20. С. 59–80.
87. Кринский В.И., Агладзе К.И. // ДАН СССР. 1982. Т. 263. С. 335–337.
88. Кринский В.И., Медвинский А.Б., Панфилов А.В. Эволюция автоволновых вихрей. – М.: Знание, 1986. 48 с.
89. Кринский В.И., Михайлов А.С. и др. // Изв. вузов. Сер. “Радиофизика”. 1984. Т. 27. С. 1116–1129.
90. Кринский В.И., Михайлов А.С. Автоволны. – М.: Знание, 1984. 64 с.
91. Кринский В.И., Холопов А.В. // Биофизика. 1967. Т. 12. С. 224–529.
92. Кузнецов Ю.А., Панфилов А.В. Стохастические волны в системе Фитц–Хью–Нагумо. – Препринт НЦБИ АН СССР. Пуццано, 1981. 8 с.
93. Кузнецов Ю.А. Существование и устойчивость бегущих волн в системах “реакция-диффузия” с одной пространственной переменной. – Препринт НЦБИ АН СССР. Пуццано, 1982. 40 с.
94. Курдюмов С.П., Малинецкий Г.Г. Синергетика – теория самоорганизации. Идсы, методы, перспективы. – М.: Знание, 1983. 64 с.
95. Ландау Л.Д., Лифшиц Е.М. Квантовая механика. М.: Наука, 1974.
96. Лившиц М.А. // Биофизика. 1984. Т. 29. С. 699–705.
97. Маломед Б.А. // ЖТФ. 1981. Т. 51. С. 2476–2482.
98. Маломед Б.А. // ДАН СССР. 1986. Т. 291. С. 327–332.
99. Маломед Б.А. // Нелинейные волны. Структуры и бифуркации. – М.: Наука, 1987. С. 251–261.
100. Маломед Б.А., Руманов Э.Н. // ДАН СССР. 1985. Т. 284. С. 1355–1359.
101. Маломед Б.А., Трибелский М.И. // ДАН СССР. 1984. Т. 275. С. 1363–1367.
102. Маркин В.С., Пастушенко В.Ф., Чизмаджев Ю.А. Теория возбудимых сред. – М.: Наука, 1981. 273 с.
103. Маркман Г.С. // Биофизика. 1980. Т. 25. С. 713–715.
104. Маркман Г.С. // Биофизика. 1980. Т. 25. С. 697–699.
105. Маркман Г.С., Уринцев А.Л. // Биофизика. 1980. Т. 25. С. 697–699.
106. Марри Д. Нелинейные дифференциальные уравнения в биологии: Пер. с англ. – М.: Мир, 1982. 212 с.
107. Мерджанова А.Г., Руманов Э.Н. // УФН. 1987. Т. 151. Ч. 553–593.
108. Михайлов А.С., Упоров И.В. // ДАН СССР. 1979. Т. 249. С. 733–736.
109. Николлис Г., Пригожин И. Самоорганизация в неравновесных системах: Пер. с англ. – М.: Мир, 1979. 308 с.
110. Николлис Г. Динамика иерархических систем. – М.: Мир, 1989. 486 с.
111. Островский Л.А., Яхно В.Г. // Биофизика. 1975. Т. 20. С. 489–496.
112. Панфилов А.В., Морнев О.А., Цыганов М.А., Кринский В.И. // Биофизика. 1982. Т. 27. С. 1064–1069.
113. Панфилов А.В., Перцов А. // Биофизика. 1982. Т. 27. С. 886–889.
114. Панфилов А.В., Перцов А.М. // ДАН СССР. 1984. Т. 274. С. 1500–1503.
115. Панфилов А.В., Руденко А.В., Кринский В.И. // Биофизика. 1982. Т. 27. С. 886.
116. Панфилов А.В., Руденко А.Н., Винфри А.Т. // Биофизика. 1985. Т. 30. С. 464–466.
117. Перцов А.М., Панфилов А.В. // Автоволновые процессы в системах с диффузией. – Горький: ИПФ АН СССР, 1981. С. 77–84.
118. Перцов А.М., Панфилов А.В., Медведева Ф.У. // Биофизика. 1983. Т. 28. С. 100–102.
119. Петаишвили В.И., Сергеев А.М. // ДАН СССР. 1984. Т. 276. С. 1380–1384.
120. Полак Л.С., Михайлов А.С. Самоорганизация в неравновесных физико-химических системах. – М.: Наука, 1983. 286 с.
121. Полежаев А.А. // Биофизика, 1983.
122. Романовский Ю.М. // Изв. вузов. Сер. “Радиофизика”, 1972. Т. 15. С. 718–722.
123. Романовский Ю.М., Степанова Н.В., Чернавский Д.С. Математическая биофизика. – М.: Наука, 1984. 304 с.
124. Самарский А.А., Еленин Г.Г. и др. // ДАН СССР. 1977. Т. 237. С. 1330–1337.
125. Самарский А.А., Змитренко Н.В. и др. // ДАН СССР. 1976. Т. 227. С. 321–324.
126. Свирижев Ю.М., Гугаури А.А., Разжевайкин В.Н. // Нелинейные волны. Самоорганизация. – М.: Наука, 1983. С. 32–47.
127. Скотт Э. Волны в активных и нелинейных средах в приложении к электронике. – М.: Сов. Радио, 1977. 322 с.
128. Хакен Г. Синергетика: Пер. с англ. – М.: Мир, 1980. 404 с.
129. Эбелинг В. Образование структур при необратимых процессах. – М.: Мир, 1979. 278 с.
130. Юдин И.Д., Белинцев Б.Н., Лившиц М.А. и др. // ДАН СССР. 1984. Т. 277. С. 987–991.
131. Яхно В.Г. // Биофизика. 1975. Т. 20. С. 669–675.
132. Яхно В.Г. // Биофизика. 1976. Т. 21. С. 547–552.
133. Яхно В.Г. // Автоволновые процессы в системах с диффузией. – Горький: ИПФ АН СССР, 1981. С. 46–76.
134. Agladze K.I., Krinsky V.I. // Nature. 1982. V. 296. P. 424–426.
135. Agladze K.I., Krinsky V.I. // Self-Organization: Autowaves and Structures far from Equilibrium / Ed. V.I. Krinsky. – Berlin: Springer, 1984. P. 147–149.
136. Agladze K.I., Krinsky V.I., Pertsov A.M. // Nature. 1984. V. 308. P. 834–835.
137. Belintsev B.N., Livshits M.A., Volkenstein M.V. // Z. Phys. 1978. V. 30B. P. 211–218.
138. Belintsev B.N., Livshits M.A., Volkenstein M.V. // Z. Phys. 1981. V. 44B. P. 345–351.
139. Belintsev B.N., Livshits M.A., Volkenstein M.V. // Phys. Lett. 1981. V. 82A. P. 375–377.
140. Burton W.K., Cabrera N., Frank F.C. // Phil. Trans. Roy. Soc. 1951. V. 243. P. 299–312.
141. Casten R.C., Cohen H., Lagerstrom P.A. // Quart. Appl. Math. 1975. V. 32. P. 365–381.
142. Chernavskii D.S., Ruijgrok T.W. // J. Theor. Biol. 1978. V. 73. P. 585–607.
143. Chernavskii D.S., Ruijgrok T.W. // BioSystems 1982. V. 15. P. 75–81.
144. Cohen D.S., Neu J.C., Rosales R.R. // SIAM J. Appl. Math. 1978. V. 35. P. 536–549.
145. Duffly M.R., Britton N.F., Murray J.D. // SIAM J. Appl. Math. 1980. V. 38. P. 8–13.
146. Engel A. // Phys. Lett. A 1985. V. 113A. P. 139–142.
147. Engel A., Ebeling W., Feistel R., Schtmansky-Geier L. // Selforganization by Nonlinear Irreversible Processes / Eds W. Ebeling, H. Ulbricht. – Berlin: Springer, 1986. P. 110–117.
148. Erneux T., Herchowitz-Kaufman M. // Bull. Math. Biol. 1979. V. 41. P. 767–782.
149. Feeney R., Schmidt S.L., Ortoleva P. // Physica. 1981. V. 2D. P. 536–547.

150. Feroe J.A. // Biophys. J. 1978. V. 21. P. 103 – 110.
151. Field R.J., Troy W.C. // SIAM J. Appl. Math. 1979. V. 37. P. 561 – 589.
152. Fife P.C. // SIAM-AMS Proceedings. 1976. V. 10. P. 23.
153. Fife P.C. // J. Chem. Phys. 1976. V. 14. P. 554 – 561.
154. Fife P.C. Mathematical Aspects of Reacting and Diffusing Systems. – Berlin: Springer, 1979 (Lecture Notes in Biomathematics, № 28).
155. Fife P.C. // Non-Equilibrium Dynamics in Chemical Systems // Eds C. Vidal., A. Pacault. – Berlin: Springer, 1984. P. 76 – 88.
156. Fisher P. // Ann. Eugenics. 1937. V. 7. P. 335 – 367.
157. Fujii H., Sawada Y. // J. Chem. Phys. 1978. V. 69. P. 3830 – 3842.
158. Gibbs R.G. // SIAM J. Appl. Math. 1980. V. 38. P. 422 – 444.
159. Glendinning P. // Phys. Lett. A 1987. V. 121A. P. 411 – 413.
160. Gomatam J. // J. Phys. 1982. V. 15A. P. 1463 – 1471.
161. Greenberg J.M. // SIAM J. Appl. Math. 1976. V. 30. P. 199 – 215.
162. Greenberg J.M. // SIAM J. Appl. Math. 1976. V. 30. P. 421–433.
163. Greenberg J.M., Hastings S.P. // SIAM J. Appl. Math. 1978. V. 34. P. 515 – 523.
164. Greenberg J.M., Hassard B.D., Hastings S.P. // Bull. Amer. Math. Soc. 1978. V. 84. P. 1296 – 1327.
165. Greenberg J.M. // SIAM J. Appl. Math. 1980. V. 39. P. 301 – 309.
166. Greenberg J.M. // Adv. Appl. Math. 1981. V. 2. P. 450 – 462.
167. Guckenheimer J. // J. Math. Biol. 1975. V. 1. P. 259 – 271.
168. Gurija G.T., Livshits M.A. // Z. Phys. 1982. V. 47B. P. 71 – 77.
169. Gurija G.T., Livshits M.A. // Phys. Lett. 1983. V. 97A. P. 175 – 177.
170. Hagan P.S. // SIAM J. Appl. Math. 1982. V. 42. P. 762 – 781.
171. Hastings S.P. // Stud. Appl. Math. 1976. V. 55. P. 293 – 312.
172. Hastings S.P. // J. Math. Biol. 1981. V. 11. P. 105 – 117.
173. Howard L.N., Koppell N. // Stud. Appl. Math. 1977. V. 56. P. 95 – 111.
174. Hramov R.N., Rudenko A.N., Panfilov A.V., Krinsky V.I. // Studia Biophys. 1984. V. 102. P. 69 – 74.
175. Karfunkel H.R., Seelig F.F. // J. Math. Biol. 1975. V. 2. P. 123 – 135.
176. Karfunkel H.R., Kahlert C. // J. Math. Biol. 1977. V. 4. P. 183 – 192.
177. Katon K. // J. Phys. 1986. V. 19A. P. L1063 – L1064.
178. Keener J.P. // SIAM J. Appl. Math. 1980. V. 39. P. 528 – 548.
179. Keener J.P. // SIAM J. Appl. Math. 1986. V. 46. P. 1039 – 1056.
180. Keener J.P., Tyson J.J. // Physica. 1986. V. 21D. P. 300 – 324.
181. Koga S. // Prog. Theor. Phys. 1982. V. 67. P. 164 – 178.
182. Koga S. // Prog. Theor. Phys. 1982. V. 67. P. 454 – 463.
183. Koppell N., Howard L.N. // Science. 1973. V. 180. P. 1171 – 1173.
184. Koppell N., Howard L.N. // Stud. Appl. Math. 1973. V. 52. P. 291 – 312.
185. Koppell N., Howard L.N. // Adv. Appl. Math. 1981. V. 2. P. 417 – 449.
186. Koppell N., Howard L.N. // Stud. Appl. Math. 1981. V. 64. P. 1 – 56.
187. Krinsky V.I., Malomed B.A. // Physica. 1983. V. 9D. P. 81 – 95.
188. Krinsky V.I., Agladze K.I. // Physica. 1983. V. 8D. P. 50 – 56.
189. Kuhnert L. // Nature. 1986. V. 6. P. 393 – 395.
190. Kuramoto Y. // Prog. Theor. Phys. Suppl. 1978. V. 64. P. 346 – 359.
191. Kuramoto Y. // Prog. Theor. Phys. 1980. V. 63. P. 1885 – 1895.
192. Kuramoto Y. // Physica. 1981. V. 106A. P. 128 – 133.
193. Kuramoto Y. Chemical Oscillations, Waves, and Turbulence. – Berlin: Springer, 1984. 424 p.
194. Kuramoto Y., Koga S. // Prog. Theor. Phys. 1981. V. 66. P. 1081 – 1093.
195. Kuramoto Y., Yamada T. // Prog. Theor. Phys. 1976. V. 55. P. 2035 – 2042.
196. Langer J.C. // Rev. Mod. Phys. 1980. V. 52. P. 1 – 28.
197. Lefever R. // J. Chem. Phys. 1968. V. 49. P. 4977–4978.
198. Livshits M.A. // Z. Phys. 1983. V. 53B. P. 83 – 88.
199. Madore B.F., Freedman W.L. // Science. 1983. V. 222. P. 615 – 616.
200. Maginu K. // J. Math. Biol. 1978. V. 6. P. 49 – 57.
201. Malomed B.A. // Physica. 1983. V. 8D. P. 353 – 359.
202. Malomed B.A. // Z. Phys. 1984. V. 55B. P. 241 – 248; P. 249 – 256.
203. Malomed B.A., Staroselsky I.E. // Phys. Lett. 1983. V. 99A. P. 145 – 146.
204. Malomed B.A., Tribelsky M.I. // Physica. 1984. V. 14D. P. 67 – 87.
205. Markstein G.H. // J. Aeronaut. Sci. 1951. V. 18. P. 199 – 207.
206. Medvinsky A.B., Panfilov A.V., Pertsov A.M. // Self-Organization: Autowaves and Structures far from Equilibrium / Ed. V.I. Krinsky. – Berlin: Springer, 1984. P. 195 – 199.
207. Mikhailov A.S., Engel A. // Phys. Lett. 1986. V. 117A. P. 257 – 260.
208. Mikhailov A.S., Krinsky V.I. // Physica. 1983. V. 9D. P. 346 – 376.
209. Mikhailov A.S., Panfilov A.V., Rudenko A.N. // Phys. Lett. 1985. V. 109A. P. 246 – 250.
210. Mikhailov A.S., Schimansky-Geier L., Ebeling W. // Phys. Lett. 1983. V. 96A. P. 453 – 456.
211. Miller R.N., Rinzel J. // Biophys. J. 1981. V. 34. P. 227 – 259.
212. Muller S.L., Plesser T., Hess B. // Science. 1985. V. 230. P. 661 – 663.
213. Muller S.L., Plesser T., Hess B. // Naturwiss. 1986. V. 73. P. 165 – 179.
214. Muller S.L., Plesser T., Hess B. // Physica. 1987. V. 24D. P. 71 – 86.
215. Muller S.L., Plesser T., Hess B. // Physica. 1987. V. 24D. P. 87 – 96.
216. Nandapurkar P.J., Winfree A.T. // Physica. 1987. V. 29D. P. 69 – 83.
217. Neu J.C. // SIAM J. Appl. Math. 1979. V. 36. P. 509 – 514.
218. Neu J.C. // SIAM J. Appl. Math. 1979. V. 37. P. 307 – 317.
219. Neu J.C. // SIAM J. Appl. Math. 1980. V. 38. P. 305 – 309.
220. Ortoleva P. // J. Chem. Phys. 1978. V. 69. P. 300 – 307.
221. Ortoleva P., Ross J. // J. Chem. Phys. 1973. V. 58. P. 5673–5691.
222. Ortoleva P., Ross J. // J. Chem. Phys. 1974. V. 60. P. 5090 – 5099.
223. Ortoleva P., Ross J. // J. Chem. Phys. 1975. V. 63. P. 3398 – 3431.
224. Panfilov A.V., Rudenko A.N., Pertsov A.M. // Self-Organization: Autowaves and Structures far from Equilibrium / Ed. V.I. Krinsky. – Berlin: Springer, 1984. P. 103 – 105.
225. Panfilov A.V., Rudenko A.N. // Physica, 1987. V. 28D. P. 215 – 218.
226. Panfilov A.V., Winfree A.T. // Physica. 1985. V. 17D. P. 323 – 330.
227. Pertsov A.M., Ermakova E.A., Panfilov A.V. // Physica. 1984. V. 14D. P. 117–124.
228. Pertsov A.M., Panfilov A.V., Ermakova E.A. // Physica. 1984. V. 14D. P. 311–328.
229. Prigogine I., Lefever R. // J. Chem. Phys. 1968. V. 49. P. 283–292.
230. Rajagopal K. // Phys. Lett. 1983. V. 99A. P. 261–264.
231. Rajagopal K. // Phys. Lett. 1984. V. 100A. P. 269–272.
232. Rajagopal K. // Phys. Lett. 1984. V. 100A. P. 49–51.
233. Reshodko L.V. // J. Gen. Biol. 1973. V. 1. P. 80–87.
234. Reshodko L.V., Bures J. // Biol. Cybern. 1975. V. 18. P. 181–189.
235. Richter P.H., Procaccia I., Ross J. // Adv. Chem. Phys. 1980. V. 43. P. 217–285.
236. Rinzel J. // J. Math. Biol. 1975. V. 2. P. 205–224.
237. Rinzel J., Elmenrout G.B. // J. Chem. Phys. 1982. V. 86. P. 2954–2967.
238. Rinzel J., Keller J.B. // Biophys. J. 1973. V. 13. P. 1313–1337.
239. Rinzel J., Maginu K. // Non-Equilibrium Dynamics in Chemical Systems. / Eds. C. Vidal, A. Pacault. – Berlin: Springer, 1984. P. 107–113.
240. Rosenblueth A. // Amer. J. Physiol. 1958. V. 194. P. 491–508.
241. Rossler O.E., Kahlert C. // Z. Naturforsch. 1979. Bd 34. S. 565–573.
242. Rovinsky A.B. // J. Phys. Chem. 1986. V. 90. P. 217–219.
243. Rudenko A.N., Panfilov A.V. // Studia Biophys. 1983. V. 98. P. 183–188.
244. Schlogl F.Z. // Z. Phys. 1971. Bd 243. S. 303–313.
245. Schmidt S., Ortoleva P. // J. Chem. Phys. 1980. V. 72. P. 2733–2742.
246. Selfridge O. // Arch. Inst. Cardiol. Mech. 1948. V. 53. P. 113–121.
247. Shinomoto S., Kuramoto Y. // Prog. Theor. Phys. 1986. V. 75. P. 1105–1110.
248. Shylakrot H., Ross J. // J. Chem. Phys. 1985. V. 82. P. 113–122.
249. Sivashinsky G.I. // Ann. Rev. Fluid Mech. 1983. V. 15. P. 179–199.
250. Sultan R., Ortoleva P. // J. Chem. Phys. 1986. V. 84. P. 6781–6789.
251. Turing A.M. // Phil. Trans. Roy. Soc. 1952. V. 237. P. 37–72.
252. Tyson J.J. The Belousov – Zhabotinsky Reaction. – Berlin: Springer, 1976. 150 p. (Lecture Notes in Biomathematics, V. 10).
253. Tyson J.J. // Ann. N.Y. Acad. Sci. 1979. V. 316. P. 279–295.
254. Tyson J.J. // J. Chem. Phys. 1984. V. 80. P. 6079–6982.
255. Tyson J.J., Fife P.C. // J. Chem. Phys. 1980. V. 73. P. 2224 – 2236.

256. Tyson J.J., Keener J.P. // *Physica D*. 1987. V. 29D. P. 215–222.
 257. Walgraef D., Dewel G., Borckmans P. // *J. Chem. Phys.* 1983. V. 78. P. 3043–3051.
 258. Welsh B.J., Gomata J., Burgess A.F. // *Nature*. 1983. V. 304. P. 611–614.
 259. Winfree A.T. // *J. Theor. Biol.* 1967. V. 16. P. 15–31.
 260. Winfree A.T. // *Science*. 1972. V. 175. P. 634–640.
 261. Winfree A.T. // *Farad. Symp. Chem. Soc.* 1974. V. 9. P. 38–41.
 262. Winfree A.T. // *Sci. Amer.* 1974. V. 230. P. 82–95.
 263. Winfree A.T. // *The Geometry of Biological Time*. – Berlin: Springer, 1980.
 264. Winfree A.T. // *Sci. Amer.* 1983. V. 248. P. 144–161.
 265. Winfree A.T. // *Physica*. 1984. V. 12D. P. 321–332.
 266. Winfree A.T. *The Timing of Biological Clocks*. – N.Y.: Sci. Amer. Books, 1986.
 267. Winfree A.T. *When Time Breaks Down*. – N.Y.: Princeton Univ. Press, 1987.
 268. Winfree A.T., Strogatz S.H. // *Physica*. 1983. V. 9D. P. 35–49.
 269. Winfree A.T., Strogatz S.H. // *Physica*. 1983. V. 9D. P. 65–80.
 270. Winfree A.T., Strogatz S.H. // *Physica*. 1983. V. 9D. P. 333–345.
 271. Winfree A.T., Strogatz S.H. // *Physica*. 1983. V. 13D. P. 221–233.
 272. Winfree A.T., Winfree E.M., Seifert H. // *Physica*. 1985. V. 17D. P. 109–131.
 273. Wood P.M., Ross J. // *J. Chem. Phys.* 1985. V. 82. P. 1924–1936.
 274. Yakhot V. // *Phys. Rev.* 1981. V. 24A. P. 642–652.
 275. Yakushevich L.V. // *Studia Biophys.* 1984. V. 100. P. 195–200.
 276. Zaikin A.N., Zhabotinsky A.M. // *Nature*. 1970. V. 225. P. 535–538.
 277. Zhabotinsky A.M., Zaikin A.N. // *J. Theor. Biol.* 1973. V. 40. P. 45–61.

К главе 2

1. Александров Б.П., Ланда П.С., Шашкин Б.Н. // *Физика плазмы*. 1986. Т. 12. С. 120–123.
 2. Анищенко В.С. Введение в статистическую радиофизику. Часть II. // Изд-во Саратовского ун-та, 1982. 140 с.
 3. Анищенко В.С. // *ЖТФ*. 1986. Т. 56. С. 225–237.
 4. Анищенко В.С., Арансон И.С., Постнов Д.Э., Рабинович М.И. // *ДАН СССР*. 1986. Т. 286. С. 1120–1124.
 5. Анищенко В.С., Летчфорд Т.Е., Сафонова М.А. // *Изв. вузов. Сер. "Радиофизика"*. 1984. Т. 27. С. 565–575.
 6. Анищенко В.С., Постнов Д.Э. // *ЖТФ*. 1985. Т. 55. С. 162–167.
 7. Андронов А.А., Витт А.А. // *ЖЭТФ*. 1933. Т. 3. С. 373–374.
 8. Андронов А.А., Леонтович Е.А., Гордон И.И., Майер А.Г. Теория бифуркаций динамических систем на плоскости. – М.: Наука, 1967. 488 с.
 9. Андронов А.А., Поктрягин Л.С. // *ДАН СССР*. 1937. Т. 14. С. 247–250.
 10. Арансон И.С., Гапонов-Грехов А.В., Рабинович М.И. // *ЖЭТФ*. 1985. Т. 89. С. 92–105.
 11. Арансон И.С., Гапонов-Грехов А.В., Рабинович М.И., Старобинец И.М. // *ЖЭТФ*. 1986. Т. 90. С. 1707–1718.
 12. Арансон И.С., Рабинович М.И. // *Изв. вузов. Сер. "Радиофизика"*. 1986. Т. 29. С. 1514–1517.
 13. Арансон И.С., Рабинович М.И. Ренормгрупповое описание пространственного развития турбулентности: Препринт ИПФ АН СССР. № 152. – Горький, 1987.
 14. Арансон И.С., Рульков Н.Ф. // *ЖТФ*. 1988. Т. 58. С. 1656–1669.
 15. Арнольд В.И. // *УМН*. 1963. Т. 18. С. 13–40.
 16. Арнольд В.И. // *УМН*. 1963. Т. 18. С. 81–192.
 17. Арнольд В.И. // *ДАН СССР*. 1964. Т. 156. С. 9–12.
 18. Арнольд В.И. Математические методы классической механики. – М.: Наука, 1974. 432 с.
 19. Арнольд В.И. Дополнительные главы теории обыкновенных дифференциальных уравнений. – М.: Наука, 1978. 304 с.
 20. Арнольд В.И. Обыкновенные дифференциальные уравнения. – М.: Наука, 1984. 272 с.
 21. Арнольд В.И., Афраймович В.С., Ильяшенко Ю.С., Шильников Л.П. // *Современные проблемы математики. Фундаментальные направления*. Т. 5. – М.: Изд-во ВИНТИ, 1986. С. 5–218.

22. Арнольд В.И., Ильяшенко Ю.С. // *Современные проблемы математики. Фундаментальные направления*, Т. 1. – М.: Изд-во ВИНТИ, 1985. С. 7–149.
 23. Арнольд В.И., Козлов В.В., Пейштадт А.И. // *Современные проблемы математики. Фундаментальные направления*. Т. 3. – М.: Изд-во ВИНТИ, 1985. С. 5–304.
 24. Афраймович В.С. // *Проблемы нелинейных и турбулентных процессов в физике*. – Киев: Наук. думка, 1985. ч. 2. С. 21–24.
 25. Афраймович В.С. // *Нелинейные волны. Структуры и бифуркации*. – М.: Наука, 1987. С. 189–213.
 26. Афраймович В.С., Быков В.В., Шильников Л.П. // *Тр. Моск. Матем. об-ва*, 1982. Т. 44. С. 152–212.
 27. Афраймович В.С., Возовой Л.И. // *ДАН СССР*. 1988. Т. 302. С. 823–826.
 28. Афраймович В.С., Шильников Л.И. // *ДАН СССР*. 1974. Т. 219. С. 1281–1285.
 29. Ахромеева Т.С., Курдюмов С.П., Малинецкий Г.Г., Самарский А.А. // *ДАН СССР*. 1984. Т. 279. С. 1091–1096.
 30. Ахромеева Т.С., Курдюмов С.П., Малинецкий Г.Г., Самарский А.А. // *Математическое моделирование. Процессы в нелинейных средах*. – М.: Наука, 1986. С. 7–59.
 31. Бабин А.В., Вишик М.И. // *УМН*. 1983. Т. 38. С. 132–187.
 32. Балееску Р. Равновесная и неравновесная статистическая механика. Т. 2. – М.: Мир, 1978. 400 с.
 33. Баутин Н.Н. Поведение динамических систем вблизи границ области устойчивости. – М.: Наука, 1984. 176 с.
 34. Баутин Н.Н., Леонтович Е.А. Методы и приемы качественного исследования динамических систем на плоскости. – М.: Наука, 1976. 496 с.
 35. Бонч-Бруевич В.Л. Стохастические автоколебания в конденсированной среде. Часть I. – М.: Изд-во МГУ. 1986. 68 с.
 36. Бунимович Л.А., Песин Я.Б., Синай Я.Г., Якобсон М.В. // *Современные проблемы математики. Фундаментальные направления*. Т. 2. – М.: Изд-во ВИНТИ, 1985. С. 113–231.
 37. Бунимович Л.А., Синай Я.Г. // *Нелинейные волны*. – М.: Наука, 1979. С. 212–226.
 38. Бутенин Н.В., Ноймарк Ю.И., Фудбаев Н.А. Введение в теорию нелинейных колебаний. – М.: Наука, 1987. 384 с.
 39. Вершик А.М., Корнфельд И.П., Синай Я.Г. // *Современные проблемы математики. Фундаментальные направления*. Т. 2. – М.: Изд-во ВИНТИ, 1985. С. 5–111.
 40. Видаль К. // *Синергетика*. – М.: Мир, 1984. С. 109–125.
 41. Гапонов-Грехов А.В., Рабинович М.И. // *Нелинейные волны. Структуры и бифуркации*. – М.: Наука, 1987. С. 7–44.
 42. Гапонов-Грехов А.В., Рабинович М.И. // *Изв. вузов. Сер. "Радиофизика"*. 1987. Т. 30. С. 131–143.
 43. Гапонов-Грехов А.В., Рабинович М.И., Старобинец И.М. // *Письма в ЖЭТФ*. 1984. Т. 39. С. 561–565.
 44. Гарел Д., Гарел О. Колебательные химические реакции. – М.: Мир, 1986. 148 с.
 45. Гилмор Р. Прикладная теория катастроф. Кн. 2. – М.: Мир, 1984. 285 с.
 46. Гольберг А.И., Синай Я.Г., Ханин К.М. // *УМН*. 1983. Т. 38. С. 159–160.
 47. Громов П.Р., Зобнин А.Б., Рабинович М.И., Рейман А.М., Сушик М.М. // *ДАН СССР*. 1987. Т. 292. С. 284–287.
 48. Данилов Ю.А., Кадомцев Б.Б. // *Нелинейные волны. Самоорганизация*. М.: Наука, 1983. С. 5–16.
 49. Добрушин Р.Л., Маслова Н.Б., Синай Я.Г., Сухов Ю.М. // *Современные проблемы математики. Фундаментальные направления*. Т. 2. – М.: Изд-во ВИНТИ, 1985. С. 233–307.
 50. Езерский А.Б., Рабинович М.И., Реутов В.П., Старобинец И.М. // *ЖЭТФ*. 1986. Т. 91. С. 2070–2083.
 51. Заславский Г.М. Стохастичность динамических систем. – М.: Наука, 1984. 272 с.
 52. Заславский Г.М., Сагдеев Р.З. Введение в нелинейную физику. – М.: Наука, 1988.
 53. Заславский Г.М., Чириков Б.В. // *УФН*. 1971. Т. 105. С. 3–40.
 54. Зельдович Я.Б., Соколов Д.Д. // *УФН*. 1985. Т. 146. С. 493–506.
 55. Ильин В.А., Позняк Э.Г. Основы математического анализа. Часть II. – М.: Наука, 1973. 448 с.

56. Йорке Дж., Йорке Е. Странные аттракторы. — М.: Мир, 1981. С. 193–212.
57. Йосе Ж., Джоузеф Д. Элементарная теория устойчивости и бифуркаций. — М.: Мир, 1983. 301 с.
58. Кац В.А. // Письма в ЖТФ. 1984. Т. 10. С. 684–689.
59. Козлов В.В. Методы качественного анализа в динамике твердого тела. — М.: МГУ, 1980. 232 с.
60. Козлов В.В. // УМН. 1983. Т. 38. С. 3–67.
61. Колмогоров А.Н. // ДАН СССР. 1954. Т. 98. С. 527–530.
62. Колмогоров А.Н. // ДАН СССР. 1958. Т. 119. С. 861–864.
63. Колмогоров А.Н. // ДАН СССР. 1959. Т. 124. С. 754–755.
64. Колмогоров А.Н., Тихомиров В.М. // УМН. 1959. Т. 14. С. 3–86.
65. Колмогоров А.Н., Фомин С.В. Элементы теории функций и функционального анализа. — М.: Наука, 1981. 544 с.
66. Корнфельд И.П., Синай Я.Г., Фомин С.В. Эргодическая теория. — М.: Наука, 1980. 383 с.
67. Кузнецов С.П. // Изв. вузов. Сер. "Радиофизика". 1985. Т. 28. С. 991–1007.
68. Кузнецов С.П. // Изв. вузов. Сер. "Радиофизика". 1986. Т. 29. С. 887–896.
69. Кузнецов С.П., Пиковский А.С. // Изв. вузов. Сер. "Радиофизика". 1985. Т. 28. С. 308–319.
70. Кузнецов С.П., Пиковский А.С. // Нелинейные волны. Структуры и бифуркации. — М.: Наука, 1987. С. 237–250.
71. Лабыженская О.А. // Зап. науч. сем. ЛОМИ. 1982. Т. 115. С. 137–155.
72. Ланда П.С. Автоколебания в системах с конечным числом степеней свободы. — М.: Наука, 1980. 359 с.
73. Ланда П.С. Автоколебания в распределенных системах. — М.: Наука, 1983. 320 с.
74. Ландау Л.Д. // ДАН СССР. 1944. Т. 44. С. 339–342.
75. Ландау Л.Д., Лифшиц Е.М. Гидродинамика. — М.: Наука, 1988. 736 с.
76. Ланфорд О.Е. // Странные аттракторы. — М.: Мир, 1981. С. 73, 74.
77. Ланфорд О.Е. // Гидродинамические неустойчивости и переход к турбулентности. — М.: Мир, 1984. С. 22–46.
78. Лихтенберг А., Либман М. Регулярная и стохастическая динамика. — М.: Мир, 1984. 528 с.
79. Лоренц Э. // Странные аттракторы. — М.: Мир, 1981. С. 88–116.
80. Лоскутов А.Ю. Параметрическая деструктивизация систем со странным аттрактором спирального типа и механизмы перехода к динамической стохастичности // Изд-во ВИНТИ. М.: 1987. — Деп. в ВИНТИ 7.07.87 № 4802-В 87.
81. Лукашук С.Н., Львов В.С., Предтеченский А.А., Черных А.И. // Проблемы нелинейных и турбулентных процессов в физике. — Киев: Наук. думка, 1985. Ч. II. С. 80–84.
82. Лукашук С.Н., Предтеченский А.А., Фалькович Г.Е., Черных А.И. Препринт Ин-та автоматки и электротехники СО АН СССР. № 280. — Новосибирск, 1985.
83. Лукьянов В.И., Шильников Л.П. // ДАН СССР. 1978. Т. 243. С. 26–29.
84. Львов В.С., Предтеченский А.А., Черных А.И. // ЖЭТФ. 1980. Т. 80. С. 1099–1121.
85. Любенски Т.С., Пинкус Ф.А. // Физика за рубежом. Сер. А. — М.: Мир, 1986. С. 147–164.
86. Любимов Д.В., Путин Г.Ф., Чернытский В.И. // ДАН СССР. 1977. Т. 235. С. 554–556.
87. Манделброт Б. // Странные аттракторы. — М.: Мир, 1981. С. 47–57.
88. Марсден Дж., Мак-Кракен М. Бифуркация рождения цикла и ее приложения. — М.: Мир, 1980. 368 с.
89. Мозер Ю. // Математика. 1963. Т. 6. С. 51–67.
90. Мозер Ю. // УМН. 1981. Т. 36. С. 109–151.
91. Монин А.С. // УФН. 1978. Т. 125. С. 97–122.
92. Монин А.С. // УФН. 1986. Т. 150. С. 61–105.
93. Неймарк Ю.И. Методы точечных отображений в теории нелинейных колебаний. — М.: Наука, 1972. 471 с.
94. Неймарк Ю.И. // Качественные методы исследования дифференциальных уравнений и нелинейных колебаний. — Киев: Ин-т матем. АН УССР, 1981. С. 99–115.
95. Неймарк Ю.И., Ланда П.С. Стохастические и хаотические колебания. // М.: Наука, 1987. 424 с.
96. Отнес Р., Энксон Л. Прикладной анализ временных рядов. — М.: Мир, 1982. 428 с.
97. Пиковский А.С. // Изв. вузов. Сер. "Радиофизика". 1986. Т. 29. С. 1438–1446.
98. Постников М.М. Гладкие многообразия. — М.: Наука, 1987. 480 с.
99. Пригожин И. От существующего к возникающему. — М.: Наука, 1985. 328 с.
100. Рабинович М.И., Фабрикант А.Л. // ЖЭТФ. 1979. Т. 77. С. 617–629.
101. Рюэль Д., Такенс Ф. // Странные аттракторы. М.: Мир, 1981. С. 117–151.
102. Самойленко А.М. Элементы математической теории многочастотных колебаний. Инвариантные торы. — М.: Наука, 1987. 304 с.
103. Синай Я.Г. // ДАН СССР. 1959. Т. 124. С. 768–771.
104. Синай Я.Г. // ДАН СССР. 1963. Т. 153. С. 1261–1264.
105. Синай Я.Г. // УМН. 1970. Т. 25. С. 141–192.
106. Синай Я.Г. // Нелинейные волны. — М.: Наука, 1979. С. 192–212.
107. Смейл С. // УМН. 1970. Т. 25. С. 113–185.
108. Смирнов А.И. // ЖЭТФ. 1986. Т. 90. С. 385–397.
109. Смирнов А.И. // ЖЭТФ. 1988. Т. 94. С. 185–193.
110. Труженникова В.М. // Изв. вузов. Сер. "Радиофизика". 1962. Т. 5. С. 356–361.
111. Фейгенбаум М. // УФН. 1983. Т. 141. С. 343–374.
112. Фове С., Либхабер А. // Синергетика. — М.: Мир, 1984. С. 234–247.
113. Хакен Г. Синергетика. Иерархии неустойчивостей в самоорганизующихся системах и устройствах. — М.: Мир, 1985. 423 с.
114. Хэссард Б., Казаринов Н., Ван И. Теория и приложения бифуркации рождения цикла. — М.: Мир, 1985. 280 с.
115. Четаев А.Н. Нейронные сети и цепи Маркова. — М.: Наука, 1985. 128 с.
116. Шарковский А.Н. // Укр. матем. журн. 1964. № 1. С. 61–71.
117. Шарковский А.Н., Майстренко Ю.А., Романенко Е.Ю. Разностные уравнения и их приложения. — Киев: Наук. думка. 1986. 280 с.
118. Шильников Л.П. Теория бифуркаций и модель Лоренца // Кн.: Марсден Дж., Мак-Кракен М. Бифуркация рождения цикла и ее приложения. Добавление II — М.: Мир, 1980. С. 317–335.
119. Шустер Г. Детерминированный хаос. Введение. — М.: Мир, 1988. 240 с.
120. Экман Ж.П. // Синергетика. — М.: Мир, 1984. С. 190–219.
121. Эно М. // Странные аттракторы. — М.: Мир, 1981. С. 152–163.
122. Эрроусмит Д., Шлейс К. Обыкновенные дифференциальные уравнения. Качественная теория с приложениями. — М.: Мир, 1986. 243 с.
123. Abraham N.B., Albano A.M., Das B., et al. // Phys. Lett. 1986. V. 114A. P. 217–221.
124. Aceves A., Adachihara H., Jones C., et al. // Physica. 1986. V. 18D. P. 85–112.
125. Afraimovich V.S. // Nonlinear and Turbulent Processes in Physics. — N.Y.: Gordon and Breach, 1984. V. 3. P. 1133–1138.
126. Afraimovich V.S., Shilnikov L.P. // Nonlinear Dynamics and Turbulence / Eds G. Barenblatt et al. — Boston: Pitman, 1983. P. 1–34.
127. Arecchi F.T. // Instabilities and Chaos in Quantum Optics / Eds F.T. Arecchi, R.G. Harrison. — Berlin: Springer, 1987.
128. Argoul F., Arneodo A., Roux J.C. // J. Chem. Phys., 1987. V. 86. P. 3325–3338.
129. Arneodo A., Collet P.H., Spiegel E.A. // Phys. Lett. 1983. V. 94A. P. 1–4.
130. Arnold V.I. Geometrical Methods in the Theory of Ordinary Differential Equations. — Berlin: Springer, 1983.
131. Arnold V.I., Avez A. Ergodic Problems of Classical Mechanics. — N.Y.: Benjamin, 1968. 286 p.
132. Babloyantz A., Salazar J.N., Nicolis C. // Phys. Lett. 1985. V. 111A. P. 152–156.
133. Benettin G., Froschle C., Scheidecker J.-P. // Phys. Rev. 1979. V. 19A. P. 2454–2460.
134. Benettin G., Galgani L., Giorgilli A., Sireci J.M. // Meccanica. 1980. V. 15. P. 9–31.
135. Benettin G., Galgani L., Sireci J.-M. // Phys. Rev. 1976. V. 14A. P. 2338–2345.
136. Ben-Mizrachi A., Procaccia I., Grassberger P. // Phys. Rev. 1984. V. 29A. P. 975–977.
137. Berge P. // CLEFS CFA (France). 1987. № 4. P. 2–12.
138. Berge P., Dubois M., Mammenville P., Pomeau Y. // J. Phys. Lett. (Paris). 1980. V. 41. P. L341–L345.
139. Berge P., Pomeau Y., Vidal C. Order Within Chaos. — N.Y.: Wiley, 1986.
140. Bibliography of Dynamical Systems, compiled by K. Shiraiva. — Nagoya Univ.: Preprint № 1. 1985. — 390 p.

141. Biswas D.J., Vas Dev, Chatterjee U.K. // Phys. Rev. 1988. V. 38A. P. 555–558.
142. Biswas D.J., Vas Dev., Chatterjee U.K. // Phys. Rev. 1987. V. 35A. P. 456–458.
143. Bountis T.C. // Physica. 1981. V. 3D. P. 577–589.
144. Brandstater A., Swift J., Swinney H.L., Wolf A. // Phys. Rev. Lett. 1983. V. 51 P. 1442–1445.
145. Broomhead D.S., Jones R., King G.P. // J. Phys. 1987. V. 20A. P. L563–L569.
146. Broomhead D.S., King G.P. // Physica. 1986. V. 20D. P. 217–236.
147. Bunimovich L.A., Sinai Ya.G. // Nonlinearity. 1988. V. 1. P. 491–516.
148. Casati G., Chirikov B.V., Ford J. // Phys. Lett. 1980. V. 77A. P. 91–94.
149. Chate H., Manneville P. // Phys. Rev. Lett. 1987. V. 58. P. 112–115.
150. Chirikov B.V. // Phys. Rep., 1979. V. 52. P. 263–379.
151. Chirikov B.V., Izrailev F.M. // Physica. 1981. V. 2D. P. 30–37.
152. Chow S.N., Hale J.K. Methods of Bifurcation Theory. – Berlin: Springer, 1982. 515 p.
153. Ciliberto S., Bigazzi P. // Phys. Rev. Lett., 1988. V. 60. P. 286–289.
154. Cohen A., Procaccia I. // Phys. Rev. 1984. V. 31A. P. 1872–1882.
155. Collet P. // Phys. Rep. 1984. V. 103. P. 121–123.
156. Collet P., Eckmann J.-P. Iterated Maps on the Interval as Dynamical Systems. – Boston: Birkhauser, 1980. 248 p.
157. Collet P., Elphick C., Repaux D. // Phys. Rev. Lett. 1987. V. 58. P. 431–434.
158. Constantin P., Foias C. // Commun. Pure Appl. Math. 1985. V. 38. P. 1–27.
159. Constantin P., Foias C., Manley O.P., Temam R. // J. Fluid Mech., 1985. V. 15. P. 427–440.
160. Constantin P., Foias C., Temam R. // Mem. Amer. Math. Soc. 1985. V. 53. 67 p.
161. Coste J., Peyrand N. // Physica. 1982. V. 5D. P. 415–420.
162. Crutchfield J.P., Farmer J.D., Packard N., Shaw R., Jones G., Donnelly R.J. // Phys. Lett. 1980. V. 76A. P. 1–4.
163. Crutchfield J.P., Nauenberg M., Rudnic J. // Phys. Rev. Lett. 1981. V. 46. P. 933–935.
164. Cumming A., Linsay P.S. // Phys. Rev. Lett. 1988. V. 60. P. 2719–2722.
165. Curry J.H. // J. Stat. Phys. 1981. V. 26. P. 683–695.
166. Cvitanovic P., Gunaratne G.H., Procaccia I. // Phys. Rev. 1988. V. 38A. P. 1503–1520.
167. Dadio H. // Progr. Theor. Phys. 1983. V. 70. P. 879–882.
168. Deissler R.J., Ecke R.E., Haucke H. // Phys. Rev. 1987. V. 36A. P. 4390–4401.
169. Destexhe A., Sepulchre J.A., Babloyantz A. // Phys. Lett. 1988. V. 132A. P. 101–106.
170. Doering C.R., Gibbon J.D., Holm D.D., Nicolaenko B. // Phys. Rev. Lett. 1987. V. 59. P. 2911–2914.
171. Doering C.R., Gibbon J.D., Holm D.D., Nicolaenko B. // Nonlinearity. 1988. V. 1. P. 279–309.
172. Dubois M. Experimental aspects of the transition to turbulence in Rayleigh – Benard convection. – Berlin: Springer, 1982. V. 164. P. 177–191.
173. Dvorak I., Siska J. // Phys. Lett. 1986. V. 118A. P. 63–66.
174. Eckmann J.P., Ruelle D. // Rev. Mod. Phys. 1985. V. 57. P. 617–656.
175. Eiswirth M., Krischer K., Ertl G. // Surface Sci. 1988. V. 202. P. 565–591.
176. Farmer J.D. // Physica. 1982. V. 4D. P. 366–393.
177. Farmer J.D., Ott E., Yorke J.A. // Physica. 1983. V. 7D. P. 153–180.
178. Farmer J.D., Sidorowich J.J. // Phys. Rev. Lett. 1987. V. 59. P. 845–848.
179. Feigenbaum M.J. // J. Stat. Phys. 1978. V. 19. P. 25–52.
180. Feigenbaum M.J. // J. Stat. Phys. 1979. V. 21. P. 669–706.
181. Feigenbaum M.J. // Commun. Math. Phys. 1980. V. 77. P. 65–86.
182. Fraser A.M., Swinney H.L. // Phys. Rev. A. 1986. V. 33. P. 1134–1140.
183. Frederickson P., Kaplan J.L., Yorke E.D., Yorke J.A. // J. Diff. Equ., 1983. V. 49. P. 185–201.
184. Froeschle C., Benettin G., Scheidecker J.-P. // Intrinsic Stochasticity in Plasmas. – Cargese, 1979. P. 93–114.
185. Galgani L., Giorgilli A., Strelcyn J.-M. // Nuovo Chimento. 1981. V. 61B, Ser. 2. P. 1–20.
186. Gioggia R.S., Abraham N.B. // Phys. Rev Lett. 1983. V. 51. P. 650–653.
187. Giglio G., Musazzi S., Perini U. // Phys. Rev. Lett. 1981. V. 47. P. 243–246.
188. Gollub J.P., Benson S.V., Steinman J. // Nonlinear Dynamics / Ed. R.H.G. Helleman. – N.Y.: Ann. N.Y. Acad. Sci., 1980. V. 357. P. 22–27.
189. Gollub J.P., Swinney H.L. // Phys. Rev. Lett. 1975. V. 35. P. 927–930.
190. Grassberger P., Procaccia I. // Phys. Rev. Lett. 1983. V. 50. P. 346–349.
191. Grassberger P., Procaccia I. // Phys. Rev. 1983. V. 29A. P. 2591–2593.
192. Grassberger P., Procaccia I. // Physica. 1983. V. 9D. P. 189–208.
193. Grebogi C., Ott E., Yorke J.A. // Phys. Rev. Lett. 1982. V. 48. P. 1507–1510.
194. Grebogi C., Ott E., Yorke J.A. // Physica. 1983. V. 7D. P. 181–200.
195. Grebogi C., Ott E., Yorke J.A. // Phys. Rev. Lett. 1983. V. 51. P. 339–342.
196. Greenside H.S., Wolf A., Swift J., Pignataro T. // Phys. Rev. 1982. V. 25A. P. 3453–3456.
197. Grossmann S., Thomaes S. // Z. Naturforsch A. 1977. Bd. 32. S. 1353–1363.
198. Guckenheimer J., Holmes P. Nonlinear Oscillations, Dynamical Systems and Bifurcation of Vector Fields. – Berlin: Springer, 1983. 453 p.
199. Gumowski I., Mira C. Dynamique Chaotique. – Toulouse: Cepadues, 1980.
200. Gurel O. // Phys. Lett. 1977. V. 61A. P. 219–223.
201. Gustavson F. // Astron. J. 1966. V. 71. P. 670–686.
202. Halsey T.S., Jensen M.H., Kadanoff L.P., Procaccia I., Shraiman B.J. // Phys. Rev. 1986. V. 33A. P. 1141–1151.
203. Helleman R.H.G., Bountis T. // Stochastic Behaviour in Classical and Quantum Hamiltonian Systems / Eds G. Casati, J. Ford. – N.Y.: Springer, 1979. V. 93. P. 353.
204. Henon M. // Physica. 1982. V. 5D. P. 412–414.
205. Henon M., Heiles C. // Astron. J. 1964. V. 69. P. 73–79.
206. Hirsch J.E., Huberman B.A., Scalapino D.J. // Phys. Rev. 1982. V. 25A. P. 519–532.
207. Holmes P. // Physica. 1982. V. 5D. P. 335–347.
208. Holmes P.J., Marsden J.E. // J. Math. Phys. 1982. V. 23. P. 669–675.
209. Hopf E. // Commun. Pure and Appl. Math. 1948. V. 1. P. 303–322.
210. Hopf E. // Proc. Conf. Diff. Eqs., Univ. of Maryland, 1956. P. 49–55.
211. Hu B., Mao J.M. // Phys. Rev. 1982. V. 25A. P. 3259–3261.
212. Hu B., Sattia I.I. // Phys. Lett. 1983. V. 98A. P. 143–146.
213. Huang J.-Y., Kim J.-J. // Phys. Rev. 1987. V. 36A. P. 1495–1497.
214. Huberman B.A., Crutchfield J.P. // Phys. Rev. Lett. 1979. V. 43. P. 1743–1747.
215. Huberman B.A., Crutchfield J.P., Packard N.H. // Appl. Phys. Lett. 1980. V. 37. P. 750–752.
216. Hyman J.M., Nicolaenko B. // Physica. 1986. V. 18D. P. 113–126.
217. Hyman J.M., Nicolaenko B., Zaleski S. // Physica. 1986. V. 23D. P. 265–292.
218. Jensen R.V. // Am. Sci. 1987. V. 75. P. 168–181.
219. Kaneko K. // Progr. Theor. Phys. 1984. V. 72. P. 202–215.
220. Kaneko K. Collapse of Tori and Genesis of Chaos in Dissipative Systems. – Singapore: World Scientific, 1986.
221. Kaneko K. // Physica. 1989. V. 34D. P. 1–41.
222. Kantz H., Grassberger P. // J. Phys. A. 1988. V. 21. P. L127 – L133.
223. Kaplan J.L., Yorke J.A. // Lect. Notes in Math. 1979. № 730. P. 228 – 237.
224. Ledrappier F. // Commun. Math. Phys. 1981. V. 81. P. 229 – 238.
225. Li T. Y., Yorke J.A. // Amer. Math. Mon. 1975. V. 82. P. 985 – 992.
226. Libhaber A., Maurer J. // J. Phys. Colloq. (France). 1980. V. 41. P. 51 – 56.
227. Lieberman M.A. // Nonlinear Dynamics / Ed. R.H.G. Helleman. – N.Y.: Ann. N.Y. Acad. Sci., 1980. V. 357. P. 119 – 142.
228. Lieberman M.A., Tennyson J.L. // Long-Time Prediction in Dynamics / Eds Horton et al. – N.Y.: Wiley, 1983. P. 179 – 211.
229. Linsay P.S. // Phys. Rev. Lett. 1981. V. 47. P. 1349 – 1352.
230. Mac-Kay R.S., Meiss J.D., Percival I.C. Transport in Hamiltonian Systems. – L.: Queen Mary College, 1983. 81 p.
231. Malraison B., Atten P., Berge P., Dubois M. // J. Phys. Lett. (Paris), 1983. V. 44. P. L897 – L902.
232. Mandelbrot B.B. Fractals: Form, Change and Dimension. – San-Francisco: W.H. Freeman and Company, 1977. 84 p.
233. Mane R. // Lect. Notes in Math. V. 898. – Berlin: Springer, 1981. P. 230 – 242.
234. Manneville P. // Phys. Rep. 1984. V. 103. P. 107 – 119.
235. Manneville P., Pomeau Y. // Phys. Lett. 1979. V. 75A. P. 1 – 2.
236. Manneville P., Pomeau Y. // Physica 1980. V. 1D. P. 219 – 226.
237. Maurer J., Libhaber A.J. // J. Phys. Lett (Paris). 1980. V. 41. P. L515 – L518.

238. Mayer-Kress G., Haken H. // Phys. Lett. 1981. V. 82A. P. 151–155.
 239. Milnor J. // Commun. Math. Phys. 1985. V. 99. P. 177 – 196.
 240. Miura T., Kai T. // J. Phys. Soc. Japan. 1986. V. 55. P. 2562 – 2571.
 241. Moon F.C. Chaotic Vibrations. – N.Y.: Wiley, 1987. 309p.
 242. Namajunas A., Pozela J., Tamasevicius A. // Phys. Lett. 1988. V. 131A. P. 85 – 90.
 243. Nauenberg M., Rudnick J. // Phys. Rev. 1981. V. 24B. P. 493 – 495.
 244. Nese J.M. // Lect. Notes in Phys. 1987. V. 271. P. 412 – 443.
 245. Newhouse S. // Nonlinear Dynamics / Ed. R.H.G. Helleman. – N.Y.: Ann. N.Y. Acad. Sci. 1980. V. 357. P. 292 – 299.
 246. Newhouse S. // Dynamical Systems. – Boston: Birkhauser, 1980. V. 8. P. 2 – 114.
 247. Newhouse S., Ruelle D., Takens F. // Commun. Math. Phys. 1978. V. 64. P. 35 – 40.
 248. Nicolaenko B., Scheurer B., Temam R. // Physica. 1985. V. 16D. P. 155 – 183.
 249. Packard N.H., Crutchfield J.P., Farmer J.D., Shaw R.S. // Phys. Rev. Lett. 1980. V. 45. P. 712 – 716.
 250. Paladini G., Vulpiani A. // Phys. Rep. 1987. V. 156. P. 148 – 225.
 251. Paramio M. // Phys. Lett. 1988. V. 132A. P. 98 – 100.
 252. Parlitz U., Lauterborn W. // Phys. Rev. 1987. V. 36A. P. 1428 – 1434.
 253. Pawelzik K., Schuster H.G. // Phys. Rev. 1987. V. 35A. P. 481 – 484.
 254. Pomeau Y. // USMG NATO ASI. Les Nouches Session XXXVI on Chaotic Behaviour of Deterministic Systems. – Amsterdam, 1983. P. 609 – 619.
 255. Pomeau Y., Manneville P. // Commun. Math. Phys. 1980. V. 74. P. 189 – 197.
 256. Richetti P., De Kepper P., Roux J.C., Swinney H.L. // J. Stat. Phys. 1987. V. 48. P. 977 – 990.
 257. Richetti P., Roux J.C., Argoul F., Arneodo A. // J. Chem. Phys. 1987. V. 86. P. 3339 – 3356.
 258. Robbins K.A. // SIAM J. Appl. Math. 1979. V. 36. P. 457 – 472.
 259. Rossler O.E. // Phys. Lett. 1976. V. 57A. P. 397 – 398.
 260. Roux J.-C. // Physica. 1983. V. 7D. P. 57 – 68.
 261. Roux J.-C., Simoyi R.H., Swinney H.L. // Physica. 1983. V. 8D. P. 257 – 266.
 262. Ruelle D. // Physica. 1983. V. 7D. P. 40 – 44.
 263. Ruelle D. // Phys. Rep. 1984. V. 103. P. 81 – 85.
 264. Ruelle D. Chaotic Evolution and Strange Attractors. – London: Cambridge Univ Press. 1988. 120p.
 265. Russel D.A., Hanson J.D., Ott E. // Phys. Rev. Lett. 1980. V. 45. P. 1175 – 1178.
 266. Saito N., Hirooka H., Ford J. et al. // Physica. 1982. V. 5D. P. 273 – 286.
 267. Salzman B. // Journ. Atmos. Sci. 1962. V. 19. P. 329 – 341.
 268. Sano M., Savada Y. // Chaos and Statistical Methods. / Ed. Y. Kuramoto. – Berlin: Springer, 1984. P. 226 – 231.
 269. Sato S., Sano M., Sawada Y. // Progr. Theor. Phys. 1987. V. 77. P. 1 – 5.
 270. Shimada I., Nagascima T. // Progr. Theor. Phys. 1979. V. 61. P. 1605 – 1616.
 271. Sieber M. // Phys. Lett. 1987. V. 122A. P. 467 – 470.
 272. Sparrow C. // Appl. Math. Sci. 1982. V. 41. 269p.
 273. Swinney H.L., Gollub J.P. // Phys. Today. 1978. V. 31, № 8. P. 41 – 49.
 274. Swinney H.L., Simoyi R.H., Roux J.C. // Chaos and Statistical Methods / Ed. Y. Kuramoto. – Berlin: Springer, 1984. P. 244 – 248.
 275. Takens F. // Lect. Notes in Math., V. 898. – N.Y.: Springer, 1981. P. 366 – 381.
 276. Tam W.Y., Vastano J.A., Swinney H.L., Horsthemke W. // Phys. Rev. Lett. 1988. V. 61. P. 2163 – 2166.
 277. Temam R. Infinite Dimensional Dynamical Systems in Mechanics and Physics. Berlin: – Springer, 1988. 615 p.
 278. Tennison J.L., Lieberman M.A., Lichtenberg A.J. // Nonlinear Dynamics and the Beam-Beam Interaction / Eds J.C. Herrera, M. Month. – N.Y.: AIP Conference Proc. 1979. № 57. P. 272 – 301.
 279. Testa J., Perez J., Jeffries C. // Phys. Rev. Lett. 1982. V. 48. P. 714 – 717.
 280. Theiler J. // Phys. Rev. 1987. V. 36A. P. 4456 – 4462.
 281. Thompson J.M.T., Stewart H.B. Nonlinear Dynamics and Chaos. – N.Y.: Wiley, 1986.
 282. Turner J.S., Roux J.-C., McCormick W.D., Swinney H.L. // Phys. Lett. 1981. V. 85A. P. 9 – 12.
 283. Ulam S.M., von Neuman J. // Bull. Amer. Math. Soc., 1947. V. 53. P. 1120.

284. Walden R.W., Kolodner P., Ressler A., Surko C.M. // Phys. Rev. Lett. 1984. V. 53. P. 242 – 245.
 285. Whiteman K.J. // Rep. Progr. Phys. 1977. V. 40. P. 1033 – 1099.
 286. Williams R.F. // Proc. Symp. in Pure Math.: Global Analysis Amer. Math. Soc. 1970. V. 14. P. 361 – 393.
 287. Wolf A., Swift J., Swinney H.L., Vastano J. // Physica. 1985. V. 16D. P. 285 – 317.
 288. Wright J. // Phys. Rev. 1984. V. 29A. P. 2924 – 2927.
 289. Yamazaki H., Mino M., Nagashima H., Warden M. // J. Phys. Soc. Japan. 1987. V. 56. P. 742 – 750.
 290. Yeh W.J., Kao Y.H. // Appl. Phys. Lett. 1983. V. 42. P. 299 – 301.
 291. Young L.-S. // Ergod. Theory and Dyn. Syst. 1982. V. 2. P. 109 – 124.

К главе 3

1. Адамар Ж. Исследования психологии процесса изобретения в области математики. – М.: Мир, 1970. С. 31.
2. Вайнцвайг М.Н., Либерман Е.А. // Биофизика, 1973. Т. 18. С. 939 – 942.
3. Веденов А.А. Моделирование элементов мышления – М.: Наука, 1988.
4. Веденов А.А., Ежов А.А., Левченко Е.Б. // Нелинейные волны. Структуры и бифуркации // Под ред. А.В. Гапонова-Грехова и М.И. Рабиновича. – М.: Наука, 1987. С. 53 – 67.
5. Веденов А.А., Левченко Е.Б. // Письма ЖЭТФ. 1985. Т. 41. С. 328 – 331.
6. Герзон С.А., Михайлов А.С. // ДАН СССР. 1986. Т. 291. С. 228–231.
7. Дружинин О.А., Михайлов А.С. // Изв. вузов. Сер. "Радиофизика". 1989. Т. 32. № 4. С. 444–450.
8. Доценко В.С. // Письма ЖЭТФ. 1986. Т. 44. С. 151 – 153.
9. Дукин-Барковский В.Д. Информационные процессы в нейронных структурах. М.: Наука, 1978.
10. Дукин-Барковский В.Д. // Моделирование возбудимых структур. – Пушкино, 1975. С. 90–141.
11. Иоффе Л.В., Фейгельман М.В. // Письма в ЖЭТФ. 1986. Т. 44, С. 148–150.
12. Куффер С., Николс Дж. От нейрона к мозгу. – М.: Мир, 1979. 439 с.
13. Кохонен Т. Ассоциативная память. – М.: Мир, 1982. 239 с.
14. Кляцки П. Память человека: структуры и процессы. – М.: Мир, 1978. 319 с.
15. Кадомцев Б.Б. // Нелинейные волны. Структуры и бифуркации / Под ред. А.В. Гапонова-Грехова и М.И. Рабиновича. – М.: Наука, 1987. С. 45–53.
16. Либерман Е.А. // Биофизика. 1972. Т. 17. С. 932–943.
17. Либерман Е.А., Минина С.В., Шкловский-Корди Н.Б. // Биофизика. 1980. Т. 25. С. 455–461.
18. Либерман Е.А., Минина С.В., Шкловский-Корди Н.Б., Конрад М. // Биофизика. 1982. Т. 27. С. 863–870.
19. Либерман Е.А., Минина С.В., Шкловский-Корди Н.Б. // Биофизика. 1986. Т. 31. С. 298–303.
20. Ландау Л.Д., Лифшиц Е.М. Гидродинамика. – М.: Наука, 1986. 733 с.
21. Михайлов А.С. // Природа. 1987. № 3. С. 15–26.
22. Минский М. // Реальность и прогнозы искусственного интеллекта. – М.: Мир, 1987. С. 231–244.
23. Минский М. Вычисления и автоматы. – М.: Мир, 1971. 364 с.
24. Рамбиди Н.Г., Замалин В.М., Сандлер Ю.М. и др. Молекулярная элементная база перспективных информационно-логических устройств. // Итоги науки и техники. Сер. "Электроника". Т. 22. – М.: Изд-во ВИНТИ, 1987. 168 с.
25. Aoke K., Mugebayasche N. // Phys. Lett. 1986. V. 114A. P. 425.
26. Almeida L.B. // Neural Computers / Eds R. Eckmiller and Ch. van den Malsburg. – Berlin: Springer, 1988. P. 199–208.
27. Alspector J., Allen R.B. // Advanced Research in VLSI. Proc. of the 1987 Stanford Conf. – Cambridge: MIT Press, 1987. P. 313–349.
28. Amari S. // Neural and Synergetic Computers / Ed. H. Haken. – Berlin: Springer, 1988.
29. Amari S., Arbib M.A. Competition and Cooperation in Neural Nets. – Berlin: Springer, 1982.
30. Amari S., Maginu K. // Neural Networks. 1988. V. 1. P. 63–73.

31. Amari S., Yoshida K., Kanatani K. // SIAM J. Appl. Math. 1977. V. 33. P. 95–126.
32. Amit D.J., Gutfreund H., Sompolinsky H. // Phys. Rev. 1985. V. 32A. P. 1007.
33. Amit D.J., Gutfreund H., Sompolinsky H. // Phys. Rev. Lett. 1985. V. 55. P. 1530–1538.
34. Amit D.J., Gutfreund H., Sompolinsky H. // Ann. Phys. (N.Y.). 1987. V. 173. P. 30–67.
35. Amit D.J., Gutfreund H., Sompolinsky H. // Phys. Rev. 1987. V. 35A. P. 2293.
36. Anderson D.Z. // Opt. Lett. 1986. V. 11. P. 56.
37. Anderson D.Z. // Neural Computers / Eds. R.Eckmiller and Ch. van den Malsburg. – Berlin: Springer, 1988. P. 417–424.
38. Anderson J.A. // Disordered Systems and Biological Organization / Eds. F.Bienenstock et al. – Berlin: Springer, 1986. P. 209–226.
39. Ballard D.H., Hinton G.E., Sejnowski T.J. // Nature. 1983. V. 306. P. 21–26.
40. Banavar J.R., Sherrington D., Sorlas N. // J. Phys. 1987. V. 20A. P. L1–L8.
41. Banzhaf W. // J. Physique. 1987. V. 48. P. 2027–2035.
42. Banzhaf W. // Neural and Synergetic Computers / Ed. H. Haken. – Berlin: Springer, 1988. P. 155–167.
43. Barto A.G. // Human Neurobiology. 1985. V. 4. P. 229–256.
44. Baskaran G., Fu Y., Anderson P.W. // J. Stat. Phys. 1986. V. 45. P. 1.
45. Berlekamp E.R., Conway J.H., Guy R.K. Winning Ways. V. 2. – N.Y.: Academic Press, 1982.
46. Boseniuk T., Ebeling W., Engel A. // Phys. Lett. 1987. V. 125A. P. 307–311.
47. Brenner K.-H. // Appl. Opt. 1986. V. 25. P. 3061.
48. Brenner K.-H. // Appl. Opt. 1988. V. 27. P. 1687–1691.
49. Buhmann J., Schulten K. // Europhys. Lett. 1987. V. 4. P. 1205–1209.
50. Buhmann J., Schulten K. // Neural Computers / Eds. R.Eckmiller and Ch. van den Malsburg. – Berlin: Springer, 1988. P. 231–242.
51. Carpenter G.A., Grossberg S. // Neural and Synergetic Computers / Ed. H.Haken. – Berlin: Springer, 1988. P. 42–74.
52. Carter F.L. // Physica. 1984. V. 10D. P. 175–194.
53. Ceccato H.A., Huberman B.A. // Physica Scripta. 1988. V. 37. P. 145–150.
54. Chen H., Matthaeus W.H. // Phys. Rev. Lett. 1987. V. 58. P. 1845.
55. Chilingaryan A.A., Khudonyan N.O., Saakyan O.B., Zazyan G.Z. Recognition of correlated patterns with spin-glass-like models. – Препринт ЕФИ–992 (42)–87. Ереванский физический институт. 1987. 10 с.
56. Chopard B., Droz M. // J. Phys. 1988. V. 21A. P. 205–212.
57. Clark J.W., Rafelski J., Winston J.W. // Phys. Rep. 1985. V. 123. P. 215–273.
58. Collins A.M., Lotrus E.F. // Psycholog. Rev. 1975. V. 82. P. 407–428.
59. Conrad M. // Biosystems. 1972. V. 5. P. 1–14.
60. Conrad M. // J. Neurosci. Res. 1976. V. 2. P. 233–254.
61. Conrad M. Adaptability. – The Significance of Variability from Molecule to Ecosystem – N.Y.: Plenum Press, 1983.
62. Conrad M. // Comm. ACM. 1985. V. 28. P. 464–480.
63. Cottrell M. // Biol. Cybern. 1988. V. 58. P. 129–139.
64. Crick F.C. // Sci. Amer. 1979. No. 3. P. 181–193.
65. Crick F.C., Mitchison G. // Nature. 1983. V. 304. P. 111–114.
66. Crisanti A., Amit D.J., Gutfreund H. // Europhys. Lett. 1986. V. 2. P. 337.
67. De Archangelis L. // J. Phys. 1987. V. 20A. P. L369–L373.
68. De Archangelis L., Stauffer D. // J. Physique. 1987. V. 48. P. 1881.
69. Dehaene S., Changeux J.P., Nadal J.P. // Proc. Nat. Acad. Sci. USA. 1987. V. 84. P. 2727.
70. Denker J.S. // Physica. 1986. V. 22D. P. 216–232.
71. Derrida B., Gardner E., Zippelius A. // Europhys. Lett. 1987. V. 4. P. 167.
72. Derrida B., Nadal J.P. // J. Stat. Phys. 1987. V. 49. P. 993.
73. Diederich S., Oppen M. // Phys. Rev. Lett. 1987. V. 58. P. 949.
74. Domany E., Kinzel W. // Phys. Rev. Lett. 1984. V. 53. P. 311–314.
75. Domany E., Meitz R., Kinzel W. // Europhys. Lett. 1986. V. 2. P. 175.
76. Dotsenko V.S. // J. Phys. 1985. V. 18C. P. L1017–L1022.
77. Duong-Van M., Feit M.O., Keller P., Pound M. // Physica. 1986. V. 23D. P. 448.
78. Durbin R., Willshaw D.J. // Nature. 1987. V. 326. P. 689.
79. Ebeling W. // J. Stat. Phys. 1986. V. 45. P. 891–903.
80. Ebeling W., Engel A. // Syst. Ana. Model. Simul. 1986. V. 5. P. 377–385.
81. Fahlman S.E., Hinton G.E., Sejnowski T.J. // Proc. Nat. Conf. Artificial intelligence, Washington, 1983. P. 109–113.
82. Farhat N., Psaltis D., Prata A., Paek E. // Appl. Opt. 1985. V. 24. P. 1469–1475.
83. Farmer J.D., Packard N.H. // Physica. 1986. V. 22D. P. 187–204.
84. Farmer J.D., Kauffman S.A., Packard N.H. // Physica. 1986. V. 22D. P. 50–67.
85. Feigelman M.V., Ioffe L.B. // Int. J. Mod. Phys. B. 1987. V. 1. P. 51–68.
86. Feynman R.P. // Int. J. Theor. Phys. 1982. V. 21. P. 467–488.
87. Feynman R.P. // Foundations of Physics. 1986. V. 16. P. 507–531.
88. Forrest B.M., Roweth D., Stroud N. et al. // The Computer J. 1987. V. 30. P. 413.
89. Forrest B.M. // J. Phys. 1988. V. 21A. P. 245–256.
90. Frisch U., Hasslacher B., Pomeau Y. // Phys. Rev. Lett. 1986. V. 56. P. 1505.
91. Fu Y., Anderson P.W. // J. Phys. 1986. V. 19A. P. 1605.
92. Fuchs A., Haken H. // Neural and Synergetic Computers / ed. H. Haken. – Berlin: Springer, 1988. P. 16–28.
93. Fuchs A., Haken H. // Biol. Cybern. 1988. V. 60. P. 17–22.
94. Fukushima K. // Biol. Cybern. 1986. V. 55. P. 515.
95. Fukushima K., Miyake S. // Pattern Recognition. 1982. V. 15. P. 455–469.
96. Gabriel R.P. // Science. 1986. V. 231. P. 975.
97. Gardner E. // J. Phys. A. 1988. V. 21. P. 256–270.
98. Gardner E., Forrest B.M. // J. Phys. 1988. V. 21A. P. 271–284.
99. Gardner M. Wheels, Life and Other Mathematical Amusements. – San Francisco: Freeman, 1982.
100. Garey M.R., Johnson D.S. A Guide to the Theory of NP-Completeness. – San Francisco: Freeman, 1979.
101. Geman S., Geman D. // IEEE Transactions on Pattern Analysis and Machine Intelligence PAMI-6. 1984. P. 721–741.
102. Goodman S.D., Rhodes W.T. // Appl. Opt. 1988. V. 27. P. 1708–1714.
103. Graf H.P., Jackel L.D., Hubbard W.E. // IEEE Computer. 1988. V. 21. P. 41–49.
104. Gorman R.P., Sejnowski T.J. // Neural Networks. 1988. V. 1. P. 75–89.
105. Grassberger P. // Physica. 1984. V. 10D. P. 52–58.
106. Grassberger P. // J. Stat. Phys. 1986. V. 45. P. 27.
107. Grassberger P., Krause F., von der Twer T. // J. Phys. 1984. V. 17. A. P. L105–L109.
108. Grinstein G., Jayaprakash C., He Yu. // Phys. Rev. Lett. 1985. V. 55. P. 2527–2530.
109. Grossberg S. Studies of Mind and Brain. – Norwell: Reidel, 1982.
110. Grossberg S. // Neural Networks. 1988. V. 1. P. 17–61.
111. Guyon I., Personnaz L., Dreyfus G. // Neural Computers / Eds. R. Eckmiller and Ch. van den Malsburg. – Berlin: Springer, 1988. P. 261–269.
112. Guttinger W., Dangelmayr G. // Neural and Synergetic Computers / Ed. H. Haken. – Berlin: Springer, 1988. P. 29–41.
113. Haken H. // Pattern Formation and Pattern Recognition // Ed. H. Haken. – Berlin: Springer, 1979.
114. Haken H. // Z. Phys. 1988. Bd 70 B. S. 121–123.
115. Haken H. Information and Self-organization. – Berlin: Springer, 1988. 196 p.
116. Haken H. // Neural and Synergetic Computers / Ed. H. Haken. – Berlin: Springer, 1988. P. 2–15.
117. Hardy J., Pomeau Y. // J. Math. Phys. 1972. V. 13. P. 1042.
118. Hardy J., de Pazzis O., Pomeau Y. // Phys. Rev. 1976. V. 13A. P. 1949.
120. Hebb D.C. The Organization of Behavior: A Neuropsychological Theory. – N.Y.: Wiley, 1957.
121. Hecht-Nielsen R. // Proc. Soc. Photo-Opt. Instrum. Eng. 1986. V. 634. P. 277.
122. Hecht-Nielsen R. // IEEE Spectrum. 1988. V. 25. P. 36–41.
123. Hemmen, van J.L., Grensing D., Huber A., Kuhn R. // J. Stat. Phys. 1988. V. 50. P. 231.
124. Hemmen, van J.L., Grensing D., Huber A., Kuhn R. // J. Stat. Phys. 1988. V. 50. P. 259.
125. Hemmen, van J.L., Keller G., Kuhn R. // Europhys. Lett. 1988. V. 5. P. 663–668.
126. Hemmen, van J.L., Kuhn R. // Phys. Rev. Lett. 1986. V. 57. P. 913.
127. Hemmen, van J.L., Zagrebnov V.A. // J. Phys. 1987. V. 20. A. P. 3989–3999.
128. Hillis D. The Connection Machine. – Cambridge. MIT Press, 1985.

129. Hinton G.E., Sejnowski T.J. // Proc. IEEE Computer Soc. Conf. on Computer Vision and Pattern Recognition, Washington, 1983. P. 448–453.
130. Hinton G.E., Sejnowski T.J., Ackley D.H. // Carnegie-Mellon Univ. Tech. Rep. CMU-CS-84-119. 1984.
131. Hinton G.E., McClelland J.L., Rumelhart D.E. // Parallel Distributed Processing: Explorations in the Microstructure of Cognition / Eds D.E. Rumelhart et al. – Cambridge: MIT Press, 1986. P. 77–109.
132. Hinton G.E. // Proc. Eighth Annual Conf. of the Cognitive Science Society. – N.Y.: Laurence Erlbaum, 1986. P. 1–12.
133. Hogg T., Huberman B.A. // Proc. Nat. Acad. Sci. USA. 1984. V. 81. P. 6871–6875.
134. Hogg T., Huberman B.A. // J. Stat. Phys. 1985. V. 41. P. 115–123.
135. Hogg T., Huberman B.A. // Phys. Rep. 1987. V. 156. P. 227–310.
136. Holland J.H. // Physica. 1986. V. 22D. P. 307–317.
137. Hopfield J.J. Neural networks and physical systems with emergent collective computation abilities // Proc. Nat. Acad. Sci. USA. 1982. V. 79. P. 2554–2558.
138. Hopfield J.J., Feinstein D.J., Palmer R.G. // Nature. 1983. V. 304. P. 158–159.
139. Hopfield J.J., Tank D.W. // Biol. Cybern. 1985. V. 52. P. 141–152.
140. Hopfield J.J., Tank D.W. // Science. 1986. V. 233. P. 625–633.
141. Hopfield J.J., Tank D.W. // Disordered Systems and Biological Organization / Eds E. Bienenstock et al. – Berlin: Springer, 1986.
142. Huberman B.A. // Neural Computers / Eds R. Eckmiller and Ch. van den Malsburg. – Berlin: Springer, 1988. P. 455–465.
143. Huberman B.A., Hogg T. // Phys. Rev. Lett. 1984. V. 52. P. 1048–1051.
144. Huberman B.A., Hogg T. // Physica. 1986. V. 22D. P. 376.
145. Huberman B.A., Hogg T. // Artificial Intelligence. 1987. V. 33. P. 155–171.
146. Ingerson T.E., Buvel R.L. // Physica. 1984. V. 10D. P. 59.
147. Jen E. // J. Stat. Phys. 1986. V. 43. P. 243.
148. Jerne N.K. // Sci. Amer. 1973. № 7. P. 52–60.
149. Jerne N.K. // Science. 1985. V. 229. P. 1057–1059.
150. Jerne N.K. // Stability and Origin of Biological Information / Ed. I.R. Miller. – N.Y.: Wiley, 1975. P. 201–204.
151. Kanter I., Sompolinsky H. // Phys. Rev. 1987. V. 35A. P. 380.
152. Kauffman S.A. // Physica. 1984. V. 10D. P. 145–156.
153. Keirstead W., Huberman B.A. // Phys. Rev. Lett. 1986. V. 56. P. 1094–1097.
154. Kelso J.A.S., deGuzman G.C. // Neural and Synergetic Computers / Ed. H. Haken. Berlin: Springer, 1988. P. 180–196.
155. Kienker P.K., Sejnowski T.J., Hinton G.E., Schumacher L.E. // Perception. 1986. V. 15. P. 197–216.
156. Kinzel W. // Z. Phys. 1985. V. 60B. P. 205–213.
157. Kinzel W. // Z. Phys. 1985. V. 58B. P. 229–244.
158. Kirkpatrick S. // J. Stat. Phys. 1984. V. 34. P. 975.
159. Kirkpatrick S., Gelatt C.D., Vecchi M.P. // Science. 1983. V. 220. P. 671.
160. Kirkpatrick S., Toulouse G. // J. Physique. 1985. V. 46. P. 1277.
161. Kleinfeld D. // Proc. Nat. Acad. Sci. USA. 1986. V. 83. P. 9469–9473.
162. Krauth W., Mezard M.J. // J. Phys. 1987. V. 20. A. P. L745.
163. Landauer R. // Physica Scripta. 1987. V. 35. P. 88–95.
164. Langton C.G. // Physica. 1984. V. 10D. P. 135–144.
165. Le Cun Y. // Proc. Int. Conf. Cognitiva'85. – Paris, 1985. P. 599–604.
166. Lehty S., Sejnowski T.J. // Nature. 1988. V. 333. P. 452–454.
167. Liberman E.A. // Biosystems. 1979. V. 11. P. 111–124.
168. Little W.A. // Math. Biosci. 1974. V. 19. P. 101.
169. Little W.A., Shaw G.L. // Math. Biosci. 1978. V. 39. P. 281.
170. Margolis N.H. // Physica. 1984. V. 10D. P. 85–95.
171. Marlsburg, von der C., Bienenstock E. // Europhys. Lett. 1987. V. 3. P. 1243–1249.
172. McCulloch W.C., Pitts W. // Bull. Math. Biophys. 1943. V. 5. P. 115–133.
173. Meir R., Domany E. // Phys. Rev. Lett. 1987. V. 59. P. 359–362.
174. Menyhard N. // J. Phys. 1988. V. 21A. P. 1283–1292.
175. Metropolis N. et al. // J. Chem. Phys. 1953. V. 6. P. 1087–1092.
176. Mezard M., Parisi G. // Europhys. Lett. 1986. V. 2. P. 913.
177. Mezard M., Parisi G. // J. Physique. 1986. V. 47. P. 1285.
178. Mezard M., Nadal J.P., Toulouse G. // J. Physique. 1986. V. 47. P. 1457–1462.
179. Mikhailov A.S. // J. Phys. 1988. V. 21A. P. L487–L490.
180. Minsky M. The Society of Mind. – N.Y.: Simon and Shuster, 1986.
181. Minsky M., Papert S. Perceptrons. – Cambridge: MIT Press, 1969.
182. Mooppenn A., Lambe J., Thakoor A.P. // IEEE Trans. on systems, Man, and Cybern. 1987. V. 17, № 2. P. 325–331.
183. Moore M.A. // Phys. Rev. Lett. 1987. V. 58. P. 1703.
184. Nadal J.P., Toulouse G., Changeux J.P., Dehaene S. // Europhys. Lett. 1986. V. 1. P. 535–542.
185. Nemeth R. // J. Phys. 1987. V. 20A. P. L85–L88.
186. Neuman, von J. Theory of Self-Reproducing Automata. – Univ. of Illinois Press, 1966.
187. Nicolis J.S. // Rep. Progr. Phys. 1986. V. 49. P. 1109–1196.
188. Orland H. // J. Physique Lett. 1985. V. 46. P. L763–L770.
189. Packard N.H., Wolfram S. // J. Stat. Phys. 1985. V. 38. P. 901–946.
190. Palm G. // Science. 1987. V. 235. P. 1227.
191. Palm G. // Neural and Synergetic Computers / Ed. H. Haken. – Berlin: Springer, 1988. P. 100–110.
192. Parisi G. // J. Phys. 1986. V. 19A. P. L675–L680.
193. Parisi G. // Physica Scripta. 1987. V. 35. P. 123.
194. Parga N., Virasoro M.A. // J. Physique. 1986. V. 47. P. 1857–1864.
195. Peretto P. // Biol. Cybern. 1984. V. 5. P. 51–62.
196. Peretto P., Niez J.J. // Disordered Systems and Biological Organization / Eds E. Bienenstock et al. – Berlin: Springer, 1986. P. 171–185.
197. Personnaz L., Guyon I., Dreyfus G., Toulouse G. // J. Stat. Phys. 1986. V. 43. P. 411–422.
198. Personnaz L., Guyon I., Dreyfus G. // J. Physique Lett. 1985. V. 46. P. L359–L365.
199. Personnaz L., Guyon I., Dreyfus G. // Phys. Rev. 1987. V. 34A. P. 4217.
200. Pomeau Y. // J. Phys. 1984. V. 17A. P. L415 – L. 418.
201. Prager R.W., Harrison T.D., Fallside F. // Computer Speech and Language, 1986. V. 1. P. 3 – 27.
202. Randalman R.E., Crest G.S. // J. Stat. Phys. 1986. V. 45. P. 885.
203. Rees S., Ball R.C. // J. Phys. 1987. V. 20A. P. 1239 – 1249.
204. Rumelhart D.E., Hinton G.E., Williams R.J. // Nature. 1986. V. 323. P. 533.
205. Rumelhart D.E., McClelland J.L. // Parallel Distributed Processing: Explorations in the Microstructure of Cognition / Eds D.E. Rumelhart et al. Cambridge: MIT Press, 1986. P. 216 – 271.
206. Schasri L. // Appl. Opt. 1987. V. 26. P. 1829 – 1844.
207. Schuster P. // Physica. 1986. V. 22D. P. 100 – 119.
208. Sejnowski T.J. // Neural Computers / Eds R. Eckmiller and Ch. van den Malsburg. – Berlin: Springer, 1988. P. 291 – 300.
209. Sejnowski T.J., Rosenberg C.R. // Complex Systems. 1987. V. 1. P. 145 – 168.
210. Sejnowski T.J., Hinton G.E. // Vision. Brain and Cooperative Computation / Eds M.A. Arbib, A.R. Hanson. S. Sejnowski. – Cambridge: MIT Press, 1985. P. 201.
211. Sejnowski T.J., Kienker P.K., Hinton G.E. // Physica. 1986. V. 22D. P. 260 – 275.
212. Sejnowski T.J., Rosenberg C.R. // John Hopkins Univ. Electrical Eng. and Computer Sci. Tech. Report JHU/EECS-86/01. 1986.
213. Soffer B.H., Dunning G.J., Owechko Y., Marom E. // Opt. Lett. 1986. V. 11. P. 118.
214. Sompolinsky H. // Phys. Rev. 1986. V. 34A. P. 2571 – 2574.
215. Sompolinsky H., Kanter I. // Phys. Rev. Lett. 1986. V. 57. P. 2861 – 2864.
216. Sourlas N. // Europhys. Lett. 1986. V. 2. P. 919.
217. Thakoor A.P., Mooppenn A., Lambe J., Khanna S.K. // Appl. Opt. 1987. V. 26. P. 5085 – 5092.
218. Toffoli T. // Physica. 1984. V. 10D. P. 195 – 204.
219. Toffoli T. // Physica. 1984. V. 10D. P. 117 – 127.
220. Toulouse G., Dehaene S., Changeux J.P. // Proc. Nat. Acad. Sci. USA. 1986. V. 83. P. 1695 – 1698.
221. Vannimenus J., Mezard M. // J. Physique Lett. 1984. V. 45. P. L1145.
222. Vichniac G.Y. // Physica. 1984. V. 10D. P. 96115.

223. *Vichniac G.Y.* // *Disordered Systems and Biological Organization* / Eds E. Bienenstock et al. – Berlin: Springer, 1986. P. 3 – 20.
224. *Vichniac G.Y., Tamayo P., Hartman H.* // *J. Stat. Phys.* 1986. V. 45. P. 875.
225. *Wagner K., Psaltis D.* // *Appl. Opt.* 1987. V. 26. P. 5061 – 5076.
226. *Weick M.* // *Neural and Synergetic Computers* / Ed. H. Haken. – Berlin: Springer, 1988. P. 122.
227. *Weisbuch G., Atlan H.* // *J. Phys.* 1988 A. V. 21. P. L189 – 192.
228. *Weisbuch G., Fogelman-Soulie F.* // *J. Physique Lett.* 1985. V. 46. P. L623 – L630.
229. *Willson S.J.* // *Physica.* 1987. V. 24D. P. 179 – 189.
230. *Withege W., Sherrington D.* // *J. Phys.* 1987. V. 20A. P. L9 – L11.
231. *Wolfram S.* // *Rev. Mod. Phys.* 1983. V. 55. P. 601.
232. *Wolfram S.* // *Nature.* 1984. V. 311. P. 419 – 424.
233. *Wolfram S.* // *Physica.* 1986. V. 10D. P. 1 – 35.
234. *Wolfram S.* // *Physica.* 1986. V. 22D. P. 385 – 399.
235. *Wolfram S.* // *J. Stat. Phys.* 1986. V. 45. P. 471.
236. *Wong K.J.M., Sherrington D., Mottishaw P. et al.* // *J. Phys.* 1988. V. 21A. P. L99 – L106.
237. *Yariv A., Kwong S.* // *Opt. Lett.* V. 11. P. 186.

NAUKA PUBLISHERS

Main Editorial Board for Literature
on Physics and Mathematics

15 Leninski prospekt, Moscow 117071, USSR

INTRODUCTION INTO SYNERGETICS

A.Yu. LOSKUTOV, A.S. MIKHAILOV

Moscow State University

1990, 272 pages, ISBN 5-02-014475-4

READERSHIP: Students and post-graduates, specialists in physics of strongly non-equilibrium systems, in biological and chemical physics, and in computer science.

THE BOOK: The purpose of this textbook is to give an elementary introduction into the theory of self-organization phenomena found in the cooperative behavior of physical, chemical, and biological systems far from thermal equilibrium. Properties of autowaves and dissipative patterns in active media, as well as the dynamical models of chaos used to describe the process of stochastization of such patterns, are discussed. A special section of the book is devoted to the new methods of analog information processing by distributed active media and neuron-like networks.

CONTENTS: Waves and patterns in active media. Dynamical chaos. Information processing by distributed dynamical systems.

AUTHORS: Alexander S. Mikhailov, Doctor of Science (Physics and Mathematics), is a lecturer and a leading research associate at the Department of Physics in Moscow State University, where he is reading a special course on synergetics. He has published a monograph *Self-Organization in Non-Equilibrium Physico-Chemical Systems* (Nauka, 1983). Alexander Yu. Loskutov, Candidate of Science (Physics and Mathematics) in a research associate at the Department of Geography in Moscow State University. He is a specialist in application of numerical methods in natural sciences and in mathematical models of complex ecological systems.